53980 Q85

UNIVERSIDAD DE LOS ANDES
FACULTAD DE CIENCIAS FORESTALES Y AMBIENTALES
CENTRO DE ESTUDIOS FORESTALES DE POSTGRADO
MAESTRIA EN MANEJO DE CUENCAS HIDROGRAFICAS

Aplicación del Modelo de Simulación SWRRB-WQ como Herramienta que Contribuye al Diagnóstico en Proyectos de Manejo de Cuencas Altas con Escasa Información: Implementación en la Microcuenca Zarzales - La Grande. Bailadores, Estado Mérida.





Emmerís Iván Quintero Q.

Mérida, Noviembre 1.996

Aplicación del Modelo de Simulación SWRRB-WQ como Herramienta que Contribuye al Diagnóstico en Proyectos de Manejo de Cuencas Altas con Escasa Información: Implementación en la Microcuenca Zarzales - La Grande. Bailadores, Estado Mérida.

Por: Emmerís Iván Quintero Quintero.

Trabajo presentado como requisito final para optar al título de Magister Scientiae en Manejo de Cuencas Hidrográficas.

Comité Asesor:

Prof. Alex Barrios Rincón.

(Tutor)

Prof. Yajaira Ovalles de Cabeza.
(Asesora).

Prof. Mauricio Vera.
(Asesor)

DEDICATORIA

A mi esposa Maria.

A mis bijos Igor y Adilson.

Bdgitant Patres. a.ve

Agradecimiento

Esta tesis ha sido realizada gracias al apoyo económico del I.F.A.R.H.U.-Panamá, del Consejo de Desarrollo Científico y Humanístico de la Universidad de Los Andes y de la Chiquita Brands International - Panamá, empresa agroindustrial donde laboro actualmente.

Mis más sinceros agradecimientos al equipo asesor de mi tesis conformada por los profesores:

Alex Barrios (Tutor); quién a través de sus valiosos consejos y observaciones conceptuales y formales, me prestó todo su apoyo durante el desarrollo y elaboración de la tesis.

Mauricio Vera (Asesor); por su importante asesoramiento en la interpretación y descripción de los componentes tanto físicos como químicos de los suelos existentes en la microcuenca.

Vajaira Ovalles (Asesora); por su asesoramiento en la parte hidrológica del proyecto y su buena disposición para la revisión del trabajo y orientación en la exposición del mismo.

Mi sincera gratitud también a : El profesor Wilfredo Franco y Roberto López por su valiosa cooperación en la descripción de los perfiles del suelo en la microcuenca. Al profesor Antonio Quintero por su colaboración en la disponibilidad del laboratorio de computación del Post-grado como mi unidad de trabajo. Al profesor Leonardo Lugo por su orientación en el análisis de algunas propiedades físicas de las muestras de suelo en el laboratorio de Silvicultura.

Al técnico Carlos Sulbarán, por su paciencia y disponibilidad permanente en la transcripción del trabajo de grado.

Para todos ellos, mi más profundo agradecimiento.

Tabla de Contenido

Pág	,-
Agradecimiento.	
Indice de Figuras6	
Indice de Cuadros7	
Indice de Anexo8	
Resumen	
Abstract	
Capítulo I : Introducción.	
1.1. El Problema, su Importancia, Justificación y Alcance del Estudio14	
1.2. Revisión Bibliohemerográfica 16	
1.3. Objetivos e Hipótesis del Estudio	
1.4. Metodología General	
CAPÍTULO II: DESCRIPCIÓN DEL MODELO SWRRB-WQ.	
2.1. Generalidades	
2.2. Descripción de Datos de Entrada al Modelo	
2.3. Formulación Matemática del Modelo	
CAPÍTULO III : DESCRIPCIÓN DEL AREA DE ESTUDIO.	
3.1. Localización del Area60	
3.2. Características Físico - Naturales	
CAPÍTULO IV : ESTIMACIÓN DE VARIABLES DE ENTRADA AL MODELO.	
4.1. Datos Generales70)
4.2. Datos Edafológicos	,
4.3. Datos Climáticos84	ļ
4.4. Variables para el Cultivo	,
4.5. Datos de Nutrientes y Biocidas89	
Capítulo V: Resultados y Discusión.	
5.1. Situación Actual93	,
5.2. Evaluación de Escenarios Alternativos	6
Capítulo VI: Conclusión y Recomendaciones.	
6.1. Conclusiones	5
6.2. Recomendaciones	7
Referencias Bibliohemerográficas	.9

Indice de Figuras

		Pág.
Figura 1.	Ubicación nacional y regional de la microcuenca Zarzales - La Grande.	
	Bailadores. Estado Mérida	61
Figura 2.	Mapa base de la microcuenca Zarzales - La Grande, Bailadores	62
Figura 3.	División de la microcuenca Zarzales - La Grande en subáreas homogéneas	72
Figura 4.	Elementos utilizados en el método de puntos extremos	74
Figura 5.	Método del Nomográma	82
Figura 6.	Relación entre el flujo superficial y flujo subsuperficial de la	
	microcuenca Zarzales - La Grande	95
Figura 7.	Producción de agua vs. Producción de sedimentos	95
Figura 8	Producción de agua y sedimentos a la salida de la microcuenca	
	Zarzales - La Grande	96
Figura 9.	Concentración de biocidas en el agua y sedimentos a la salida de la	
	microcuenca Zarzales - La Grande	99
Figura 10.	Concentración de nutrientes en el agua a la salida de la microcuenca	
	Zarzales - La Grande	101
Figura 11.	Producción de agua y sedimentos a la salida de la Quebrada La Grande.	104
Figura 12.	Concentración de biocidas en el agua y en los sedimentos a la salida de	
	la Quebrada La Grande	105
Figura 13.	Producción de agua y sedimentos para diferentes escenarios a la salida	
	de la microcuenca Zarzales - La Grande	109
Figura 14.	Concentración de biocidas para diferentes escenarios a la salida de la	
	microcuenca Zarzales - La Grande	111
Figura 15.	Concentración de nutrientes en el agua para diferentes escenarios a la	
	salida de la microcuenca Zarzales - La Grande	112
Figura 16.	Producción de sedimentos para diferentes escenarios a la salida de la	
	Ouebrada La Grande	114

Indice de Cuadros

		Pág.
Cuadro 1.	Guía para el usuario dividida en 7 secciones	29
Cuadro 2.	Superficie para las subáreas homogéneas	71
Cuadro 3.	Datos generales para la microcuenca entera y subárcas homogéneas	73
Cuadro 4.	Valores de características del suelo por subárea	77
Cuadro 5.	Valores de variables de la precipitación. (Período 1987 - 1995)	85
Cuadro 6.	Valores promedios mensuales de temperatura (Periodo 1987 - 1995)	85
Cuadro 7.	Valores de radiación solar utilizados (Período 1987 - 1995)	85
Cuadro 8.	Valores asumidos según subfactores seleccionados y asociados al	
	factor "C"	86
Cuadro 9.	Valores de "C" para subareas seleccionadas	8 7
Cuadro 10.	Valores para cultivos anuales en las diferentes subáreas de cultivo	88
Cuadro 11.	Datos de nutrientes en el suelo para las subáreas de cultivo	90
Cuadro 12.	Datos de pesticidas para las subáreas de cultivo	91
Cuadro 13.	Contaminación por biocidas y exceso de nutrientes en el agua	94
Cuadro 14.	Producción promedio mensual y anual de sedimentos, agua, nutrientes	
	y biocidas para un período de registro de 8 años. Microcuenca Zarzales	
	- La Grande y Quebrada La Grande	94
Cuadro 15.	Producción de sedimentos y biocidas disueltos promedio anual por	
	subáreas homogéneas	97
Cuadro 16	Volumen promedio anual de agua para riego.	102
Cuadro 17.	Diferentes escenarios planteados en las áreas de cultivo para la	
	microcuenca Zarzales - La Grande	108
Cuadro 18.	Resultados obtenidos para los diferentes escenarios en la microeuenca	
	Zarzales - La Grande y la Quebrada La Grande para un período de	
	registro de 8 años (1988 - 1995)	110

Indice de Anexos

			P
Anexo A.	Descripción de	los datos de entrada al modelo	Δ,
Anexo B.		s para la microcuenca.	E
	Cuadro B-1	Calculo del factor de corrección para la longitud de	_
		la vertiente	I
	Cuadro B-2	Calculo de datos de longitud de vertiente	1
	Cuadro B-3	Calculo de datos de pendiente de las vertientes]
	Cuadro B-4	Ajuste del factor longitud y pendiente (LS)	1
	Cuadro B-4a	Diferencias en producción de sedimentos obtenidas	
		al ajustar el factor LS	٠
	Cuadro B-5	Datos generales por subáreas homogéneas	1
	Cuadro B-5a	Datos generales para la Quebrada La Grande	
	Cuadro B-6	Calculo de las pendientes del cauce en m/m para	
		efectos del transito de sedimentos en las subáreas	
	Cuadro B-7	Número de curva para la escorrentía	
	Cuadro B-10	Valores del factor rugosidad "n" de Manning	F
	Cuadro B-11	Conductividad hidráuliza efectiva para perdidas de	
		infiltración en canales aluviales	Ι
Anexo C	Datos Edafológ	gicos	
	Cuadro C-9	Propiedades físicas del suelo relacionadas con la	
		conductividad hidráulica saturada	
	Cuadro C-10	Prueba de conductividad hidráulica saturada en	
		laboratorio	(
	Cuadro C-12	Datos de contenido de agua en el suelo	(
	Cuadro C-15	Propiedades físicas para los suelos de la	
		microcuenca Zarzales - La Grande	(
	Cuadro C-15a	Obtención de valores de conductividad hidráulica	
		saturada relacionadas con la textura de los suelos	
		encontrada en regiones andinas venezolanas	1
	Cuadro C-18	Factores de erosionabilidad del suelo asociados a	
		la textura y al contenido de materia orgánica	
		expresada en unidades inglesas	(
	Cuadro C-18a	Valores del factor de erosionabilidad del suelo "K"	
		primera aproximación	1
	Cuadro C-19	Propiedades físico-hidráulicas del suelo para	
		diferentes condiciones	(
	Cuadro C-20	Relación de las propiedades hidrológicas entre	
		diferentes estratos de un perfil en la producción de	
		agua y sedimentos	(

			Pág.
Anexo D	Datos climatoló	ógicos	D-1
	Cuadro D-10	Lluvias extremas para la estación de Tovar	D-10
	Cuadro D-11	Distribución de Gumbel.	D-11
	Cuadro D-14	Programa PDLL para un período de 9 años en la	
		estación Bailadores	D-14
Anexo E	Datos de cultiv	os y biocidas utilizados en la microcuenca	E-1
	Cuadro E-1	Efectos del suelo desnudo, matriz de raíces finas	
		de los árboles y reconsolidación del suelo para	
		suelo no labrado	E-1
	Cuadro E-1a	Subfactor cobertura del Dosel	E-1
	Cuadro E-2	Determinación del factor "C" (cobertura y manejo)	E-2
	Cuadro E-3	Parámetros de cultivos para el SWRRB-WQ	E-3
	Cuadro E-4	Valores del factor "P" para diferentes prácticas de	
		conservación	E-4
	Cuadro E-5	Pruebas para determinar el significado que tiene el	
		concepto de cultivos anuales en el modelo	
		SWRRB-WQ	E-5
	Cuadro E-6	Datos sobre el uso de agroquímicos	E-6
	Cuadro E-7	Agrupación de los biocidas según su ingrediente	
		activo	E-7
	Cuadro E-9	Comportamiento de algunos biocidas a diferentes	
	DUIL	concentraciones.	E-9
	Cuadro E-13	Principales plagas y enfermedades que atacan los	
		cultivos hortícolas y las formas de control	E-13
	Cuadro E-14	Características de los biocidas separados por	
		nombre comercial	E-14
	Cuadro E-16	Clasificación de los biocidas en función al tiempo	
		que transcurre entre su aplicación y la degradación	F 16
	6 ' 77 47	ambiental del ingrediente activo	E-16
	Cuadro E-17	Clasificación de los biocidas según su toxicidad	E-16
	Cuadro E-20	Ingredientes activos de los biocidas utilizados en la	T 10
	C3 - F 31	microcuenca Zarzales - La Grande	E-19
	Cuadro E-21	Fertilizantes recomendados para la papa y	E 20
	Cunden E 22	zanahoria en la región andina	E-20
	Cuadro E-22	Canada, C.E.E. y lineamientos de la O.M.S	E-21
	Cuadro E-23	Aguas destinadas al uso doméstico (potable) y uso	10-21
	Cuaulo 15-23	agropecuario	E-22
Anexo F	Archivos de en	ntrada v salida del modelo SWRRB-WO	F-1

Resumen

La microcuenca Zarzales - La Grande está ubicada en la parte alta del río Mocotíes, Bailadores. Estado Mérida. Tiene una superficie aproximada de 2.479 hectáreas y en estos últimos años a incrementado el uso de sus tierras para la agricultura en sectores de elevadas pendientes, provocando un alto grado de deterioro de los recursos suelo y agua.

Con el objeto de evaluar una herramienta de apoyo al proceso de formulación y evaluación de proyectos de manejo de cuencas altas sin registro sobre la cantidad y calidad de la escorrentía, se aplicó el modelo de simulación SWRRBWQ (Simulater for Water Resources in Rural Basins and Water Quality - Arnold et al., 1991), para determinar el nivel de contaminación de las aguas, producida por la aplicación excesiva de biocidas y nutrientes y la producción de sedimentos.

Para la aplicación del modelo la microcuenca fue dividida en 10 subárcas homogéneas de acuerdo a los mapas de uso actual y de suelo.

La mayoría de los datos de entrada que requiere el modelo son de fácil determinación, excepto los parámetros hidrológicos del suelo discriminados por estratos para cada perfil representativo de las unidades edafológicas presentes en la microcuenca.

Los resultados obtenidos por el modelo a partir de la información básica de la microcuenca para la situación que actualmente presenta la misma, son: producción promedio anual de sedimentos a la salida de la microcuenca Zarzales - La Grande, para un período de registro de 8 años, de 26,3 T/ha; valor que se considera aceptable debido a la inexistencia de mediciones de sedimentos en el sector. En relación a los biocidas se observaron concentraciones promedios anuales en el agua de 0,10 mg/l a la salida de la cuenca, valor que corresponde

al límite permitido por las normas internacionales para su uso como agua potable. Los niveles de nitratos encontrados alcanzan los 47 mg/l promedio anual, considerados también altos, ya que lo permitido es de 10 mg/l y en el caso del nitrógeno y fósforo orgánico con 0,02 y 1,91 mg/l respectivamente, se consideran bajos cuando se comparan con las normas de calidad de agua: 10 mg/l.

Con la misma información básica correspondiente a la microcuenca Zarzales - La Grande se escenificaron 3 situaciones distintas de manejo conservacionista con el objeto de determinar el potencial que tiene el modelo como herramienta de evaluación de alternativas de manejo, resultando que: al disminuir la cantidad aplicada de biocidas a los cultivos, de acuerdo a las recomendaciones de los técnicos, se reducen las concentraciones en el agua, a la salida de la microcuenca, en un 70 %; también se observa que al aplicar prácticas de conservación de suelos en las áreas de cultivo, la producción de sedimentos a la salida de la microcuenca se reduce en un 31 %; adicionalmente, si aumenta el área de cultivo en un 50 % (8 % del área total), sin la aplicación de prácticas de conservación de suelos, ni dosis adecuada de biocidas, la producción de sedimentos aumenta en un 86 % y la concentración de biocidas en el agua se incrementa en un 50 %.

Todos estos resultados demuestran la necesidad de desarrollar un buen esquema de uso y manejo de biocidas y prácticas de conservación de suelos en la microcuenca, para reducir el alto porcentaje de deterioro y contaminación de los recursos suelo y agua.

Abstract

The Zarzales - La Grande watershed is located in the high lands of Mocoties River (Bailadores, Mérida. Venezuela). The total área is aproximately 2479 has. In the last year the use of this lands for agriculture has increased in those parts of high slope, provoking a high level of soil and water damage.

The objective was to evaluate a support tool for the evaluation and formulation of watersheds management proyect, without registering the amount and quality runoff, there was applied the SWRRB-WQ simulation model (Simulation for Water Resources in Rural Basins and Water Quality- Arnold et al., 1991), for the model application the watersheds was divided in 10 homogeneus subareas according to the actual maps.

Most of the input data for the model demand are of easy determination, except the soil hydrologic parameter descriminating the representative profile layers for the soil units present in this watershed.

The outputs gotten by the model starting from the basic information of the watershed for the actual situation, are: the annual average sediment yield to the basin outlet for a registration period of 8 years was 26,3 T/ha, value that is considered acceptable due to the inexistence of sediment yield mensurations in the sector.

In relationship to the pesticides concentrations were observed annual averages in the water of 0.10 mg/l to the basin outlet, value equal of the level permitted by the international norms, for their use like drinkable water. The nitrate levels found with 47 mg/l, are also high, since it allow 10 mg/l and in case of nitrogen and organic phosphorus with 0.02 and 1.91 mg/l are considered low, when they are compared by the control norms established.

With the same basic corresponding information to the Zarzales - La Grande watershed, three different situations were present for determining the grade of damage of the water resource, resulting that diminishing the pesticide applied quantity for crops, the product concentrations in the water are reduced in 70% to the basin outlet. It was also observed that upon applying soil conservation practices in the crops, the sediment yield at the basin outlet was reduced in 31%. However, upon increasing the areas of crops in 50% (8% of the total area), without the application of soil conservation practices neither adequate pesticide quantitave, the sediment yield increased in 86% and the concentration of pesticides in the water was incremented in 50%.

All these outputs demonstrate the necessity of developing a good outline of use, pesticides management, and soil conservation practices in the watershed, to reduce the high percentage of soil and water resources damage and contamination.

Bdigital.ula.ve

1.1. El Problema, su Importancia, Justificación y Alcance del Estudio.

Nuestras cuencas hidrográficas están deteriorándose constantemente por la acción devastadora del hombre, originado por el constante aumento demográfico, y la falta de una educación orientada hacia la conservación y sustentabilidad en el uso de los recursos naturales. Se llega a tal punto de dejar zonas completamente desoladas, a merced de las fuertes lluvias que ocasionan erosión en los suelos y, por ende, el arrastre del poco material existente, provocando grandes cantidades de sedimentos que colmatan los cauces y ocasionan inundaciones en las partes bajas.

En las zonas montañosas del país, especialmente en la región andina, se ha venido desarrollando una horticultura intensiva que conduce al incremento de los problemas de contaminación del agua y erosión; por estar ubicadas en áreas con pendientes fuertes y con deficientes prácticas de conservación de suelos.

Debido a lo expuesto anteriormente, existe la necesidad de seguir formulando proyectos de manejos de cuencas hidrográficas en las regiones altas de Venezuela y Latinoamérica. Sin embargo, surge el inconveniente de que estas regiones cuentan con una escasa información básica, necesaria para la planificación, diseño y evaluación de los mismos.

La elaboración de los proyectos de manejo de cuenca no es nada fácil si, además de la escasa información básica, no se evidencia un real apoyo institucional e interdisciplinario que puedan conjuntamente darle solución a la problemática existente.

En el país, se han aplicado varias metodologías de evaluación y diagnóstico de cuencas hidrográficas, cuyo objetivo primordial es la determinación cualitativa y cuantitativa de la susceptibilidad de la cuenca ante la degradación continua.

En Mérida, sector Las Playitas - Bailadores, se reuliza actualmente un proyecto que cuenta con el apoyo de varias instituciones, con el objeto de caracterizar y cuantificar el deterioro que presenta la microcuenca demostrativa Zarzales - La Grande. Esta microcuenca tiene la dificultad de no contar con suficiente información básica, destacándose la relacionada con la cantidad y calidad del recurso hídrico. Tal información es relevante para las decisiones relacionadas con la magnitud del problema en la cuenca y el planteamiento de soluciones. Este es el marco motivacional del estudio, donde se propone, para realizar un diagnóstico rápido del grado de deterioro de la misma, utilizar el modelo de simulación SWRRB-WQ (Simulator of Water Resources in Rural Basins and Water Quality, Willans et al 1991), el cual predice la producción de agua y sedimentos en cuencas hidrográficas incluyendo la calidad del agua.

El modelo SWRRB-WQ es de gran apoyo tanto en el proceso de análisis y diagnóstico de una cuenca sin información, como para el análisis de alternativas de manejo. Su aplicación en la cuenca permitirá generar información básica sobre la producción de agua superficial, producción de sedimentos y carga de nutrientes y Biocidas a la salida de la cuenca. Información requerida por el grupo interinstitucional que gestiona el proceso de manejo de la microcuenca Zarzales - La Grande.

El modelo SWRRB-WQ permitirá analizar alternativas de uso y sus efectos en la microcuenca, haciendo más racional la toma de decisiones.

A través del modelo SWRRB-WQ se predice con alto grado de significancia, la producción de agua y la cantidad de sedimentos emitidos en cuencas hidrográficas, según estudios de validación de éste modelo en cuencas Venezolanas (Hermelín, S. 1987 y Silva, O. 1995). Además que, siendo la primera vez que se utiliza la nueva versión que incluye calidad de agua, la experiencia ganada permitirá evaluar las ventajas y desventajas de su uso, como también determinar propuestas para su mejoramiento.

1.2. Revisión Bibliohemerográfica.

Una herramienta de gran importancia que nos ayuda en el campo de la planificación, para diagnosticar la situación que realmente acontece en una cuenca, son los modelos hidrológicos.

Todo modelo, según Mosterin (1984), citado por Mintegui et al (1990), aspira a elaborar una teoría del sistema, permitiendo así describir adecuadamente su funcionamiento, explicar lo ocurrido en el pasado y predecir lo que puede ocurrir en el sistema a futuro.

Louck et al (1981), citado por Amisial y Barrios (1986), define los modelos de simulación como un conjunto de relaciones matemáticas y lógicas que describen la operación espacial y temporal de un sistema, y afirma que la misma es la técnica más utilizada para evaluar alternativas en sistemas de recursos hidráulicos.

Los modelos de simulación pueden ser de dos clases generales: paramétricos y estocásticos. Según Duque (1980), los modelos paramétricos responden a ciertas funciones de entrada, considerándose de causa y efecto, obteniéndose así información similar a la de una estación de caudales.

La aplicación de los modelos de simulación computarizados en los procesos del suelo, sólo son realistas y posibles, cuando la información básica está rápidamente disponible (Bouma, 1989; citado por Silva, 1995).

Se recurre al uso de modelos de simulación, ya que es más económico y racional que realizar mediciones reales de largas duraciones y a la vez no causan modificaciones al ambiente cuando se usan con fines experimentales (Fernández, 1982, citado por Silva, 1995).

Según Mintegui y Robredo (1994), los modelos de simulación hidrológica son aplicados en cuencas hidrográficas como instrumento para plantear su ordenación agrohidrológica, donde se analiza el alcance de los efectos torrenciales en la cuenca y al mismo tiempo se evalúan las disponibilidades hídricas de cada una de las diferentes zonas, en el periodo entre eventos torrenciales, y así promover la mejor utilización de los recursos suelo y agua.

Existen modelos de simulación para predecir la producción de agua basándose en el método del número de curva del USDA-SCS (Bingner, 1990). Este método del número de curva ha sido utilizado durante muchos años, debido a que es muy eficiente y sus valores de entrada son de fácil obtención.

Un factor importante de ésta técnica es el uso de la precipitación diaria, ya que para periodos inferiores muchas veces no son fáciles de obtener (Smith y Williams, 1980; citado por Silva, 1995).

En relación a las pérdidas de suelo, Jegat (1991), afirma que las estimaciones pueden hacerse de forma experimental, mediante la utilización de parcelas de medición de pérdida de suelo. Los resultados obtenidos de esta manera pueden aplicarse solamente a las zonas donde se ubican las parcelas. Extrapolar los resultados a zonas de diferentes condiciones implica generalizar los mismos. Para esto se utilizan ecuaciones empíricas, dentro de las cuales la ecuación universal de pérdida de suelo, USLE, es la más conocida.

En la actualidad, la USLE es el modelo matemático más difundido para la estimación de las pérdidas de suelo en parcelas, contemplando la acción de los factores: precipitación, suelo, topografía, cobertura y práctica de conservación (Silva, 1995).

La ecuación básica es:

A = R.K.LS.C.P

donde:

A = pérdida de suelo estimada por unidad de superficie para un periodo dado. Expresado en T/ha, año.

R = energia erosiva de la lluvia, expresada en Mi.mm/ha.hr

K = es el factor erosionabilidad del suelo, expresada en (T/ha)/(Mj.mm/ha.hr).

L = relación de pérdida de suelo con la longitud de la pendiente.

S = relación de pérdida de suelo con el gradiente de la pendiente.

C = factor de cosecha y manejo de vegetación.

P = factor de prácticas de conservación.

Pácz (1990), citado por Silva (1995), indica que la USLE ha sido utilizada en Venezuela dando muy buenos resultados, pero los factores involucrados en el modelo deben ser ajustados a nuestras condiciones.

La producción de sedimentos es la descarga total de sedimentos de una cuenca hidrográfica, medible en una sección transversal de referencia y en un periodo de tiempo específico (Barrios, 1995).

Williams y Berndt (1977), sustituyeron el factor erosividad de las lluvias en la USLE, por un factor de escorrentía, dando origen a la Ecuación Universal de Pérdida de Suelo Modificada (MUSLE). El factor escorrentía incrementa la precisión en las predicciones de la producción de sedimentos, eliminando la necesidad de utilizar coeficientes de entrega y puede aplicarse a eventos individuales de lluvia (Barrios, 1995).

Se expresa de la siguiente manera:

$$Y = 11.8 (Q.Qp)^{0.56} .K.LS.C.P$$

donde:

Y - producción de sedimentos para una tormenta (T/ha).

Q = volumen de escorrentia (m³).

 $Qp - caudal pico (m^3/s)$.

El resto de los factores K, LS, C, P, corresponden a la USLE, pero calculados como promedios ponderados para el área de la cuenca.

En los últimos años se han propuesto numerosos modelos para estimar crosión, sedimentos y calidad del agua. Algunos son aplicados a nivel de parcelas, y otros a nivel de subcuencas y cuencas, referido a un determinado sector hidrológico.

A continuación se describen algunos de ellos :

El modelo CREAMS (Chemical, Runoff and Erosion from Agricultural Management Systems), fue creado en 1980, por el Departamento de Agricultura de los Estados Unidos de América. El modelo calcula la pérdida de suelo y evolución de los nutrientes y Biocidas a nivel de parcela, esto es, evalúa la contaminación no puntual en unidades hidrológicas de campos de cultivos. Los componentes que lo integran son: hidrología, erosión y producción de sedimentos, nutrientes y Biocidas (VSDA/SCS/DE, 1984., citado por Silva 1995).

El modelo trabaja con datos diarios, por evento o por simulación continua. Utiliza la modificación de la USLE (MUSLE) desarrollada por Foster et al (1990), para describir las pérdidas de suelo por flujo laminar. El componente químico del CREAMS, contiene modelos que trabajan independientemente para predecir las pérdidas de nutrientes y Biocidas en la cuenca, para tormentas individuales (USDA/SCS/ED, 1984).

El Modelo EPIC (Erosión - Productivity Impact Calculator), fue creado por-Williams et al (1984), para estudiar la relación entre la erosión y la pérdida de la productividad de los suclos. El modelo trabaja en áreas no mayores de 1 ha., y se diseñó para ser utilizado en la comparación de alternativas de manejo, tomando en consideración: el riego, control de erosión, drenaje, clima, fertilizantes, Biocidas, prácticas agrícolas y otros. El modelo puede ser usado también por planificadores, para establecer metas de control de erosión en función de técnicas de conservación y productividad de los cultivos.

Sus principales componentes son: hidrológicos, climáticos, erosión del suelo, ciclaje de nutrientes, incremento de los cultivos, labranza, temperatura del suelo, factores económicos y manejo de cultivos. El modelo admite el uso para la simulación de los efectos directos e indirectos de diversas rotaciones del cultivo, prácticas de cultivos, estrategias en el manejo de irrigación de abonos y fertilizantes, Biocidas y prácticas de conservación de agua y suelo.

Williams en 1985 modifica los modelos CREAMS y EPIC para ser usados a nivel de cuencas, de donde surge el modelo SWRRB.

El modelo SWRRB (Simulator of Water Resources in Rural Basins), fué desarrollado por Williams et al (1985), cuyo objetivo fue predecir con razonable precisión, los efectos de las decisiones de manejo, sobre la producción de agua y sedimentos en cuencas rurales sin registros en los Estados Unidos.

Los tres mayores componentes del SWRRB son: clima, hidrología y producción de sedimentos. Los principales procesos incluidos en el modelo son: escorrentía superficial, percolación, flujo de retorno, evapotranspiración, pérdidas por transmisión, almacenamiento en lagunas y represas, sedimentación y crecimiento de los cultivos (Williams, et al 1985).

El componente hidrológico del modelo SWRRB se obtuvo de la modificación del modelo CREAMS (de lluvia diaria) para ser aplicado en cuencas grandes y complejas (Williams et al 1985). Y entre los mayores cambios

están: El modelo fue expandido para permitir cálculos simultáneos en algunas subcuencas, para predecir la producción de agua; se adicionó un componente de retorno; fue adicionado un componente de almacenamiento, para su uso en la determinación de los efectos de las lagunas agrícolas y represas en la producción de agua y sedimentos; se adicionó un modelo de simulación de tiempo; un mejor método se desarrolló para predecir la tasa de escorrentía pico; se diseñó un modelo de crecimiento de cultivos; se adicionó un componente simple de tránsito de crecidas; se adicionaron componentes para simular movimiento de sedimentos a través de lagunas, represas; y se estimaron las pérdidas por transmisión.

En el componente hidrológico, la cuenca compleja se divide en subcuencas con cl objeto de reflejar las diferencias para varios cultivos y suclos. La escorrentía es estimada diariamente a través de la ecuación del número de curva y sometida a tránsito para obtener el volumen total producido. La producción de sedimentos se calcula para las subcuencas con la MUSLE.

El modelo SWRRB ha sido validado por Silva (1995) en una cuenca del estado Cojedes, allí obtiene resultados regulares y concluye que el modelo es útil para medir caudales y producción de sedimentos durante la época lluviosa en quebradas pequeñas. Observó también que el modelo subestima la producción de agua y sobrestima la producción de sedimentos, no obstante, considera que los resultados aportan límites de seguridad en el diseño y planificación de pequeños acueductos. El modelo también ha sido aplicado por Winterdaal (1987) y Ilermelín (1987, 1993), con resultados bastante satisfactorios.

Recientemente el desarrollo del modelo SWRRB ha sido enfocado a problemas que evalúan la calidad del agua. Este y otros significativos desarrollos, extienden la capacidad del SWRRB para ser utilizado en una amplia gama de problemas en el manejo de cuencas. Surge entonces la nueva versión del SWRRB: El modelo SWRRB-WQ (The Simulator for Water Resources in Rural

Basins-Water Quality), desarrollado por Arnold et al (1991), que incluye la calidad del agua en cuencas hidrográficas.

El modelo SWRRB-WQ simula sel clima, hidrología, producción de sedimentos, ciclaje y movimiento del nitrógeno y fósforo, destino y movimiento de Biocidas, manejo y crecimiento de los cultivos, manejo de represas y embalses y otros procesos. La diferencia que tiene con la primera versión del SWRRB, es que además de mejorar los cálculos de la evaporación, simula el ciclo y movimiento de los nutrientes, tomado del modelo EPIC, y modificado para su uso.

El modelo EPIC (Erosión - Productivity Impact Calculator - William et al. 1984), para el cálculo del componente de nutrientes se basa en los procesos que sufre el nitrógeno y el fósforo. Del nitrógeno simula pérdidas por escorrentía, lavado y transporte por evaporación de NO₃, transporte de N orgánico por sedimentos, denitrificación, mineralización, inmovilización, extracción en el cultivo, fijación y aporte por la lluvia. En el caso del fósforo, simula pérdidas por escorrentía, transporte en los sedimentos, mineralización y ciclo mineral (Silva, 1995).

El SWRRB-WQ estima las pérdidas de nitratos (sales), en la superficie de escorrentía, considerando 10 mm de espesor del estrato superior del suelo; estima pérdidas de nitrógeno en los cultivos, utilizando una aproximación de oferta y demanda diaria; estima el fósforo soluble perdido en la escorrentía superficial, transporte del fósforo y nitrógeno en los sedimentos; y contempla también, la pérdida por lixiviación del nitrato.

El modelo permite cálculos simultáneos en cada subcuenca, transitando y conduciendo los nutrientes de la salida de la subcuenca a la salida de la cuenca (Arnold, 1991).

También se implementó el cálculo de Biocidas a través de la modificación e implementación del modelo CREAMS (Chemical, Runoff and Erosion from

Agricultural Managruent Systems-Knisel, 1980). El subcomponente de Biocidas en el modelo CREAMS, considera múltiples aplicaciones de Biocidas, incluyendo cualquier combinación de los incorporados al suelo, aplicados a la superficie o en las hojas de los cultivos. Predice el movimiento de los Biocidas para tormentas individuales (Silva, 1995).

El SWRRB-WQ considera que los Biocidas solubles en escorrentia, son conservativos en la cuenca; que los Biocidas absorbidos suelen depositarse en los sedimentos; que la aproximación entre el radio de entrega y el radio de enriquecimiento, usado en la conducción de nutrientes, es también válido en la conducción de Biocidas absorbidos por la escorrentía.

El modelo SWRRB-WQ tiene también la particularidad, no encontrada en otros modelos, de producir el efecto del manejo de la calidad del agua en las lagunas (Williams et al. 1991).

En la determinación de la calidad del agua en los lagos, el modelo permite conocer otros elementos como por ejemplo: Balance de tóxicos existentes en el lago; separación de los componentes de acuerdo a su estado líquido o sólido; realiza el balance de la cantidad de Fósforo, mediante un modulo tomado de Thomann and Mueller; y establece, una relación entre el Fósforo total y el estatus trófico del lago, por medio de relaciones empíricas. (Arnold, 1991).

El SWRRB-WQ ha sido usado por MRS; SCS; EPA y otras agencias para señalar o indicar los efectos del manejo de tierras; en cuanto a calidad y cantidad de agua a la salida de la cuenca, polución de estuarios y bahías, sedimentación de reservórios y registros de Biocidas.

Otros resultados encontrados por el Departamento de Agricultura de los E.E.U.U. indican que implementando una reducción de los cultivos, disminuye significativamente la producción de sedimentos en la cuenca, sin embargo,

diversas limitaciones en el modelo SWRRB-WQ fueron encontradas, limitando severamente su uso para evaluar alternativas de prácticas de manejo en fincas lecheras con respecto a la producción de sedimentos y nutrientes.

En éste trabajo, se seleccionó el modelo SWRRB-WQ - Simulator for Water Resources in Rural Basins - Water Quality (Williams et al, 1991), ya que además de predecir la producción de agua y sedimentos, incluye la calidad del agua en cuencas hidrográficas con el fin de contribuir en el diagnóstico de proyectos de manejo de cuencas.

Rosenthal (1992), desarrolló un software para accesar los datos de entrada del GRASS (GIS - Sistema de Información Geográfica), y utilizarlos para el modelo SWRRB-WQ.

Esta metodología fue aplicada en la cuenca del río Lower, Colorado, Estados Unidos, con aproximada 8.900 Km², con el objeto de agilizar los datos que requiere el modelo y así, economizar tiempo.

El modelo SWRRB-WQ fue calibrado para estimar la producción de agua en la cuenca hidrográfica experimental de Walnut Gulch, Tombstone, Arizona y Matape en Sonora México. (Nichols, 1994).

La base de datos de la cuenca Walnut Gulch incluye; datos topográficos, suelos, vegetación y uso actual, como también las mediciones de la precipitación y escorrentía, para un periodo comprendido entre 1967 y 1977. Para los estudios realizados en la cuenca de Matape, Sonora, se emplearon algunas bases de datos de la cuenca vecina (Walnut Gulch), debido a lo extenso del área de la cuenca mexicana, que no contaba con suficientes datos para ser usados en el modelo. En Matape; México se determinó lo beneficioso del modelo, para evaluar las alternativas de practicas de manejo en la disminución de la producción de sedimentos y en la planificación del recurso hídrico.

1.3. Objetivos e Hipótesis del Estudio:

Objetivos Generales:

- Estimar el grado de deterioro del recurso agua y suelo en la microcuenca demostrativa Zarzales - La Grande, mediante la aplicación del modelo de simulación SWRRB-WQ y su comparación con estándares internacionales establecidos.
- Facilitar la estimación de variables de entrada al modelo SWRRB-WQ, para su aplicación en cuencas altas con escasa información básica.

Objetivos Específicos:

- Análizar las variables necesarias para la aplicación del modelo de simulación SWRRB-WQ, a fin de estudiar las alternativas para su estimación directa o indirecta.
- Preparar la información básica y la implementación de los archivos de datos y ejecutables para aplicar el modelo en la microcuenca.
- Analizar los resultados de la aplicación del modelo SWRRB-WQ para el diagnóstico rápido del grado de deterioro del recurso agua y suelo en la microcuenca demostrativa Zarzales - La Grande.

Hipótesis:

- El modelo SWRRB-WQ estimará la producción de agua, cantidad de sedimentos emitidos, como también el grado de deterioro de la calidad del agua en cuanto a Biocidas y nutrientes se refiere de la microcuenca Zarzales La Grande, como información indispensable en el diagnóstico y evaluación de proyectos en cuencas hidrográficas.
- Por medio del desarrollo de un esquema sencillo se podrán estimar los datos de entrada para la ejecución del modelo.

1.4. Metodología General:

A continuación se detalla el procedimiento a seguir en la investigación, para el logro de los objetivos:

Recopilación de la información básica de la microcuenca.

- Visita de reconocimiento en campo, de las características de la microcuenca demostrativa Zarzales La Grande.
- Estimación de algunas variables del modelo, mediante levantamiento en campo.
- Determinación de los datos de entrada al modelo.
- Aplicación del modelo SWRRB-WQ en la microcuenca para la determinación de la producción de agua; sedimentos, y análisis de calidad del agua.
- Análisis de sensibilidad de algunas variables del modelo, con el objeto de determinar cuales son las de mayor importancia y cuidado en su estimación.
- Análisis de los resultados del modelo, para diagnosticar el grado de deterioro de los recursos agua y suelo en la microcuenca, facilitando la toma de decisiones en la planificación del manejo de la misma.

2.1. Generalidades:

El U.S. Departament of Agriculture (USDA) ha desarrollado el Modelo SWRRB-WQ para la simulación hidrológica, sedimentos y el transporte de nutrientes y Biocidas en cuencas rurales grandes y complejas.

El programa SWRRB-WQ bajo Windows, fue desarrollado para facilitar la inclusión de los datos de entrada y ejecución del modelo, como también para hacer el uso de éste modelo complejo más amigable, y evitar numerosos inconvenientes y ahorro de tiempo para el usuario.

Los requerimientos mínimos que necesita el sistema para su aplicación bajo Microsoft Windows son :

- Versión de Windows 3.0.
- Un procesador 80386.
- 04 Megabytes de RAM.
- 10 Megabytes de espacio en el disco duro.

El programa bajo Windows contiene iconos especiales desarrollados para accesar bases de datos de climas y suelos. Además provee al usuario una guía de uso para el modello e ilustra éste con tres ejemplos.

Contiene iconos que traen las tablas de: información sobre cultivos, e información sobre Biocidas, que pueden ser seleccionados fácilmente por el usuario.

Una vez sinalizada la entrada de datos, los resultados pueden ser editados manualmente, utilizando cualquier editor de texto como por ejemplo: el editor del MS-DOS ó el Norton Editor.

El modelo bajo Windows, tiene la facultad de advertir sobre valores fuera de rango común y de la introducción de caracteres inaceptables, que imposibiliten correr el programa.

El tiempo de corrida del modelo es variable, dependiendo del número de años de simulación, tipos de datos de entrada y especificaciones de salida, generalmente es de 3 minutos.

La implementación bajo Windows contiene dos opciones para gráficos :

- a) La opción de gráficas que viene con el modelo SWRRB-WQ.
- b) La opción de gráficas que permite el control de variables que le gustaría graficar.

Al accesar inicialmente el programa a través del ejecutable SWRRBFS.EXE, se encuentran dos selecciones a escoger:

- a) La opción del programa bajo Windows.
- b) La opción del manual de corrida.

La opción del manual de corrida permite accesar al editor texto UTIL o el editor NOTEPAD, para editar manualmente, siempre y cuando, existan los archivos de entrada, y así ejecutarlos para su debido procesamiento. Si los archivos están en el MS-DOS, pueden ser editados bajo Windows.

El modelo presenta también una guía de uso para ésta versión bajo Windows. Esta guía de uso es dividida en siete secciones como se muestra en el cuadro 1.

Cuadro 1. Guía para el usuario dividida en siete secciones.

SECCIÓN	CONTENIDO
1	Introducción del Modelo SWRRB-WQ, versión bajo Windows.
2	Resumen técnico y un cuadro teórico del modelo.
3	Requenmientos de entrada para el modelo.
4	Descripción de los archivos de salida del modelo.
5	Requerimientos mínimos del sistema y cierta información sobre el SWRRB-WQ.
6	Información necesaria para el uso del SWRRB-WQ bajo Windows como : accesar un archivo existente o abrir uno nuevo, archivos con nombres convencionales, como guardar archivos de entrada, ofrece un editor por defecto, corrida del modelo, gráficos de salida, funciones claves y comandos.
7 .	Tres ejemplos de corridas, que nos dan una idea de importantes aspectos sobre el modelo.

2.2. Descripción de los Datos de Entrada al Modelo:

Entre los diferentes datos de entrada que requiere el programa tenemos: los datos generales de la cuenca y subcuencas, datos climatológicos, datos de tránsito de sedimentos, datos de lagunas y embalses, datos de pesticidas, datos de nutrientes, datos de suelo, datos de cultivo y datos de riego. El programa también puede trabajar paralelamente con diferentes bases de datos como: registros diarios de temperatura y precipitación de algunas estaciones, registros de propiedades físicas de diferentes tipos de suelos del país (si existen).

Para facilitar la interpretación de las variables que requiere el modelo, se hace una descripción en el anexo A de cada uno de ellos, contemplando en las diferentes columnas: el número de registro, variables, formato utilizado, descripción de las variables, unidades y algunas observaciones para cada variable.

2.3. Formulación Matemática del Modelo:

El modelo hidrológico está basado en la ecuación del balance de agua:

$$SW_{T} = SW + \sum_{i=1}^{T} (Ri - Qi - ETi - Pi - QRi)$$
 (01)

donde:

SW = Contenido del agua en el suelo a 15 atmósfera.

T = Tiempo en días.

R - Cantidad diaria de precipitación.

Q = Valor diario de escorrentia.

ET = Evapotranspiración diaria.

P - Percolación diaria.

QR = Flujo de retorno diario.

Todas las unidades expresadas en mm.

Para estimar la producción de agua se han desarrollado dos modelos de simulación, basados en la estimación de escorrentía a través del método del número de curva (CN) del Servicio de Conservación de Suelos (SCS - USDA, 1972), en función del contenido de humedad diaria en el suelo.

Ellos analizaron un gran número de cuencas experimentales para luego desarrollar el método que estima la escorrentía, basado en el complejo suelo, cobertura y humedad antecedente de las cuencas.

Se fundamenta en la relación existente entre la infiltración, la escorrentía potencial y los valores reales de estos. La expresión es la siguiente :

$$\frac{F}{S} = \frac{Pe}{Pp} \tag{02}$$

donde:

F es la infiltración real.

S = cs la infiltración potencial.

Pe - es la escorrentía real o precipitación efectiva, y

Pp = es la escorrentía potecial.

Todas las unidades en mm.

Las cuencas complejas son subdivididas para reflejar diferencias en evapotranspiración (ET) para varios cultivos y suelos. De este modo la escorrentía se estima diariamente a través del método del CN, separada para cada subcuenca y transitada para obtener el total de escorrentía para la cuenca.

El valor del número de curva se recalcula diariamente para considerar los cambios de humedad en el suelo.

Volumen de Escorrentía Superficial.

La superficie de escorrentía se predice para cada día de lluvia, usando la ecuación del CN del SCS (USDA, 1972).

$$Q = (R - 0.2S)^2 / (R + 0.3S), \quad si \quad R > 0.2S$$
 (03)

$$Q = 0.0,$$
 si $R < 0.2S$ (04)

donde:

Q = Escorrentía diaria.

R – Lluvia diaria.

S = Parámetro de retención o infiltración.

Todas las unidades en mm.

El parámetro de retención S varia entre las cuencas por el tipo de suelo, uso de la tierra, prácticas de manejo y la pendiente o grado de inclinación. Este parámetro de retención S, se relaciona con el contenido de agua en el suelo mediante la ecuación:

$$S = 254 \left(\frac{100}{CN} - 1 \right) \tag{05}$$

la constante 254, da el S en mm. y CN es el número de curva.

El número de curva se obtendrá para cualquiera área, usando las tablas del SCS Hidrology Hand Book (USDA, 1972). Estas tablas relacionan el uso y manejo de la tierra, condición hidrológica, y el suelo, según la humedad antecedente.

La humedad antecedente se estima sobre la base de la cantidad de lluvia caída en los 5 días anteriores al evento en consideración.

Tasa de Flujo Pico:

La predicción de la tasa de flujo pico está basada en una modificación de la fórmula racional:

Considerando el coeficiente de escorrentía para las tormentas, la intensidad de la lluvia, el tiempo de concentración y la escorrentía diaria calculada por el modelo, surge finalmente la ecuación de la escorrentía pico, y se expresa de la siguiente manera:

$$qp = \alpha(Q)(A) / 360 (TC)$$
 (06)

donde:

qp - Tasa de Flujo Pico (m³/seg).

 α = Parámetro adimensional.

Q = Escorrentía Diaria (mm)

A = Area de Drenaje (ha).

te TC = Tiempo de Concentración (h).

El tiempo de concentración puede ser estimado sumando el tiempo del flujo superficial y el tiempo del flujo en el cauce.

$$tc = tcc + tcs + tsf (07)$$

dondc:

tcc = es el tiempo de concentración del flujo en el cause en horas.

tcs = es el tiempo de concentración del flujo superficial en horas.

tsf = es el tiempo de concentración del flujo en el cause inmediato a la superficie.

El tiempo de concentración del flujo en el canal (tec), es calculado con la ecuación:

$$tcc = \frac{(L - \lambda - Lsf)n}{3.6d^{0.67}\sigma^{0.5}}$$
 (08)

donde:

tcc = Tiempo de concentración del flujo en canal (hrs).

L = Longitud del canal desde el punto más lejano de la cuenca (Km).

 λ = Longitud de la pendiente en vertiente (Km.).

Lsf = Longitud del flujo superficial (Km.).

n = Coeficiente de rugosidad "n" de Manning.

d - Promedio de la profundidad del flujo en canal (m).

σ - Pendiente del canal en m/m.

El tiempo de concentración del flujo superficial (tcs), es calculado con la ecuación:

$$tcs = \frac{0.091(\lambda.n)^{0.8}}{S^{0.4}R^{0.5}}$$
 (09)

donde:

tes - Tiempo de concentración del flujo superficial (h).

R = Cantidad de lluvia en tormentas (mm).

n = Pendiente del suelo en m/m.

El tiempo de concentración del flujo en canal inmediato a la superficie (tsf), es calculado por la ecuación:

$$uf = \frac{Lsf}{Vsf} \tag{10}$$

donde:

tsf = Tiempo de concentración del flujo en canal inmediato a la superficie (hr).

Lsf = Longitud del flujo superficial (Km.).

Vsf = Promedio de la velocidad de flujo superficial (Km/h).

Tránsito de Flujo:

El modelo usa un método simple de tránsito de flujo diario, simulando de manera más realista el flujo a la salida de la cuenca. Los Hidrogramas deben ser calculados a la salida de las cuencas, con el fin de proveer los datos para el modelo de transito.

El modelo SWRRB-WQ supone un hidrograma triangular y calcula la base del hidrograma usando la ecuación:

$$tbi = \frac{2Qi}{qpi} \tag{11}$$

donde:

tbi = tiempo base del hidrograma triangular y el subíndice i se refiere a las subcuencas.

Para transitar el hidrograma aguas abajo es aplicado un método de tránsito que considera la variación en el tiempo de viaje con la profundidad del flujo. Se aplica un método corto de tránsito basado en el tiempo de viaje para la tasa de flujo pico y para la tasa mínima de flujo (aproximadamente 0,1 del flujo pico) desarrollado. La única información que necesita es el ancho superior, ancho de fondo, profundidad, pendiente, longitud y la rugosidad "n" de Manning del

cauce. Estos valores van a representar la condición promedio del canal desde la salida de la subcuenca hasta la salida de la cuenca.

Percolación :

El componente de percolación del SWRRB-WQ usa el modelo Rutina de Almacenaje combinado con el modelo Flujo - Ilendidura, para predecir el flujo continuo para cada estrato del suelo (zona radicular).

Cada vez que el agua percola de la zona radicular se traduce en una pérdida para la cuenca (aparece como flujo de retorno en los depósitos de agua río abajo).

El modelo Rutina de Almacenaje se basa en la ecuación :

$$SW_i = SWO_i \cdot \exp(-\Delta t / TTi)$$
 (12)

donde:

Bdigital uave

SWO y SW = son los contenidos de agua en el suelo al principio y al

 $\Delta t = es el intervalo de tiempo (24 h).$

TT = tiempo de viaje a través de la capa i, en h.

final del día, en mm.

así la percolación puede ser calculada sustrayendo SW de SWO:

$$0i - SWO_i \left[1 - \exp(-\Delta t / TTi) \right] \tag{13}$$

donde:

O = cs la tasa de percolación en mm/d.

El tiempo de viaje, (TT_i), es calculado para cada capa de suelo con la ecuación de almacenamiento lineal:

$$TT_i = (Sw_i - Fc_i) / H_i$$
 (14)

dondc:

H_i = es la conductividad hidráulica en mm/h.

Fc = es la capacidad de campo menos el punto de marchitez del contenido de agua del horizonte i en mm. La conductividad hidráulica varia, desde la conductividad saturada, hasta la capacidad de campo.

$$H_i = SC_i \left(\frac{SW_i}{UL_i}\right)^{Bi} \tag{15}$$

donde:

Bdigital.ula.ve

 $SC_i = conductividad saturada para el horizonte i, en mm/h.$

 $B = es un parámetro que produce que <math>H_i$ se acerque a cero cuando Sw_i se acerca a Fc_i . La ecuación para estimar B_i es :

$$B_{i} = \frac{-2.655}{\log_{10}(FC_{i}/UL_{i})} \tag{16}$$

La constante -2.655, fue fijada para asegurar que $H_i = 0.002Sci$ (a capacidad de campo).

El flujo continuo de un horizonte de suelo se da a través de los horizontes de suelo más profundos y saturados. Si el horizonte inmediato, debajo del considerado, está saturado, ningún fluido puede ocurrir sin considerar los resultados de la ecuación que determina H_i.

El efecto del agua contenida en el horizonte más bajo, viene dada por la siguiente ecuación:

$$Oc_i = O_i \sqrt{1 - \frac{SW_i + 1}{UL_i + 1}} \tag{17}$$

donde:

 $Oc_i = es \|a$ tasa de percolación para el horizonte i en mm/d. corregida por el horizonte i+1 del contenido de agua.

 O_i = es la percolación calculada con la ecuación que determina O_i .

El modelo Flujo - Hendidura permite la percolación de la lluvia infiltrada, aunque el contenido de agua en el suelo sea menor que el de la capacidad de campo. Cuando el suelo esta seco y agrietado, la lluvia infiltrada puede fluir a través de las grietas de los horizontes sin formar parte del contenido de agua de esas capas de suelo. Sin embargo, la porción que se convierte en parte del agua acumulada en los horizontes, no puede percolar hasta que lo almacenado exceda la capacidad de campo.

El modelo Flujo - Hendidura, es simulado con una relación similar a la utilizada para estimar la percolación sobre la capacidad de campo.

La percolación está también afectada por la temperatura del suelo. Si la temperatura en un horizonte cualquiera es 0° C ó menor, no se permite ningún tipo de percolación a través del horizonte.

Flujo Subsuperficial Lateral:

El flujo subsuperficial lateral es calculado simultáneamente con la percolación. Cada sección de 4 mm tiene la oportunidad de percolar primero y el resto está en función del flujo lateral. Así, el flujo lateral puede ocurrir cuando el almacenaje en cualquier capa exceda a la capacidad de campo después de la percolación.

La función del flujo lateral, es expresada por la ecuación:

$$q_{Lot} = 0.024 \frac{2SKs. Sen(\alpha)}{Qd. L}$$
 (18)

dondc:

q_{1.at} = es el flujo lateral en mm/d.

S = es el volumen drenado de agua almacenado en la zona de saturación en m.h⁻¹ (agua por encima de la capacidad de campo).

 $\alpha - en m/m$.

Ks – es la conductividad saturada (mm/h).

 $\emptyset d = es$ la porosidad drenable del suelo en m/m.

L = longitud de la pendiente de vertiente en metros.

La capacidad de flujo hacia arriba es estimada de la conductividad saturada (Ks) y la longitud de la pendiente (L).

$$q_{Sat} = 24 \text{ Ks.Ls } / \text{L} \tag{19}$$

donde:

 $q_{Sat} = es$ el flujo ascendente en mm/d.

Ks = Conductividad saturada (mm/h).

Ls – Longitud de pendiente saturada en (m).

I. = I.ongitud de la pendiente en vertiente (m).

Algunos modelos hidrológicos dividen el perfil del suelo en múltiples estratos, permitiendo la percolación entre ellos hasta el final del perfil del suelo. El modelo es aplicado para cada estrato independientemente.

De acuerdo con Sloan y Moore, (1984), citado por Arnold et al (1991), el flujo subsuperficial es probable que sea significativo en las cuencas hidrográficas con suelos de alta conductividad hidráulica y un estrato impermeable o semipermeable a profundidades más bajas que soporten un nivel freático.

El tiempo del viaje del flujo lateral, está también ajustado para contabilizar las variaciones en el contenido de agua y características de flujo.

Evapotranspiración:

El componente de la evapotranspiración del SWRRB-WQ ofrece dos opciones para estimar el potencial de evaporación

El de Hargreaves y Samani (1985), y el de Priestley y Taylor (1972), citados por Arnold et al (1991).

La ecuación de Priestley y Taylor (1972), requiere de la radiación solar y temperatura del aire. El de Hargreaves y Samary (1985), necesita solamente de la temperatura del aire.

El modelo computa la evaporación del suelo y de las plantas separadamente, (Ritchie, 1972). La evaporación potencial del agua en el suelo es estimada en función del potencial de evaporación y el índice de área foliar (LAI, es el área de las hojas de las plantas en relación con el área superficial del suelo). La actual evaporación del agua en el suelo es estimada usando la función exponencial de la profundidad del suelo y el contenido del agua. La evaporación del agua en las plantas es simulada con una función lineal del potencial de evaporación y el índice de área foliar.

El método de Priestly y Taylor (1972), para estimar el potencial de evaporación basado en la temperatura y radiación es:

$$E_{\rm o} = 1.28 \left(\frac{h_{\rm o}}{Hv} \right) \left(\frac{\delta}{\delta + v} \right) \tag{20}$$

donde:

E₀ = es el potencial de evaporación en mm.

 δ = es la pendiente de la curva de presión de vapor de saturación en KPa/°C.

y = es la constante psicrométrica en KPa/°C.

 $H_0 = es la radiación solar en Mj.m².$

Hv = es el calor latente de vaporización en Mj/kg.

El método Hargreaves y Samani (1985), fue modificado para usarse en el SWRRB-WQ, para estimar la evapotranspiración potencial. Entre las principales modificaciones está el incremento de la diferencia exponencial de la temperatura de 0,5 a 0,6. También la radiación terrestre es remplazada por RAMX (La máxima radiación solar posible sobre la superficie de la tierra) y el coeficiente es ajustado de 0,0023 para 0,0032.

La ecuación modificada es:

$$E_0 = 0.0032 \left(\frac{RAMX}{Hv}\right) \cdot (T + 17.8) (T_{MX} - T_{MN})^{0.6}$$
 (21)

donde:

 T_{MX} y T_{MN} = son las máximas y mínimas temperaturas del aire en °C.

Pérdidas por Transmisión:

Muchas cuencas semiáridas tienen canales aluviales que atraen grandes cantidades de corrientes de agua. La atracción o transmisión de pérdidas reduce los volúmenes de escorrentía Lane (1982), citado por Arnold et al, (1991).

También describe su procedimiento para estimar las pérdidas por transmisión para corrientes efimeras. Este procedimiento es utilizado por el SWRRB-WO cuando los datos de los canales (ancho, profundidad, "n" de Manning), duración de flujo y conductividad hidráulica efectiva del canal, son disponibles.

Las pérdidas por transmisión, son calculadas dos veces para cada subcuenca. Primero, las pérdidas ocurridas dentro de la subcuenca son estimadas: El volumen del flujo de entrada P, es asumido para que sea igual a la escorrentía superficial proveniente de la subcuenca y la duración del flujo es estimada por la siguiente ecuación:

$$DU = (Q)(\Lambda)/(1.8q_p)$$
 (22)

donde:

Q = volumen de la escorrentía superficial en mm

A = área de drenaje en ha. q_p = tasa de flujo pico en m³/s.

Segundo; la duración del flujo desde la salida de la subcuenca a la salida de la cuenca, es estimada con la ecuación anterior, utilizando Q, y qpL, el volumen y la tasa pero después de la perdida respectivamente, calculadas a partir de las siguientes ecuaciones:

$$Q_1 - Q - T_L. \tag{23}$$

donde:

 Q_1 = Volumen de la Escorrentía Superficial (mm).

 T_L = es la pérdida por transmisión en mm.

La ecuación para la descarga pico después de la pérdida q_{pl} es :

$$q_{pl} = Q_l.A / (1,8.Dv)$$
 (24)

donde:

qpl = tasa de flujo en m3/s.

Q1 = Volumen de Escorrentia Superficial (mm)

A = árca de drenaje en ha.

Dv = duración del caudal en horas.

Estimaciones Climáticas:

La variable del clima, necesarias para manejar el SWRRB-WQ son: precipitación, temperatura del aire y radiación solar. Si los datos de precipitación están disponibles diariamente, ellos pueden ser directamente introducidos al SWRRB-WQ, o entonces el generador del clima permite simular la precipitación, la temperatura y radiación. Las variables del tiempo pueden ser simuladas para toda la cuenca o pueden ser simulados para cada subcuenca.

El modelo de precipitación del SWRRB-WQ, desarrollado por Nicks (1971), citado por Arnold et al (1991), es una cadena del modelo de Markov de primer orden. Así, el modelo debe proveer como entrada, las probabilidades mensuales de un día de lluvia si el día anterior fue seco, y la probabilidad mensual de una día de lluvia si el día anterior fue húmedo. Si las probabilidades seco y húmedo no están disponibles, ellas pueden ser estimadas por el modelo, usando los días de precipitación promedio mensual.

Cuando un evento de precipitación ocurre, la cantidad de lluvia se determina mediante una función de distribución normal.

$$\bar{X} = \frac{\partial}{g} \left[\frac{g}{z} \left(\frac{R - m}{\sigma} \right)^{1/3} \right] + \frac{g}{\partial}$$
 (25)

donde:

X - desviación normal general.

R = cantidad de lluvia diaria (mm).

m; σ; β = son la media, desviación estandar y el coeficiente de asimetría de la lluvia diaria de un mes en particular.

El modelo SWRRB-WQ, genera una temperatura máxima diaria del aire, usando la ecuación de distribución normal (Nicks y Harp, 1980, citado por Arnold et al 1991):

$$T_{mx} = \overline{T}_{mxy} + (U_{Tmxy})(X_{Tmx})(BF)$$
 (26)

$$T_{\text{max}} = \overline{T}_{\text{max}j} + (U_{T_{\text{max}}})(X_{T_{\text{max}}})(BF) \tag{27}$$

donde:

T_{mx} = temperatura máxima diaria en °C. T_{mn} – temperatura mínima diaria en °C.

 \overline{T}_{mx} = media diaria de la máxima temperatura del mes j en °C.

 T_{min} = media diaria de la mínima temperatura del mes j en °C.

 U_{tmx} = desviación estandar de la temperatura máxima en el mes j en °C.

 U_{Tmn} = desviación estandar de la temperatura mínima en el mes j en °C.

 $X_{Tmx} = n \dot{u}$ mero aleatorio uniforme incluido para Tmx.

X_{Tmn} - número aleatorio uniforme incluido para Tmn.

BF = es un factor de peso basado en la probabilidad de un día húmedo seco.

La radiación solar es también generada de la distribución normal usando la ecuación de Nicks y Harp (1981), citado por Arnold et al (1991):

$$RA_{RM} = \overline{RA}_{j} + (U_{RA})(X_{RA})(BF)$$
 (28)

dondc:

RA_{IDA} = es la relación solar generada por el día IDA en Ly.

 $\overline{RA}_j = \operatorname{cs} \operatorname{la} \operatorname{relación} \operatorname{media} \operatorname{diaria} \operatorname{para} \operatorname{cl} \operatorname{mes} j \operatorname{cn} \operatorname{Ly}.$

 $U_{RA} = cs$ la desviación estandar para la radiación diaria en el mes j en Ly.

 X_{RA} = es el número aleatorio uniforme incluido para RA.

Estimación de la Producción de Sedimentos:

La producción se calcula para cada subcuenca con la ecuación modificada de pérdida de suelo (MUSLE) de Williams y Berndt (1977), ya descrita anteriormente, cuya ecuación es:

ción es:

$$Y = 11.8(Q.qp)^{0.56}.K.C.P.LS$$
 (29)

A continuación se hace una breve descripción de los factores involucrados en la ecuación, según Barrios (1995).

El factor K, erosionabilidad del suelo, es la tasa de pérdida de suelo por unidad de área y por unidad de índice de erosión, para un suelo determinado, evaluada en parcelas estandars de erosión. La parcela estandar tiene 22,1 m de longitud (λ) y 9% de pendiente uniforme (P), y es mantenida en barbecho continuo y libre de cobertura vegetal.

Es un valor promedio que se determina experimentalmente para un suelo después de evaluarse múltiples lluvias de diferentes tamaños e intensidades y condiciones de humedad antecedente cambiante.

La ecuación propuesta por Wischmeier y Smith (1979) parte de cinco características del suelo (porcentaje de Limo más arena fina, porcentaje de arena, contenido de materia orgánica, estructura y permeabilidad), para obtener el factor K a través de nomogramas que resuelven la ecuación dentro de ciertos límites de valores.

El factor topográfico LS es la relación entre el suelo perdido en un terreno cualquiera con pendiente P y longitud λ , y la correspondiente a la parcela piloto utilizada en el desarrollo de la USLE. Se refiere al efecto combinado de longitud y pendiente de los terrenos expuestos a la erosión laminar y en surcos.

El factor LS es calculado con la ecuación (Wischmeier y Smith (1978):

$$LS = (\lambda / 22,1)^{0.6} (65,41S^2 + 4,565S + 0,065)$$
 (30)

donde:

 λ - longitud uniforme del terreno (m).

S = subfactor inclinación de la pendiente (adimensional).

El factor C de cobertura y manejo, es la relación entre la pérdida de suelo de un área con una determinada cobertura y manejo de otra área igual pero mantenida en barbecho continuo, limpia y arada, en el sentido de la pendiente a intervalos irregulares. La determinación del factor C se hace a partir de valores tabulados según se trate de cultivos agrícolas o vegetación forestal.

El factor P, prácticas especiales para el control de la erosión, es la relación de pérdida de suelo entre una parcela donde se han aplicado prácticas eficientes de conscrvación para el control de la crosión; como cultivos en contornos, en fajas y en terrazas, y las pérdidas que se producen en una parcela donde tales prácticas no se utilizan y el laboreo se efectúa en el sentido de la pendiente.

La determinación del factor P, se hace a través de valores tabulados correspondientes a las prácticas usualmente consideradas para él.

Tránsito de Sedimentos:

El modelo para transitar los sedimentos, utiliza dos componentes que operan simultáneamente (la deposición y la degradación). La deposición está basada en la velocidad de caída de las partículas de sedimentos (Arnold et al, 1990), y pueden ser llevados hasta las represas y estanques.

La degradación está basada en el concepto de fuerza de las corrientes de Bagnald's. Esta acontece cuando la fuerza de arrastre de la corriente es mayor que la cantidad de partículas de sedimentos que viajan en él.

La cantidad de sedimentos transportada hasta la salida de la cuenca, SEDout, es:

$$SEDout - SEDin - DEP + DEG$$
 (31)

donde:

SEDin = Alcance de los sedimentos a la entrada.

DEP = Desposición de sedimentos.

DEG = Degradación total.

La deposición de sedimentos (DEP) es calculada con la ecuación :

$$DEP = SED_{in}(1-DR)$$
 (32)

donde:

DR = Razón de entrega de los sedimentos.

La degradación total (DEG), es la suma de los componentes del lecho degradado y de reentrada, calculada a través de la ecuación :

$$DEG = (DEG_R + DEG_B)(1-DR)$$
 (33)

donde:

DEG_R – Degradación del material del lecho.

DEG_B = Degradación por arrastre de sedimentos.

Cultivos:

El modelo para cultivos en el SWRRB-WQ es una simplificación del modelo EPIC (Williams et al, 1984).

El SWRRB-WQ simula el crecimiento de los cultivos sean anuales o perennes.

El desarrollo fisiológico de los cultivos está basado en las unidades de calor diaria acumulada y se calcula a través de la ecuación:

$$Hu_i = (Tmx, i + Tmn, i / 2) - Tbj$$
, si $Hu_i \ge 0$ (34)

donde:

Hu_i = Unidades de calor diaria.

Tmx,i = Máxima temperatura en °C en el día i.

 \dot{T} mn, i = Minima temperatura en °C en el día i.

Tbj = Temperatura básica, específica para el incremento de los cultivos en °C.

El índice de unidades de calor (HUI) tiene un rango de 0 (al inicio de la plantación) y 1 (para la madurez fisiológica de la plantación). Es calculado por medio de la siguiente ecuación:

$$HUI_{i} = \frac{\sum_{k=1}^{i} HU_{k}}{PHU_{j}}$$
(35)

donde:

HUI = es el indice de unidades de calor, para el día i.

PHU – es la unidad de calor potencial requerida para la maduración del cultivo j.

PHU es calculado por el modelo normal de plantación y datos de cosecha.

El incremento potencial en la biomasa para un día cualquiera, puede ser estimada con la ecuación (Monteith, 1978, citado por Arnold et al, 1991):

$$Abp, i = (BE)j (PAR)i$$
 (36)

dondc:

Abp = cs cl incremento potencial diario del total de la biomasa en Kg/ha.

BE – es el parámetro de los cultivos, para convertir la energia en biomasa, en Kg/m²/ha.

PAR = es la actividad fotosintética de las plantas, en función de la radiación solar (Mj/m²).

Además del incremento potencial diario de la biomasa total, durante la estación de erecimiento, el modelo utiliza el índice de área foliar (LAI), para simular el crecimiento de los cultivos.

El índice de área foliar (LAI) se calcula diariamente de acuerdo al máximo LAI y el total de la biomasa en el suelo y se estima por medio de la siguiente ecuación :

$$LAI = \frac{(LA\operatorname{Im}x)(BAG)}{[BAG + \exp(9.5 - 0.0006BAG)]}, \quad \text{si} \quad HIU_{i} \le DLAI \quad (37)$$

$$LAI = (16)(LAImx)(1-HIU_i)^2$$
, si $HIU_i > DLAI$ (38)

donde:

LAImx = es la máxima LAI potencial para los cultivos.

BAG = es la biomasa sobre el suelo en Kg/ha.

DLAI = es la fracción del estado de crecimiento cuando LAI se aproxima a 0,75.

En importante destacar que el SWRRB-WQ, en capaz de simular el crecimiento de los cultivos para plantas perennes y anuales, basado en la acumulación diaria de unidades de calor, el índice de cosecha, biomasa potencial y el ajuste del estrés de la temperatura y el agua. Sin embargo, para el caso de los cultivos anuales el crecimiento se calcula a través de las fechas de plantación y cosecha, ó hasta que se llegue a un punto en que, las unidades acumuladas de calor diarias, sean iguales a las unidades potenciales de calor para ese cultivo.

Producción de Nutrientes:

La producción de nutrientes y el ciclaje de nutrientes fueron tomados del modelo EPIC y necesariamente modificados para su inclusión en el modelo SWRRB-WQ.

El modelo SWRRB-WQ, permite cálculos simultáneos en cada subcuenca y transita el agua, los sedimentos y los nutrientes de las salidas de las subcuencas a la salida de la cuenca.

Cantidad de Nitrato NO3-N perdido en escorrentía:

Es estimado para cada subcuenca considerando solamente la capa superficial del suelo (10 mm de espesor). La cantidad total de agua desplazada en la capa superficial, es la suma de la escorrentía, el flujo subsuperficial lateral y la percolación.

$$Q_{T} = Q + Q_{1} + Q_{R1} (39)$$

donde:

 Q_T = agua total perdida del primer estrato en mm.

Q = volumen de escorrentía en mm.

Q₁ – percolación del primer estrato en mm.

 Q_{R1} = flujo lateral del primer estrato en mm.

La cantidad de NO₃-N perdido con el Q_T (contenida en el crecimiento, flujo lateral y percolación), es estimado del producto del volumen de agua y la concentración de NO₃-N del primer estrato, como lo muestra la siguiente ecuación:

$$V_{NO_3} = (Q_T)(C_{NO_3}) \tag{40}$$

donde:

 V_{NO_3} = cantidad de NO_3 -N perdido del primer estrato.

 C_{NO_3} = concentración de NO_3 -N en el primer estrato.

Al final del día, la cantidad de NO₃-N que permanece en el estrato es dado por la ecuación :

$$WNO_3 - WNO_{30} - (QT)(CNO_3) \tag{41}$$

donde:

WNO₃ y WNO_{3_0} = son las cargas del contenido de NO₃-N en el estrato desde el inicio y al final del día.

idital ula ve

La concentración de NO₃-N puede ser estimada dividiendo la carga de NO₃-N, con el volumen almacenado de agua:

$$CNO_3 = CNO_3 - CNO_3 \left(\frac{-QT}{PO_1 - WP_1}\right)$$
 (42)

donde:

CNO₃ = es la concentración de NO₃-N al final del día en mg.

 $PO_1 = porosidad del suelo.$

WP₁ = contenido de agua en el punto de marchitez para un estrato de suelo en mm.

La cantidad de NO₃-N perdido en el primer estrato (VNO₃), puede ser calculada para el agua total perdida del primer estrato (QT), a través de la ecuación:

$$VNO_3 = WNO_3 \left(1 - \exp\left(\frac{-QT}{PO_1 - WP_1}\right) \right) \tag{43}$$

Finalmente, la concentración promedio de CNO3 para el QT del día es:

$$CNO_3 = VNO_9/QT (44)$$

La lixiviación y el flujo subsuperficial lateral en los estratos de abajo, son tratados con la misma aproximación que el estrato superior descrito anteriormente.

Transporte del nitrógeno orgánico por los Sedimentos:

Una sunción desarrollada por McElroy et al, (1976), y modificada por Williams et al, (1978), es usada por su aplicación en eventos de escorrentía individuales y para estimar el N orgánico perdido para cada subcuenca.

La función de es:

$$YON = 0.001(Y)(CON)(ER)$$
(45)

donde:

YON = es la pérdida de N orgánico en la escorrentía a la salida de la subcuenca en Kg/ha.

CON = es la concentración de N orgánico en el estrato superior del suelo en g/t.

Y = es la producción de sedimentos en t/ha.

ER – es la razón de enriquecimiento.

El valor de CON es introducido al modelo, de los análisis de suelo y permanece constante a lo largo de la simulación.

La razón de enriquecimiento (ER) está comprendido entre los límites; 1 ≤ ER < 1/DR. Si la aproximación de la razón de enriquecimiento es 1,0, la concentración de sedimentos sería extremadamente alta. Recíprocamente, una concentración de sedimentos muy baja causaría un valor aproximado de 1/DR, para el radio de enriquecimiento.

La ecuación logarítmica para la estimación del radio de enriquecimiento (ER) es:

$$ER = X_1 \cdot Ca^{X_1} \tag{46}$$

donde:

 X_1 y X_2 = son parámetros para los límites superior e inferior.

Ca = es la concentración de sedimentos en g.m⁻³.

Los límites se dan asumiendo un rango de concentración de sedimentos de 500 a 250,000 gm⁻³, a través de las ecuaciones :

$$X_2 = \log(1/DR)/2.699$$
 (47)

$$X_1 = 1/(0.25)^{X_2} \tag{48}$$

Consumo de Nitrógeno por los Cultivos:

Sc calcula usando una aproximación de abastecimiento y demanda. La demanda diaria de los cultivos puede ser calculada usando la ecuación:

$$UND_{i} - (C_{NB})_{i}B_{i} - (C_{NB})_{i-1}B_{i}-1$$
(49)

donde :

UND, - demanda N de cultivos en Kg/h

 C_{NB} = concentración óptima N de los cultivos.

B = Fracción de la estación de crecimiento acumulado en Kg/ha

La optima concentración de N en los cultivos es calculado en función del estado de crecimiento de las plantas, usando la ecuación:

$$C_{NB} = 4.0(bn) + 1.54(bn)exp(-bn.B_1)$$
 (60)

donde:

bn = es un parámetro de cultivo que expresa la concentración de N.

 B_1 = es la fracción del estagio de crecimiento de las plantas.

El valor de B₁ es estimado en función de las unidades de calor, como se muestra en la siguiente ecuación:

$$B_{j,i} = \sum_{K=1}^{i} \frac{HUI}{PHU} \tag{51}$$

donde:

HU = Unidades de calor diaria en °C, basadas en la temperatura de los cultivos.

PHU = son las unidades potenciales de calor para la maduración de los cultivos en °C.

Los cultivos toman el N de los estratos del suelo hasta donde llegan las raíces. Así suple la demanda diaria siempre que exista N disponible. Generalmente el suelo no satisface esta demanda diaria de N; debido a la rápida fijación del nitrógeno que se da en el suelo.

Se hace necesario la aplicación de fertilizantes al suelo, para suplir ésta demanda.

Fósforo soluble perdido en la Escorrentía Superficial:

Debido a que el fósforo está asociado con la fase de sedimentación, la ecuación para el fósforo soluble en escorrentía puede ser expresada de la siguiente manera:

$$YSP = 0.01(C_{LPP})(Q)/Kd$$
 (52)

donde :

YSP = es el fósforo soluble en Kg/ha perdido en un volumen de escorrentía Q en mm.

C_{LPP} = es la concentración de fósforo disponible, en el fósforo del estrato del suelo en g/t, y

Kd – concentración de fósforo en los sedimentos dividido por los sedimentos del agua en m³/1.

El valor de C_{LPP} es introducido al modelo y permanece constante. El valor Kd usado en el modelo SWRRB-WQ es 1,75.

Transporte de Fósforo en los Sedimentos:

Él transporte de fósforo en los sedimentos es simulado como una función de medida descrita en el transporte de N orgánico.

La función de medición del fósforo es:

$$YP = 0.01(Y)(CP)(ER)$$
 (53)

donde :

YP = es la fase de sedimentación del fósforo perdido en la escorrentía en Kg/h.

CP = concentración de fósforo en la capa superficial del suelo en g/t.

Aplicación de Fertilizantes:

La fecha y la tasa de aplicación del nitrógeno (N) y fósforo (P) es introducido al modelo. La cantidad de N y P es agregada al primer estrato del suelo y está disponible para los cultivos, perdidas en el agua, transporte con sedimentos y lixiviación.

Los Biocidas:

La técnica del modelo CREAMS (Chemicals, Runoss, Erosion Agricultural Management Systems) de Leonard et al (1987), para la simulación del transporte de Biocidas por la escorrentía, la percolación, la evaporación del suelo y sedimentos, fue introducido al modelo SWRRB-WQ.

Cuando el Biocida es aplicado, hay una perdida hacia la atmósfera. Así, la cantidad que alcanza el suelo o las plantas es expresado por la ecuación:

$$PAPE = (PAPR)(PAEF)$$
 (54)

donde:

PAPE = cantidad efectiva de Biocida aplicado en Kg/ha.

PAPR = cantidad actual aplicado en Kg/ha.

PAEF = factor de eficiencia de aplicación.

La cantidad de Biocida que alcanza las plantas es calculado con la ecuación:

$$FP = (GC)(PAPE)$$
 (55)

donde:

FP = cantidad de Biocida que es interceptada por las plantas.

GC = es la fracción del suelo que es cubierta por las plantas.

El Biocida que cae y permanece en el suelo es simplemente la diferencia entre la cantidad efectiva aplicada y la cantidad interceptada por las plantas.

Los Biocidas que permanecen en el follaje de las plantas pueden ser lavados por el agua de las lluvias. Las ecuaciones apropiadas para calcular el lavado y la adición de Biocidas en el suelo son :

WO =
$$(WOF)(FP)$$
, si R > 2,5 mm. (56)

$$WO = 0$$
, si $R < 2.5 \text{ mm}$. (57)

$$GP = GP + WO (58)$$

$$FP = FP - WO ag{59}$$

donde:

WO = cantidad de Biocida lavado de las plantas por una tormenta (mm).

WOF = fracción de lavado para un Biocida particular.

Los Biocidas retenidos en las plantas y en el suelo se basan en las ecuaciones :

$$GP = (GP_0)\exp(-0.693/HI.S)$$
 (60)

$$FP = (FP_0)\exp(-0.693/HLP)$$
 (61)

donde:

GP₀ y GP = son las cantidades iniciales y finales de Biocidas en el suelo.

FP₀ y FP - son las cantidades iniciales y finales de Biocidas en las plantas.

HLP = es la vida media para los Biocidas en el suelo, en días.

HLS = es la vida media de los residuos foliares, en días.

Los valores de HLP y HLS han sido establecidos para varios Biocidas (Leonard et al, 1987, citado por Arnold et al, 1991).

La concentración de Biocida en la percolación es calculada con la ecuación :

$$PSTCL = min \left\{ \frac{PSTL / f}{PSOL} \right\}$$
 (62)

dondc:

PSOL - es la solubilidad del Bíocida.

PSTC_L = es la concentración del Biocida en la percolación en gm⁻³.

 $PSTL = es el producto de la tasa de percolación (mm/d) y <math>PSTC_L$.

f = es la tasa de flujo de agua que atraviesa la zona en mm/h.

La cantidad de Biocida perdido en la escorrentia superficial es estimada con las siguientes ecuaciones:

$$PSTQ = GP_0 \left(1 - \exp \left(\frac{-(Q)(ab)}{0.01SW + 0.1(ab)(Kd)(BD)} \right) \right)$$
 (63)

dondc:

PSTQ = es la perdida de Biocida en la escorrentía superficial en Kg/ha.

GP₀ – es la cantidad inicial de Biocida dentro del tope de los 10 mm de la zona, en Kg/ha.

Q = es la lámina de escorrentía superficial en mm.

ab = es el coeficiente de abstracción.

SW = es el agua almacenada inicialmente en mm.

Kd = es el coeficiente de partición en m³/t.

BD = es la densidad aparente del suelo en t.m⁻³.

La producción de Biocidas por la fase de absorción de los sedimentos, es calculada con una aproximación de la razón de enriquecimiento.

La producción de Biocida absorbida por los sedimentos es calculada con la ecuación:

$$PSTY = (y)(PSTC_s)(ER)(0,001)$$
 (64)

donde:

PSTY = es la producción de Biocida absorbido por los sedimentos en kg/ha.

Y = es la producción de sedimentos en T/ha.

PSTC_s = es la concentración de Biocida en el suelo.

ER = es la razón de enriquecimiento (concentración de Biocida en los sedimentos, dividido por la concentración de Biocida en la superficie del suelo, 10 mm.)

El Biocida soluble en la escorrentía es considerado conservativo en las corrientes del canal y no decae ni se volatiliza. Los Biocidas absorbidos tienden a ser depositados si ocurre también la deposición de sedimentos.

Contempla las perdidas de Nitrato (NO₃), Nitrógeno (N) y Fósforo (P) del estrato superficial (10 mm de espesor), a través de la escorrentía, flujo subsuperficial lateral y la percolación.

Conducción de Biocidas:

Parte de los Biocidas al momento de su aplicación en el suelo, son perdidos hacia la atmósfera y otra parte es transportado a través de la escorrentía, flujo subsuperficial, percolación y en los sedimentos. Una vez que el Biocida está en el agua es considerado preservativo.

El modelo calcula la cantidad de Biocida que alcanza el suelo, al determinar la cantidad de cobertura de las plantas existentes en el mismo. Por otro lado, los Biocidas que son retenidos por el follaje de las plantas, pueden ser lavados por el agua de lluvia.

Se asume que la fracción de Biocidas que es potencialmente lavado de las plantas, va a depender si el límite de la cantidad de lluvia para tal fin es excedido (El valor usado por el modelo es de 2,5 mm).

Este valor es calculado por cada Biocida aplicado y recibe el nombre de Fracción de Lavado.

Los estratos del suelo que presentan bajo volumen de almacenamiento de agua, son altamente transportadores de Biocidas disuelto, debido que la infiltración es alta al igual que la percolación.

Los Biocidas con un bajo valor de coeficiente de partición y alta solubilidad, son transportados rápidamente con el agua. Por otro lado, un alto valor de coeficiente de partición de Biocida absorbidos por las partículas del suelo.

Ω

3.1. Localización del Area:

La microcuenca Zarzales - La Grande está emplazada dentro de la Cordillera de Mérida, la cual constituye una de las estribaciones septentrionales de formación montañosa de los Andes, y está ubicada específicamente en el Municipio Rivas Dávila del Estado Mérida, presentando alturas que van desde los 2.300 a los 3.600 m.s.n.m. (Ver figura 1 y 2).

Aproximadamente la microcuenca se localiza en la vertiente izquierda del río Mocoties, entre los 08°10' y 08°15' de latitud Norte, y los 71°52'30" y 71°55'00" de longitud Oeste, un área aproximadamente de 2.479 has. Parte de la microcuenca están amparados bajo la figura del Parque Nacional Juan Pablo Peñaloza con un área de 679.38 has.

Limita al Norte, con la aldea La Otra Banda y el páramo de La Negra, al Sur con los páramos Mariño y el Batallón, al Este con la aldea Las Tapias y el páramo Loma Gorda, y por el Oeste con los páramos el Batallón y La Negra.

3.2. Características Físico - Naturales :

El análisis físico - natural del área, tiene su importancia debido a que constituyen los factores que directamente actúan sobre los procesos de erosión, producción de agua, de sedimentos y calidad del agua, además de presentar la base del sustento físico de las actividades del hombre.

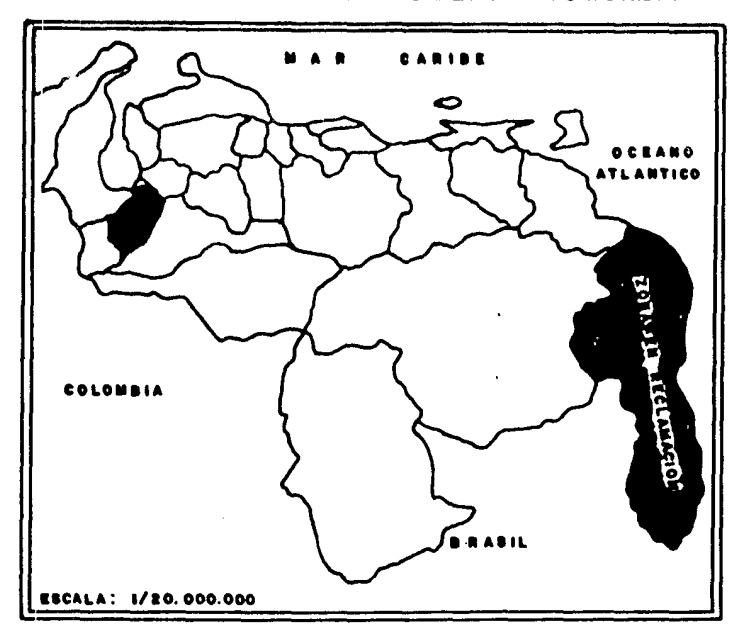
Relieve:

La microcuenca Zarzales - La Grande se localiza dentro de la cuenca alta del río Mocoties, que constituye una zona montañosa formada por vertientes de escarpados relieves y estrechos valles relativamente planos.

C.C.Reconocimiento

Figura 1. Ubicación Nacional y Regional de la Microcuenca Zarzales - La Grande, Balladores, Estado Mérida.





SITUACION RELATIVA REGIONAL DEL MUNICIPIO RIVAS DAVILA

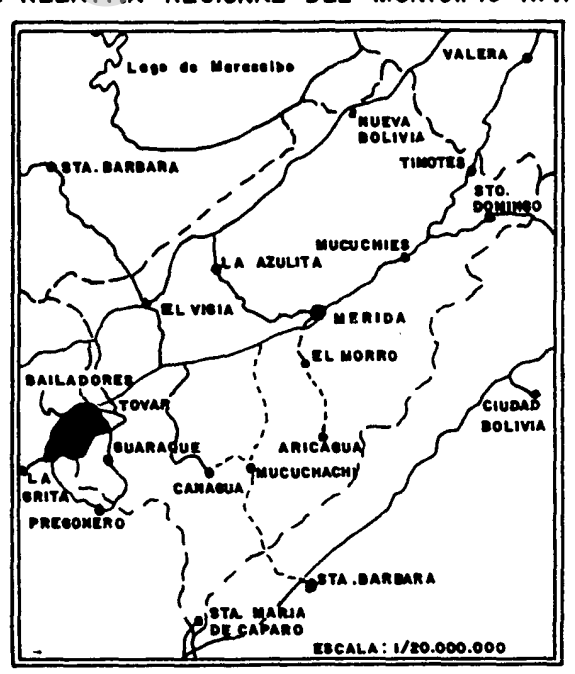


Figura . Ubicación relativa del drea de estudio

Comprende altitudes que van desde los 2.300 a los 3.600 m.s.n.m.

El paisaje está conformado por tres grandes unidades: dos vertientes a manera de horst y el fondo de valle.

Este es un relieve tipico de la zona de montaña (grandes alineaciones de montañas separadas por profundos valles).

La vertiente izquierda se caracteriza por presentar altas pendientes mayores del 60 % en la parte superior de la microcuenca. En esta vertiente se aprecian alturas hasta los 3.600 m.s.n.m.

La vertiente derecha presenta igualmente altos valores de pendiente y alturas que van hasta los 3.200 m.s.n.m.

En general los elevados niveles de pendientes del área restringen su ocupación y uso, pero, la fuerte presión que ejercen los agricultores para destinar estas tierras al proceso de producción agropecuario, hace con que buena parte de las zonas medias y altas de las vertientes hayan sido intervenidas, pese a las fuertes restricciones que éstas presenten.

El relieve y las actividades agrícolas en áreas no aptas, desempeñan un papel importante en la escorrentía superficial de vertientes, que dan origen a fuertes procesos erosivos manifestados por la presencia de surcos, deslizamientos y movimientos de masas.

Geología y Geomorfología:

La microcuenca Zarzales - La Grande presenta materiales geológicos del carbonífero, formación Mucuchachí en la vertiente izquierda, predominando rocas de bajo metamorfismo (pizarras). Secuencias de pizarras laminadas de color negro, carbonáceas y en partes filíticas. Con las pizarras se intercalan delgadas franjas de areníscas impuras, laminadas duras y de color algo más claro

que el de las pizarras. También constituidas por filitas grises laminadas, astillosas con altos porcentajes de pirita, arenisca cuarzosas, cuarcitas y calizas cristalinas.

En la mayoría de los casos, las rocas presentan dirección de foliación en el ángulo alto (superior a 40°), siendo un factor desestabilizador al favorecer los movimientos en masas. A su vez las filitas finalmente astillosas, localmente pizarrosas en condiciones de humedad se descomponen fácilmente resultando en altos porcentajes de arcillas.

En la vertiente derecha aflora el grupo Iglesias, formación Sierra Nevada, perteneciente al Precambico Superior, caracterizada litologicamente porque representa el conjunto de rocas más antiguo de los Andes venezolanos.

Este afloramiento está compuesto de gneises, esquistos, y rocas graníticas altamente plegadas y metamorfizadas.

Gauch (1975), citado por Sandia (1995), considera que el 90% del grupo Iglesias está representado por gneises y esquistos de grano medio o gruesos intercalados.

La microcuenca por ser una zona montañosa, presenta cambios bruscos de pendiente, favoreciendo los depósitos de materiales por los cursos de agua.

Predominan las formas de vertientes con escurrimiento de agua superficial, difusas en las partes altas y escasas infiltraciones. Estas vertientes concentran las aguas de escurrimiento dando lugar a los cursos existentes.

Presenta escarpes de terraza con valores de pendiente muy altas, su profundidad es variable, alcanzando hasta los 50 metros. En las fuertes pendientes ocurren desprendimientos superficiales de materiales que son depositados en las partes bajas.

El escurrimiento superficial es el proceso morfodinámico dominante, también encontramos desprendimientos coluviales, deslizamiento y conos de deyección: estos últimos sirven de asentamiento a las actividades agropecuarias.

Todos los materiales afectados por diferentes procesos, han sido depositados a lo largo del fondo del valle, donde el relieve es relativamente plano con pendiente de 14 a 20% aproximadamente.

Los depósitos cuaternarios se emplazan a lo largo del fondo del valle, especialmente donde la amplitud del valle y las bajas pendientes permitieron en el pleistoceno y haloceno, la acumulación y sedimentación de los materiales arrastrados desde la vertiente, por acción de los distintos fenómenos morfodinámicos que definieron variadas posiciones geomorfológicas que hoy se presentan en el área. Entre los depósitos cuaternários se pueden distinguir las lavas torrenciales, coladas de barro, conos de deyección, y terrazas.

clim Balgital.ula.ve

Los datos del clima fueron tomados de la estación meteorológica de Bailadores que funcionó de 1987 a 1995.

Las condiciones climáticas del área están influenciadas por algunos factores como lo son: las diferencias latitudinales, la incidencia de los vientos provenientes del Sur del Lago de Maracaibo a través del cañón del río Chama, la incidencia de los vientos provenientes de los Llanos Occidentales a través de la cuenca del río Uribante, las posiciones de solana y umbría y la cobertura vegetal.

La temperatura está determinada fundamentalmente por el factor latitud y altitud. Los cambios térmicos en el área responden principalmente a los cambios altitudinales, ya que la temperatura desciende a medida que se incrementa la altitud. Por ésta razón la temperatura media anual en la zona oscila entre los 18.5°C a los 2.300 m.s.n.m. y los 8°C a los 3.500 m.s.n.m., con media de 15.4°C.

La pluviometría en el área se caracteriza por presentar un régimen bimodal, presentando alternancia entre los periodos lluviosos y secos. Los periodos lluviosos van de Abril a Mayo y de Septiembre a Noviembre, y los periodos secos van de Diciembre a Marzo y de Junio a Julio. Cabe señalar las grandes variaciones anuales de la precipitación con años muy lluviosos y años muy secos. La precipitación media anual es de 649,2 mm.

Clasificación Bioclimática:

En el área de estudio se reconocen tres zonas de vida según la clasificación de Holdridge, que de acuerdo a la combinación con parámetros físicos, determinan las características de la vegetación natural existente.

Estas zonas de vida son:

- Páramo Pluvial Sub-Alpino (pp-SA):

Se caracteriza por presentar una temperatura media anual de 3 a 6°C. Su límite altitudinal se encuentra entre los 3.500 a 3.900 m.s.n.m.

El promedio anual de la precipitación excede a los 1.000 mm. donde la evapotranspiración es menor de 0,25.

La capa vegetal cubre completamente el suelo y los arbustos pasan los 2 metros de altura. Especies del género espeletía con 2 metros de altura con suelo desprovisto de plantas pequeñas. Las gramíneas presentan ejemplares de frailcjón, espeletía schultzii que llegan hasta los 0,5 metros.

- Bosque Húmedo Montano (Bhm):

Sc encuentra situado a los 2.500 y 3.300 metros sobre el nivel del mar, con temperaturas medias anuales comprendidas entre 5-6 y 12-13-°C, el cual, presenta características muy distintas que las funciones del clima cálido.

La evapotranspiración potencial es muy reducida y los límites de precipitación varian entre los 500 y 1.000 mm anuales.

La vegetación ha sido intervenida hasta el extremo que el bosque original ya no existe, observándose solamente en las orillas de las quebradas, donde crecen árboles de los géneros Alnus y Podocarpus. Sobre los árboles se notan algunas epititas, aunque no abundantes.

El suelo está cubierto por gramíneas y arbustos entre los 3 y 4 metros, que constituyen una vegetación de páramo con un matorral siempre verde y ralo.

- Bosque Húmedo Montano Bajo (Mhmb):

La precipitación en estos bosques es de 1.000 - 2.000 mm promedio anual, con una evapotranspiración potencial de 0.5 a 1.0.

La temperatura media anual varia entre los 11 y 12 °C, hasta una temperatura critica de 18 °C y se extiende desde los 2.300 hasta los 2.600 m.s.n.m.

La vegetación casi no existe y su ausencia ha sido causada por el uso agrícola y ganadería intensiva. Sin embargo, se observan remanentes con poco disturbio, sobre todo en las faldas de los cerros con fuerte declive de las cordilleras costaneras y andina. Estos remanentes, en donde los árboles alcanzan alturas de 20 a 25 metros, son muestra de un bosque de buen desarrollo y alta densidad. El epifitísmo principalmente a base de bromeliaceas, está presente aunque no en alto grado.

En su estructura se distinguen dos doseles, en los que se agrupan la mayor parte de las especies arbóreas.

En general, el área de vegetación natural ha sido intervenida por el uso agrícola y pecuario y extracción de madera.

Uso Actual de la Tierra:

Las actividades agropecuarias se ubican aproximadamente por debajo de los 3.200 m.s.n.m., a ambos lados de la carretera Transandina. La agricultura ocupa un 15 % aproximadamente del área total que consiste en cultivos anuales de piso alto (zanahoria, papa, apio, etc.). El éxito de la producción de hortalizas, llevó a que se convirtieran los cultivos tradicionales, en una de las zonas de producción más importantes que actualmente tiene Venezuela. Sin embargo, las aplicaciones de áreas de cultivos en zonas con fuerte pendiente, y debido al uso irracional de los mismos, ponen en peligro la estabilidad morfoestructural de los suelos.

Igualmente se ha incentivado el desarrollo de actividades primarias orientadas a la cría de ganado vacuno y a la producción de leche, ocupando un área aproximada del 20 % del total con una ganadería de altura semi - intensiva. Finalmente el área boscosa, matorrales densos y vegetación de páramo, ocupan un área aproximada del 65 % del total de la microcuenca.

Suelos:

Según Castillo (1972), los suelos del área presentan características muy variadas, desarrolladas a partir de materiales residuales que ocupan la mayor porción del área (mayor del 85%). Su característica principal son las pendientes excesivamente fuertes, siendo mayores del 40%.

A pesar de que estos suelos se encuentran bajo una cubierta de bosques naturales, las fuertes pendientes provocan procesos, que van desde la remoción de partículas inferiores hasta movimientos en masa.

Estos suellos debido a su poco desarrollo, presentan materiales poco alterados que se asemejan a los componentes de su material parental. Por ello, se presenta una alta proporción de fragmentos rocosos, predominando los litosoles o

suelos pedregosos. Así, el uso agrícola de éstos suelos, confleva, entre sus primeras acciones de laboreo, el despiedre.

El relieve accidentado ejerce influencia preponderante en cuanto al bajo grado de desarrollo pedológico o de juventud casi permanente. Corresponde así, al orden de los Inseptisoles que son suelos inmaduros con pocas características de diagnóstico.

Debido a la poca variedad geomorfológica, solamente se diferencian dos situaciones en la dinámica pedogenética que son : suelos en vertientes y suelos en depósitos aluviales.

Los suelos en vertientes presentan calizas y areniscas del cretáceo que dan origen a texturas franco arcillo arenosa y francas, lo cual se asocia con drenajes muy rápidos.

Los suelos en depósitos aluviales, formados a partir de materiales transportados y depositados en el fondo del valle en forma de : vegas, coladas de barro, con de deyección y terrazas, ocupan aproximadamente el 11 % del área, con un relieve más plano. Presentan condiciones topográficas que permiten el laborco de estas tierras bajo condiciones de manejo. La clase textural corresponde a suelos franco arcillo arenosos con alta pedregosidad en el perfil y con drenaje interno rápido. En la actualidad, estos suelos se utilizan en la producción de hortalizas (zanahoria, papa, ajo, etc.) con riego por aspersión.

El modelo SWRRB-WQ se aplicó a la microcuenca Zarzales - La Grande para un período de registros de 8 años (1988 - 1995), con el objetivo principal de determinar el grado de deterioro de los recursos suelo y agua y su contribución a la toma de decisiones en la planificación del manejo de cuencas altas.

La Quebrada La Grande correspondiente a la subárea 7 de la microcuenca, es de vital importancia para las comunidades vecinas ya que es la fuente abastecedora del agua potable. Por esta razón se decidió aplicar el modelo específicamente para esta área, en el mismo período de registro utilizado para la microcuenca Zarzales - La Grande.

También se plantearon diferentes escenarios representando principalmente el uso de prácticas de conservación de suelos, dosis adecuadas de aplicación de biocidas y el aumento de las áreas de cultivo.

4.1. Datos Generales:

Para la estimación de la producción de agua, sedimentos, nutrientes y pesticidas, el área de la microcuenca Zarzales - La Grande se subdividió en 10 subáreas homogéneas, de acuerdo a los mapas de uso actual y de suelos a escala 1:10.000 (Vcr Anexo de mapas).

En el Cuadro 2, se encuentran los datos generales por subcuenca y se describen a continuación.

La longitud de vertiente (λ), fue estimada inicialmente del mapa topográfico a escala 1:10.000, según el Método de Puntos Extremos (Williams y

70

Berndt, 1981), y luego corregido mediante un factor determinado a partir de mediciones en campo.

Cuadro 2. Datos generales para la microcuenca entera y subáreas homogéneas.

	Subáreas Homogéneas										
Descripción	Cuenca Total	Sa 1	Se 2	Sa 3	Sa 4	8a 5	Sa 6	Sa 7	Sa 8	Sa 9	Sa 10
Longitud de la pendiente (m)	80	57	77	88	83	75	70	95	104	53	75
Fracción de cada subárea		0.05	0.03	0.10	0.10	0.18	0.18	0.16	0.14	0.02	0.04
Gradiente de la pendiente (m/m). 0,4		0,36	0,52	0,34	0,57	0,44	0,54	0,34	0,53	0,33	0,29
Ancho promedio del cauce. (m)		4,5	2,5	2,0	2,5	2,0	2,5	2,5	2,5	2,0	4,5
Profundidad promedio del cauce (m)		0,45	0,40	0,30	0,35	0,40	0,30	0,35	0,30	0,30	0,45
Long. Del cauce (Km) de la salida de la subárea a la salida de la cuenca		0	2,84	4,94	2,56	5,54	1,89	3,93	2,53	1,24	0
Longitud del cauce (Km) desde el punto más lejano.	8,13	2,72	0,86	2,09	4,10	2,11	2,72	2,25	1,02	1,20	2,94
Pendiente promedio del cauce (m/m) de la salida de la subárea a la salida de la cuenca.	aita	0	0,07	0,10	0,04	0,11	0,07	0,13	0,16	0	0
Pendiente promedio del cauce (m/m) punto más lejano.	0,15	0,17	0,14	0,13	0,16	0,23	0,15	0,28	0,39	0,09	0,07
Número de curva (CN)		73	73	52	61	52	74	70	60	73	73
Valor "n" de Manning para el cauce.	0,05	0,05	0,05	0,05	0,05	0,05	0,05	0,05	0,05	0,05	0,05
Valor "n" de Manning del flujo superficial.	0,24	0,09	0,09	0,24	0,6	0,24	0,6	0,20	0,20	0,09	0,09
Albedo del Suelo		0,125	0,125	0,125	0,125	0,125	0,125	0,125	0,125	0,125	0,125
Condición hidráulica efectiva del cauce (mm / h).		30	45	45	45	45	30	45	45	30	30
Factor "C" de la USLE para el cauce.		0,32	0,32	0,32	0,32	0,32	0,32	0,32	0,32	0,32	0,32
Factor "K" de la USLE para el cauce		0,05	0,05	0,05	0,05	0,05	0,05	0,05	0,05	0,05	0,05
Concentración de sedimentos en flujo de ret. (ppm)		500	500	500	500	500	500	500	500	500	500

En el Cuadro 3, puede observarse la superficie que comprende cada una de las subáreas. Se puede también apreciar, a través de la Figura 3, como están representadas cada una de las subáreas homogéneas en la microcuenca.

Cuadro 3. Superficie para Subáreas Homogéneas.

Subárea	Area Homogénea	Superficie (Km²).				
Sa 01	Cultivo	1.11				
Sa 02	Cultivo	0.81				
Sa 03	Bosque	2.50				
Sa 04	Pasto	2.48				
Sa 05	Bosque	4.51				
Sa 06	Pasto	4.41				
Sa 07	Matorral	3.88				
Sa 08	Matorral	3.43				
Sa 09	Cultivo	0.61				
Sa 10	Cultivo	1.05				
A 1	rea Total :	24.79				

La formula utilizada en el Método de Puntos Extremos para cálculo de la longitud es:

$$\lambda - \frac{LC * LB}{2EP\sqrt{LC^2 - LB^2}} \tag{65}$$

donde:

 λ = longitud de vertiente en m.

LC = longitud total de curva de nivel, en m.

LB = longitud total de línea base, en m.

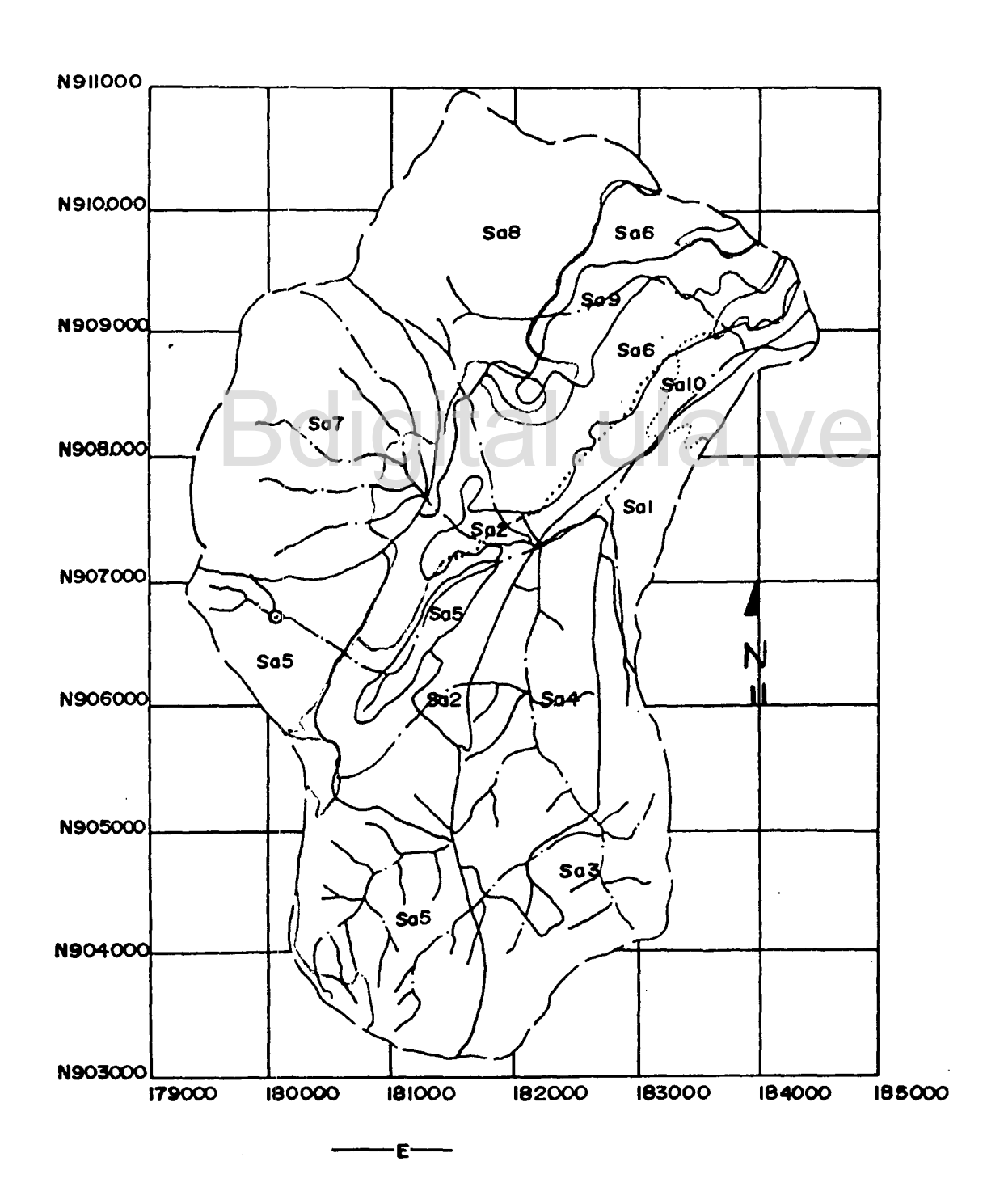
EP = número de puntos extremos.

En la aplicación de la fórmula, se consideró solamente tres curvas de nivel, ubicadas a 25, 50 y 75 por ciento del desnivel total de las subáreas. Finalmente los valores obtenidos fueron promediados y ajustados por un factor de corrección (Ver Anexo B, Cuadro B-2).

UNIVERSIDAD DE LOS ANDES FACULTAD DE CIENCIAS FORESTALES Y AMBIENTALES CENTRO DE ESTUDIOS DE POSTGRADO

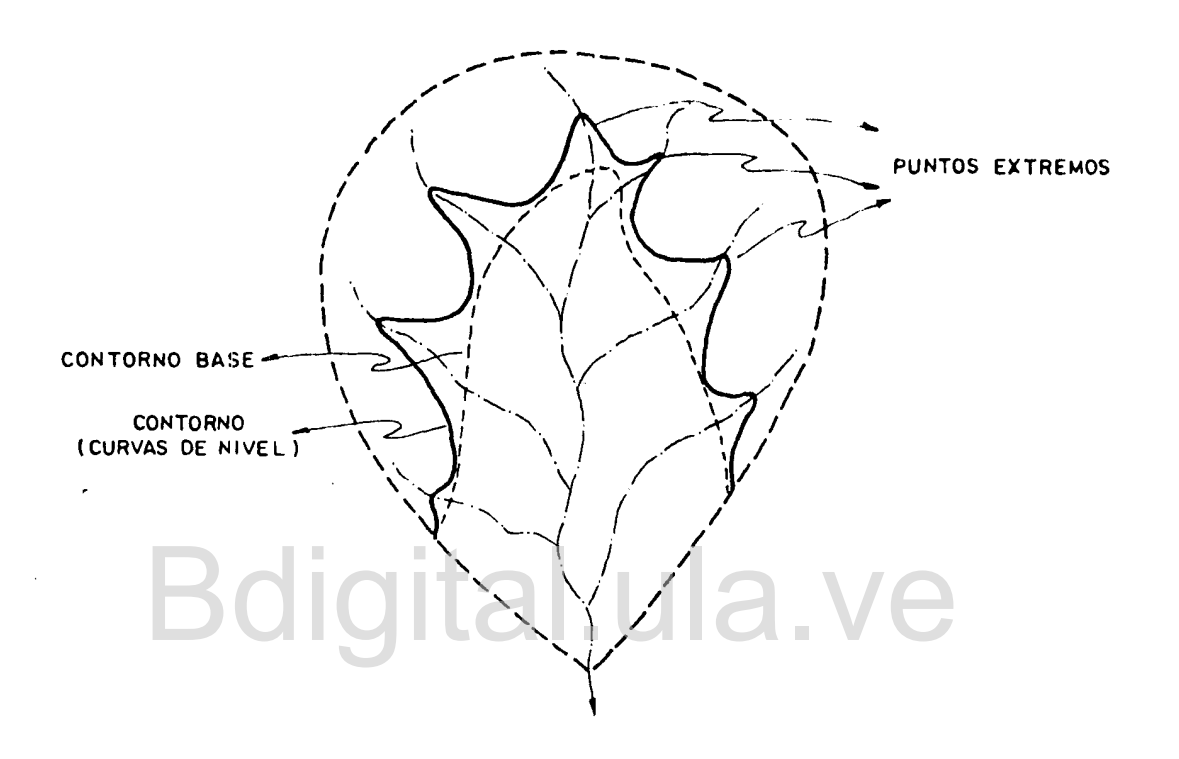
Figura 3. División de la Microcuenca Zarzales - La Grande, en Subáreas Homogéneas.

SUBDIVISION EN AREAS HOMOGENEAS DE LA MICROCUENCA ZARZALES—LA GRANDE BAILADORES EDO. MERIDA.



A continuación se presenta el esquema de una cuenca ilustrando los elementos utilizados en la formula de los puntos extremos.

Figura 4. Elementos utilizados en el método de puntos extremos.



El gradiente de la pendiente se estimó del mapa topográfico a escala 1:10.000, mediante el método de Alvord según la siguiente expresión :

$$P - (E * LC) * 100 / A$$
 (66)

donde:

P = Pendiente promedio (%).

E = Equidistancia entre curvas de nivel (Km.).

LC = Longitud total de las curvas de nivel (Km.).

A = Area de la cuenca (Km².).

Los resultados de los cálculos de la pendiente, a través de esta ecuación se pueden ver en el Anexo B, Cuadro B-3.

El modelo calcula el factor LS utilizando la formula desarrollada por Wischmeier y Smith (1978), citado por Arnold et al (1991), ya descrita en el capítulo anterior.

El factor LS es de gran sensibilidad en el cálculo de los sedimentos que produce una cuenca. La ecuación que utiliza el modelo, ecuación 29, sobrestimaría el valor del factor para la cuenca, ya que su uso se limita a áreas con pendientes menores a 20 %, y en la microcuenca las pendientes son mayores. Para ajustar el valor del factor LS a las condiciones predominantes en la microcuenca, se calculó de forma separada el factor LS, a través de la ecuación propuesta por Mc Cool et al (1987), que contempla pendientes superiores al 20 %:

$$S = 16.8 \text{ sen}\theta - 0.5$$
 (67)

donde:

 θ = Angulo de la pendiente.

De esta forma, se introduce al modelo una pendiente tal que con la ecuación 29 se obtengan los mismos valores de LS con la ecuación 67.

Los valores obtenidos por ambas ecuaciones se pueden ver en el Anexo B, Cuadros B-4 y B-4a.

El ancho y profundidad promedio del cauce, se obtuvo de observaciones directas en campo, y la longitud y pendiente del cauce, del mapa topográfico a escala 1:10.000, a partir de las cotas y el desnivel respectivamente (Ver Anexo B, Cuadro B-5 y B-6).

El número de curva correspondiente a la condición II de la humedad antecedente, se obtuvo para cada subárea usando las tablas del Servicio de Conservación de Suelos, de los Estados Unidos de América (Ver Anexo B, Cuadro B-7). Para obtener este valor fue necesario ubicar la serie de suelos que

representa a cada subárea en el mapa de suelo elaborado por Castillos, (1972), para el área del Mocoties.

La rugosidad "n" de Manning para canales y vertientes se obtuvo de los valores propuestos por Charo (1959) y Engman (1983), citados por Arnold et al (1991). (Ver Anexo B, Cuadro B-10).

El Albedo del Suelo, se obtuvo según valores propuestos por Arnold et al (1990), se refiere a las propiedades que tienen los suelos, de reflejar la luz solar. Un valor de 0.10 para suelos oscuros y 0.15 para suelos claros.

La conductividad hidráulica efectiva del canal principal, se obtuvo, de acuerdo a las características del material del lecho. Estos valores son propuestos por Lanc (1982), citado por Arnold, et al (1991). (Ver Anexo B, Cuadro B-11).

Para transitar el agua desde la salida de la subcuenca a la salida de la cuenca se requiere también de las variables del factor "K" y "C" de la USLE para el canal. Para efecto del modelo, se tomaron los valores de 0,05 y 0,32 como constantes respectivamente.

Concentración de Sedimentos en el Flujo de Retorno, obtenido según lo propone Arnold et al (1991).

4.2. Datos Edafológicos:

Para la información edafológica se realizaron trabajos de campo (reconocimiento del área, apertura de calicatas, muestras de suelo, entre otros), y la determinación de las propiedades químicas y físicas del suelo en los laboratorios de la Facultad de Ciencias Forestales, Escuela de Geografía y FONAIAP. Los resultados de los calicatas están en el Anexo C y, el resumen de las características de los suelos del área se presentan a continuación en el Cuadro 4.

Cuadro 4. Valores de Características del Suelo por Subáreas.

Pasante por Tamiz # 200	52,4			60,4						40,0			40'0		40,0	-		
Factor K	0,11			0,10						90'0		•	20'0		20'0			
Contenido de Arcilla (%)	28	98	38	37	42	48	48	18	20	20	22	40	26	30	34	34	28	22
Conduct Hidráulica Sar (mm.h.)	13,3	11,6	2,7	31,0	0'6	0'6	0'6	20'0	20'0	30,0	23,0	47,0	15,0	9,0	33,0	33'0	33,0	33,0
Capacidad de Agua Disponble	0,17	0,14	0,16	0,18	0,16	0,12	0,12	0,21	0,11	20'0	50'0	90'0	60'0	60'0	0,12	0,10	20'0	90'0
Porosidad Total (%)	89	62	69	99	89	69	61	49	54	99	53	52	54	52	55	52	52	51
Dencidad Aparente (gr/cm³)	0,981	1,01	1,08	1,19	1,11	1,09	1,03	1,34	1,21	1,17	1,25	1,27	17,1	1,26	1,20	1,26	1,27	1,31
Text. del Suelo	Aa	Aa	Уa	FA	٧	٧	٧	Fa	Fa	Fa	FAa							
Profine, a la Base del Horiz. (mm)	10	270	420	10	900	810	085	1.150	1.370	10	320	200	10	420	10	360	200	640
Mrv. de Horizonte	1	2	3	1	2	3	4	2	9	1	2	3	1	2	1	2	3	4
Are Are	1			2						3			4		9			

continua.../..

C.C.Reconocimiento

Valores de Características del Suelo por Subáreas.

Nes Ass	Mro. de Horizante	Profun. a la Base del Horiz. (mm)	Text. del Suelo	Densidad Aparente (gr/cm³)	Porosidad Total (%)	Capacidad de Agua Disponible	Conduct Hidráulica Sar (mm/h)	Contenido de Arcilla (%)	Factor K	Pasante por Taniz # 200
9	1	10	٧	1,04	19	0,22	16,0	48	0,12	64,0
	2	200	٧	1,04	19	0,16	15,1	52		
	3	750	٧	1,04	19	0,16	02'2	50		
	4	1.150	٧	1,08	69	0,14	5,10	99		
7	1	10	Ą	1,12	89	0,21	3'8	42	0,12	0'89
	2	510	A	1,14	29	0,19	2,7	50		
-	3	200	A	1,17	99	0,19	2,5	50		
8	1	10	٦a	1,29	51	0,16	0'09	14	20'0	36,0
	2	225	Fa	1,47	45	0,16	50,0	14		
	3	420	R	2,00	2	90'0	9'0	80		
6	1	10	FAa	1,20	55	0,15	33,0	30	80'0	0'05
	2	290	FAa	1,20	92	0,18	33,0	29		
	3	480	ଝ	2,60	2	90'0	9'0	80		
9	1	10	FAa	1,30	51	60'0	33,0	29	20'0	44,0
	2	480	FAa	1,30	. 51	0,11	33,0	34		
	3	780	FAa	2,00	2	90'0	9'0	80		

C.C.Reconocimiento

La profundidad hasta la base de los estratos, se determinó durante la descripción de las calicatas. Es necesario resaltar que, para el modelo, el primer estrato va siempre de 0 a 10 mm y los subsecuentes no deben, preferencialmente, pasar de un espesor máximo de 500 mm, debido a que el flujo subsuperficial es sensible a las profundidades de los estratos. También el modelo permite solamente un máximo de 10 estratos por perfil de suelo.

Para la estimación de la densidad aparente se pesa el suelo, sin disturbar, a través de los cilindros Upland (tiene un volumen de 100 cm³), y se determina el porcentaje de humedad de la misma. La muestra se llevó a estufa a 105 °C durante 24 horas, para obtener la masa de suelo seco. Con estos datos se calcula el peso seco de la muestra y se divide sobre el volumen del cilindro, esto es, el cálculo se hace según la ecuación (Naremo, 1983, citado por Michelena, 1984):

$$Da = \frac{Ms}{Va} \tag{68}$$

donde:

 $Da = Densidad \Lambda parente (g/cm³).$

Ms = Masa de suelo seco (g).

Va - Volumen aparente del suelo (cm³).

Para obtener los datos de la porosidad total es utilizada la siguiente formula (Nareno, 1983; citado por Michelena 1984.):

$$Pt = \left(1 - \frac{Da}{Dr}\right) * 100 \tag{69}$$

donde:

Pt - Porosidad total en porcentaje.

Da = Densidad Aparente del suelo (g/cm³).

Dr - Densidad Real del suelo (g/cm³).

Para la densidad real del suelo se asumió un valor de 2,65 g/cm³.

Para la obtención de los datos de conductividad hidráulica (kd), se procedió según Michelena (1984).

Se analizaron 63 muestras de suelo, y en cada una de las muestras en cilindro, se efectuaron tres mediciones de conductividad y por cada estrato, se tomaron tres muestras para su análisis. Luego los valores de conductividad fueron promediados para cada estrato.

Para calcular la conductividad hidráulica en condición saturada, se aplicó la fórmula de Darcy:

$$Kd = \frac{3.429,216}{\Lambda t} + Log \frac{II_1}{H_2}$$
 (70)

donde:

Kd – Conductividad hidráulica saturada en em/día.

At = Intervalo de tiempo entre el inicio y el final de la prueba en segundos.

 H_1 y H_2 = Cargas hidráulicas al inicio y al final de la prueba respectivamente.

Los valores de conductividad hidráulica del Cuadro 4, fueron calculados a través del anterior procedimiento (Ver Anexo C, Cuadros C-9 y C-10).

La conductividad hidráulica es una variable que influye mucho en el cálculo de la producción de sedimentos y agua disponible, e inclusive en el destino final de nutrientes y biocida. Su cálculo, sea en campo o en laboratorio, se torna costoso y requiere de un tiempo necesario, para la toma de muestras del perfil entero, por unidad de área homogénea. Por ésta razón, es una variable de dificil estimación y que presenta un amplio rango de variabilidad en el suelo. A fin de estimar esta variable de modo indirecto se puede recurrir a relaciones con otras variables del suelo. A continuación se señalan los resultados que con este propósito se dirigieron en la presente investigación.

Existe una alta correlación entre la porosidad efectiva de los suelos y la conductividad hidráulica saturada, como también, entre las texturas de los suelos y la conductividad hidráulica. En ésta oportunidad, se relacionan ambas expresiones basadas en análisis de las muestras de suelo tomadas en la microcuenca Zarzales - La Grande. Además se analizaron otros estudios relacionados en la región de Los Andes. Así, se logró establecer rangos de conductividad hidráulica, para diferentes texturas de suelos encontradas en el área y una ecuación que determina a través de la porosidad efectiva, el valor de la conductividad hidráulica saturada (Ver Anexo C, Cuadros C-15 y C-15a).

La capacidad de agua disponible, se determinó para cada horizonte a través de las muestras no disturbadas, por medio del contenido de humedad a capacidad de campo y el punto de marchitez permanente. El procedimiento se llevó a cabo en el laboratorio de suelos de la Escuela de Geografía. (Ver Anexo C, Cuadro C-12).

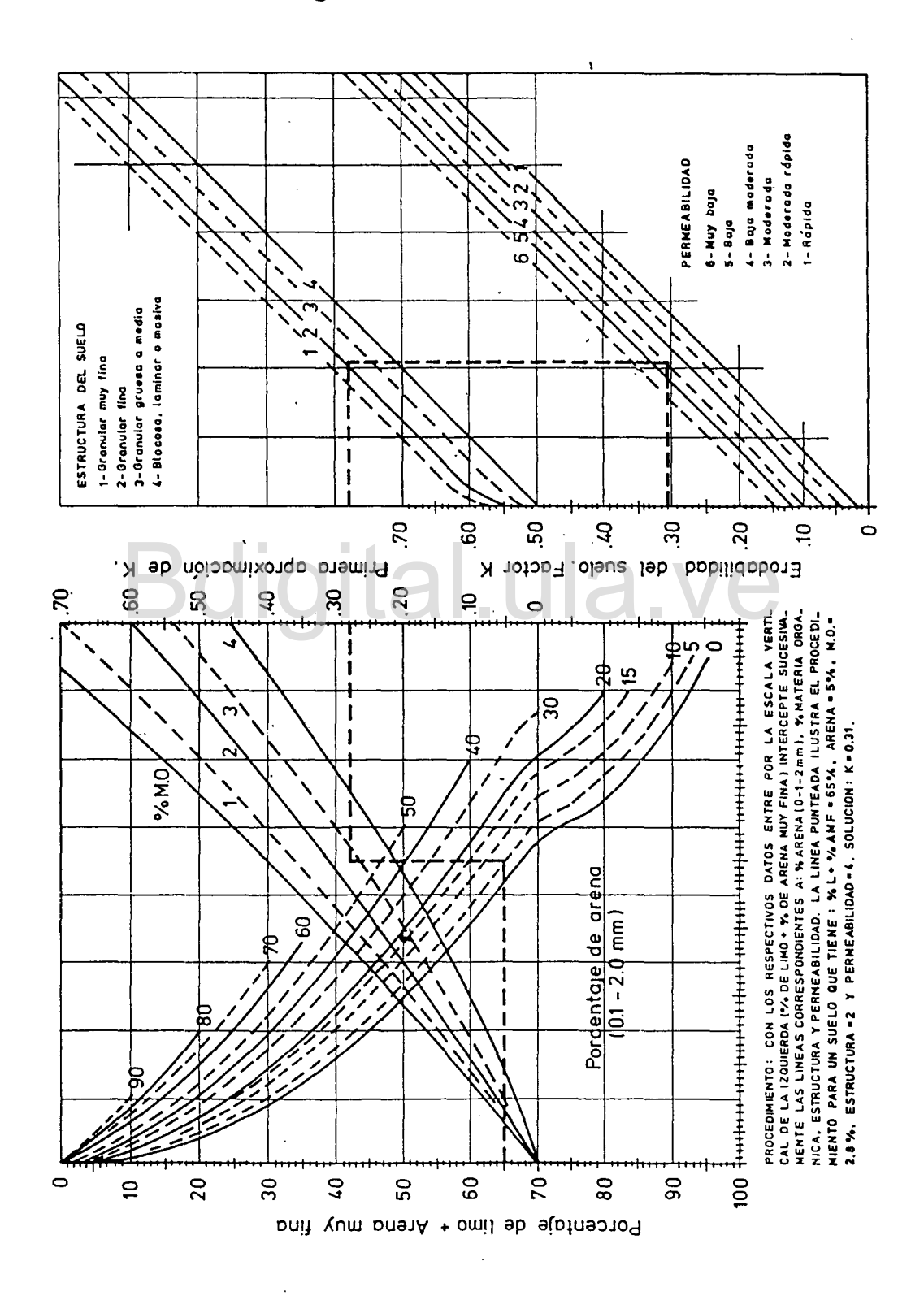
La distribución del tamaño de las partículas, se determinó según el método del densímetro y tamizado, en el laboratorio de suelos del FONAIAP. Mérida. (Ver Anexo C).

El contenido de Arcilla, se refiere al contenido en porcentaje que hay, en cada uno de los estratos de los tipos de suelos existentes en la microcuenca. Los valores se obtuvieron de las muestras enviadas a analizar al laboratorio de suelos del FONAIAP.

La Erosionabilidad del Suelo (K), se obtuvo a través del uso del Nomograma (Ver Figura 5), desarrollado por Wischmeier et al, (1971); las propiedades del suelo necesarias para su uso son :

- % de Limo + Arena muy fina (de 0,002 a 0,1 mm).
- % de arena (0,1 a 2,0 mm.).
- % de materia orgánica.
- Estructura del suelo.
- Permeabilidad.

Figura 5. Método del Nomograma.



Estas propiedades deben estar relacionadas al suelo superficial en los primeros 15 - 20 cm de suelo, con excepción de la permeabilidad y estructura que se refiere a todo el perfil. El factor "K" debe expresarse en unidades del sistema inglés para el uso del modelo SWRRB-WQ.

Cuando no se cuenta con información detallada para aplicar el nomograma anterior, el factor "K" puede obtenerse de Tablas que lo relacionan con la clase textural del suelo o al tipo de rocas (Ver Anexo C, Cuadro C-18).

En el presente estudio se analizaron 42 muestras de suelo, representativas de las diferentes unidades de suelo presentes en la microcuenca a diferentes profundidades. Se aplicó el nomograma y se relacionó el factor "K", con las diferentes clases texturales encontradas. Estos resultados se muestran en el Anexo C, Cuadro C-18a y sirven de comparación para evaluar la aplicabilidad del cuadro estándar presentado por Kirkby (1980).

Para efecto de facilitar la estimación de algunas propiedades hidrológicas del suelo para el perfil, se realizaron los siguientes escenarios: primero, la posibilidad de utilizar las propiedades hidrológicas del primer estrato del suelo para los demás estratos de ese perfil, y segundo, la utilización de las propiedades hidrológicas de los diferentes estratos de un perfil, para los demás perfiles de las subáreas que pertenezcan a una misma unidad de suelo. (Ver Anexo C, Cuadros C-19 y C-20).

Los resultados de los escenarios demuestran que es posible inferir en las propiedades hidrológicas de los suelos, principalmente si las subáreas homogéneas se encuentran dentro de una misma unidad de suelo.

Los pasantes por un tamiz de No. 200, fue obtenido de los análisis de las muestras de suelo en el laboratorio de FONAIAP. Este valor puede ser inferido también a partir del triángulo textural como porcentaje de limo + arcilla.

C.C.Reconocimiento

4.3. Datos Climáticos:

Los datos de precipitación diaria se obtienen de los registros de 1987-1995 de la estación Bailadores (FONAIAP), ubicada en la salida de la cuenca. (Ver Anexo D, Cuadro D-1).

El factor de ajuste de la precipitación es 1.30, y se obtiene a partir de el valor promedio anual de precipitación de la estación Bailadores, y el valor de precipitación promedio anual de las subáreas, obtenido del mapa isoyético a escala 1:100.000 de la cuenca del Mocoties, según estudios realizados por Andressen, A., en el periodo 1951-1960.

Los valores de lluvias máximas de 0,5 horas de duración y 6 horas de duración para periodo de retorno de 10 años y la precipitación máxima (mm) mensual de 0,5 horas de duración, son estimadas mediante el ajuste de la Distribución de lluvias extremas Tipo I, de Gumbel.

Con tal fin se aplicó el programa FORTRAN desarrollado por el CIDIAT a los datos de lluvias extremas de la estación de Tovar. (Ver Anexo D; Cuadros D-10 y D-11).

Las probabilidades de obtener un día húmedo después de un día seco (Pw/d) y, un día húmedo luego de otro húmedo (Pw/w), se obtuvieron haciendo un análisis probabilístico de los datos diarios de precipitación de la estación Bailadores para un periodo de 9 años, a través del programa FORTRAN Pdll. Además de los datos anteriores, se obtienen también las estadísticas de la lluvia diaria como son: media aritmética, desviación standard, y coeficiente de asimetría. Estos resultados se muestran en el Cuadro 5.

Los promedios mensuales de máximas y mínimas temperaturas, se obtuvieron de los registros de 1987-1995 de la estación Bailadores (FONAIAP), ubicada a la salida de la cuenca. Los valores promedios se presentan en el Cuadro 6.

C.C.Reconocimiento

Cuadro 5. Valores de Variables de la Precipitación. Periodo (1987 - 1995)

	E	F	M	A	M	J	J	Λ	S	O	N	D
Máx. 0,5 h(mm)	9,2	7,9	21,9	19,8	39,2	14,0	26,2	19,6	31,3	21,3	11,2	12,6
W/D	0,56	0,13	0,19	0,13	0,21	0,24	0,33	0,29	0,24	0,22	0,25	0,11
W/W	0,22	0,48	0,51	0,59	0,45	0,48	0,56	0,44	0,48	0,54	0,58	0,43
Media Diaria	3,65	4,74	5,58	7,11	7,27	4,10	4,28	5,25	5,42	7,32	6,18	5,12
Desv. Diaria	4,94	6,57	7,57	7,62	8,46	4,69	4,14	6,02	5,13	7,52	6,87	5,38
Coef. Sesgo	3,31	2,30	2,18	1,59	1,83	2,66	2,03	2,33	1,63	1,70	1,81	2,23
Días de Lluvia	O*	О	0	О	0	О	О	0	0	0	0	0

^{* (}O y cl SWRRB-WQ lo estima).

Cuadro 6. Valores Promedios Mensuales de Temperatura. Periodo (1987 - 1995)

	E	F	M	A	M	J	J	A	S	O	N	D
Máx. °C	17,21	18,63	18,83	18,98	18,88	18,69	18,01	18,35	18,81	18,35	17,82	17,70
Min. °C	11,06	11,86	12,39	13,33	13,48	13,48	12,76	12,69	12,05	12,55	13,23	11,38
C.V.	0,06	0,07	0,06	0,06	0,07	0,06	0,04	0,04	0,03	0,05	0,03	0,04

El coeficiente de variación de la temperatura mensual, se calcula a partir de las estadísticas de los registros de temperatura de la estación Bailadores.

La radiación solar promedio mensual, se obtuvo de los registros de 1987-1995 de la estación Bailadores, como lo muestra el Cuadro 7.

Cuadro 7. Valores de Radiación Solar Utilizados. Periodo (1987 - 1995)

	E	F	M	A	M	J	J	A	S	0	N	D
Rad.(Ly)	391	360	343	325	342	345	345	366	38 5	377	353	361

4.4. Variables para el Cultivo:

Para el cálculo del factor "C" de la USLE se utilizó la metodología desarrollada por Dissmeyer y Foster (1982), para tierras forestales (bosques y matorrales), considerándose, mediante observaciones de campo, los siguientes subfactores: superficie de suelo desnudo, cobertura del follaje, reconsolidación del suelo, alto contenido de materia orgánica, y cantidad de raíces finas.

En el Cuadro 8, se observan los valores que fueron asumidos, después de observaciones de campo, para las diferentes subáreas.

Cuadro 8. Valores asumidos según subfactores seleccionados y asociados al Factor "C".

Subárea	Superficie Desnuda	Cobertura Follaje (%)	Reconsol. Suelo	Alto contenido M.O. (%)	Cantidad Raíces Finas (%)	Altura Docel (m)
(3) Bosque	10	80	0,45	si	80	8
(5) Bosque	10	80	0,45	si	80	8
(7) Matorral	20	50	0,45	si	60	6
(8) Matorral	20	50	0,45	si	60	6

El factor "C" resulta del cuadro de doble entrada E-1 del anexo E a través de los valores obtenidos para cada subfactor. Este valor de "C" obtenido es mejorado utilizando otros subfactores que influyen en el mismo (ver anexo E, Cuadro E-1a), y finalmente se incluye también como factor multiplicador de "C" el subfactor alto contenido de materia orgánica con valor de 0,70 para vegetación permanente (bosque, páramo, matorrales).

Para obtener el factor "C" de las subáreas de cultivo y pastos, se utilizó la clasificación propuesta por el Ministerio del Ambiente (Velázquez, 1988, citada por Ramírez 1995) (ver anexo E, Cuadro E-2).

Los valores obtenidos del factor "C" para las diferentes subáreas se encuentran en el Cuadro 9.

Cuadro 9. Valores de "C" para Subáreas seleccionadas :

Subárcas	Valor de "C"	Factor "P"
1	0,40	1
2	0,40	1
3	0,004	1
4	0,04	1
5	0,004	1
6	0,04	1
7	0,01	1
8	0,01	1
9	0,40	1
10	0,40	1

Al factor "P" (Prácticas de Conservación) de la USLE para cada subárea se le asignó el valor de 1, debido a que en la microcuenca no se aplican prácticas de conservación de suelos.

Números de cultivos en rotación: El modelo permite hasta 3 cultivos en rotación, dentro de un año o en años sucesivos. A cada cultivo se le determina el día y mes de plantación y el día y mes de cosecha. Estos valores se estiman a partir del tipo de cultivo: anual o perenne.

Otros datos de los cultivos son: factor de conservación de la biomasa, factor de estrés de producción de agua, índice potencial de cultivo, máximo índice de área foliar y la cobertura inicial de residuos, sus valores se obtienen de Tablas preparadas (Ver Anexo E, Cuadro E-3).

En el Cuadro 10, se muestran los valores para cultivos anuales de las diferentes subáreas.

Datos de Cultivos

Cuadro 10. Valores para Cultivos Anuales en las Diferentes Subáreas de Cultivo.

38	Cutines en Rotación	Profund. de enrazamiento (mn)	Fec. de Siembra	Fec. de Cosecha	Operac. de Labranza	Factor "C" Anual prom.	Méx. L.A.I	Indice Potencial de Cultivo	Factor de stress prod. del agua	Factor de Corversión de Biomasa (Kg/ha.m ²/Mi)
-	Papa	270	05/15	10/15	2	90'0	5	1.12	0,01	15
	Zananoria	270	11/20	04/20	J	0,32	6,5	1.15	0,01	18
7	Papa	1.115	08/05	01/10	1	90'0	5	1.12	0,01	15
	Zananoria	1.115	02/01	05/20	2	0,32	9'2	1.15	0,01	18
6	Papa	290	09/15	02/12	1	90'0	9	1.12	0,01	15
	Zananoria	230	03/01	£0/80	2	0,32	6,5	1.15	0,01	18
5	Papa	480	04/10	90/60	l	90'0	2	1.12	0,01	15
	Zananoria	480	03/50	02/25	1	0,32	6,5	1.15	10,0	18

Es importante schalar que el modelo SWRRB-WQ permite realizar rotaciones de cultivo dentro de un mismo año, pero presenta la limitante, según pruebas realizadas (ver anexo E, cuadro E-5), de que el crecimiento de los cultivos se ajusta al periodo comprendido entre 15 de febrero y 15 de diciembre de cada año, debido a que toma en cuenta las estaciones del año y cuando ocurre el invierno en U.S.A., y las plantas perennes, inclusive, entran en un periodo de latencia.

4.5. Datos de Nutrientes y Biocidas.

Producción de Nutrientes :

Entre las variables requerid: s por el modelo para estimar la conducción de nutrientes se pueden mencionar: contenido de carbono orgánico y concentración de nitrógeno y fósforo orgánico, los cuales se obtienen a partir de la materia orgánica del primer estrato de los diferentes tipos de suelos encontrados en la cuenca. A través de los análisis químicos realizados en el laboratorio de FONAIAP - Mérida, se obtuvieron las concentraciones de materia orgánica. Las ecuaciones utilizadas para las diferentes estimaciones son:

- Carbono orgánico:

$$COC = (M.O/1,33)/1,724$$
 (71)

donde:

12.9

M.O. = materia orgánica (%).

COC = Carbono orgánico (%).

- Nitrógeno orgánico:

$$CON = 1000(COC) \tag{72}$$

donde:

CON = Nitrógeno orgánico (%).

- Concentración inicial de NO3-N:

$$WNO_3 = 10(Z) \tag{73}$$

donde:

WNO₃ = Concentración inicial de Nitrato.

Z = Profundidad del suelo superficial (mm).

- Concentración de Fósforo:

$$CP = 0.125(CON)$$
 (74)

donde:

CP = Concentración de fósforo (%).

Por medio de encuestas realizadas a los agricultores de los diferentes sectores de la microcuenca, se obtuvieron las fechas de aplicaciones de biocidas y fertilizantes químicos, dosis de aplicación por hectárea, frecuencia de aplicación y tipo de biocida y fertilizantes aplicados (ver anexo E, Cuadro E-6).

Algunos de los datos de nutrientes encontrados en el suelo y cantidades aplicadas al campo, se pueden ver en el Cuadro 11.

Cuadro 11. Datos de nutrientes en el suelo para las subáreas de cultivo.

Sub	Fecha de	Total N	Total P		Co	ntenido en el S	Suelo	
área	Aplicación	aplicado (kg/ha)	aplicado (kg/ha)	Carbono orgánico (%)	P. Sol. g/m³	N. orgánico g/m³	P. orgánico g/m³	Concentrac. NO ₃ (g/m³)
1	06/20	308	126	3,33	100	3.330	416	13
	12/25	308	126					
2	09/03	308	126	4,13	100	4.130	516	34
	10/07	308	126					•
9	10/20	308	126	2,8	100	2.840	355	20
	04/10	308	126					
10	05/15	308	126	2,0	100	2.000	250	20
	10/25	308	126					

El modelo permite simular hasta 10 biocidas. En el caso de la microcuenca Zarzales - La Grande se seleccionaron los 9 más utilizados, de los cuales posteriormente fueron agrupados por ingredientes activos y sus respectivas concentraciones (ver Anexo E, Cuadro E-7).

Entre las variables que requiere el modelo para simular la conducción de los biocidas están: nombre del biocida, coeficiente de partición en el suelo, fracción de lavado, vida media del biocida en el follaje y en el suelo, eficiencia de aplicación y solubilidad en el agua. Arnold et al (1991), propone un listado de biocidas con valores para cada una de las variables antes mencionadas (ver Anexo E, Cuadro E-14).

Algunos datos de biocidas se pueden observar en el Cuadro 12 para las diferentes subáreas de cultivo de la microcuenca.

Cuadro 12. Datos de biocidas para las Subáreas de Cultivos.

Nombre del Biocida	Cant. Aplicada	*SKOC	*WOF	Vida Med	ia (dias)	• EFA	• WSOL
	(Kg/ha)			Follaje	Suelo		(ppm)
Furadan	2	40	0,55	1,10	17,00	0,75	350,00
Parathion	10	14.000	0,65	3,00	5,00	0,75	60,00
Basudin	9	227	0,90	2,0	30,00	0,75	0,40
Dithave M - 45	32	10.000	0,25	10,0	35,00	0,75	0,50
Gramoxone	2,4	1.000.000	0,60	3,00	99,00	0,75	500.000,00

* SKOC : Coeficiente de partición en el suelo.

* EFA : Eficiencia de aplicación.

WOF : Fracción de lavado.

* WSOL : Solubilidad en agua.

Las aplicaciones de biocidas se dan en las áreas de cultivos Sa 1; Sa 2; Sa 9 y Sa 10, y se repite para ambos cultivos en rotación (Zanahoria - Papa).

El modelo, presenta algunas limitantes, como por ejemplo: permite un máximo de 5 aplicaciones de biocidas por cultivo, dosis de aplicación máxima de 5 Kg/ha. por biocida aplicado y un solo biocida utilizado por aplicación.

Se realizaron pruebas entre biocidas para lograr ajustar los valores, lo más próximo a la realidad existente en el campo. Entre las prácticas más comunes están: realizar más de 10 aplicaciones de biocida por cultivo; dosis de aplicación por cada biocida mayor de 10 Kg/ha en el ciclo del cultivo; y cócteles de biocidas por cada aplicación.

De los análisis realizados se pudo comprobar que las pérdidas de biocidas en el agua o en los sedimentos tienen un comportamiento lineal a medida que se incrementan los kilogramos aplicados por hectárea. Esto significa que se puede extrapolar linealmente los resultados del modelo en aquellos casos donde se utilicen más de 5 Kg. de biocidas por hectárea, y así conocer la cantidad que se pierde por escorrentía y sedimentos en las áreas de cultivo. Para mayores detalles referirse al Anexo E (Uso de agroquímicos).

En el Anexo E, se describen también los biocidas usados con mayor frecuencia en el área de la microcuenca. Por medio de ésta información se pudo agrupar los biocidas por ingrediente activo y se utilizaron las concentraciones de los mismos, para determinar las cantidades aplicadas por hectárea.

A partir de los datos presentados en el capítulo anterior, se aplicó el modelo, con la finalidad de estimar la producción de agua, sedimentos, biocidas y nutrientes en las diferentes subareas que componen la microcuenca Zarzales - La Grande y a la salida de la misma. También fueron simulados a demás de la situación actual, 3 escenarios o alternativas de manejo: prácticas de conservación de suelo, uso adecuado de biocidas e incremento del área de cultivo. En el Anexo F se muestran los archivos de entrada y salida del modelo.

5.1. Situación Actual:

En los Cuadro 13 y 14 se presentan, a nivel mensual, los resultados obtenidos para las microcuencas Zarzales - La Grande y Quebrada La Grande, en relación al grado de deterioro del recurso agua causado por la producción de sedimentos y el uso de biocidas y fertilizantes. El Cuadro 13 representa los valores obtenidos directamente por el modelo, siendo que, los biocidas se expresan en mm/ha y los nutrientes en kg/ha. Para su comparación con los estándares internacionales se transformaron las unidades a mg/l para los biocidas y en partes por millón (ppm) para los nutrientes, como se observa en el Cuadro 14.

Las Figuras 6 y 7, se presentan los gráficos generados por el modelo SWRRB-WQ, donde se ilustra el comportamiento mensual de la producción de agua y sedimentos.

En la Figura 8, se puede observar que los meses de mayor producción de sedimentos, a la salida de la cuenca, son los de marzo, abril, mayo, agosto y octubre, con 4.51, 4.27, 5.92, 3.05 y 2.55 T/ha respectivamente. Estos meses coinciden con las épocas lluviosas de la Región de Los Andes. Una alta producción de sedimentos se observó en las 4 subáreas de cultivo, presentando valores de 239, 484, 87 y 82 T/ha en cada una (ver Cuadro 15).

Cuadro 13. Contaminación por biocidas y Exceso de Nutrientes en el agua.

Descripción	Fne	Feb	Mar	Abr	May	,km	Jul	Ago	8ар	Oti	Nov	Dic	Anual
Microcuenca Za	rzales	S - La C	rande,	(2.479	has)	× -				,			
Biocida dis (mp/ha)	0	20	2105	16703	5613	20404	4629	7026	41177	32307	31919	4032	136063
Biocido abs (mg/ha)	49	284	28951	98328	901522	210299	102372	56526	414912	744611	275702	61995	2895565
Nitrato dis (kg/ha)	0.36	0 94	7 17	8 70	6 74	3.92	6 02	8.47	4 97	7 70	8 21	2 77	63 9 6
Fóstoro org. (kg/ha)	0	0	0.004	0 004	300.0	0	0	0 003	0 003	0 003	0 001	0 001	0 074
Nárágeno arg. (kyfne)	0.02	0.017	0.37	0.43	0 49	0.08	0.13	0.30	0 16	0 28	0 21	0 10	2.64
Quebrada La G	rande	, (515)	1 8 S)										
Biocida dis (mg/ha)	0	2 40	5.20	6012	39 82	9284	3637	2746	839	1781	404	233	28925
Biocide abs. (mg/he)	2070	928	10829	7341	482733	67412	45807	17098	205348	293954	66220	13981	1202719
Nitrato dis. (kg/ha)	0 16	0.76	4.14	7. 8 8	4.90	3 16	4.37	4.25	2 91	6.80	4.74	1.55	44 04
Fóstoro org (kg/ha)	0	0	0.006	0.008	0.01	0.003	0.001	0.008	0.001	0.004	0.001	0.001	0.043
Nimgenn arg (kg/he)	0.03	0.09	0.39	0.61	0.76	0.13	0 15	0.58	0 15	0.38	0.21	0 10	3 55

Cuadro 14. Producción promedio mensual y anual de sedimentos, agua, nutrientes y biocidas para un período de registro de 8 años. Microcuencas Zarzales - La Grande y Quebrada La Grande.

Descripción	Ene	Feb	Mar	Abr	May	Jun	Jul	Ago	Sep	Oct	Nov	Dic	P. Anual
Microcuenca Zarza	les -	La Gra	ande,	(2.47	9 has)							
Prod. Sedimentos (T/ha)	0.14	0.48	4.51	4.27	5.92	0.69	0.72	3.05	1.31	2.55	1.63	1.04	26.31
Biocidas disueltos (mg/L)	0	0	0.03	0.11	0.03	0.28	0.06	0.06	0.04	0.21	0.19	0.03	0.10
Biocidas absorbidos (mg/l)	1.09	0.01	0.34	0.71	4.12	2.08	1.31	0.50	3.80	4.90	1.66	0.46	2.13
Nitrato disuelto (ppm)	8	31	84	63	31	39	77	56	48	51	49	21	47
Fósforo disuelto (ppm)	0	0	0.05	0.03	0.02	0	0	0.03	0.03	0.02	0.01	0.01	0.02
Nitrógeno disuelto (ppm)	0.45	2.31	4.30	3.10	2.30	0.79	1.66	2.63	1.47	1.85	1.26	0.75	1.91
Producción de Agua (mm).	4.54	3.04	8.62	13.86	21.84	10.19	7.84	11.38	10.83	15 15	16.60	13.34	137.23
Producción de Agua (1/s)	43	29	82	133	209	98	75	109	104	145	159	128	108
Quebrada La Gran	de, (5	15 ha	s)										
Prod. Sedimentos (T/ha)	0.18	0.59	3.37	3.26	3.57	0.60	1.05	3.09	1.00	2.18	1.29	0.50	20.68
Biocidas disueltos (mg/L)	0	0	0	0.07	0.02	0.07	0.04	0.02	0.01	0.01	0	0	0.02
Biocidas absorbidos (mg/l)	0.03	0.03	0.13	0.04	1.88	0.52	0.51	0.14	1.70	1.83	0.30	0.08	0.76
Nitrato disuelto	2.5	25.3	51.4	48.9	19.1	24.1	48.2	34.1	24.1	3 6.0	25.5	9.06	29.0
Fósforo disuelto	0	0	0.10	0.27	0.12	0.02	0.004	0.06	0.008	0 02	0.005	0.006	0.05
Nitrógeno disuelto	0.50	2.99	4.84	3.78	2.93	0.99	1.65	4.61	1.19	2.24	1.13	0.58	2.28
Producción de Agua (mm).	5.78	2.96	8.27	15.88	25.49	13.25	9.26	12.35	11.98	16.29	18.69	17.04	157.20
Producción de Agua (1/s)	12	6	17	322	52	26	19	25	24	32	37	34	26

Figura 6. Relación entre flujo superficial y flujo subsuperficial de la microcuenca.

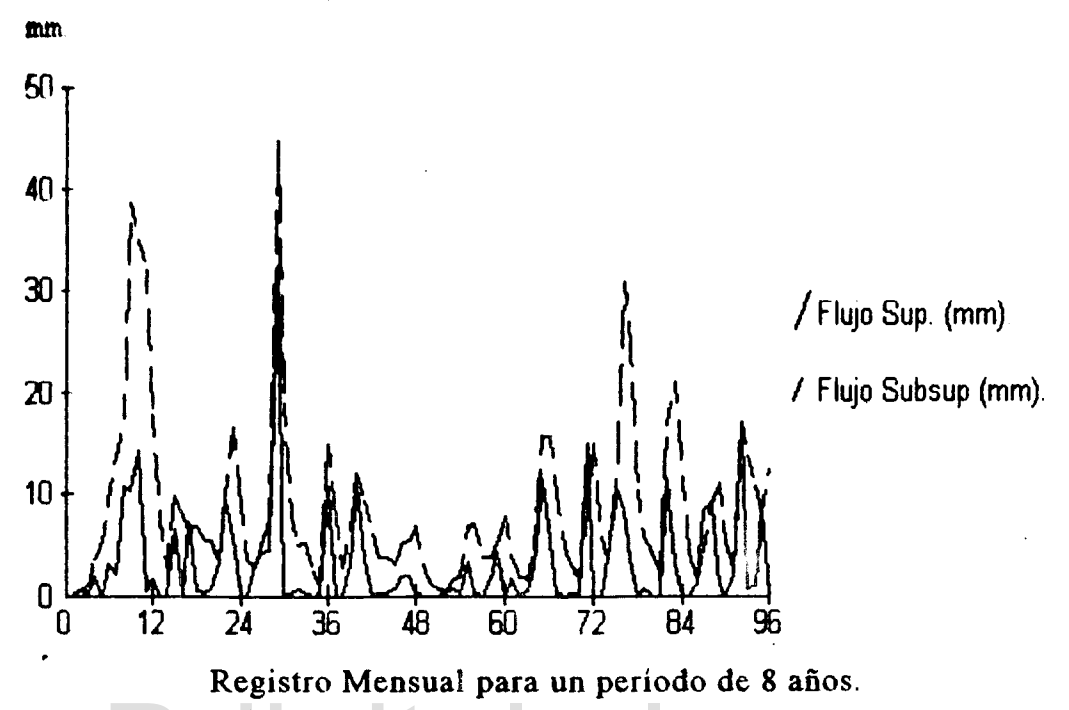
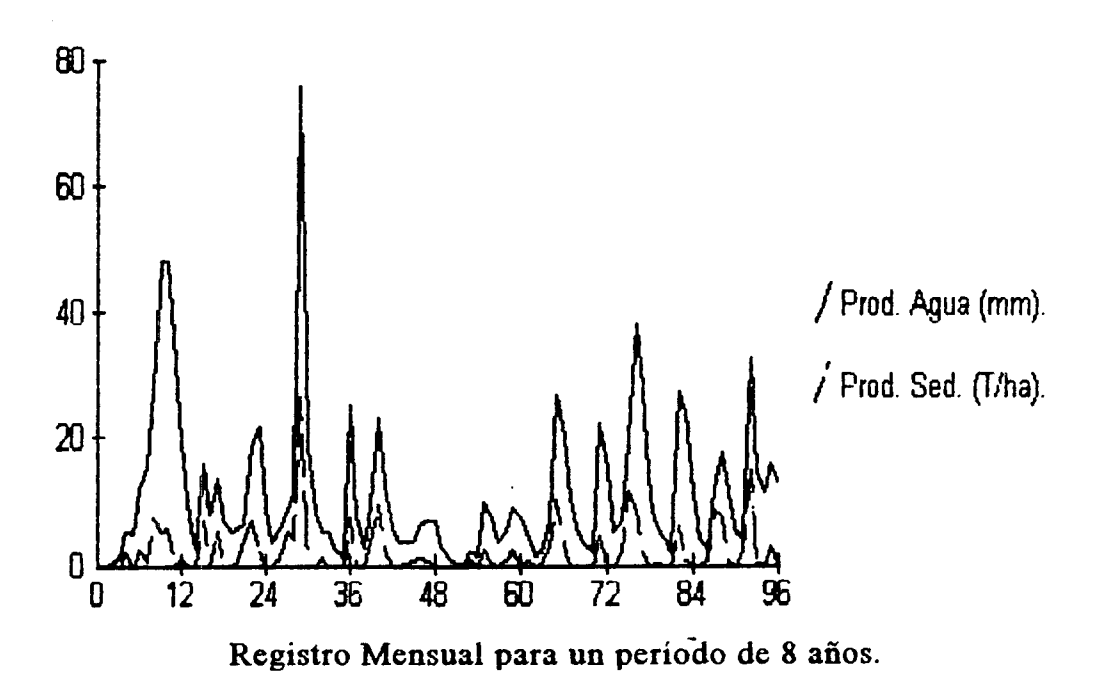
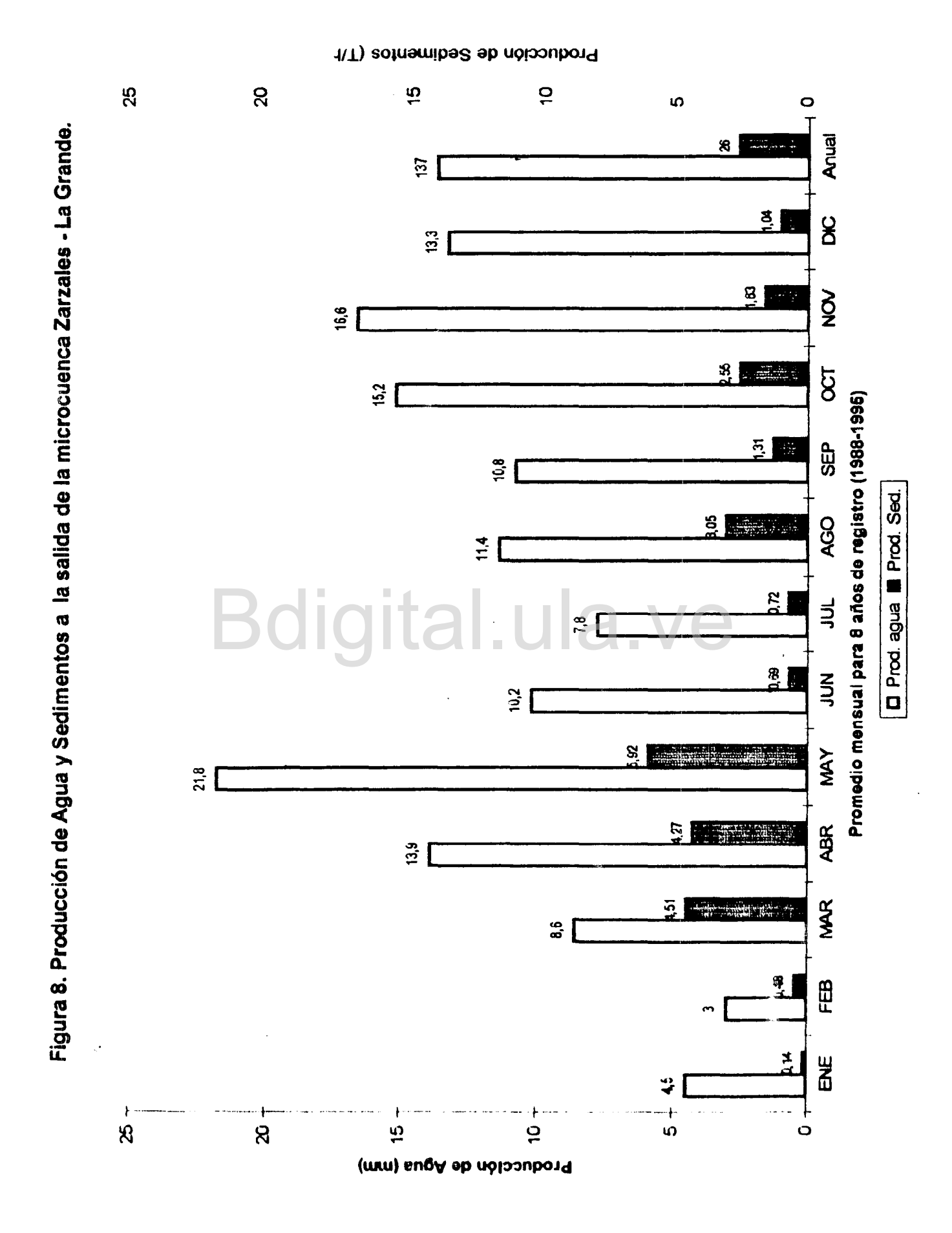


Figura 7. Producción de Agua vs. Producción de Sedimentos





C.C.Reconocimiento

Cuadro 15. Producción de sedimentos y biocidas disueltos, promedio anual por subáreas homogéneas.

Subárea	Producción Sedimentos (T/ha)	Biocidas Disueltos (mg/l)	Biocidas Absorbidos (mg/l)
. 1	238.6	0.18	4.71
2	484.0	1.23	6.01
3	0,1	0	0
4	0,7	0	0
5	0,1	0	0
6	1,9	. 0	0
7	1.2	0	0
8 .	0,7	0	0
9	R 86.6 + 4	0.16	0.80
10	81.8	0.27	1.73
Cuenca	26.3	0.10	0.50

Entre las posibles causas de la alta producción de sedimentos en las áreas de cultivo se encuentran las altas pendientes existentes (promedio de 40 %), que combinado con deficientes técnicas de uso y manejo de los suelos, prácticas de conservación de suelo, y prácticas de riego inadecuadas, provocan el desgaste y deterioro del suelo a través de la erosión. No obstante, a la salida de la microcuenca el modelo da como resultado 26,3 T/ha de sedimentos.

Estos valores de producción de sedimentos, tanto en las áreas de cultivo como a la salida de la microcuenca pueden considerarse aceptables. Estudios realizados en Africa (Roose, 1993), han reportado valores de pérdidas de suelo, en zonas agrícolas cultivadas a favor de la pendiente, que van desde los 300 a 700 T/ha/año.

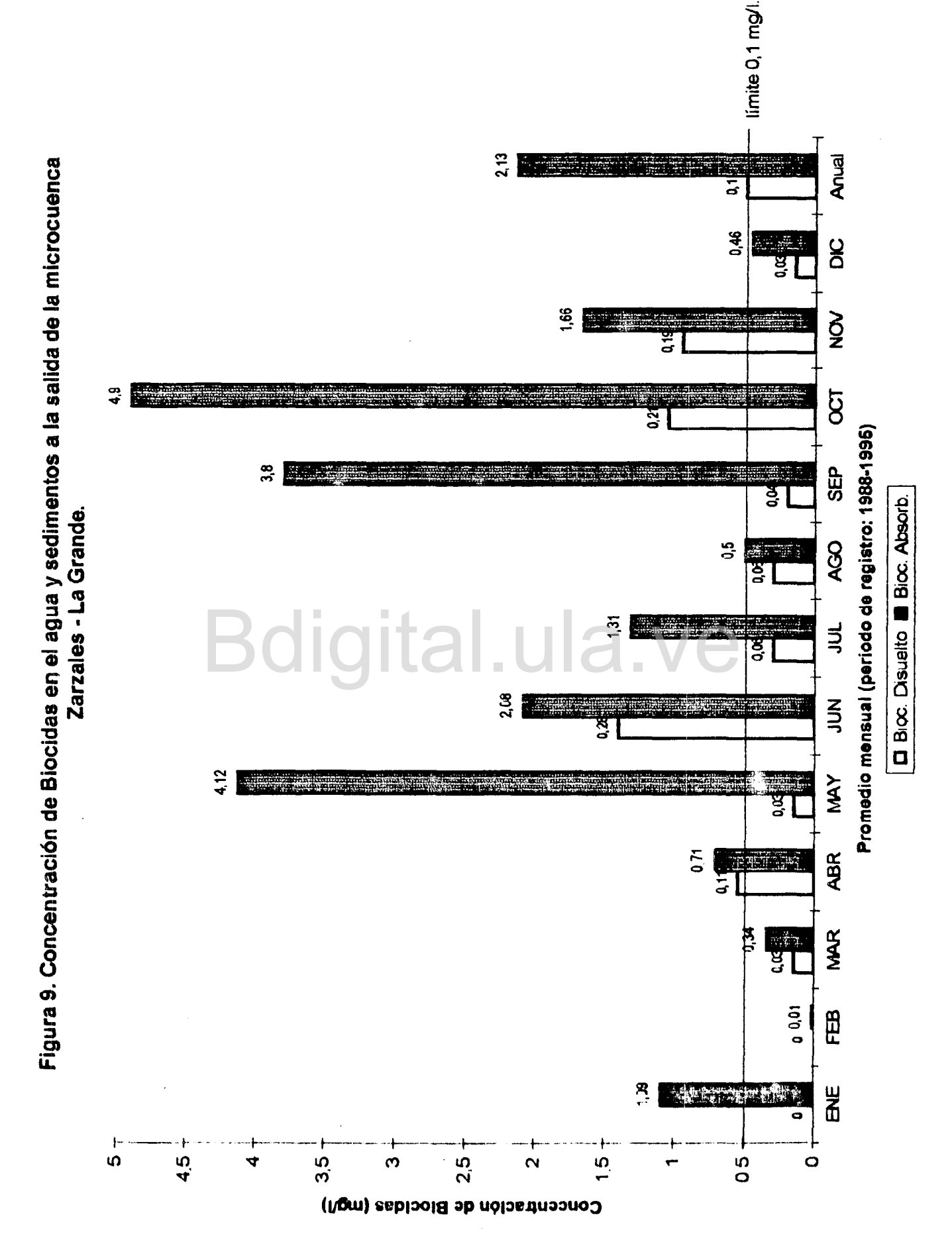
Con fines de evaluar los resultados del modelo en cuanto a la producción de sedimentos, se aplicó la USLE en las áreas de cultivo, obteniéndose una pérdida de suelo en el orden de las 280 T/ha/año, lo que es buen indicativo de los resultados encontrados para los sedimentos en la misma área, ya que el modelo considera erosión por la escorrentía debido al riego, además de la producida por la lluvia.

En relación a los biocidas, se puede apreciar en la Figura 9 que para los diferentes meses del año, los valores promedios producidos por el modelo, a la salida de la cuenca, para un período de registro de 08 años de lluvia, oscilan entre los 0,03 a 0,28 mg/l. Es importante destacar que a pesar de que existen meses con concentraciones altas de biocidas en el agua, no significa necesariamente que el producto fue aplicado en exceso para ese mes, sino que los mismos, permanecen en el ambiente por un determinado lapso de tiempo hasta que cumplan con su vida media sea en el agua o en el suelo.

A la salida de las subáreas de cultivo se obtuvo valores entre 0,16 y 1,23 mg/l cuando a la salida de la microcuenca era de 0,1 mg/l.

Para el caso de los biocidas absorbidos, se puede observar que existe una alta concentración del ingrediente activo en los sedimentos para todos los meses del año, con la excepción de febrero. Desafortunadamente no existen normas internacionales que indiquen cual debe ser el valor mínimo permitido de biocidas absorbidos por los sedimentos. Como se sabe, al ser éstos depositados en algún lugar del cauce dentro o fuera de la microcuenca, los biocidas pueden ser liberados por procesos químicos afectando el ecosistema de ese lugar.

Las evaluaciones individuales por tipo de biocida disuelto en el agua no se pudo realizar, ya que las tablas nacionales e internacionales presentan un valor para los biocidas en general. El inconveniente que presenta este tipo de clasificación es debido a que los biocidas actúan de diferente forma en el ambiente de acuerdo a sus propiedades, siendo algunos más dañinos que otros.



C.C.Reconocimiento

Por ejemplo, los biocidas con un bajo valor de coeficiente de partición (KOC) y una alta solubilidad son transportados rapidamente por el agua.

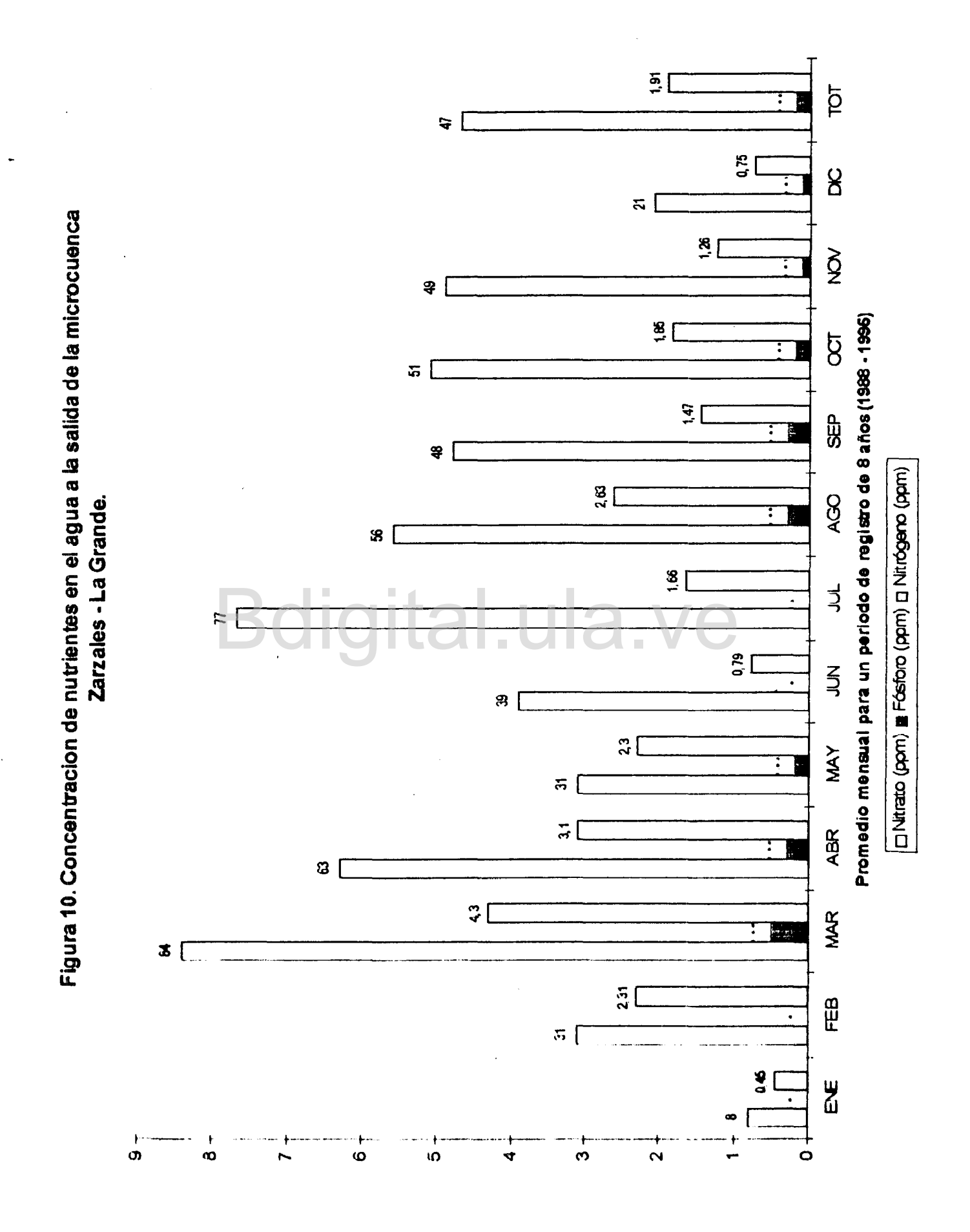
El único biocida utilizado en la microcuenca que tiene valores de referencia en Tablas de estándares fue el Carbofuran, que presenta un valor permitido de 0.03 mg/l. La concentración resultante para el Carbofuran, a la salida de la microcuenca, fue de 0.04 mg/l, un 33 % arriba de la norma. Cabe señalar que una concentración de 0.04 mg/l de Carbofuran en el agua de uso potable, afecta el sistema nervioso y el sistema reproductivo de las personas.

A pesar de que la concentración promedio anual de biocidas disueltos en el agua a la salida de la microcuenca, está en el límite de los permitido, las concentraciones de biocidas absorbidos por los sedimentos es preocupante, lo que es indicativo del exceso de biocidas utilizados sin ningun control en la microcuenca, perjudicando la salud de sus habitantes y los de aguas abajo.

El nivel de Nitrato permitido es de 10 ppm, mientras que en la microcuenca se encontraron valores de 47 ppm promedio anual, esto es, 350 % arriba de lo normal (ver Figura 10). Estudios realizados en los Estados Unidos indican que concentraciones de Nitrato en el agua superior a 44 ppm ofrecen inseguridad a la mayoria de los animales.

Las cantidades encontradas de Fósforo y Nitrógeno con 0.02 y 1.91 ppm respectivamente, son considerados bajos cuando se comparan a los valores establecidos por organismos reguladores (10 ppm para el Fósforo y el Nitrógeno).

Con relación a la producción de agua, en los meses de abril, mayo, octubre y noviembre se producen valores de 133, 209, 145, y 159 l/s respectivamente, los cuales corresponden a la época lluviosa del sector. El promedio anual para la microcuenca es de 108 l/s.



C.C.Reconocimiento

Adicionalmente, se hizo una estimación del posible volumen promedio anual de agua para riego. El modelo toma muy en cuenta las propiedades físicas de los suelos y el crecimiento de la biomasa del cultivo. Se simuló con el modelo un riego por reposición automática, definido a través de un coeficiente de estrés hídrico y considerándose una eficiencia de riego: 0,45 y 0,80 respectivamente. En el Cuadro 16, se muestran los resultados.

Cuadro 16. Volumen promedio anual de agua para riego.

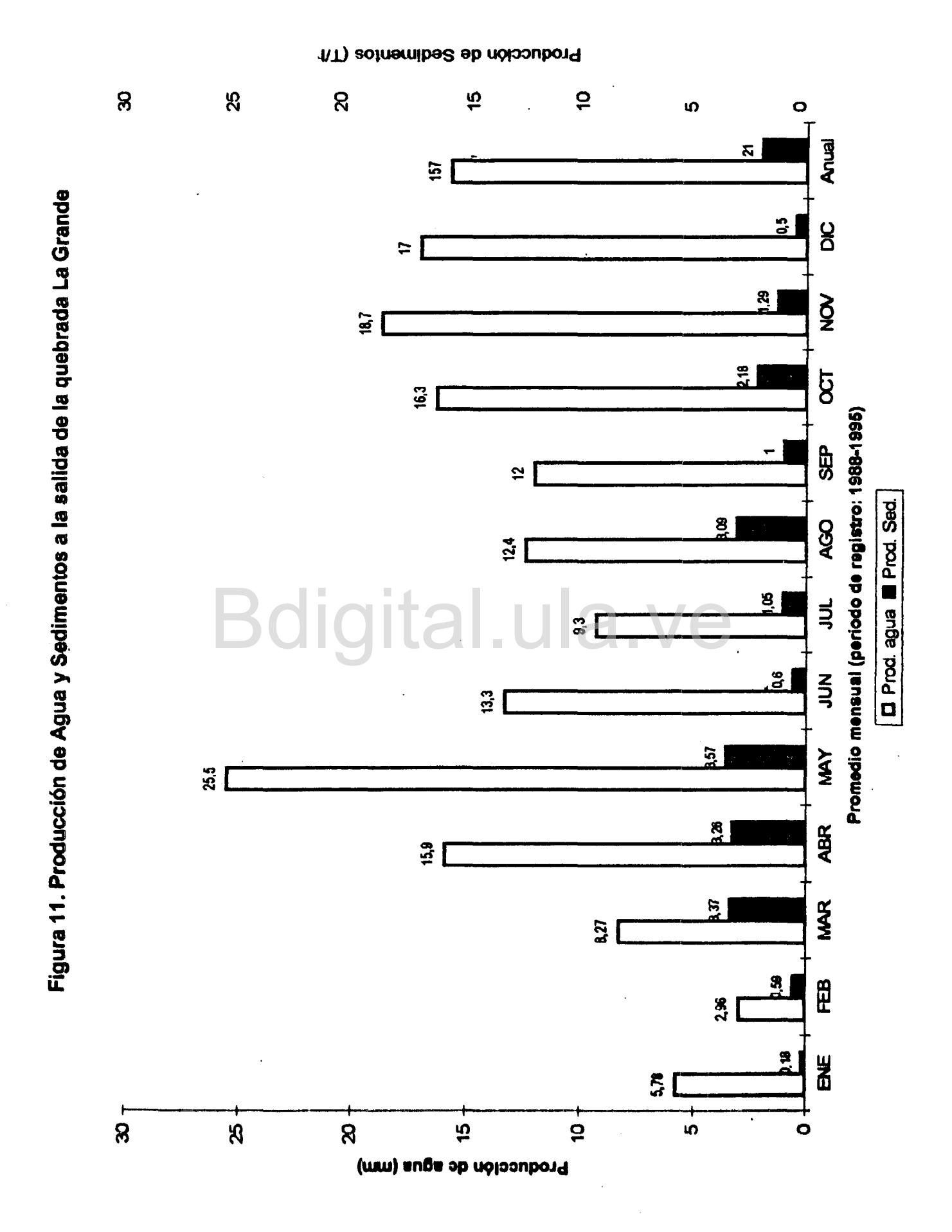
Subárea	Nro. de Aplicaciones	Lámina Aplicada (mm)	Volumen Aplicado (I/s)
1	4	64.84	2.3
2	3	67.66	1.7
3	0	6	0
4	0	, 0	0
5	Boloita		/e •
6	0	0	0
7	0	0	0
8	0	0	0
9	4	95.09	1.8
10	11	157.26	5.2

En el Cuadro se observa que el volumen promedio anual que requieren las áreas de cultivo en rotación (papa y zanahoria) son : para la subárea 01, 2.3 l/s; para la subárea 02, 1.7 l/s; para la subárea 09, 1.8 l/s; y para la subárea 10, 5.2 l/s.

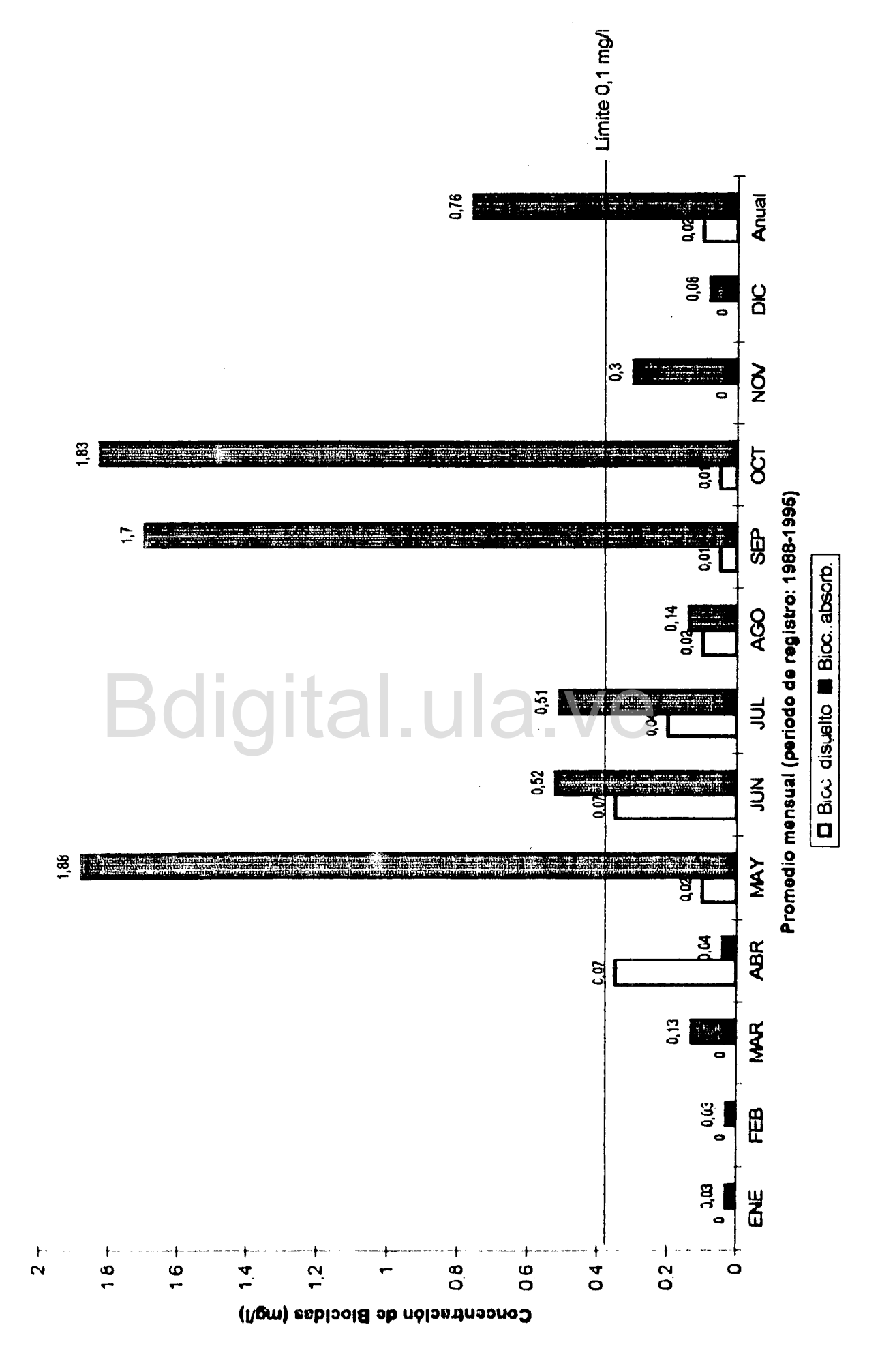
Por la importancia que representa la quebrada La Grande como fuente abastecedora de agua tanto para riego como para consumo humano, a continuación se presenta un análisis de los resultados producidos por el modelo cuando se simula el área en forma individual.

En las Figuras 11 y 12, se pueden observar los resultados que presentó el modelo en cuanto a producción de sedimentos y cantidad de biocidas disuelto en el agua. La mayor producción de sedimentos se dio en el mes de mayo con 4 T/ha, siendo el mes más lluvioso. A la salida de la quebrada se obtuvo un valor promedio anual de 21 T/ha. Es de interés señalar que en la Quebrada La Grande se encontraron valores de CN más altos en las áreas de cultivo y pasto que para el mismo tipo de área del resto de la microcuenca Zarzales - La Grande. Esto se debe a que los suelos son más pesados, lo que hace que se produzca relativamente más escorrentía superficial en esta área.

En relación a los biocidas, se pudo observar que solamente en los meses de abril y junio se llegan a valores de 0.1 mg/l de concentración en el agua. Este valor encontrado es el límite permitido por los organismos internacionales. Para el caso del Carbofuran, las concentraciones registradas fueron de 0,02 mg/l. Es necesario, entonces, mantener estos valores e inclusive controlar la expansión de áreas agrícolas en este sector que comprometan la calidad del agua por el uso de biocidas. La concentración de biocida absorbido por los sedimentos es alto en todos los meses del año, al igual que el promedio anual a la salida de la Quebrada La Grande. Los niveles de Nitrógeno y Fósforo también están por debajo del valor límite establecido. El Nitrato excede en un 195 % el valor permitido por las normas, que es de 10 ppm.



C.C.Reconocimiento



C.C.Reconocimiento

5.2. Evaluación de Escenarios Alternativos de Manejo:

Con la información básica correspondiente a la microcuenca Zarzales - La Grande y de la Quebrada La Grande en particular, se escenificaron 3 situaciones sobre planes alternativos de manejo, con el objeto de evaluar el poder predictivo del modelo como herramienta de apoyo en el diagnóstico y evaluación de proyectos de manejos de cuencas.

A continuación se describen las variables tomadas en consideración para cada escenario, teniendo en cuenta que las modificaciones realizadas corresponden a las áreas de cultivo, que son las fuentes principales de la polución.

Escenarios a simular en la microcuenca Zarzales - La Giande y en La Quebrada Grande:

Primer Escenario: Situación actual de la microcuenca: áreas de cultivo sin prácticas de conservación ni control en la aplicación de biocidas.

Segundo Escenario:

Aplicación de prácticas de conservación de suelos en las áreas de cultivo, sin variar la aplicación de biocidas.

A cada sector de cultivo se le asignó un valor del factor "P", obtenido de USDA (1978) y considerando pendientes hasta de 40 %:

Subárea	Práctica de Conservación	Valor Factor "P"	
1	Terrazas con Curvas de Nivel	0,65	
2	Terrazas con Curvas Nivel	0,65	
9 Cultivos en contorno y en franjas		0,68	
10	Cultivos en contorno y en franjas	0,68	

Tercer Escenario:

Aplicación adecuada de biocidas para los cultivos hortícolas establecidos, según tablas agrícolas para la Región Andina Venezolana (Ver Anexo E, Cuadro E-13). En este escenario no se contempla el uso de prácticas de conservación de suelos.

Producto	Frecuencia de Aplicación (Días)	Dosis (lit/ha)	Nro. de Aplicaciones	Total Aplicado	Total Ingrediente Activo
Furadan	15	0,75	4	5,0	0,3
Paratión	15	1,0	7	7,0	3,5
Diazinón	15	0,5	3	1,5	1,3
Dithane M-45	25	1,0	4	4,0	3,2
Gramoxone	150	2,5	1	2,5	0,5

Cuarto Escenario: Ital. Ula. Ve

Incremento de las áreas de cultivo en un 50 %, lo que representa un 8 % del área total de la microcuenca. En este caso no se aplican prácticas de conservación de suelos, ni uso adecuado de biocidas.

Area de cultivo	Situación inicial (Km²)	Escenario 5 (Km²)	
Subárea 1	1.11	1.66	
Subárea 2	0.81	1.26	
Subárea 3	0.62	0.93	
Subárea 4	1.05	1.58	
Total	3.59	5.48	

Para tener una idea más detallada de la información para los diferentes escenarios se presenta el siguiente Cuadro resumen:

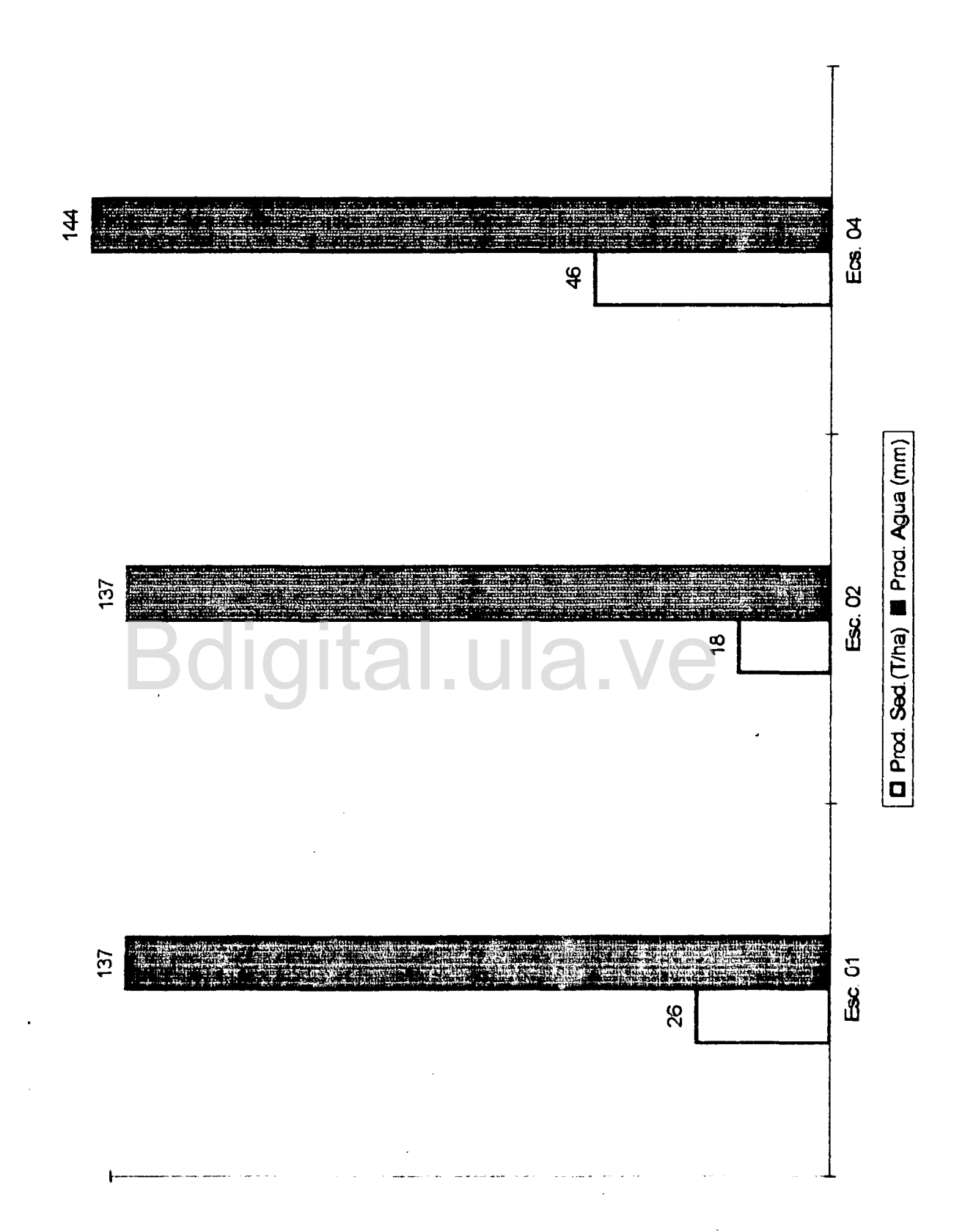
Cuadro 17. Diferentes escenarios planteados en las áreas de cultivo para la microcuenca Zarzales - La Grande.

Variable	Escenario 1	Escenario 2	Escenario 3	Escenario 4	Escenario 5
Factor Práctic	as de Conserva	ción (P) :			
Subárea 1	1	0,65	1	0,65	1
Subárea 2	1	0,65	1	0,65	1
Subárea 9	1	0,68	1	0,68	1
Subárea 10	1	0,68	1	0,68	1
Uso Biocida (Kg/ha):				
Subárea 1	53	53	12	12	53
Subárea 2	53	53	12	12	53
Subárea 9	53	53	12	12	53
Subárea 10	53	53	12	12	53
Superfiçie Cu	Itivada (Km²; :				
Subárea 1	1,11	1,11	1,11	1,11	1,66
Subárea 2	0,81	0,81	0,81	0,81	1,26
Subárea 9	0,62	0,62	0,62	0,62	0,93
Subárea 10	1,05	1,05	1,05	1,05	1,58

En el Cuadro 18, se pueden observar los resultados para los diferentes escenarios planteados. En el primer caso tenemos valores de 26.3 T/ha de sedimentos a la salida de la microcuenca, cantidad que es reducida a 17.6 T/ha con el escenario 2, cuando son aplicadas las prácticas de conservación de suelo. Esta disminución está alrededor del 31 % del valor original. Con el escenario 3 no hay variación en la producción de sedimentos, debido a que la variación aquí es solamente en la aplicación de los biocidas (ver Figura 13).

Con el escenario 4 se incremento el área de cultivo en un 8 % del área total de la microcuenca, sin utilizar prácticas de conservación, aumentando los sedimentos de 26.3 T/ha a 45.8 T/ha. (86%). Lo mismo acontece cuando nos referimos a una subárea de cultivo en particular.

Figura 13. Producción de agua y sedimentos para diferentes escenários a la salida de la microcuenca



C.C.Reconocimiento

Cuadro 18. Resultados obtenidos para los diferentes escenarios en la microcuenca Zarzales - La Grande y la Quebrada La Grande para un período de registro de 8 años (1988 - 1995).

Variable	Escenario 1	Escer ario 2	Escenario 3	Escenario 4						
A la salida de la Microcuenca Zarzales - La Grande (2.479 has)										
Prod. Sedimentos (T/ha)	26.3	17.6	26.3	45.8						
Producción de Agua (mm)	137.13	137.13	137.13	144.35						
Biocida disuelto (mg/l)	0.10	0.10	0.03	0.15						
Biocida absorbido (mg/l)	2 13	1 95	1.35	3.93						
Nitrato disuelto (ppm)	47	47	47	66						
Fósforo orgánico (ppm)	0.02	0.02	0.02	0.06						
Nitrógeno orgánico (ppm)	1.91	1.91	1.91	5.80						
A la	salida de la Que	brada - La Grand	e (515 has)							
Prod. Sedimentos (T/ha)	20.6	14.3	20.6	30.6						
Producción de Agua (mm)	157.2	157.2	157.2	159.6						
Biocida disuelto (mg/l)	0.02	0.02	0.006	0.03						
Biocida absorbido (mg/l)	0.76	0.65	0.53	1.44						
Nitrato disuelto (ppm)	29	29	29	60.3						
Fósforo orgánico (ppm)	0.05	0.05	0.05	0.07						
Nitrógeno orgánico (ppm)	2.28	2.28	2.28	5.90						

En relación a los biocidas el valor promedio anual a la salida de la microcuenca pasó de 0.1 mg/l, con el escenario 1, a 0.15 mg/l con el escenario 4, siendo el incremento de 50 % (ver Figura 14).

Con el escenario 3, al aplicar las dosis recomendadas de biocidas, se redujo su concentración en un 70 %, valor por debajo del establecido por las normas internacionales (ver Figura 15).

Todos estos resultados demuestran la utilidad del modelo a la hora de planificar un esquema de uso y manejo de biocidas, dirigido a reducir el deterioro y contaminación de los recursos agua y suelo.

Figura 14. Concentración de Biocidas para diferentes escenários a la salida de la microcuenca Zarzales - La Grande.

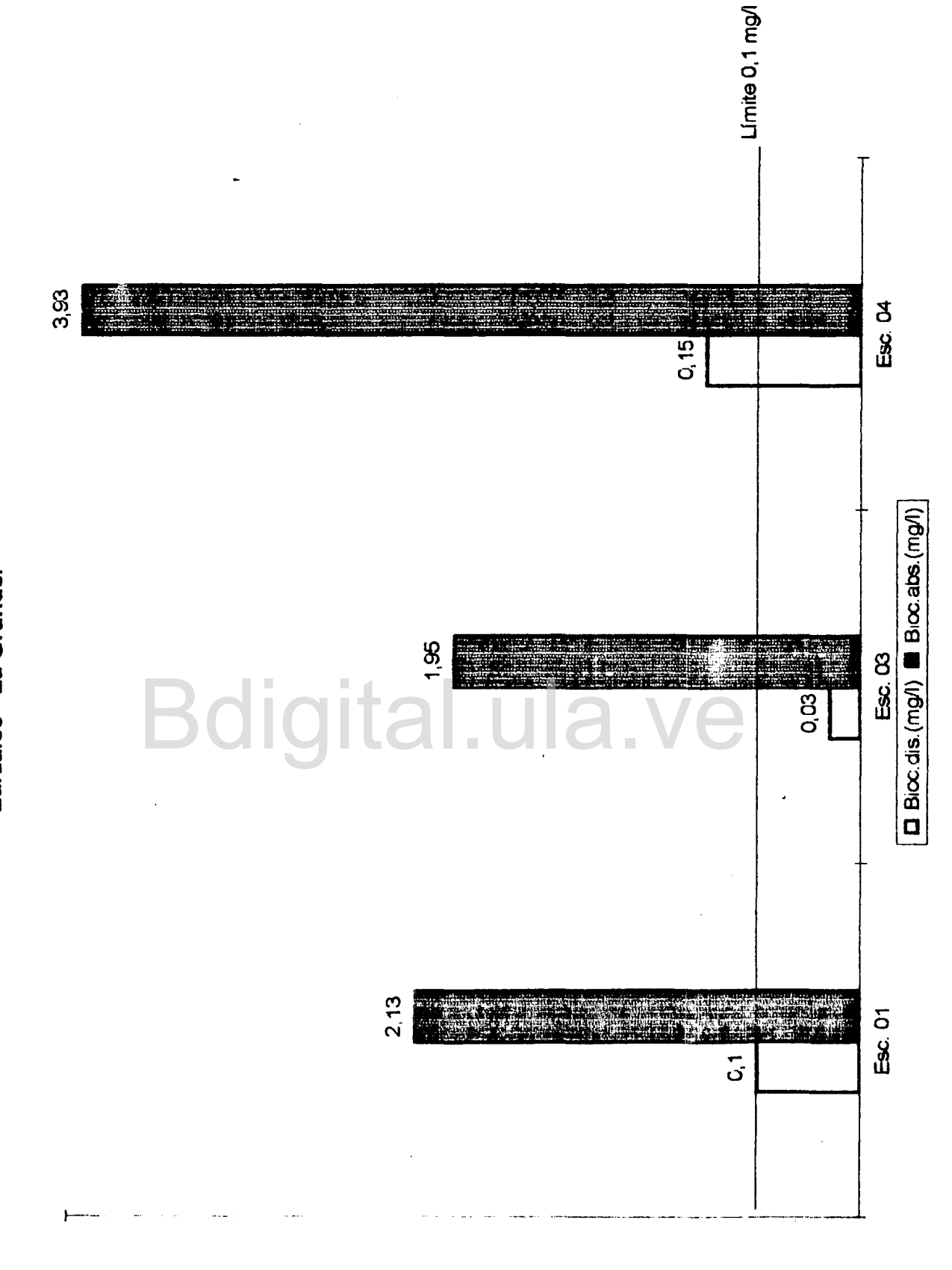


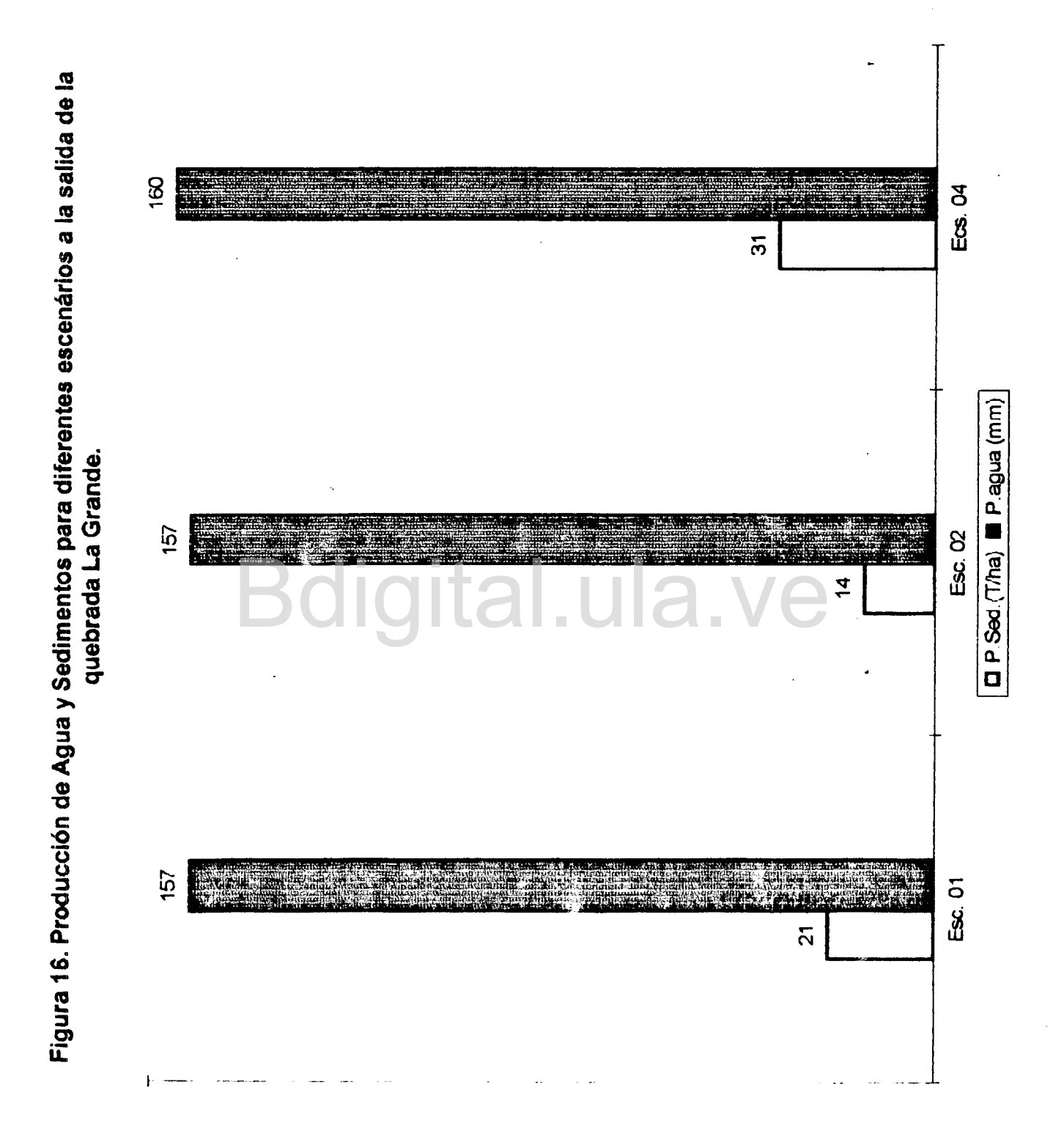
Figura 15. Concentración de Nutrientes en el agua para diferentes escenários a la salida de la Nitrogen (ppm) microcuenca Zarzales - La Grande. ☐ Esc. 01 ■ Esc. 04 Fósforo (ppm) Bdigital.ula.ve 0,02 N.trato (ppm)

Estos escenarios fueron aplicados también en la quebrada La Grande. Al incrementar las áreas de cultivo las concentraciones encontradas en el agua pasaron de 0.02 a 0.03 mg/l.

En relación con la producción de sedimentos a la salida de la cuenca, el incremento fue de 146 %, cuando el área de cultivo paso de 36 a 52 has (ver Figura 16).

Tanto la concentración de biocidas como producción de sedimentos son disminuidos al aplicar la dosis adecuada y las prácticas de conservación de suelos respectivamente (Escenarios 2 y 3).

Todos los resultados presentados en este estudio fueron obtenidos a través del modelo, por lo que no deben considerarse como valores reales de la microcuenca. El propósito del estudio fue la aplicación del modelo como una herramienta indispensable en el diagnóstico de la polución del agua que presenta el área en cuestión, ya que la misma no cuenta con este tipo de información.



6.1. Conclusiones:

- El modelo SWRRB-WQ es una excelente herramienta de apoyo para la formulación y evaluación de proyectos de manejos de cuencas, permitiendo de manera muy flexible estimar la producción de agua, de sedimentos, de nutrientes (fósforo, nitrato y nitrógeno), y de biocidas a la salida de la microcuenca, tanto para las condiciones actuales (diagnóstico), como para situaciones alternativas de prácticas de manejo. Con el modelo es posible, a demás, determinar las necesidades de riego de los cultivos y la producción de biomasa de los mismos.
- El modelo requiere muchos datos de entrada para su correcta aplicación, lo cual limita su uso a las cuencas altas andinas del país, tornándose dificil la disposición de todas las variables necesarias, la información de mayor relevancia, debido a su escasa disponibilidad, se refiere a las variables hidrológicas de los suelos.
- Se desarrolló una relación entre porosidad efectiva y conductividad hidráulica saturada con el fin de facilitar su estimación, a demás de establecerse relaciones entre clases texturales a partir de 63 muestras de suelo analizadas en la microcuenca.
- La información sobre clima, hidrografía, topografía y cultivos es de fácil obtención, a través de guías tabuladas proporcionadas por el modelo y por la literatura existente.
- El modelo presenta la limitante en relación a los biocidas de que : primero, no permite más de cinco aplicaciones de biocidas por ciclo de cultivo; segundo, no permite el uso de más de cinco kg/ha del producto por aplicación; y tercero, no permite más de un biocida por aplicación. Estas condiciones no son las que se presentan en la región andina de Los Andes.

- El modelo SWRRB-WQ permite simular rotaciones de hasta tres cultivos sucesivos, pero está orientado a las condiciones de U.S.A., limitando el crecimiento de los cultivos a un período de desarrollo que va desde el día 45 hasta el 345 del año, fuera de ese lapso el crecimiento de biomasa es igual a cero y ello afecta entre otros, los procesos relacionados con la erosión del suelo.
- En la microcuenca Zarzales La Grande, como en el resto de las cuencas altas andinas, es común el desarrollo de dos o más cultivos anuales a lo largo de todo el año, sin la limitación de una estación de invierno. No es posible simular exactamente esta situación con el modelo, siendo necesario ajustar los ciclos de cultivo al período de crecimiento que usa el modelo (15 de feb. al 11 de dic.)
- Los biocidas fueron agrupados por ingredientes activos. Se determinó la cantidad de producto aplicado a través de la concentración del ingrediente activo. Para los biocidas que superaban los 5 kg/ha de aplicación por ciclo de cultivo se le ajustó extrapolando, para determinar las concentraciones de este producto en el agua.
- Subdividir la microcuenca en subáreas homogéneas permite entre otras finalidades determinar valores para los factores de cobertura, manejo y erosionabilidad del suelo más acorde al tipo de uso que se le de a esa subárea sin necesidad de realizar promedios para obtener valores representativos.
- Para la microcuenca Zarzales La Grande se obtuvo un valor promedio anual de 26 T/ha para un período de registro de 8 años y 20 T/ha para la Quebrada La Grande, valores considerados aceptables debido a la inexistencia de mediciones de sedimentos en el sector.

- Se observó concentraciones de biocidas para la microcuenca Zarzales La Grande justo en el limite de los permitido por las normas internacionales para su uso como agua potable (0,1 mg/l). En la Quebrada La Grande el valor observado está por debajo del límite. Para el caso de los nutrientes, los nitratos superan las 10 ppm permitidas por las normas en ambas microcuencas.
- Se realizaron tres escenarios distintos de manejo conservacionista resultando que al aumentar las áreas de cultivo en un 50 % (8 % del área total), la producción de sedimentos y biocidas aumentaron en un 86 % y 50 % respectivamente. En la Quebrada La Grande la producción de sedimentos aumentó en un 50 % al igual que la concentración de biocida en el agua. En el caso de utilizar las dosis recomendadas de biocidas y aplicar prácticas de conservación de suelos, la producción de sedimentos y biocidas disminuyeron en un 70 % y 31 % respectivamente para ambas microcuencas.

6.2. Recomendaciones:

- Adecuar la formulación de algunos procesos del modelo SWRRB-WQ con el objeto de hacerlo más apropiado al nivel de información existentes en las cuencas altas andinas, principalmente en relación al uso de biocidas, al ciclo de crecimiento de los cultivos, procesos de infiltración, percolación y flujo subsuperficial que requiere de información por estratos para cada perfil de suelo.
- Hacer mediciones de variables como escorrentía, carga de poluentes (nutrientes, biocidas y sedimentos) a fin de validar el modelo SWRRB-WQ, que en esta nueva versión incluye la calidad del agua, tanto en la microcuenca Zarzales - La Grande como en otras cuencas hidrográficas altas.

- Desarrollar una base de información en cuencas altas a los fines de facilitar la aplicación de modelos de simulación como el SWRRB-WQ, como por ejemplo la conductividad hidráulica saturada y otras propiedades físicas de los suelos.
- Evitar el incremento de áreas de cultivo en sectores no aptos para la agricultura, principalmente en el área de la Quebrada La Grande donde actualmente existen obras de captación para agua potable. Utilizar el mínimo de biocidas en la microcuenca Zarzales La Grande, de acuerdo a las dosis recomendadas por los especialistas y mejorando las prácticas de uso y manejo de b ocidas, para disminuir la contaminación de las aguas y del ecosistema.
- Aplicar prácticas de conservación de suelos para disminuir la producción de sedimentos en la microcuenca, principalmente en las áreas intervenidas y que presentan altas pendientes.
- Utilizar biocidas que sean menos dañinos al ambiente, cuya solubilidad en agua sea mínima y presenten alto valor de coeficiente de partición (KOC), fácilmente absorbidos por las partículas de suelo. Es importante realizar periódicamente análisis de agua para conocer las concentraciones de ciertos elementos perjudiciales a la salud del hombre y así aplicar medidas correctivas.

REFERENCIAS BIBLIOHEMEROGRÁFICAS

- Amisial, A., Barrios, A. 1986. Modelos de Simulación de la Operación de un Embalse de usos Múltiples. CIDIAT OEA. Mérida. Venezuela. 323 p.
- Angola, L. 1995. Indice Agropecuario para Venezuela. ACRIVE. Aragua Venezuela.
- Arnold, J.G., Williams, J.R., Griggs, R.H. Sammons, N.B. 1991. SWRRB-WQ A
 Basin Model for Assessing Management Impacts on Water Quality. Draft.
 USDA. ARS, Grassland Soil, and Water Research Laboratory, Temple, TX.
- Arnold, J.G., Williams, J.R., Griggs, R.H. Sammons, N.B. 1990. SWRRB-WQ A
 Basin Scale Simulation Model for Soil and Water Resources Management.
 Texas A&M. Univ. Press, College Station.
- Arnold, J.G., et al 1987. Validation of SWRRB Simulater for Water Resources in Rural Basins. J. of Water Resources Planing and Management. 113 (2): 243 256.
- Barrios, A. 1985. Una Metodología de Evaluación Integral de alternativas para el control de inundaciones y su ilustración en la cuenca del río Escalante. Tesis para optar al grado de Magister Scientiae en Planificación de los Recursos Hidráulicos. CIDIAT. Mérida, Venezuela.
- Barrios, A. 1995. Erosión y Producción de Sedimentos en Cuencas Hidrográficas. U.L.A. Mérida, Venezuela.
- Bingner, R.L. 1990. Comparison of the components used in several sediment yield model. Trans. ASAE. 33(4):1229-1238.
- Bingner, R.L. 1990. Predictive Capabilites of erosion models for different storm sizes. Transactions of the ASAE 35 (2): 505 509.
- Brakensick, D.L., et al. 1994. Soil containing rock fragments: effects on infiltration. Catena 23: 99 110.

- Brakensiek, D.L., et al. 1986. Determining the saturated hidraulic conductivity of a soil containing rock fragments. Soil Sci. Soc. Am. J., 50 (3): 834 835.
- Castillo, M., et al, 1972. Clasificación Interpretativa de los Suelos y Condiciones del Clima en la Cuenca del Mocoties. Trabajo presentado al IV Congreso Latinoamericano de Ciencias del Suelo. U.L.A.-CIDIAT Mérida, Venezuela.
- CORPOANDES HIDROANDES. 1993. Bases para un Plan de Manejo Integral en la Microcuenca Quebrada La Grande. Bailadores, Municipio Rivas Dávila. Edo. Mérida. 84 p.
- Corporación de Los Andes. 1993. Bases para un Plan de manejo integral de la microcuenca Quebrada La Grande. Bailadores. Estado Mérida, Venezuela.
- Decreto Presidencial 1995. Normas para la Clasificación y el Control de la Calidad de los Cuerpos de Agua vertidos o Afluentes Líquidos. Gaseta Oficial de la República de Venezuela Nº 5.021. Decreto Nº 833. Capítulo II. Caracas.
- Duque, R. 1980. Introducción a la Simulación Paramétrica de Sistemas Hidrológicos. CIDIAT. Mérida. Venezuela. 67 p.
- Duque R., Barrios, A. 1988. Modelo de Simulación Hidrológica a Escala Mensual. CIDIAT. Mérida. 130 p.
- Duque, R. 1993. Precipitación. Frecuencia, Medición y Análisis de Datos. CIDIAT. Mérida, Venezuela.
- Faillace, P. 1973. Diagnóstico de papa de la región de Los Andes. CORPOANDES. Revista Nº 5. Mérida, Venezuela.
- Fernández, C.D. 1994. Manual de Manejo y Conservación de Suelos y Aguas. MAG-FAO-UNED. San José. Costa Rica. 300 p.
- Foster, R. et al 1994. Farm Chemicals Handbook. Ohio. Estados Unidos.

- Franzmeier, D.P. 1991. Estimation of hydraulic conductivity from effective porosity data for some Indiana Soil. Soil Science Society American Journal. 55:1801-1803.
- Gobierno de Venezuela. 1995. Decreto presidencial Nº 125, sobre las normas para la clasificación y el control de la calidad de los cuerpos de agua y vertidos o efluentes líquidos. Gaceta oficial 5021 extraordinaria.
- Guerra, M. et al 1993. Instrumentación de una microcuenca piloto. Quebrada Urupe, cuenca alta del río Yacambú, Edo. Lara, Venezuela. Workshop sobre procesos de erosión en tierras de altas pendientes, evaluación y modelaje. 16-20 Mayo. Mérida, Venezuela.
- Hartly, D.M. 1987. Simplified process model for water sediment yield from single storms. (Part I). Transactions of the ASAE. 30 (3): 710 717.
- Hermelin. S.C. 1987. Estimación de los Efectos de las Diferentes Prácticas de Conservación de Suelos a Nivel de Cuencas. Tesis para optar al grado de Magister Scientiae en la opción de planificación de los Recursos Hidraúlicos. CIDIAT. Mérida, Venezuela.
- Ilermelín, S. 1993. Determinación de la producción de sedimentos en cuencas altas de la región centro occidental, aplicando el modelo SWRRB validación. Workshop sobre proceso de erosión en tierras de altas pendientes. Evaluación y modelaje. 16 20 Mayo. Mérida, Venezuela.
- Knisel, W. 1980. CREAMS: a field scale model for chemicals, runoff, and erosion from agricultural management systems. USDA, Conservation Research Report, No. 26, 640 p.
- Loague, K. 1992. Using soil texture to estimate saturated hydraulic conductivity and the impact on rainfall runoff simulations. Water Resources Bulletin 28 (4):687-693.

- López, F.R. 1986. La Degradación y Pérdida de los Suelos Agrícolas. Serie SC-65. CIDIAT. Mérida, Venezuela. 94 p.
- López, M. 1996. Evaluación de riesgo a la salud, derivados de la exposición a plaguicidas, en la población del Município Rivas Dávila, Estado Mérida, Venezuela. Trabajo para optar al título de Magister Scientac en Gestión de Recursos Naturales Renovables y Medio Ambiente. CIDIAT U.L.A. Mérida.
- Michelena, R. 1984. Caracterización físico hidrológica de los suelos y su relación con procesos erosivos en la microcuenca La Virgen. Tésis presentada como requisito para optar al título de Magister Scientiae. Opción Manejo de Cuencas. C.E.F.P. Facultad de Ciencias Forestales, U.L.A., Mérida, Venezuela.
- Mintegui, J.A., et al. 1990. La Ordenación Agrohidrológica en la Planificación. Servicio Central de Publicaciones del Gobierno Vasco. Madrid, España. 306 p.
- Mintegui, J.A. Robredo, J.C. 1994. Caracterización de las Cuencas Hidrográficas objeto de Restauración Hidrológica Forestal, mediante Modelos Hidrológicos. Ingeniería del Agua 1(2):69-82.
- Mintegui, J.A. 1990. Métodos para la Estimación de los Efectos Torrenciales en una Cuenca Hidrográfica. Manual para un Programa Básico. Escuela Técnica Superior de Ingenieros de Montes. Madrid.
- Montalio, A. 1984. Cultivo y Mejoramiento de la papa. Instituto Interamericano de Cooperación para la Agricultura. I.I.C.A. San José.
- Norero, A. 1974. Pauta para el diagnóstico de la fertilidad y el abono de suelos dedicados al cultivo de papas de Los Andes venezolanos. CIDIAT Mérida Venezuela.

- Nichols, L.J. et al, 1994. Comparative modelling of large watershed responses between Walnut Gulch, Arizona, U.S.A., and Matape, Sonora, México. Proceedings of the Canberra Symposium. IAHS Publ. Nº 224.
- Pácz, M.L. 1992. Discho de Prácticas de Conservación con la Ecuación Universal de pérdida de Suelo. Serie SC-64. CIDIAT. Mérida, Venezual. 130 p.
- Pierson, F.B. et al. 1992. Simulating Near-Surface soil Temperature and Water on sagebrush rangelands: Λ Comparison of models. Transactions of the ASAE 35 (5): 1449 1455.
- Quiñones, E., et al, 1994. Comparación de Caudales Máximos Obtenidos a través de Métodos Indirectos; Caso: Cuenca Alta del Rio Apure. Trabajo especial de grado. Escuela de Geografía. Facultad de Ciencias Forestales. U.L.A. Mérida, Venezuela.
- Ramirez, G. 1993. Erosión, Producción de Sedimentos y Perdida de Suelo. Seminario no de tesis. Facultad de Ciencias Forestales. Mérida, Venezuela.
- Rivera, R. 1996. Caracterización físico natural de la microcuenca Zarzales La Grande. Informe de pasantía, Escuela de Geografía, Facultad de Ciencias Forestales. U.L.A., Mérida, Venezuela.
- Rosenthal, W.D. 1992. Grass / SWRRB-WQ input data link. Soil Science Society of America Journal. U.S.A. 56 (2).
- Rouse, E. 1993. Agroforestry, water soil fertility management in African Tropical Mountains. International workshop on soil erosion. Processes on Steep Lands. Evaluation and Modelling, 16 20 Mayo. Mérida, Venezuela.
- Sandia, L. 1995. Evaluación del Impacto de las Actividades Agropecuarias sobre la Salud de la Población del Municipio Rivas Dávila. Estado Mérida, Venezuela. FLACAM. Curso de Post-Grado. La Plata, Argentina.

- Sayre, M. 1988. International Standards for drinking water. Journal. AWW, 80:53-60.
- Silva, E.O. 1995. Validación del Modelo de Simulación Hidrológica SWRRB en una cuenca pequeña de altas pendientes y lluvia estacional. Caso Macapo, Edo. Cojedes. Trabajo presentado como requisito final para optar al título de Magister Scientarium en Ciencias del Suelo. Univ. Central de Venezuela. Caracas.
- Trejos, L. 1991. Estimación de Sedimentos en la cuenca alta del río Uribante utilizando la MUSLE. Informe de pasantías. Facultad de Ciencias Forestales. Mérida, Venezuela.
- U.S. Environmental Protection Agency. General Sciences Corporation and USDA. 1993. SWRRB-WQ. Williams Interface User's Guide. DRAFT. General Sciences Corporation. Laurel. USDA. Texas.
- Vivas, L. 1974. Agrupación Hidrológica de Suelos. Sociedad Venezolana de la Ciencia del Suelo. III Congreso. Escuela de Geografía. Facultad de Ciencias Forestales, Mérida 01 al 04 de Dic.
- Williams, J., Jones C., Dyke, P. 1984. A modeling approach to determining the relationship between erosion and productivity. Trans. ASAE. 27(1): 129-144.
- Williams, J., Nicks, A. Arnold, J. 1985. Simulator for water resources in rural basins. J. Hydraulic Engineering 111 (6): 970-986.
- Williams, J., Berndt, H. 1977. Sediment yield prediction based on watershed hydrology. Trans. ASAE. 20 (6): 1100-1104
- Winterdaal, E. 1987. Estimación de la Producción de Sedimentos en una cuenca mediante ur modelo de Simulación. Cuenca Aracay. Tesis para optar al grado de Magister Scientiae en Planificación de Recursos Hídricos. CIDIAT. Mérida, Venezuela.

MEXOS

ANEXO A: Descripción de los Datos de Entrada al Modelo.

SWRRB-WQ

(Arnold et al 1991)

Bdigital.ula.ve

DATOS DE ENTRADA

			ARCIIIVO Nº 1						
	DATOS GENERALES								
REGISTRO	VARIABLE	FORMATO	DESCRIPCION	UNIDADES	OBSERVACIONES				
1	Título	20A4	Indicar características de la corrida (nombre de la cuenca, período de simulación, etc.)		Registros de texto deben Introducirse para el título.				
2	NBYR	2014	Número de años para la simulación de la escorrentía	1 - 100	20 a 30 años es suficiente para elaborar curvas de frecuencia				
	IYR		Año de Inicio de la simulación.	1 - 2.000	Cualquier número simula hipoteticamente cualquier año.				
	LU	l	Número de subcuencas	1 - 10	Máx. = 10 en la versión 360				
	IPD		Código de impresión.	0 - 2	0 = Mensual. 1 = Diaria. 2 = Anual.				
	NSIM		Códigos para datos de lluvia : =1 Datos de una estación. =2 Simular en una estación. =3 Datos para cada subcuenca =4 Simular para c / subcuenca.	1 - 4	Las coordenadas del centro deben ser dados para cada subcuenca				
•	MSIM		Códig. para datos de temperat.: =1 Datos de una estación. =2 Simular en una estación. =3 Datos para cada subcuenca. =4 Simular en varias estaciones	1 - 4					
	IGH	119	Número de ciclos para generar números aleatorios antes de comenzar la simulación (útil al simular lluvia o temper., permite generar diferentes trazas).	1 - 100	Hay varias semillas para la generación de números aleatorios. El valor del IGN indica cual usar.				
	IWST		Indicador de estadísticas mensuales de (prod de agua) IWST=1 indica que existen en un archivo adicional datos medidos que se deben leer.	0 - 1	IWST=1 activa la opción de cálculos estadísticos (media, desviación, R ²) IWST=0 si no hay datos históricos.				
	ISST		Indicador de estadísticas men- suales de producción de sedi- mento ISST=1 indica que exis- ten en un archivo adicional da- tos medidos que se deben leer.	0 - 1	ISST = 1 activa la opción de cálculos estadísticos (media, desviación, R ²) ISST = 0 si no hay datos históricos.				
	IRES		Código para datos de embalse = 0 Simulador del embalse por subcuenca. = 1 Embalse a la salida de la cuenca.	0 - 1					
	IGRAF		Código de gráficos : = 0 No presenta gráficos. = 1 Gráfico puede ser visto en el tiempo de corrida.	0 - 1					
	IRAIN		Código para escribir gen. / med. Iluvia para una línea específica 0 = No escribir. 1 = Escribir.	0 - 1					

2	ITEMP	2014	Código para escribir gen./med.	0 - 1	
'	,,,,,,,,,,,,,,,,,,,,,,,,,,,,,,,,,,,,,,,		los máx y min Temp especi-	* '	
			ficaciones en la linea : 0 = No		
	IRESQ		escribir, 1 = Escribir.		
1	IKESU	ŀ	 1. Simula la calidad de agua en el reservorio 		
			= 2. Omite la simulación		
	IDAF	ł		0 - 366	
j			Dia de inicio de la simulación		
3	IDAL DA	10F8.3	Día último de la simulación	0 - 366	
3		1070.3	Area de la cuenca.	Km ² 1 - 5000	·
	P2		Factor de corrección para los	0.5 - 1.5	Se puede estimar como la
			datos de precipitación (los		relación entre la lluvia media
			datos de lluvia en la estación se		anual de la cuenca o sub- cuenca y el promedio anual
			multiplican por P2 para obtener la lluvia diaria corregida).	. !	en la estación.
	BFF		Factor del flujo base.	0 - 1	= 1.0 para cauces perennes
					(flujo > 75% del tiempo). = 0,75 flujo entre 55 - 75%
					= 0.75 flujo entre 55 - 75% = 0.50 flujo entre 40 - 55%
					= 0.25 flujo entre 20 - 40 %
					= 0.00 cauces efimeros.
	BRT		Tiempo de retardo de la cuenca (usado para retardar el flujo	Días 0 - 120	Se estima subjetivamente en función de los días que
	1 50		subsuperficial. BRT=0 significa		ocurre flujo subsuperficial
			que todo sale en el mismo día	1 1	después que ha ocurrido un
	FFC		que ocurre la lluvia).	0 - 1	evento de lluvia Si FFC = 0 SWRRB calcula el
	FFC		Fracción de la capacidad de campo define el almacenamiento de agua	0 - 1	contenido inicial de agua en
			en el suelo al inicio de la simulación.		el suelo en función de
			(FFC se multiplica por el		precipitación anual promedio.
			contenido de agua a 0.3 atm para calcular el volúmen de agua en el		
			suelo al inicio de la simulación)		
4	XIJ	10F8.3	Coordenadas en la dirección X	Km	Estos valores se dan solo si
			del centroide de cada subcuenca.	0 - 200	NSIM = 4 (de lo contrario se deja espacio en bianco)
	YIJ	İ	Coordenadas en la dirección Y		
			del centroide de cada		
		·	subcuenca (Primero se escriben las coorde-nadas de X y a		
			continuación las de Y).		
5	TP5	10F8.3	Lluvia máxima de 0.5 h de	mm	TP5 y TP6 se obtienen del
1			duración y 10 años de frecuencia	5 - 150	análisis probalístico de lluvias extremas o de información
			HOUNCHUIA		regional existente.
	TP6		Lluvia máxima de 6h de duración	mm	
			y 10 años de frecuencia	25 - 200	Co sofioso o lon effect del se- e
	TP24		Número de años de lluvias máx. mensuales de 0.5h de duración.	5 - 100	Se refiere a los años del reg.a partir del cual se obtiene Wi.
	YLT		Latitud de la cuenca.	DEG -90-90	Grado solamente.
L		L			

		DA	ATOS MENSUALES DEL C	CLIMA	
6	ОВМХ	12F6.3	Prom. mensuales de la máxima temperat del aire (máx diaria)	°C -10 - 42	Un valor para cada mes del
	OBMN		Prom. monsuales de la minima temperal del aire (min. diaria).		Se obtiene de información climática general.
	VOBMX		igual que OBMX pero para otra subcuenca	° C -10 - 42	VOBMX y VOBMN se refieren a datos para las subcuencas adi-
	VOBMN		igual que OBMN pero para otra subcuenca.	°C -30 - 30	cionales, variable que se repite para cada subcuenca (2,LU) y so dan sólo si MSIM = 3.
	CVT		Coeficientes de variación de temperatura mensual.	0-1	
7	OBSL	12F6.3	Promedios mensuales de la radia- ción solar diaria (un valor p. c/mes)	ly 20 - 750	ly = langley (= 1 cal.cm²). La uni- dad será · ly día = 1 cal.cm².día ¹
8	WI	12F6.3	Precipitación máxima de 0.5 h de duración en cada mes.	m m 0 - 125	Valor máx, por mes obtenido del reg, disp, de TP24 años de long
9	PRW(1)	12F8.3	Probabilidades mensuales de un día de Iluvia después de un día seco P(H/S).	0.001 - 0.95	Se calcula a partir de los registros diarios de lluvia.
	PRW(2)		Probabilidades mensuales de un día de lluvia después de un día de lluvia P(H / H).	0.01 - 0.95	
	WLV		Prom de los días de lluvia en cada mes del año. (Estos datos	0 - 31	Dar WLV = 0 si se trabaja con probabilidades : (PRW > 0)
	D.	منلا	se usan para calcular las PRW cuando ellas no se conocen).		
	RST(1)		Medidas mensuales de la precipitación diaria.	mm 0 - 5 00	La medida desviación típica y el coeficiente de asimetría de la liu-
	RST(2)		Desviaciones tipicas mensuales de la lluvia diaria.	mm 0.05 - 200	via diaria se calculan para cada mes del año a partir de los regis-
	RST(3)		Coeficientes de asimetría mensuales de la lluvia diaria	mm 1 - 7	tros diarios de Nuvia.
		D.	ATOS DE LA CUENCA EN	TERA	
10	· CHL	10F8.3	Longitud del cauce principal. (distancia desde el punto más lejano hasta salida de la cuenca).	Km 0.05 - 200	Se refiere a valores para la cuenca enlera.
	CHS		Pendiente promedio del cauce ppal. hasta salida de la cuenca.	m/m 0.0001 - 10	
	CHN		Valor de rugosidad "n" de Manning en el cauce (se toma de lablas existentes).	0.01 - 0.3	
	OVN		Valor de rugosidad "n" de Manning para el flujo superficial en la vertiente (escurrimiento - se toma de tablas existentes).	0.01 - 0.3	·
	SL		Long. de pendiente prom. del flujo en vertientes. Se refiere al valor "%" estimado por el	m 10 - 150	
	STP		método de los puntos extremos. Pendiente prom del terreno en las vertientes (se puede estimar por el método de la malla-contorno).	m/m 0.0001 - 0.6	
		L	THE TOTAL BY IN THOMAS OF THE PARTY.		

10	CHK	10F8.3	Conductividad hidráulica efecti- va del canal aluvial (se toma de tablas que la relacionan con el tipo de material del lecho)	mn 0 - 150	Se refiere a valores para la cuenca entera
	D	ATOS DE 1	ENTRADA DE BIOCIDAS A	A UNA CU	ENCA
11	NPTOT	14,	Número de Biocidas simulados	1 5	Usar tablas propuestas por
	PNAME	A16,	Nombre del Biocida.		Arnold (1991).
	SKOC	F11.1,	Coeficiente de partición del suelo por Biocida	1- 99900000	
	WOF	F8.2,	Fracción de lavado (1 - 10) %	0 - 10	
ł	HL	2F8.1,	Vida media en el follaje (días).	0 - 200	Dias.
	SKK	F8.2,	Vida media en el suelo (días).	0 - 200	
	EFA	F8.1	Eficiencia en la aplicación.	0 - 1	
	WSOL		Solubilidad en agua.	PPM 0001-1000000	PPM
		D	ATOS PARA LAS SUBCUE	NCAS	
12	FLU	10F8.3	Fracción del área de la cuenca que pertenece a cada subcuen- ca (si LU=1 entonces FLU=1).	0 - 1	Se da un valor para cada subcuenca de 0 a 1 en términos de fracción.
	CN2	1: _	Nro. de curva del S.C.S. para condic. Il de humedad antecedente.	5 - 95	Un valor para cada subcuenca.
	SALB		Albedo del suelo. Se puede asumir un valor de 0.125 sin errores singnificativos en la evapotranspiración.	0.05 - 0.20	0.10 para suelos de color oscuro y 0.20 para suelos luminosos (claros). Un valor por subcuenca.
	SON		Contenido de agua en forma de nieve al inicio de la simulación.	mm 0 - 150	SNO=0 en la mayoría de las cuencas de la zona tropical. Un valor por subcuenca.
	CHW		Ancho promedio del cauce ppal.	m 1 - 100	Un valor por subcuenca.
	Rī		Tiempo de viaje del flujo de retorno (se refiere al fiempo requerido para que el flujo subsuperficial viaje desde el centroide hasta la salida de subcuenca).	Días 0 - 180	Un valor para cada subcuen- ca cero (0,0) y el SWRRB lo calcula.
	CSS	•	Concentración de sedimentos en el flujo de retorno.	ppm 100 - 1500	Un estimado adecuado es 500 ppm. Un valor por subcuenca
	ECP		Factor P-USLE para prácticas de conservación.	0.1 - 1.0	Usar tablas de Wischmeier y Smith (1978), un valor por subcuenca.
	CHL1		Long, del cauce ppel, (dist. desde el pto. más lejano hasta salida de subcuenca).	Km 0.05 - 200	Se refiere a valores para cada cuenca.
	CHS1		Pendiente promedio del cauce ppal. hasta salida de subcuenca.	m/m 0.0001 - 10	
	CHK1		Conductividad hidráulica efecti- va del canal aluvial (se toma de tablas que la relacionan con el tipo de material del lecho).	mm 0 - 150	
	CHN1		Valor de rugosidad "n" de Manning en el cauce (se toma de tablas existentes).	0.01 - 0.3	-

42	OVN	4050.3	Valor de montidad 'n' de	0.04 0.2	I Co reliete a malerea pers
12	OVN1	10F8.3	Valor de rugosidad "n" de Manning para el flujo superficial	0.01 - 0.3	Se reflere a valores para ceda cuenca
ł	l	l	en la vertiente (escurrimiento -	1	cada cuenca
ļ	ı	1	se toma de tablas existentes).		
	81.1	ł	i ong de pendiente prom del	m	1
į		l	flujo en vertientes. Se refiere al		1
l		1	valor 'λ' estimado por el		
l	l		método de los puntos extremos.	1	i
	STP1	1	Pendiente prom. del terreno en las	m/m	{
ŀ	0		vertientes (se puede estimar por el		İ
		j	método de la malia-contorno).	0.0001 0.0	
			DATOS DEL TRANSITO)	<u> </u>
(Se refiere	a valores ca	racterísticos	s del tramo desde la salida de la	subcuenca h	asta la salida de la cuenca).
13	CHW2	10F8.3	Ancho promedio del cauce ppal	m	Un valor para cada subcuenca
1		1	desde la salida de la subcuenca	1 - 100	, =========
i	l	ſ	hasta la salida de la cuenca total		
·	CHD	1	Profund prom del cauce ppal	m	
	ł		desde la salida de la subcuenca	0.5 - 30	
Ì		1	hasta la salida de la cuenca total.		
	CHSS	1	Pendiente media del cauce ppal.	m/m	
		1	desde la salida de la subcuenca	0.0001 - 30	
		}	hasta la salida de la cuenca total.		
	CHL2	ł	Longitud del cauce ppal. desde la	Km	
			salida de la subcuenca hasta la	0.05 - 200	
			salida de la cuenca total.		
1	CHNN		Rugosidad 'n' de Manning del cauce	0.01 - 0.3	Valores tabulados
			ppai. desde salida de subcuenca		
			hasta salida de cuenca total.		
1	CHK2		Conductividad hidráulica efectiva	mm/h	Valores tabulados necesarios
			de canal aluvial del cauce ppal.	0 - 150	para determinar perdida por
			desde la salida de la subcuenca		transmisión.
			hasta la salida de la cuença total.		
	CHXK		Valor de K de USLE para el cauce	0.05 - 0.6	Necesarios para la conducción
	CHC		Valor C de USLE para el cauce	0.001 - 1	de sedimentos.
			DATOS DE LAGUNAS		
14	FP	10F8.3	Fracción de cada subcuenca que	0-1	Un valor para cada subcuenca
			drena en lagunas.		
	SAX		Superficie total de lagunas en	ha	
			cada subcuenca.	0 - 1.000	
	VMX		Vol.de escorrentla proveniente de	mm	
			su área de drenaje, necesario	0 - 100	
			para lienar las lagunas vacias.		
	VM		Volumen inicial en las lagunas.	mm	
				0 - 100	
	CS		Concentración de sedimentos	ppm	
			inicial en las lagunas (400 ppm es	0 - 5.000	
	CES		un valor razonable).		
	CFP		Concent. de sedimentos normal en las	ppm 0 5000	
			tagunas (400 ppm es adecuado).	0 - 5.000	

14	НС	10F8.3	Conductividad hidráulica para el fondo de las lagunas (0.08 mm / h es adecuado)		Un valor para cada subcuenca.
	8EPP		Flujo presente a través de represes	m³ / día 0 - 300	
			DATOS DE EMBALSES	3	
15	ΓR	10Г8.3	Fracción de cada subcuenca que drena a embalses.	mm 0 - 1	Un valor para cada subcuenca.
	SAF		Superficie total del embalse al nivel del aliviadoro de emergencia	ha 0 - 3.000	
	VRF		Volumen de escorrentia de su cuenca de drenaje necesario para llenarse hasta el nivel del aliviadero de emergencia.		
	SAS		Superficie total del embalse al nivel del allviadero principal.	ha 0 - 1.000	
	VRS		Volumen de escorrentia de su cuenca de drenaje necesario para llenar hasta el nivel del aliviadero principal.	mm 0 - 100	
	VR		Volúmen iniciales en los embalses	mm 0 - 100	
	RRR	JI:	Tasa promedio de descarga del aliviadero principal.	0 - 1	
	CSR		Concent. inicial del sedimento en los embalses (400 ppm es adecuado).		е
	CFR		Concentración normal del sedimento en los embalses (400 ppm es adecuado).	ppm 0 - 5.000	
	HCR		Conductividad hidráulica para el fondo de los embalses (0.08 mm/h es adecuado).	mm/h 0-1	
	SEPD		Flujo pasante a través de la laguna.	m³/dia 0-300	
			DATOS DE BIOCIDAS		
16	FFP	10F8.3	Biocida inicial en el follaje.	Ks/ha	
	GP		Biocida inicial en el suelo.	0 - 5	
	ERP		Radio de enriquecimiento para Biocidas.	1-5	Si se introduce da 0,0, el SWRRB-WQ estima para una tormenta de cuencas.
		DATOS DE	NUTRIENTES (Estrato sup	erior del su	elo).
17	CBN	10F8.3	Carbono orgánico.	% 0-6	Calculados a partir de la materia
	CON		Concentración N orgánico.	g/m³ 0 - 10000	orgánica.
	СР		Concentración de fósforo orgánico.	g/m ³ 0-4.000	
	CLP		Concentración de P disponible.	g/m³ 0-100	

			DATOS DEL SUELO		
18	N814	20 4, 10F8 3	Número serie de suelo diferente (se refiere a serie de suelo)	1 - 10	Más de une subcuence puede usar la misma serie de suelo o cada subcuenca puede tener series diter
	M814		Identificación del número de suelo correspondiente a cada subcuen- ca(diferentes subcuencas pueden tener el mismo número de suclo).	ľ	Un valor para cada subcuenca . I U valores
ĺ	NS1	14, 2F8.3	Número de estratos del suelo.	2 - 10	
	EK1		Factor K de USLE.	0.05 - 0.6	Sogún Wischmeier y Smith. (1978).
	8IL1		Porciento de finos pasante del tamiz # 200	% 0 - 100	Se puede inferir del triángulo textural como (%L + %A)
	Z1	10F8.3	Profundidad hasta el fondo de ceda estrato (el primer estrato siempre debe tener 10 mm de espesor, para el resto se recomienda espesores no mayores de 500 mm).		Un valor para c / uno de los N ² estratoc del suelo. Flujo subsu- perficial es sensible a la profundidad de los estratos, por esto se recomienda un valor de 500mm. De excederse podría subestimarse el vol. del flujo subsuperficial.
	POR1		Densidad aparente de cada estrato del suelo. Necesario para calcular Porosidad total.	1 / m ³ 0.05 - 2.6	Un valor por estrato se puede tomar de tablas que la relacio- nan con la textura.
	Bo	dio	Capacidad de agua disponible en cada estrato del suelo.	m/m 0-1	Un valor por estrato se puede lomar de tablas que la relacionan con la textura.
	SC1		Conductividad hidráulica saturada de cada estrato del suelo. Tomada de la permeabilidad en caso tal.	mm / h 0 - 200	Un vaior por estrato se puede apróximar como ½ de la permeabilidad tabulada por clase textural.
	CLA1		Contenido de arcilla en cada estrato.	% 0 -100	Un valor por estrato, si no se dispone del dato se extrae del triángulo textural.
	PSZ		Distribución del tamaño de partículas : (Sedimentos). PSA= (0.20 mm) arena. PSI= (0.01 mm) limo. PCL= (0.002 mm) arcilla. SAG= (0.03 mm) agreg. pequeño. LAG= (0.50 mm) agreg. grande.	Fracción 0 - 1	Un valor para cada clase, si se dan ceros (0,0), SWRRB las calcula.
	RD	10F8.2	Máxima profundidad radicular.	mm	Un solo valor para el suelo, si se da 0,0 el modelo la hace igual a la profundidad del perfi(capa+bajas).
	WNO		Concentración inicial de NO ₃ .	g/m³ 0 - 100	Un valor para el suelo.
			DATOS DE CULTIVO		
19	MO	14	Mes de plantación.	1 - 12	Si la vegetac es perenne, sustituir la
	MCR IDA	_ F4.1	Número de rotación del cultivo. Día del mes de plantación.	1 - 3 1 - 31	fecha de plantación y cosecha por las fechas del inicio y final de la estación de crecimiento.

19	MOH	F4.1	Mes de cosecha	1 - 12	Si la vegetac es perenne, austituir la techa de ptentación y occecha por las
	IDH		Dia del mes de cosecha	1 - 31	techas, del inicio y final de la estación de crecimiento
	IRD	3 I 4, 5ГВ.2	Código para tipo de vegetación : = 1 anual (cultivos). - 2 perenne (bosques, pastizales)	1 2	
	ITIL.		Código de labranza : = 1 labranza Otoño = 2 labranza Primavera = 3 labranza conservacionista. = 4 cero labranza.	1 4	
	LEG		Código para legumbres . = 1 no hay legumbres. = 2 legumbres.	1-2	
	PHU		Unidades de calor potencial.	°C 500 - 3.000	Valores tabulados.
	BE		Factor de conservación de Biomasas.	10 - 50	
	WSYF		Factor de producc, del stress hidrico.	0 - 2	
	HI		Indice potencial de cosecha.	0.01 - 0.95	
•	CAM		Factor de cobertura y manejo (C- USLE) (valor medio anual).	0.001 - 0.5	Cultivos en hileras : 0.32, alfalfa : 0.04. Pastos y bosques : 0.008. Utiliza muestras C encontradas.
	BLAI	614, 7F8.3	Máx. indice foliar LAI (BLAE5 para veget con suficiente lluva prom. anual)	0.5 - 7	
	RSD		Cubierta inicial de residuos en el suelo.	Kg / ha	Si da cero (0,0), SWRRB lo calcula.
20	MON	614,	Aplicación de N y P mensual.	Me s 1 - 12	
	IDY	7F8.3	Aplicación de N y P diario.	Dias 1 - 31	
	FN		Total de N aplicado.	Kg/ha 0-200	
	FPH		Total de P aplicado.	Kg/ha 0-200	
	MOT	6 4, 7F8.3,	Dato de aplicación mensual del Biocida.	Mes 1 - 12	
	IDD	14	Dato de aplicación diaria del Biocida.	1 - 31	
	PA		Cantidad de Biocida aplicado.	Kg / ha 0 - 5	
	IPST		Cuál Biocida se aplicó.	1-5	
			DATOS DE RIEGO		
21	IRR	6 1 4, 7F8.3	Código de imigación : = 1 Riego (autom. ppm stress del agua. = -1 Secano (entrada de dalos y cantid.) = 0 No hay imigación.	-1 - 1	
-	WSF		Valor del factor de stress hídrico al inicio del riego.	0 - 0.95	Cuando se selecciona código 1.
	EFI		Eficiencia de riego.	0 - 1.0	
					

21	MOO	814	Mes de aplicación del riego.	Mes 1 - 12	Para cuando se selecciona el
	IDE	7F8.3	Día de aplicación del riego.	Dias 1 31	código -1.
	Al		Canlidad de riego aplicado	nvm 0 - 1	·

			ARCHIVO Nº 2		•
		(Sólo si MSIM = 1 6 MSI	M = 3)	
REGISTRO	VARIABLE	FORMATO	DESCRIPCION	UNIDADES	OBSERVACIONES
1	TMX	5X,	Temperatura diaria màxima.	°C	Una pareja de valores para
	TMN	15F5.1	Temperatura diaria minima	-50 - 54	cada subcuenca

			ARCHIVO N° 3				
(Sólo si WST = 1 ó ISST = 1)							
REGISTRO	VARIABLE	FORMATO	DESCRIPCION	UNIDADES	OBSERVACIONES		
1	NSTAT	2F8.2	Número de años con registros.				
2	WOB	μц	Escorrentia mensual observada.	mm	Se da una pareja de valores		
	SOB		Sedimento mensual observado.	t / ha	por mes.		
		El registi	o 2 se repite para cada mes d	e informaci	ón		
		(Habrá	n NSTAT x 12 registros tipo	2 en total)	ı.		

Las bases de datos de la precipitación, están construidas con formato 5X, 15F5.1.

ANEXO B: Datos Generales para la Microcuenca.

Cálculos del factor de corrección para longitud de vertiente, tomados de mapas topográficos y de mediciones directas en el campo.

Cuadro B-1. Cálculo del factor de corrección para longitud de la vertiente (λ).

Sector	Longitud en Campo(m) *	Longitud x fórmula (m)	Factor corrección
Quebrada El Oso	95	111	0 86
Quebrada Portachuelo	81	101	0.80
Quebrada. La Grande, Parte Alta	63	89	0.71
Quebrada. Ramal de los Tubos	47	96	0.49
El Rincón, Parte Alta	39	83	0.47
Quebrada. La Grande, Parte Baja	30	89	0.34
Promedio			0.61

^{*} En el campo se tomo por sector 5 valores de longitud y se promediaron, para obtener el valor de las longitudes en vertiente.

Cálculo de los datos de longitud de vertiente, a partir del mapa topográfico y el método de los puntos extremos.

Cuadro B-2. Cálculos de datos de longitud de vertiente.

Número	LB	LB	LB	N	P	F	λ	λ	λ	λ	λ	
Subárea	2 5	50	75	25	50	75	25	5 0	75	Calculado	Corregido	
1	926	505	1 3 5	6	5	4	118	61	24	24 68		
2	645	5 86	703	4	6	5	122	70	91	94	77	
3	1.225	1 216	819	13	5	5	60	154	108	107	88	
4	1.490	2.046	2.692	16	18	12	75	74	155	101	83	
5	2.893	3.431	1.645	24	21	20	80	143	54	92	75	
6.	1.221	1.814	2.836	16	14	15	53	92	145	97	79	
7	1,330	2.281	2.275	16	15	16	63	153	133	116	9 5	
8	2.604	2.040	1.910	18	13	13	101	135	146	127	104	
9	605	4 50	500	7	5	5	58	49	88	65	53	
10	1.100	725	390	7	5	5	128	88	58	91	75	
Total Cuenca	6.530	12.925	8.036	56	80	52	80.24	128.95	112.60	112.60 107.26		

LB25, LB50, LB75: Longitudes de la curva de nivel base a 25, 50 y 75 %.

N.P.E.: Son los números de puntos extremos en la curva de nivel de 25, 50 y 75 %.

λ: Longitud media de la vertiente.

 λ corregido = λ calculado \cdot factor de corrección.

Cálculo de los datos de la pendiente en vertiente a partir del mapa topográfico y la aplicación del método de Alvord.

Cuadro B-3. Cálculo de los dátos de pendiente de las vertientes.

Número Subárea	Area (ha)	∑lC (Km)	Pendiente calculada (%)
1	110.73	3,97	36
2	81.50	4	49
3	249.64	8,17	34
4	248.27	14,17	57
5	451.35	20,0	44
, 6	440.96	24,0	54
Ďdi	387.89	13,13	34
8001	342.74	18,20	V C 53
9	61.50	2,74	33
10	104.63	3,02	29
Cuenca Total	2.479,21	9.504	40.9

La equidistancia entre cotas, es de 0,1 Km., según el mapa base.

Cuadro B-4. Ajuste del factor longitud y pendiente (LS).

Subárea	Pendiente Calculada	LS •	Pendiente Asumida	LS **
1	. 36	19,84	31	20,10
2	49	25 ,06	39	25,33
3	34	15,88	29	15,66
4	57	31,98	43	31,44
5	44	22,61	36	23,00
6	54	28,72	42	29,23
7	34	14,40	29	14,33
8	53	32,84	41	32,34
9	33	16,48	29	16,82
10	29	13,95	26	14,02

LS * : Calculado a través de la ecuación dada por el modelo SWRRB-WQ.

LS ** : Calculado a partir del ajuste de la pendiente a través de la ecuación de Mc Cool et al (1987).

En el Cuadro B-4a, se puede apreciar las diferencias en producción de sedimentos, cuando ajustamos los valores del factor LS para pendientes mayores de 20 %.

Cuadro B-4a. Diferencias en producción de sedimentos (T/ha). Obtenidos al ajustar el factor LS.

	Producción de Sedimentos (T/ha)					
Ubicación	Con ecuación para pendientes < 20 % utilizado por el modelo	Con la ecuación para pendientes > 20 % calculada manualmente				
A la salida de la subcuenca	52.69	36.63				
- A la salida de la cuenca	41.15	29.39				
Subáreas de Cultivos :						
Subárea 1	335.10	253.3				
Subárea 2	871.8	485.10				
Subárea 9	147.4	_ 115.9				
Subárea 10	101.0	83.0				

Cuadro B-5. Datos generales por subárea homogênea.

Sub	Unidad	Km²	Factor	Factor	CN	Para tr	ánsito	Punto n	nás lejano	Longitud	Pendiente
Area			С	K		Longit (Km)	Pend. (m/m)	Longit (Km)	Pend. (m/m)	Vertiente (λ)	Vertiente (%)
1	Cultivo	1,11	0,40	0,11	75	0	0	2,72	0,17	108	45
2	Cultivo	0,82	0,40	0,10	75	2,84	0,07	0,86	0,14	80	49
3	Bosque	2,50	0,004	0,05	60	4,94	0,10	2,09	0,13	87	23
4	Pasto	2,48	0,04	0,07	69	2,56	0,04	4,10	0,16	84	52
5	Bosque	4,51	0,004	0,07	60	5,54	0,11	2,11	0,23	86	52
6	Pesto	4,41	0,04	0,12	79	1,89	0,07	2,72	0,15	80	46
7	Matorral	3,88	0,01	0,12	70	3,93	0,13	2,25	0,28	75	46
8	Matorral	3,43	0,01	0,07	66	2,53	0,16	1,02	0,39	102	54
9	Çultivo	0,62	0,40	0,08	75	1,24	0	1,20	0,09	. 98	26
10	Cultivo	1,03	0,40	0,07	75	0	0	2,94	0,07	100	25
Total M	icrocuenca	24,79						8,13	0,15	80	41

Cuadro B-5a Datos Generales para la Quebrada La Grande.

Sub	Unidad	Km ²	Factor	Factor	Núm.	Para tr	ansitar	Punto más lejano		Punto más lejano		Longitud	Pendien.
Area			С	K	de Curva	Longi. Cauce (Km)	Pend. Cauce (m/m)	Long. Cauce (K/m)	Pend. Cauce (m/m)	Vertiente (m)	Vertiente (%)		
1	Páramo	1,71	0,01	0,08	66	1,42	0.13	0,66	0,28	75	46		
2	Pasto	0,94	0,04	0,10	79	0,06	0.13	0,98	0,28	75	46		
3	Bosque	0,70	0,004	0,07	60	1,09	0.13	0,87	0,28	75	46		
4	Matorral	1,45	0,01	0,07	70	1,16	. 0.13	0,98	0,28	75	46		
5	Cultivo	0,35	0,40	0,13	83	0	0	0,76	0,28	75	46		
Total (Quebrada	5,15						2,25	0,28	75	46		

Cuadro B-6. Cálculo de las pendientes del cauce en (m/m) para efectos del tránsito de sedimentos en las subáreas.

	Desde	el punto ma	ás lejano		Para tránsito				
Sub	Long pto	Niv	eles	Pend	l ongit a	Niv	reles	Pend	
Area	m á s lejano	Cota Mayor	Cota Menor	(m/m)	Salida	Cota Mayor	Cota Menor	(m/m)	
1	3,46	2.900	2.300	0,17	0	0	0	0	
2	2,20	2.800	2.500	0,14	2,84	2.500	2.300	0,07	
3	3,19	3.200	2.800	0,12	4,94	2.800	2.300	0,10	
4	4,33	3.100	2.400	0,16	2,56	2.400	2.300	0,04	
5	2,21	3.400	2.900	0,23	5,54	2.900	2 300	0,11	
6	3,45	3.000	2.500	0,14	2,72	2.500	2.300	0,07	
7	2,51	3.500	2.800	0,28	3,93	2.800	2.300	0,13	
8	1,80	3.400	2.700	0,39	2,53	2.700	2.300	0,16	
9	4,37	2.700	2.300	0,09	0,39	2.300	2.300	0	
10	2,83	2.500	2.300	0,07	0	0	0	0	

Cuadro B-7. Número de curvas para la escorrentía.

Clase Barbecho Cultivos alineados Cultivos no alineados, o con surcos pequeños o mal definidos	R R C C C-1 C-T	Cond hidrológicas para la intiltración. Pobres Buenas Pobres Buenas Pobres	77 72 67 70 65	B 86 81 78	91 88	D 94
Cultivos alineados	R R C C C-1	Buenas Pobres Buenas Pobres	72 67 70	81 78	88	
Cultivos alineados	R R C C C-1 C-T	Buenas Pobres Buenas Pobres	67 70	78		i
Cultivos no alineados, o con surcos	R C C C-1 C-T	Buenas Pobres Buenas Pobres	67 70	78		91
	C C C-1 C-T	Pobres Buenas Pobres		7^	85	89
	C-1 C-T	Pobres	6 5	79	84	88
	C-T			75	82	86
		Duonas	66	74	80	82
	j.	Buenas	62	71	78	81
	3					
· ·	R	Pobres	65	76	84	88
	R	Buenas	63	75 74	83	87
	C	Pobres	63	74	82	85
	C	Buenas	61	73	81	84
	C-T	Pobres	61 59	72	79	82 81
•	C-T	Buenas	59	70	78	01
Cultivos densos de leguminosas o	1	Pobres	66	77	85	89
prados en alternativa	R	Buenas	58	72	81	85
	Tc	Pobres	64	75	83	85
		Buenas	55	69	78	83
	C-T	Pobres	63	73	80	83
	C-T	Buenas	51	67	76	80
Destinator	1					
Pastizales		Pobres	68	79	86	89
(pastos naturales)		Regulares	49	69	79	84
		Buenas	39	61	74	80
	С	Pobres	47	67	81	88
	С	Regulares	25	59	75	83
	С	Buenas	6	35	70	79
Prados permanentes			30	58	71	78
Montes con pastos	1					į
(ganadero - forestal)		Pobres	45	66	77	83
(ganadero - forestar)	1	Regulares	36	60	73	79
	1	Buenas	25	55	70	77
Bosques (forestales)		Muy Pobres	56	75	86	91
• •	l	Pobres	46	68	78 70	84
	1	Regulares	36	60	70	76
	1	Buenas	26	52	63	69
	1	Muy Buenas	15	44 74	54 82	61 86
Caserios	1		59	74		
Caminos en tierra	I		72	82	87	89
Caminos en firme			74	84	90	92

Fuente: USDA (1972). Citado por Arnold et al (1991).

Número de Curva de Escorrentía para otras Tierras Agrícolas

DESCRIPCION DE LA CUI	BIERTA		Nº de Curva para cada Grupo Hídrico de Suelo			
Tipo de Cubierta	Estado Hidrológico(²)	A (3)	В	С	D	
Pastos, prados o forraje permanente para	Malo	68	79	86	89	
pastoreo(?).	Medio	49	69	79	84	
	Bueno	39	61	74	80	
Prados cubiertos permanentemente con hierba, protegidos del pastoreo y normalmente segados para heno (prados de siega)		30	58	71	78	
Matorral, mezcia de matorral y maleza	Malo	48	67	77	83	
siendo el matorral el elemento prioritario(3).	Medio	35	56	70	7 7	
	Bueno	30(4)	48	65	73	
Mezcla de bosques y hierba (huerto o	Malo	57	73	82	86	
árboles frutales) ⁽⁵⁾ .	Medio	43	65	76	82	
	Bueno	32	58	72	79	
Bosques(6)	Melo	45	66	77	83	
	Medio	36	60	73	79	
	Bueno	30(4)	55	70	77	
Granjas, construcciones, caminos, carreteras y alrededores.		59	74	82	86	

Fuente: Ponce, V.M. (1989). Citado por Mintegui (1990).

Número de Curva de Escorrentía para Zonas de Montaña Arida y Semiáridas

DESCRIPCION DE LA CUE	BIERTA	Nº de Curva para cada Grupo Hídnco de Suelo.			
Tipo de Cubierta	Estado Hidrológico(º)	A (3)	В	С	U
Herbácea: Mezcla de hierba, maleza y	Malo		80	87	93
matorral de bajo crecimiento, siendo el matorral el elemento de menor importancia.	Medio		71	81	89
	Bueno		62	74	85
Roble / álamo : Mezcla de garriga, álamo,	Malo		66	74	79 -
caoba de montaña, "bitter brush", arce y otros arbustos	Medio		48	57	63
	Bueno		3 0	41	48
Pinaceas / Juniperus : Pinaceas, Juniperus	Malo		75	85	89
ó ambos con hierba bajo cubierta.	Medio		58	73	80 ·
Bololla	Bueno	VE	41	61	71
Labiadas con hierba bajo cubierta.	Malo		67	80	85
	Medio		51	63	70
	Bueno		35	47	55
Mata desértica: La mayoría de las	Malo	63	77	85	88
plantas incluyen plantas halófilas, plantas crasas, plantas con aceites esenciales,	Medio	55	72	81	86
"bursage", palo verde, "mesquite" y cactus.	Bueno	49	68	79	84

Fuente: Ponce, V.M. (1989). Citado por Mintegui (1990).

Cuadro B-10. Valores del factor "n" rugosidad de Manning.

			Valor medio	Rango
		1/		
I.	Fluido	s de Canales		
Λ.	Exc	avado o Dragado :		
	1.	Tierra, recto y uniforme.	0.025	0.016 - 0.033
	2.	Tierra, sinuoso e inactivo.	0.035	0.023 - 0.05
	3.	No estable con hierbas y matorrales.	0.075	0.04 - 0.14
В.	Can	al Natural :		
	1.	Pocos árboles, piedras y matorrales.	0.05	0.025 - 0.065
	. 2.	Troncos y matorrales.	0.1	0.05 - 0.15
II.	Flujo l	Boloz/talua No Canalizado:	a.ve	•
	- Tierr	a Arada, sin Residuos.	0.01	0.008 - 0.012
	- Culti	vo convencional, sin residuos.	0.09	0.06 - 0.12
	- Culti	vo convencional, con residuos.	0.19	0.16 - 0.22
	- Sin c	ultivar, sin residuos.	0.07	0.04 - 0.1
	- Sin c	ultivar (0.5 - 1 THA (-1)).	0.12	0.07 - 0.17
	- Sin c	ultivar (2.9 T IIA (-1)).	0.3	0.17 - 0.47
	- Gran	extensión de pasto (20% cobertura).	0.6	-
	- Prade	era con vegetación baja.	0.15	0.1 - 0.2
	Vara	tación densa.	0.24	0.17 - 0.3

Fuente: 1/Chow (1959); 2/Engman (1983). Citados por Arnold et al (1991).

Cuadro B-11. Conductividad hidráulica efectiva para pérdidas de infiltración en canales aluviales.

Material del Læcho	Características del Material del Lecho	Conductividad Hidráulica Efectiva (m.m / h)
1 Perdida por Infiltración	Grava muy limpia y arcna grucsa	
muy alta	d50 > 2mm.	> 127
2 Perdida por Infiltración alta	Arena limpia y grava bajo las condiciones de campo.	51 - 127
3 Perdida por Infiltración moderadamente alta.	Mezcla de arena y grava con poco porcentaje de Limo y Arcilla.	25 - 76
	Mezcla de arena y grava con cantida- des significativas de Limo y Arcillas.	64 - 25
5 Perdida por Infiltración muy bajas	Material del Lecho consolidado con alto contenido de Arcilla y Limo	0.025 - 2.5

Fuente: Lane (1982). Citado por Arnold et al (1991).

ANEXO C: DATOS EDAFOLÓGICOS.

Descripción de Perfiles

Ubicación : Páramo.

Clasificación: Troporthent, tipico Esquelético, Franco ácido.

- 0 30 cm: Horizonte A, franco arcilloso, de color 10 YR3/2 con estructura blocosa angular, permeabilidad moderada, contenido de materia orgánica 10.7 % (alta), pH de 4,8 (ácido), Aluminio 2,25. Distribución del tamaño de partículas: Λrena 46% (12,70% Λrena muy fina) y , Limo 20% y Arcilla 34%.
- 30 50 cm: Textura arcillo arenosa de color 10YR 3/2, estructura granular fina, horizonte transicional, permeabilidad moderadamente baja, contenido de materia orgánica 9.69% (alto), pII de 3,9 (ácido), Aluminio 1,265, conductividad eléctrica de 0,057 (normal).
- + de 50 cm: Textura franco arcillo arenosa, de color 10 YR5/3, con estructura granular fina, permeabilidad baja moderada, contenido de materia orgánica 1,07% (bajo), pH de 4,9(ácido) y conductividad eléctrica de 0,005 (normal).

Ubicación : Ramal de los Tubos.

Clasificación: Homitropept óxido, Franco fino, Isomérico.

0-14 cm: Textura franco arenosa, de color oscuro, estructura granular muy fina, permeabilidad moderadamente rápida, contenido de materia orgánica 19,17% (alto), pH de 4,7 (ácido), Aluminio 1,375.

Distribución del tamaño de las partículas: Arena 60%, (13,6% cs Arena muy fina), Limo 20% y Arcilla 20%.

14 - 32 cm: Textura franco arcillo arenosa, de color grisáceo, con estructura granular fina, permeabilidad moderada, contenido de materia orgánica 9.69% (alto), pH de 3,9 (moderadamente ácido), Aluminio 1,265 y conductividad eléctrica de 0,057 (normal).

+ de 32 cm : No se tomo muestra

Ubicación : Pasto frente a Repetidora.

Clasificación: Troporthent, típico esquelético, franco ácido.

0 - 10 cm: Textura franco arcillo arenoso, de coloración rojo claro, estructura granular gruesa, permeabilidad moderada, contenido de materia orgánica 10,97% (alto), pH de 5,3 (moderadamente ácido),
Aluminio 0,22. Distribución del tamaño de las partículas: Arena
54%, (11,24% es Arena muy fina), Limo 12% y Arcilla 34%.

10 - 36 cm: Textura franco arcillo arenosa, de coloración rojo claro, con estructura granular fina, permeabilidad moderada, contenido de materia orgánica 8.41% (alto), pH de 4,4 (ácido), Aluminio 1,265 y conductividad eléctrica de 0,029 (normal).

36 - 50 cm: Textura franco arcillo arenosa, de coloración rojiza con estructura granular fina, permeabilidad baja moderada, contenido de materia orgánica 3.61% (medio), pH de 4,8 (ácido), Aluminio 0,88 y conductividad eléctrica de 0,0019 (normal).

+ de 50 cm: Textura franco arcillo arenosa, contenido de materia orgánica 0.81% (bajo), pH de 5.2 (alto), y conductividad eléctrica de 0,008 (normal).

Ubicación : Arriba quebrada La Grande (cultivo).

Clasificación: Troporthent, típico esquelético.

- 0 15 cm: Textura arcillosa, de color rojizo, blocosa masiva, permeabilidad moderadamente baja, contenido de materia orgánica 10,1% (alto), pH de 5.8 (moderadamente ácido), Aluminio 0,0275, Fósforo 28%.
 Distribución del tamaño de las partículas: Arena 32%, (8.42 % de Arena muy fina), Limo 26% y Arcilla 42%.
- 15 55 cm: Textura arcillosa, estructura masiva, permeabilidad baja, contenido de materia orgánica 9.96% (alto), pH de 4,9 (ácido), Aluminio trazas, y conductividad eléctrica de 0,107 (normal).
- 55 70 cm: Textura arcillosa, permeabilidad baja, contenido de materia orgánica 5.58 % (alto), pH de 4.4 (ácido), Aluminio 0,385, Fósforo 22 % (medio), conductividad eléctrica 0,081 (normal).

Ubicación : Al lado de la quebrada La Grande. Pasto Kikuyo.

Clasificación: Troporthent, típico esquelético, franco ácido.

- 0 30 cm: Textura arcillosa, coloración grisácea, estructura granular gruesa, permeabilidad moderada, contenido de materia orgánica 10,07% (alto), pH de 4.9 (ácido), Aluminio 1,705. Distribución del tamaño de las partículas: Arena 36%, (4.18 % de Arena muy fina), Limo 16% y Arcilla 48%.
- 30 50 cm: Textura arcillosa, coloración amarillosa, permeabilidad baja moderada, contenido de materia orgánica 11.12% (alto), pH de 4,0 (ácido), Fósforo trazas y conductividad hidráulica 0,034 (normal).
- 50 75 cm: Textura arcillosa, permeabilidad baja, contenido de materia orgánica 9.16 % (alto), pH de 4,3 (ácido), Aluminio 2,255, trazas de Fósforo y conductividad hidráulica 0,030 (normal).

50 - 125 cm: Textura arcillosa, permeabilidad baja, contenido de materia orgánica 5.20% (alto), pH de 4,3 (ácido), Aluminio 1,595%, trazas de Fósforo y conductividad de 0,027 (normal).

Ubicación : Marmolejos. - José Medina (cultivo).

Clasificación: Troporthent, típico esquelético, franco areilloso.

- 0 20 cm: Textura franco arcillosa arenoso, de color grisáceo, con estructura granular fina, permeabilidad moderada, contenido de materia orgánica 4.59% (alto), pII de 5.7 (ácido), Fósforo (ppm) = 187 (muy alto) y conductividad eléctrica 0,101 (normal). Distribución del tamaño de las partículas: Arena 56% (6.05 % Arena muy fina), Limo 15 % y Arcilla 29 %.
- 20 48 cm: Textura franco arcillo arenosa, permeabilidad moderada, contenido de materia orgánica 5,86% (alto), pH de 5,2 (ácido), Aluminio 0,055, Fósforo (ppm) de 113 (alto).
- + de 48 cm: Textura franco arcillo arenosa, permeabilidad baja, contenido de materia orgánica 4,46% (alta), pH de 5,2 (ácido), Aluminio de 0,11%, Fósforo 208 ppm (alta).

Ubicación : Portachuelo (Elio Lobo).

Clasificación: Thoporthent, típico esquelético, franco ácido.

0 - 34 cm: Textura franco arcillosa, estructura granular media, permeabilidad moderada, coloración café, materia orgánica 9,47% (alto), Fósforo (ppm) 192 (alto); pH 5,2 (ácido), conductividad eléctrica 0,119 (normal). Distribución del tamaño de las particulas: Arena 39,6% (10,95% es Arena muy fina), Limo 23,2% y Arcilla 37,2%.

- 34 57 cm : Textura arcillosa, permeabilidad baja moderada, materia orgánica 8,17% (alta), pH de 4,6 (ácido), Aluminio 0,77, Fósforo trazas, conductividad eléctrica 0,146 (normal).
- 57 -81 cm: Textura arcillosa, permeabilidad baja moderada, materia orgánica 5,02% (baja), pH 4,2 (ácido), Aluminio 1,1, Fósforo trazas. Conductividad eléctrica 0,168 (normal).
- 81 93 cm: Textura arcillosa, permeabilidad baja moderada, materia orgánica 4,12% (bajo), pH de 4,0 (ácido), Fósforo trazas, Alumínio 1,320, conductividad eléctrica 0,197 (normal).
- 93 115 cm: Textura franco arenosa, permeabilidad moderadamente rápida, materia orgánica 0,94% (baja), pH de 4,7 (ácido), Aluminio 0,55, Fósforo trazas, conductividad eléctrica 0,059 (normal).
- + de 115 cm: Textura franco arenosa; permeabilidad moderadamente rápida, materia orgánica 0,81% (baja), pH de 5,2 (ácido), Aluminio 0,33, Fósforo trazas, conductividad eléctrica 0,062 (normal).

Ubicación : El Rincón Abajo - (Albonio - área cultivo).

Clasificación: Hapludol típico esquelético franco fino.

0 - 13 cm: Textura franco arcillo arenoso, estructura granular fina, permeabilidad moderada, coloración negra, materia orgánica 8,39% (alto), Fósforo (ppm) 187 (muy alto), pH de 5,6 (ácido), conductividad eléctrica 0,108 (normal). Distribución del tamaño de las partículas: Arena 47,6% (8,67% es Arena muy fina), Limo 23,2% y Arcilla 29,2%.

13 - 33 cm: Textura franco arcillo arenosa, permeabilidad moderada, materia orgánica 7,42% (alto), pH de 6,3 (moderadamente ácido), Fósforo (ppm) 138 (alto), Aluminio trazas.

+ de 33 cm : Gran cantidad de piedras no se pudo tomar muestra.

Ubicación : Escala - Río Arriba (Herlinda - cultivo).

Clasificación: Homitropept óxido, arcilloso isomérico.

0 - 12 cm: Textura arcillo arenosa, estructura granular media, permeabilidad moderada, coloración amarillosa, materia orgánica 7,64% (alto), Fósforo (ppm) 187 (alto), plI de 4,8 (ácido), conductividad eléctrica 0,164 (normal). Distribución del tamaño de las partículas:

 Arena 47,6% (16,96% Arena muy fina), Limo 15,2% y Arcilla

12 - 27 cm: Textura arcillo arenosa, permeabilidad moderada, materia orgánica 4,27% (alto), pH de 4,7 (ácido), Fósforo (ppm) = 23 (medio).

+ de 27 cm: Textura arcillo arenosa, permeabilidad moderada baja, materia orgánica 3,95% (medio), pH de 4,6 (ácido), Fósforo en trazas, Aluminio 0,77, conductividad eléctrica 0,114 (normal).

Ubicación : La Vega, Río Arriba (Douglas - cultivo).

Clasificación: Homitropept óxido, arcillo isomérico.

0 - 35 cm: Textura franco arcillo arenosa, estructura granular fina, permeabilidad moderada, materia orgánica 3,28% (medio), Fósforo (ppm) 192 (muy alto), conductividad eléctrica 0,125 (normal).
 Distribución del tamaño de las partículas: Arena 5,56% (16,82% Arena muy fina), Limo 19,2% y Arcilla 25,2%.

- 35 72 cm: Textura franco arcillo arcnoso, permeabilidad moderada, materia orgánica 2,66% (medio), pH de 5,2 (ácido), Aluminio trazas, Fósforo (ppm) 123 (muy alto), conductividad eléctrica 0,063 (normal).
- 72 92 cm: Textura franco arcilloso arenosa, permeabilidad moderada, materia orgánica 2,81% (medio), pH 4,6 (ácido), Fósforo (ppm) 53 (alto), Aluminio 0,495, conductividad eléctrica 0,076 (normal).
- 92 127 cm: Textura franco arcillo arenosa, permeabilidad moderada baja, materia orgánica 1,77 (bajo), pH 4,4 (ácido), Fósforo trazas, Aluminio 0,66; conductividad eléctrica 0,090 (normal).

Ubicación : El Rincón (Ramón Alí - cultivo)

Clasificación: Hapludol típico esquelético, franco fino.

- 0 20 cm: Textura franco arcillo arenosa, estructura granular fina, permeabilidad moderada, color pardo oscuro (10 YR3/3), materia orgánica 6,51% (alto), pH 6,9 (ácido), Fósforo (ppm) 143 (muy alto), Aluminio trazas. Distribución del tamaño de las partículas: Arena 50% (9,11% Arena muy fina), Limo 19,6% y Arcilla 30,4%.
- 20 29 cm: Textura franco arcillo arenosa, permeabilidad moderada, materia orgánica 7,64% (alto), pH 6,4 (ácido), Aluminio trazas, Fósforo (ppm) 192 (muy alta), conductividad eléctrica 0,101 (normal).

Ubicación : Cerro frente a Avioneta (bosque).

Clasificación: Troporthent, típico esquelético, franco ácido.

0 - 7 cm: Textura franco arenosa, estructura granular muy fina, permeabilidad moderada rápida y color oscuro - negro, materia orgánica 26,3% (alto), pII 5,7 (ácido), Aluminio trazas. Distribución del tamaño de las partículas: Arena 72% (16,5% Arena muy fina), Limo 14% y Arcilla 14%.

+ de 7 cm : No se muestreo, afloramiento rocoso.

Ubicación: Lagunas - formación Sierra Nevada (Pasto)

Clasificación: Homotropept óxido, franco fino isomérico

- 0 22 cm: Textura franco arcillo arenosa, estructura granular fina, permeabilidad moderada, coloración amarillenta, materia orgánica 7,19% (alta) pH 5,0 (ácido), Aluminio 0,99. Distribución del tamaño de las partículas: Arena 60% (10,50% Arena muy fina), Limo 14% y Arcilla 26%.
- 22 42 cm: Textura arcillosa, permeabilidad moderada baja, coloración rojiza, materia orgánica 12,06% (alta), pH 4,1% (ácido), Aluminio 1,815, conductividad eléctrica 0,037 (normal).

Bdigital.ula.ve

Cuadro C-9. Propiedades físicas del suelo relacionada con la conductividad hidráulica saturada. Microcuenca Zarzales - La Grande.

Calicata	Ubicación	Horizonte	Profund.	Textura	Da	P Total	K d
1	Lagunas F. Sierra Nevada	1	0-22	FAa	1,212	54	14,55
	Lagunas F. Sierra Nevada	2	22 - 42	FAa	1,258	53	7,72
2	Arriba Qda, La Grando	1	0 - 15	٨	1,121	58	3,48
	Arriba Qda. La Grande	2	15 - 55	Α	1,140	57	2,72
	Arriba Qda La Grande	3	55 - 70	Α	1,173	56	2,48
3	Escala Río Amba	1	0 - 13	Aa	0,982	63	13,28
	Escala Río Amba	2	13 - 27	Aa	1,006	62	11,62
	Escala Río Arriba	3	> 27	Aa	1,080	59	7,46
4	Kikuyo en Moralejo	1	0 - 30	Α	1,039	60,8	15,71
	Kikuyo en Moralejo	2	30 - 50	A	1,039	60,8	15,06
	Kikuyo en Moralejo	3	50 - 75	Α	1,043	60,6	7,67
	Kikuyo en Moralejo	4	75 - 125	A	1,08	59,2	5,10
5	Ramal de los Tubos	491	0-14	Fa ■	1,1734	56	30,44
	Ramal de los Tubos	2	14 - 32	FAa	1,253	53	22,69
	Ramal de los Tubos	3	> 32	FAa	1,2741	51,9	47,23
6	Páramo	1	0 - 30	FAa	1,322	46,1	18,01
	Páramo	2	30 - 50	FAa	1,428	27,8	Perdida
	Páramo	3	> 50	FAa	1,913	51,0	Perdida
7	Rincón Las Playitas	1	0 - 3 8	FAa	1,298	44,5	70,86
	Rincón Las Playitas	2	MP	FAa	1,4717		Perdida
	Rincón Las Playitas	3	M.P.	FAa			Perdida

Da = Densidad aparente en g/cm^3 .

P Total - Porosidad total en m/m.

Kd - Conductividad hidráulica saturada en mm/h.

M.P. = Muy pedregoso.

Profun. = Profundidad del estrato en cm.

Cuadro C-10. Prueba - Conductividad hidráulica saturada en laboratorio

Disc	cador # 01.						
No	Fecha Mucstrco	Ubicación	Calicata	Horizonte	Profundidad	AT* (Prom.)	Kd (Prom.)
1	19/07/96	Páramo	6	1.3	0 - 30	17	19,15
2	19/07/96	Ramal de los Tubos	5	12	0 - 14	12	27,35
3	19/07/96	Rincón Las Playitas	7	1.1	0 - 3 8	6	58,76
4	19/07/96	Ramal de los Tubos	5	2.3	14 - 32	11	28,82
5	19/07/96	Ramal de los Tubos	5	1.2	0 - 14	11	30,63
6	19/07/96	Ramal de los Tubos	5	2.2	14 - 32	11	30,44
7	19/07/96	Páramo	6	1.2	0 - 30	14	23,06
8	19/07/96	Páramo	6	2.2	30 - 50	Perdida	
9	18/07/96	Escala Río Arriba	3	2.3	13 - 27	28	11,66
Dise	cador # 02.						
10	19/07/96	Rincón Las Playitas	7	1.3	0 - 38	5	72,66
11	19/07/96	Ramal de los Tubos	5	3 3	32 >	7	47,24
12	19/07/96	Rincón Las Playitas	7	1.2	0 - 38	4	81,16
13	19/07/96	Ramal de los Tubos	5	3.1	> 32	7	45,09
14	19/07/96	Ramal de los Tubos	5	3.2	> 32	7	49,36
15	19/07/96	Páramo	6	1.1	0 - 30	27	11,82
16	19/07/96	Ramal de los Tubos	5	1.3	0 - 14	10	33,34
17	17/07/96	Arriba Qda. La Grande	2	1.2	0 - 15	91	3,59
18	19/07/96	Páramo	6	3.1	> 50	5	72,66
Dise	cador # 03.		·				
19	18/07/96	Escala Río Arriba	3	1.1	0 - 13	18	17,79
20	19/07/96	Páramo	6	3.2	> 50	Perdida	
21	19/07/96	Páramo	6	3.3	> 5 0	Perdida	
22	17/07/96	Lag. Sierra Nevada	1	2.1	22 - 42	40	8,21
23	17/07/96	Lag. Sierra Nevada	1	1.1	0 - 22	21	15,51
24	17/07/96	Arriba Qda. La Grande	2	3.1	55 - 70	131	2,47
25	17 / 07/96	Lag. Sierra Nevada	1	2.3	22 - 42	40	8,20
26	19/07/96	Ramal de los Tubos	5	2 1	14 - 32	37	8,82
27	19 /07 / 96	Páramo	6	2.1	30 - 50	Perdida	1
28	18/07/96	Escala Río Arriba	3	2.2	13 - 27	3 0	11,06

continúa.../...

/	· ·						
Dise No	Feche Muestreo	Ubicación	Calicala	Horizonte	Profundidad	ΔT*	Kd (Prom.)
29	17/07/96	Lagunas F.S. Nevada	1	1.2	0 - 22	(Prom) 24	(Prom.) 13,53
30	1//0//96	Lagunas F.S. Nevada	1	1.3	0 22	23	14,61
31	17/07/96	Lagunas F.S. Nevada	1	22	22 - 42	48	6,74
32	18/07/96	Kikuyo Marmolejo	4	4.3	75 - 125	61	5,39
33	18/07/96	Kikuyo Marmolejo	4	2.2	30 - 50	21	15,22
34	18/07/96	Kikuyo Marmolejo	4	3.1	50 - 75	41	7,93
35	18/07/96	Kikuyo Marmolejo	4	1.1	0 - 30	22	15,12
36	17/07/96	Arriba Qda La Grande	2	3.2	55 - 70	130	2,19
37	18/07/96	Escala Río Arriba	3	1.2	0 - 13	25	13,14
	cador # 05	Lacala Nio Alliba	L	1,2	0-10	23	10,14
38	18/07/96	Kikuyo Marmolejo	4	4.1	75 - 125	80	4,11
39	18/07/96	Kikuyo Marmolejo	4	3.2	50 - 75	44	7,36
40	18/07/96	Kikuyo Marmolejo	4	4.2	75 - 125	56	5,79
41	18/07/96	Kikuyo Marmolejo	. 4	2.3	30 - 50	23	14,50
42	18/07/96	Kikuyo Marmolejo	4	2.1	30 - 50	21	15,48
43	18/07/96	Kikuyo Marmolejo	4	1.2	0 - 30	19	17,07
44	18/07/96	Kikuyo Marmolejo	4	3.3	50 - 75	41	7,71
45	18/07/96	Kikuyo Marmolejo	4	1.3	0 - 30	22	14,93
46	17/07/96	Arriba Qda. La Grande	2	3.3	55 - 70	129	2,49
	cador # 06.				00 10	12.5	2,40
47	18/07/96	Escala Río Arriba	3	3.3	27 >	36	9,17
48	18/07/96	Escala Río Arriba	3	3.1	> 27	41	7,93
49	18/07/96	Escala Río Arriba	3	2.1	13 - 27	27	12,15
50	18/07/96	Escala Río Arriba	3	1.3	0 - 13	37	8,90
51	17/07/96	Arriba Qda. La Grande	2	2.3	15 - 55	118	2,75
52	17/07/96	Arriba Qda. La Grande	2	2.2	15 - 55	120	2,69
53	17/07/96	Arriba Qda. La Grande	2	1.3	0 - 15	94	3,45
54	17/07/96	Amba Qda. La Grande	2	2.1	15 - 55	118	2,72
55	17/07/96	Escala Río Arriba	3	3.2	> 27	61	5,29
56	17/07/96	Arriba Qda. La Grande	2	1.1	0 - 15	94	3,41

ΔT = Intervalo de tiempo entre el inicio y final de la prueba (seg.).
 Kd = conductividad hidráulica saturada (mm/h).

II

Cuadro C-12. Datos de contenido de agua en el suelo

Calicata	Ubicación	Horizonte	Сар. de Campo 33 Кря	Punto de Marchitez 1500 Kpa	Cap. Agua Disponible
1	Laguna Sierra Nevada	1	22,75	13,64	9,11
	Laguna Sierra Nevada	2	30,43	21,50	8,93
7	Arriba Qda La Grande	1	39,50	21,19	18,31
	Arriba Qda La Grande	2	39,41	20,00	19,41
	Arriba Qda. La Grande	3	37,50	18,64	18,86
3	Escala Río Arriba	1	33,79	16,51	17,28
	Escala Rio Arriba.	2	35,00	20,81	14,19
	Escala Río Arriba.	3	24,80	16,67	8,13
4	Kikuyo en Marmolejo	1	42,36	20,86	21,50
	Kikuyo en Marmolejo	2	37,85	21,47	16,38
	Kikuyo en Marmolejo	3	34,48	18,45	16,03
	Kikuyo en Marmolejo	4	34,68	20,93	13,75
5	Ramal de los Tubos	1	30,00	22,80	7,20
	Ramal de los Tubos	2	31,85	. 22,60	9,25
r	Ramal de los Tubos	3	16,17	10,16	6,01
6	Páramo	1	33,19	22,13	11,06
	Páramo	2	17,95	9,20	8,75
	Páramo	3	20,87	9,35	11,52
7	Rincón Las Playitas	1	27,64	15,96	11,68
	Rincón Las Playitas	2			
	Rincón Las Playitas	3			
8	Elio Lobo	1	45,32	27,51	17,81
	Elio Lobo	2	44,50	28,76	15,74
	Elio Lobo	3	33,51	21,81	11,64
	Elio Lobo	4	31,70	20,09	11,61
	Elio Lobo	5	42,69	22,17	20,52
	Elio Lobo	6	18,97	8,33	10,64
9	Ramón Alí	1	32,99	18,28	14,71
	Ramón Alí	2	33,67	15,74	17,93
	Ramón Alí	3			
10	José Medina	1	23,08	14,00	9,08
	José Medina	2	25,50	14,66	10,84
	José Medina	3	23,50	15,21	8,29
11	Alborio	1	32,27	16,17	16,10
	Alborio	2	30,20	15,87	14,33

Conductividad Hidráulica Saturada (Kd):

lis otra de las variables de gran importancia y que debe ser estimada con bastante cuidado, para evitar errores en las estimaciones de agua y sedimentos realizados por el modelo.

En un suclo saturado, la velocidad con que se mueve el agua es directamente proporcional a la fuerza impulsora (Michelena, 1984).

Pla Sentis (1977), citado por Michelena (1984), define la conductividad hidráulica, como la velocidad con que el agua pasa a través de la masa del suelo, por unidad de gradiente de carga hidráulica.

La determinación de la conductividad hidráulica, sea en laboratorio (utilizando cilindros Uplahn), con muestras no disturbas ó en el campo, a través de los tensiómetros, resultan muy costosos, por lo que se limita la obtención de datós del mismo.

El valor de la conductividad hidráulica en condiciones saturadas, depende de la porosidad de los suelos.

Franzmeier (1991), propone un modelo utilizado por Ahuja et al (1989), por el cual, la conductividad hidráulica saturada, puede ser estimada por la porosidad efectiva (©e). La porosidad efectiva no es más que, la diferencia entre la porosidad total y el contenido de agua en el suelo a 33 Kpa. de succión.

Debido a que los suelos de la microcuenca Zarzales - La Grande, se les hizo estudios de propiedades físicas que incluyen: porosidad total, densidad aparente y contenido de agua en el suelo, se procedió a realizar la experiencia de Franzmeier (1991).

Así, al conocer la porosidad efectiva del suelo, en especial de las áreas que presenten características semejantes al área de estudio, se puede obtener valores de conductividad hidráulica saturada, por medio de la fórmula:

 $Kd = 0.0365 + 6.84 \times 10^{-1} + Øc$

donde:

Kd Conductividad hidráulica saturada, en mm/ha.

De Porosidad efectiva (m/m).

Esta ecuación es el resultado del análisis de regresión, realizado en un grupo de muestras de suelo, con propiedades físicas particulares, obtenidas de los diferentes tipos de suelo encontrados en la microcuenca (ver Figura de regresión).

Los análisis, indican que existe una alta correlación entre la porosidad efectiva y la conductividad hidráulica, con un $R^2 = 0.95$ (ver Figura 1).

La conductividad hidráulica, además de su cálculo a través de la porosidad efectiva, puede ser estimada también, por la textura de los suelos.

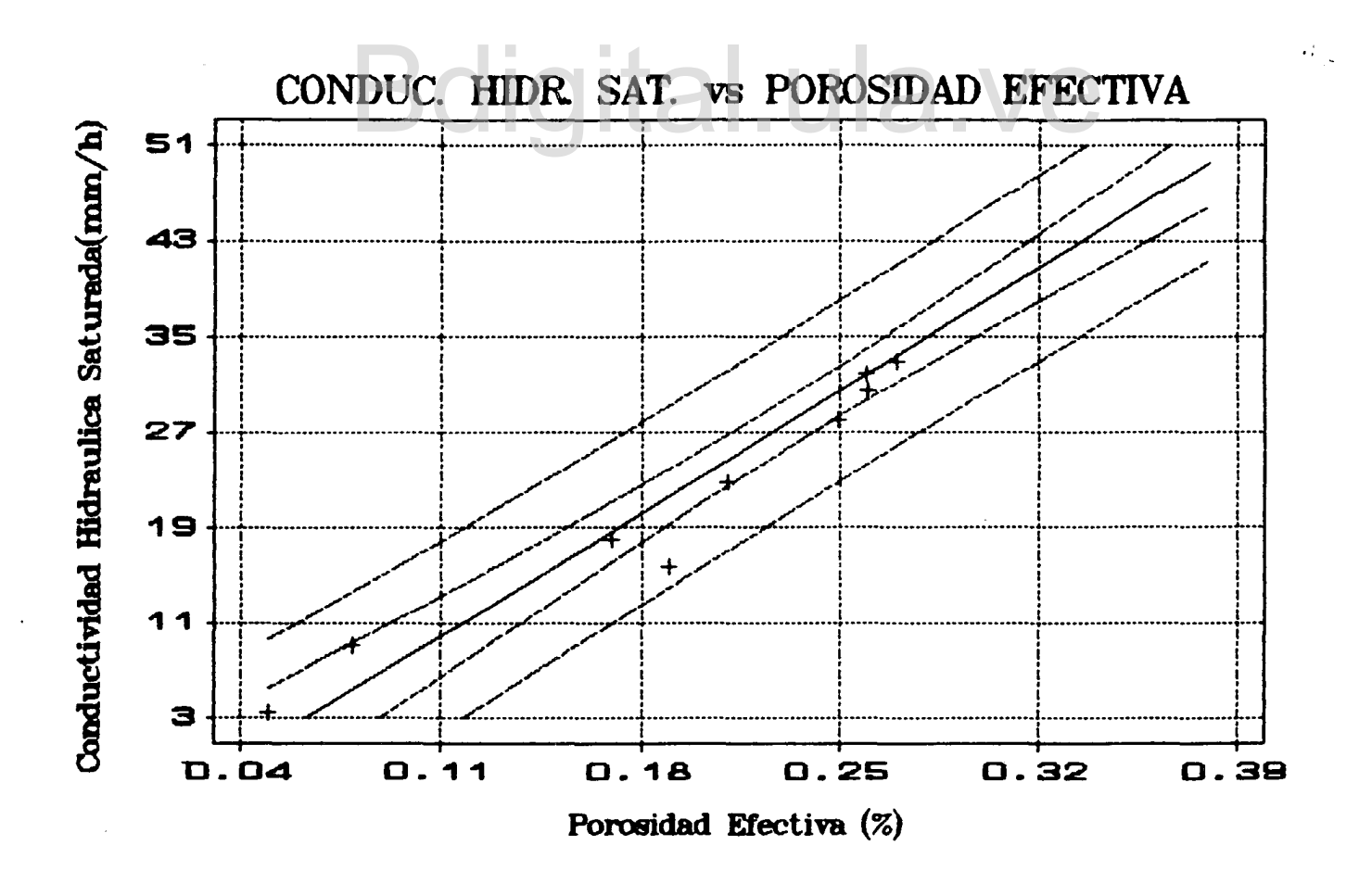
Se realizó un estudio de conductividad hidráulica saturada, en el laboratorio de suelos de silvicultura, para 63 muestras de suelo y que presentaban diferentes texturas, encontradas en el área objeto de investigación.

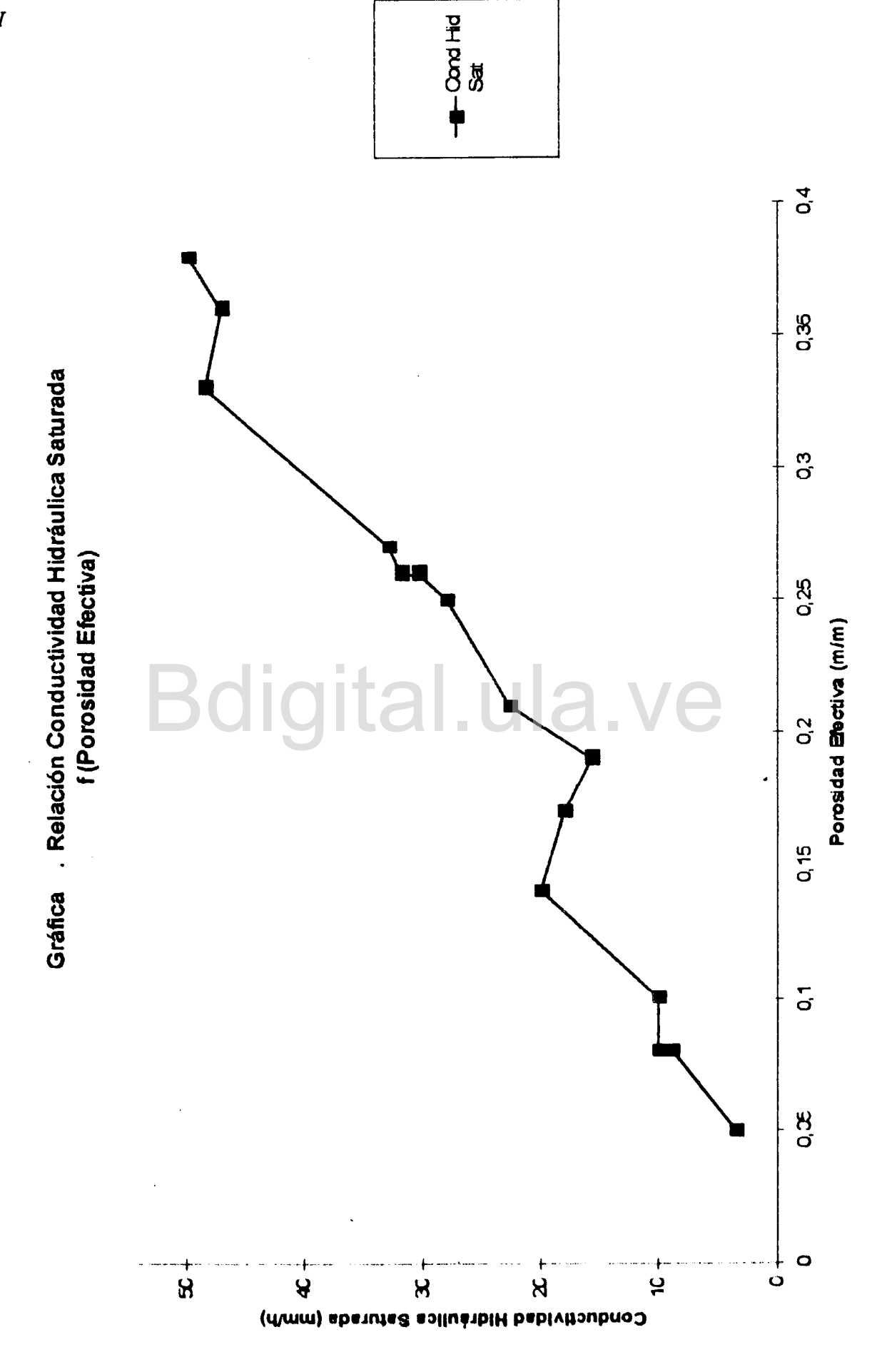
De los resultados obtenidos, y de la interpretación de otros trabajos de investigación, que relacionan la conductividad hidráulica con la textura, en regiones andinas, fue creado el Cuadro C-15a.

Para obtener los valores de Conductividad Hidráulica Saturada se procedió colocando 9 ó 10 muestras de suelo sin disturbar (en cilindros Upland), en campanas (disecadores) de vidrio, con la precaución de que estuvieran lo suficientemente separadas sobre el plato poroso, de tal manera que los trabajos posteriores con el permeámetro se realizaran sin dificultad.

WEIGHTED LEAST SQUARES LINEAR REGRESSION OF B

KINITES EDICIOR	COEFF 1		STD ERROR	STUDENT'S	,	ŧ.
NSTANT		7090 5.993	2.45319 9.67508	-2.56 15.19	0.0)286)0000
SOUAL D JUSTED R	SQUARED	0,9585 0,9543		AN SOUARE DEVIATION	(MSL)	10.7236 3.25939
URCE	DF.	88	MS	F	p :	
GRESSION SIDUAL TAL	1 10 11	2452.21 106.236 2558.45		1 230.83	0.0000	
SES INCLU	JDED 12	MISSING	CASES 3			





C.C.Reconocimiento

Figura

Cuadro C-15. Propiedades físicas para los suelos de la microcuenca Zarzales - La Grande.

Número de Muestra	Porosidad Total	Contenido de Agua	Porosidad Efectiva	Conductividad Hidráulica Saturada (mm / hr).
1	0,58	0,53	0.05	3,5
2	0,57	0,49	0,08	9,0
3	0,48	0,40	0,08	10,0
4	0,47	0,37	0,10	10,0
5	0,40	0,26	0,14	20,0
6	0,50	0,33	0,17	18,0
7	0,61	0,42	0,9	15,7
8	0,53	0,32	0,21	22,7
9	0,54	0,29	0,25	28,0
10	0,56	0,30	0,26	30,4
11	0,55	0,29	0,26	31,8
12	0,51	0,24	0,27	33,0
13	0,54	0,21	0,33	48,5
14	0,52	0,16	0,36	47,2
15	0,59	0,21	0,38	50,0

Cuadro C-15a. Obtención de valores de conductividad hidráulica saturada, relacionadas con la textura de los suelos; encontradas en regiones andinas venezolanas.

Textura	Conductividad Hidráulica Saturada (mm/hr)	Valor medio (mm/hr)
Arcillosa	2,50 - 15,50	9
Arcillo arenosa	7,00 - 15,0	11
Franco arcillosa	22,0 - 40,0	31
Franco arcillo arenosa	16,0 - 50,0	33
Franco arenosa	25,0 - 75,0	50
Arena francosa	44,0 - 80,0	62

Al agua, utilizada para saturar las muestras, se le extrae previamente el aire, dejándola en reposo por 24 hrs. Posteriormente, se hace entrar el agua a los disecadores con las muestras, hasta que el nivel del líquido alcance la parte inferior de los cilindros, de manera que los cilindros se puedan saturar por ascenso capilar por un espacio de 24 hrs. 2 horas antes de la medición de la conductividad hidráulica, se hace subir el nivel del agua hasta el borde de los cilindros.

Para la determinación de la conductividad hidráulica saturada, se utilizó un permeámetro de campana de carga variable, de origen Alemán. En el momento de la lectura, se conecta el sistema de vacío a la campana, de tal forma que la membrana de goma se adhiera a las paredes del cilindro, permitiendo así colocar la campana por sobre la muestra. Para extracr la campana del cilindro se procede de igual forma. Luego se conecta el sistema de presión, para distender la membrana dentro de la campana y sujetar suficientemente la muestra dentro de ella.

Así, se midieron los niveles de agua en el capilar de vidrio antes y después de cada determinación (L₁ y L₂ respectivamente), con las cuales se determinaron las correspondientes cargas hidráulicas H₁ y H₂, tomando el nivel del borde superior del plato poroso como plano de referencia. Además, se determinó con un cronómetro, el tiempo transcurrido entre el inicio y el final de la prueba (At), esto es, el tiempo necesario para que el nivel inicial del agua en el capilar (L₁) descienda hasta el nivel inferior final (L₂).

Factor Erosionabilidad del Suelo (K).

El factor "K", evalua la vulnerabilidad del suelo a la acción erosiva del agua, por lo que se debe tener suficiente cuidado al obtener éste valor para aplicarlo en el modelo SWRRB-WQ, ya que es muy sensible en cuanto a la producción de sedimentos.

A través del nomograma desarrollado por Wischmeier et al (1971), se puede estimar el valor del factor "K". Sin embargo requiere de numerosos análisis de suelo para obtener las siguientes propiedades para su uso, como son: % de Limo + Arena muy fina (0,002 a 0,6 mm), % de Arena (0,1 a 2,0 mm), % de materia orgánica, estructura del suelo y permeabilidad. En condiciones normales, estos estudios no están generalizados para Los Andes venezolanos, por lo que se dificulta su obtención debido a lo costoso de los análisis de suelo.

En la actualidad existen diferentes tablas desarrolladas para obtener valores de "K" relacionado con la textura del suelo y M.O. %. Entre algunos autores que han establecido este tipo de tablas tenemos: Koolhaas (1977) citado por Ramirez (1993), y Kirkby (1980) citado por Jégat (1991).

Utilizar estas tablas en nuestras condiciones naturales, puede llevarnos a cometer errores debido a que fueron propuestas para condiciones muy diferentes, principalmente en cuanto a propiedades de los suelos.

Analizando las propiedades de 42 muestras de suelo, representativos de las diferentes unidades de suelo y a diferentes profundidades, se aplicó el nomograma para obtener el factor "K" de diferentes texturas encontradas, resultando el cuadro C-18. Se recomienda su uso para las regiones andinas venezolanas, cuando se vaya a aplicar el modelo SWRRB-WQ.

Cuadro C-18. Factores de crosionabilidad del suelo asociados a la textura y al contenido de materia orgánica, expresados en unidades inglesas.

Textura del Suelo	Valores del Factor "K"	Valores del Factor "K" de acuerdo al contenido de Materia Orgánica							
encontrada	1 %	2%	4 %						
Franco Arenoso	0,14 - 0,16	0,11 - 0,13	0,05 - 0,07						
Arcillo Arenoso	0,16 - 0,18	0,12 - 0,14	0,07 - 0,09						
Franco Arcilloso	0,19 - 0,21	0,14 - 0,16	0,10 - 0,12						
Franco Arcillo Arenoso	0,17 - 0,19	0,15 - 0,17	0,11 - 0,13						
Arcilloso	0,22 - 0,24	0,18 - 0,20	0,12 - 0,14						

De no contarse con la textura aproximada y la materia orgánica, una primera aproximación del valor "K", lo podemos obtener del cuadro C-18a. citado por Mintegui et al (1993).

Cuadro C-18a. Valores del Factor de erosionabilidad del suelo "K". Primera aproximación.

Tipo Litofacies	Valor de "K"
Rocas correspondientes al estrato cristalino (granito, gneis, etc.), rocas basílicas.	0,05 - 0,15
 Rocas silíceas compuestas (rocas metamórficas, areníscas duras, cuarcitas, etc.). 	0,10 - 0,25
 Rocas sedimentarias bién consolidadas (calizas duras, dolomías, etc.). 	0,20 - 0,40
 Formaciones blandas (margas, yesos, áreas de launas y láguinas, flysh, calizas poco consolidadas, areníscas fácil / disgregables, etc.). 	0,40 - 0,60
- Cuaternario (depósitos recientes)	0,40 - 1,00

Fuente: Mintegui (1990).

Cuadro C-19. Propiedades físico-hidráulicas del suelo, para diferentes condiciones.

Prop. Hidrológ.	1	DATOS REALES DE CAMPO													
del Suela		Sa 1 Sa 2 Sa 3				Sa 4			Sa 5						
Estratos	1	2	3	1	2	3	1	2	3	1	2	3	1	2	3
Profundidad base del Horizonte (m)	10	500	700	10	360	700	10	500	700	10	225	420	10	510	700
Densidad aparente (gr / cm³)	1,32	1,42	1,45	1,12	1,17	1,19	1,12	1,14	1,17	1,29	1,31	2,00	1,12	1,14	1,17
Capacidad de agua disponible	0,11	0,09	0,12	0,26	0,34	0,80	0,18	0,19	0,19	0,16	0,16	0,05	0,18	0,19	0,19
Conduc. hidráulica saturada (mm / h)	18,01	18,01	18,01	14,55	3,78	2,50	3,5	2,7	2,5	26	26	1	3,5	2,7	2,5
					ES	CENA	RIO	1							
Profundidad base del Horizonte (m)	10	50	1000	10	50	1000	10	50	1000	10	50	1000	10	50	1000
Densidad aparente (gr / cm³)	1,32	1,32	1,32	1,32	1,12	1,12	1,12	1,12	1,12	1,29	1,29	1,29	1,12	1,12	1,12
Capacidad de agua disponible	0,11	0,11	0,11	0,26	0,26	0,26	0,18	0,18	0,18	0,16	0,16	0,16	0,18	0,18	0,18
Conduc, hidráulica saturada (mm / h)	18,01	18,01	18,01	14,55	14,55	14,55	3,5	3,5	3,5	26	26	26	3,5	3,5	3,5
					ESC	CENA	RIO	2							
Profundidad base del Horizonte (m)	10	500	700	10	500	700	10	500	700	10	500	70 0	10	500	700
Densidad aparente (gr / cm³)	1,32	1,42	1,45	1,32	1,42	1, 4 5	1,32	1,42	1,45	1,32	1,42	1,45	1,32	1,42	1,45
Capacidad de agua disponible	0,11	0,09	0,12	0,11	0,09	0,12	0,11	0,09	0,12	0,11	0,09	0,12	0,11	0,09	0,12
Conduc. hidráulica saturada (mm / h)	18,01	18,01	18,01	18,01	18,01	18,01	18,01	18,01	18,01	18,01	18,01	18,01	18,01	18,01	18,01

Cuadro C-20. Relación de las propiedades hidrológicas entre diferentes estratos de un perfil en la producción de agua y sedimentos.

Producción de Sedimentos (T/ha)	Escenario 1	Escenario 2	Datos Reales
Salida de la subcuenca	31,44	18,19	31,10
Salida de la cuenca	33,65	21,36	29,80
Producción de Agua (mm)			
Flujo superficial	31,01	35,23	24,18
Flujo subsuperficial	72,56	110,73	133,60
Total producción	103	145	157

Escenario 1: Utilizando las propiedades hidrológicas del primer estrato del suelo, para los demás estratos del perfil.

Escenario 2: Utilización de las propiedades hidrológicas de los diferentes estratos de un perfil, para los demás perfiles de las subáreas que pertenezcan a una misma unidad de suelo.

Datos Reales: Utilizando las propiedades hidrológicas de cada perfil de suelo, para cada subárea homogénea.

Estas tipificaciones fueron realizadas específicamente para el área de la quebrada La Grande. Los resultados muestran que no hay diferencia significativa entre las producciones de agua de cada escenario. Cabe destacar, que el área de la quebrada La Grande, donde se realizó el estudio, tiene solamente 5,15 Km².

ANEXO D: DATOS CLIMATOLÓGICOS.

DATOS DE PRECIPITACION DIARIA EN mm. ESTACION: BAILADORES, EDO. MERIDA.

AÑO: 1987

DIA \	- L 147 L	I EED	MAR	ABR	MAY	JUN	11 11	AGO	SFP	ОСТ	NOV	DIC
4	FNF	FFR	MAR	ADIX	MAT	JON	1301	ACK	(31)			
2		ļ		 	-	} -		-		2,2		5
		ļ		ļ			 	ļ	70	14,8	1	2.7
3	ļ			ļ				 	7,8			2,7
4				L					0,5	 		0,9
5								<u> </u>	<u> </u>	1	 	
6							<u> </u>	ļ		<u> </u>	ļ	ļ
7								 	11,4	6		
8										 		
9							<u> </u>					
10										1,5		
11										1		
12										1,5		
13										1		
14									7,8	30,8		
15				U					1	Ď		
16		7							1			
17										2		
18										7,5	15	
19										17,9		
20										3,3		
21											1,8	
22										2,4	0,6	
23									6,6			
24										1,2		
25											17,5	
26										2,3	29,6	
27									14,4		1,6	
28									, , ,			
29									0,7		10	
30									3,2		4	
31									-,-	8,8	-	
Suma:	0	0	0	0	0	0	0	0	54,4			8,6

DATOS DE PRECIPITACION DIARIA EN mm ESTACION: BAILADORES, EDO. MERIDA.

AÑO: 1988

DIA 1 ENE FEB MAR ABR MAY JUN JUL AGO SEP OCT NOV DIC												
DIA \	ENE	LEB	MAR	ABR	MAY	JUN	JUL	AGO	SEP	OCT	NOV	DIC
1			0,4		0,5	2,5		8,5		10		L
2			8,4		1,9	1,4		1,7	3,8	2,4	1,5	
3			4,9		2,4	7	6,7	2,5	3,6	15	3	
4		5			0,8	10,9	1,6			2,3	6,5	1,3
5		21,5				24,6		1,2				3,4
6						0,9			13		7,5	4,3
7							3,7		21,5			
8		1,2	0,8				1,5		2			3,7
9							7,8	2,4	1	1,2		17,4
10						1,7	2	2,4	6,8			8,4
11		10				0,5	10,4		8,8			
12							13		0		1,6	
13		0,4	0,9				1		1,8		2	
14			الحتب			3,5			\ /	5		
15						4,8		3,3	W	15,5	3,4	
16			1			5,3		10,1		0,5	2	
17			0,5			3,8	1,4	14,4		0,4	2	
18						5		8,2			9,8	
19					7,8				12,8	32,5	5,6	
20						15	-	18,3		10,3	8,4	
21						5,3	3	8,5	4,8	13	1,4	
22							0,8	18,6		9,8	0,5	
23							4,8		8,2		3	
24		0,7			1	10		1,4	10,3			
25		2				4,6			0,6		2	5,4
26		1,4					18,2			4,2		
27						0,9	1,7			1,9		
28		0,7							2,8	20,9		
29		0,5			2,4			3				
30			1,2		8,1	4,7		2	4,7			0,8
31							1	26,7				3,6
Suma:	0	43,4	18,1	0	24,9	118,8	88,9	133,2	128,5	144,9	70	48,3

DATOS DE PRECIPITACION DIARIA EN mm ESTACION. BAILADORES, EDO. MERIDA.

	AÑO. 1989													
DIA \	ENE	ГĽВ	MAR	ABR	MAY	JUN	JUL	AGO	SEP	OCT	NOV	DIC		
1							2,4	14		0,4	0,5	2,8		
2				1		8,4	7,5					7,5		
3					23,6	0,8	1	6			26,1	7,1		
4		4,9									13,6			
5										18,2	5	1,7		
6						0,7	7,5	8	14		1,5	5,5		
7			8,3			3,1	6,4	2,4	0,7		4,1			
8		1,2	1,5			2,8	5,5				0,6			
9					6,7					0,5				
10					2,5			1,6	3	35,3	1			
11			13,1		20	2,9				1	0,3			
12			28							3,3	16,1			
13			14,2	7,4	4,1	1,4	0,7		0,9		2,4			
14		1,6	8,3		1	0,7	2,8			9,2	3,7			
15			1,5						VA					
16		2	1,2				1,6	0,3						
17			0,7				2							
18							0,9							
19			0,5							6,7				
20		4	1,8			12	9,4		9,2					
21		1,6	5,4				0,6		1,4					
22			4,9				9							
23								6,5						
24											1,5			
2 5			0,8			5	2	0,3						
26			7,2		7,4	1,4	4,8	0,5	25,1					
27		3,1					0,7							
28									0,5	11	2			
29			3					3,2	2,7					
30			0,7		24,4		2,4		1			0,5		
31							1	12		1,6]		
Suma:	0	16,4	101,1	8,4	89,7	39,2	68,2	54,8	58,5	87,2	78,4	25,1		

DATOS DE PRECIPITACION DIARIA EN mm ESTACION: BAILADORES, EDO. MERIDA.

AÑO: 1990

DIA	FAIF	רבה	BAAD	ADD). 1880 HIM		ACO	CED	007	NOV	I Dic
DIA \	LNL	ГЕВ	MAR	ABR		JUN	JUL	AGO		 .	NOV	
1				ļ	10,8		1,6	1,2			1,5	
2					39			ļ	10,4	<u> </u>	<u> </u>	12,6
3					17,8			0,7	<u> </u>	<u> </u>	<u> </u>	4,4
4					28,7					 	<u> </u>	2
5		1	0,9		15,8						1,9	
6	5,8	1,9	0,5	3,8						L		27
7	2	3,4			2,5			1,5	0,8			1,2
8		9,6										
9		27,9			0,9	0,6	0,6	1,5				4,8
10			3,3			1,1			4,2			1
11			1,4					9,2			2,8	2,8
12					1,2	7,4	4,2					
13	1,1	0,5	0,5		0,8			1,3	1,2			1,8
14					1,3				2,7			
15						U	7,4	14,6	\bigvee			
16			27		3,5	6,5		1,8			1,4	
17	0,8		2		7,3	1,7						
18			0,5		3,4		2,4				2,1	0,5
19				23,2							13,4	
20			0,8					2,6				
21					1,6	1,2	0,6	2				
22				9	6				7,2		3,2	
23	6,3		1,4	2,4			11,6		7,4			
24			9,6	9,2			0,8		0,9		1,2	
25			6,2	1,2							1	
26			6,3	12,2		1,6	3,1					
27			2,2		1,2			4,6				
28		5	2,8			4,7	1,2	4,6				
29				16,9	0,9	2,6		6,5				2,2
30				1,8	0,7			9,4				· ·
31			0,3	\dashv			1,5	2,5				10
Suma.	16	49,3	65,7	79,7	150,3	32,3	35	64	39,3	0	28,5	107,3

DATOS DE PRECIPITACION DIARIA EN mm ESTACION BAILADORES, EDO. MERIDA AÑO. 1991

DIA	ENE	ГЕВ	MAR	ABR	MAY	JUN	JUL	AGO	SEP	OCT	NOV	DIC
1							2	1,5	1,4			
2	4,2					0,4		1,8		4,2		1
3												6,2
4		0,6			6,8		3,3	1,8			9,2	
5								1			6	
6		0,6	6,8			4,6		1,6		1,5		1,2
7			1,2					2,5	8,4			
8			19,5				1,4		2,2	22,5		
9							1,6			5,2	6,8	0,7
10			13				2,8	10	4			
11	3,8			11,6	3,5	4	2,2					
12			1,5	31,2	10,6		2,3				1,3	
13			13,7	1,7			1,3				1,3	
14				3,3				3,8			6,3	6
15				24			1,6	1,2	V_{\perp}	9,1	1,4	
16		7		0,5	4,3	1,4	1,4	1,4	5,2	4,5		1,3
17				0,5				7	16		1	
18		1,5				2,1	3,2			6	19	5,8
19			0,5						1		1	10
20		2					0,6					
21				3,3					9,8		2,7	5,3
22					0,5		2,5		1,8		14	1
23					24	5,9	3,6			1,7	3,7	
24						3,2		4,4	3,2		11,2	
25		1,3				1,5	3,6	2,4	1,8			
26						0,7	11		9,6		3,8	
27									2,6			
28			6					0,6		1	2,4	
29			1			1		1,4				
30						2						
31					13,5		9			2,6		
Suma:	8	6	63,2	76,1	63,2	26,8	53,4	42,4	67	58,3	91,1	38,5

DATOS DE PRECIPITACION DIARIA EN mm ESTACION: BAILADORES, EDO. MERIDA.

AÑO: 1992

DIA \	LNE	reb	MAR	ADR		JUN	JUL	AGO	SEP	ОСТ	NOV	DIC
1								3,7	3			5,4
2			1,2					4				
3							5,3	1				4,7
4						1	2,1					
5											0,5	
6	0,6						18,4		8,2	21,5		
7					2,8		1,6			5,8	22	3,6
8							8,1		1			
9						0,8	5,2					
10							2,4		3,6			5,8
11								6				
12								1,8				
13					2,2	4,3	22,3				6,4	
14		2,5						0,6			6,4	0,7
15					1,8			4,2	1		1,2	
16			<i>J</i> -			0,5	5,3	0,5	5,7	2,4	4,2	
17											8,1	
18								1,5			1,3	4,5
19				1,8	1,8						0,8	
2 0						4,2						
21				3,5		11,3						
22		0,5		8,9					4			
23	0,4			1			7,2	13	6,2		6,4	
24				2,5				7	0,8		22,4	1
25						5,1			3,1			
26	1,8						2		2,8			
27							1,2			8,4	0,7	
28				5,6			6,5		6,6			
29				0,5	18,2		1,2		0,6		7,1	
30					0,5		6,8				2,4	
31							2,3					
Suma.	2,8	3	1,2	23,8	27,3	27,2	97,9	43,3	46,6	38,1	89,9	25,2

DATOS DE PRECIPITACION DIARIA EN mm ESTACION: BAILADORES, EDO. MERIDA. AÑO. 1993

DIA \	ENE	l CB	MAR	ABR	MAY	JUN	JUL	AGO	SEP	OCT	NOV	DIC
9							6,2					6,4
2					2,4		5					1,7
3			0,6	1	25		0,5		1		2,6	
4		2,8						1			11	
5		1			4	L	7,5					
6				0,8			1,4	1,5				
7	1,6				1,9	1						
8	0,8			L				1	1,5			
9	3,4			1,7								
10					9	1			2,2			
11						24	9,9	4	5,5		7	
12	22				0,8	0,8		6,1	8,5		7,2	
13	5,4					19		3	10			
14				8,3		1,8					6,7	
15				4,1	8,6	1			3,7		1,2	
16				0,5				2,9			8	
17				0,5		4,6		2,2		2,8		
18				10	7		3					
19				13,1	0,5		3				1,7	
20		1,6		0,5			2,6	4			28,3	
21			8,1	1,3			1,7				18,7	
22			12,4				1,4		_		26	
23			3,4	2,1		0,8					1,4	
24				4,7		4,1	0,6	4			2	
25			5	1,1	0,8		1,6				3,4	
26					4,2	3,1		1,5				
2 7			2,5		34	1		0,8				
28				17,5					2			
29				13	4,5		3,3		1,8		5,5	
30			1,1		2	0,8	I		5		3,8	
31			7				4	-				
Suma:	33,2	5,4	40,1	80,2	104,7	63	51,7	32	41,2	2,8	134,5	8,1

DATOS DE PRECIPITACION DIARIA EN mm ESTACION: BAILADORES, EDO. MERIDA. AÑO: 1994

DIA	ENE	ΓĽΒ	MAR	ABR	MAY	JUN		AGO	SEP	ОСТ	NOV	DIC
1				11	21,5				9			
2		5,2		7,3					2,2			
3		1,7		5,4				2,4				
4		3,5		16,3			6,2					
5		2	5,7	7,5			7,2					
6		3,4	1,2		1,8		7,1	2				
7					10		2	3		1	1	
8	1			7,2	4		7					
9							1	3		2,6		
10				14,5			4	2		10,4		
11	2				0,8	1,5	1			21		
12			1,7							11,5		
13			2,5		3,2					22,5		
14			1,2	2,5	1,6	6,1			7	11,5		
15				26				7,2		2,8		
16						1,5	1,7					
17					1							
18			1,7		10,6		1,7		1,5	2,5		
19			2	2,2			2,2		4	2		
2 0					6,9	2,5	1,2			13,5		
21		2,8								14		
22		24,2				8		8,4		2,3		
23		17,5	1							6,8		
24		2	24,8							17,8		
25		1,8		2				2,2		7	1	
2 6		1,5		6,8	7	4,6					25,2	
27		10,5			3,6						3	
28				2			4,3					
29	2,7		32,5	8						1,5	9	
30							13,7					
31			1	-								
Suma:	5,7	76,1	75,3	118,7	72	24,2	60,3	30,2	16,7	150,7	47,2	0

DATOS DE PRECIPITACION DIARIA EN mm ESTACION. BAILADORES, EDO. MERIDA. AÑO: 1995

DIA \	ENL	ΓĽΒ	MAR	ABR		JUN		AGO	SEP	ОСТ	NOV	DIC
1								3		3,2		
2								2				
3												
4							6,4	22,3				
5								12,4	_			
6							1			4		
7												
8						1,4				5		
9										6		
10						·	3,8			5		
11										12		
12								33,9		5,5		
13												
14			1,5						12,2			
15				6				4,8				
16		IJ		1	11							
17				18	13,4		1,2	4,4				
18					3							
19								1,2		11,4		
20				2								
21			15	6			3,6			9		
22		6	31,9	3,5						1		
23		20		30,9						3		
24		2	4,2			3,2						
25												
26			1	0,8				15,1		1,4		
27							2,5	21				
28							5			2		
29							11		13			
3 0]					19			3		
31	_]										
Suma:	0	28	53,6	68,2	27,4	4,6	53,5	120,1	25,2	71,5	0	0

Cuadro D-10. I luvias extremas para la estación Tovar.

Λħοs	ENE	FFB	MAR	ABR	MAY	JUN	JUL	AGO	SEP	OC1	NOV	DIC	Max. Med.
				ntensi	dad Ma	xime	en 30	minuto	S				
1968	-	-	-	-	-	·	·			-	47	22	47 0
1969	15	5	2	19	16	33	18	16	14	22	44	-	33.0
1970	12	12	10	55	30	41	34	12	24	22	24	8	41.0
1971	27	10	18	44	16	16	5	36	59	3 9	15	8	44.0
1972	13	6	14	35	33	15	18	2 5	27	37	9	2 5	27 0
1973	-	2	13	8	60	23	41	2 0	19	22	-	23	45.0
1974	13	-	-	16	34	12	3 6	26	21	29	47	11	35.0
1975	7	6	4	33	50	22	18	2 0	24	21	34	•	37.0
1976	-	-	-	15	11	-	3	19	14	40	18	7	3 0 0
1977	18	-	-	6	22	16	-	-	24	24	9	5	18.0
1990	9.	8	22	8	5	6	20	7	31	21	11	13	31.0
1991	2	4	11	14	3 9	26	13	18	18	5	11	-	39.0
1992	1	1	3	8	10	14	8	9	17	12	5	11	17.0
1993	7	2	14	20	15	6	12_	20	26	14	9	9	26 0
				Inten	sidad N	fáxim	en 6	horas					6 hr.
1968	•	-	-	-	-	-	-	-	-	-	84	27	84
1969	29	9	2	29	20	27	3 5	20	28	45	50	-	50
1970	13	16	12	61	33	47	36	19	57	3 2	28	15	61
1971	35	20	27	65	16	20	8	40	42	77	15	13	77
1972	25	17	22	59	54	18	28	3 3	42	39	16	26	59
1973	-	4	14	16	72	26	67	23	29	38	48	3 6	72
1974	18	17	19	-	35	25	37	32	21	41	68	13	68
1975	8	28	38	16	33	44	4	3 8	19	77	1.8	8	77
1976	-	27	30	18	43	53	22	19	32	26	50	19	53
1977	23	-	27	11	25	26	47	-	26	31	14	6	47
1990	9	8	22	8	5	5	20	47	31	21	11	13	47
1991	8	9	23	29	53	-	48	30	38	44	29	39	53
1992	1	1	11	9	18	15	16	11	28	43	19	20	43
1993	23	2	29	26	32	11	37	21	64	3 0	46	13	64

Cuadro D-11. Distribución de G U M B E L.

ESTACION TOVAR. SERIAL 3141. P.P. EXTREMAS MAX. ANUALES. DUR. 30 MINUT

	NULT TO DE DA	NTOS= 14								
DATOS=	.000	33.000	41.000	44.000	28.000	45.000	35.00 0	38.000	30.000	18.000
DATOS=	31.000	39.000	17.000	27.000						

ESTADISTICOS DE LA SERIE

PROMEDIO= 33.786 DESV. EST. = 9.349 ASINETRIA = .425

PARAMETROS DE LA DISTRIBUCION GUNBEL

 $F(x) = \exp(-\exp(-y))$

y = (x-u)/alfalf = 7.2897 u = 29.5781

PRUEBA DE AJUSTE PARA DATOS NO AGRUPADOS

SEGUN EL TEST DE SMIRNOV KOLMOGOROV.

		_ Probabi			
m	X =====	Empirica [m/(N+1)]	Teorica Fx(X)	DIF	
123456789101121314	17.0 18.0 27.0 28.0 30.0 31.0 35.0 39.0 41.0 45.0 47.0	.066667 .133333 .20000 .266667 .333333 .400000 .466667 .533333 .600000 .666667 .733333 .800000 .866667	.003643 .007482 .240684 .288893 .389160 .439206 .535065 .621688 .729819 .759887 .811638 .870844 .886420	.063024 .125852 .040684 .022227 .055827 .039206 .068398 .088355 .129819 .093220 .078304 .070844 .019753	la.ve

.; _

DELTA MAXIMO OBSERVADO129819
DELTA CRITICO DE SMIRNOV KOLMOGOROV PARA (N;ns) = (14,0.05)354

***** CONCLUSION DEL TEST ***** Se acepta el ajuste

PERIODO DE RETORNO	X GUMBEL		
2.0	32.2		
5.0	40.5		
10.0	46.0		
20.0	51.2		
25.0	52.9		
50.0	58.0		
100.0	63.1		
200.0	68.2		
500.0	74.9		

C.C.Reconocimiento

DISTRIBUCION: G U M B E L

ESTACION TOVAR. SERIAL 3141. P.P. EXTREMAS MAX. ANUALES. DUR. 6 HORAS

	NUNERO DE DA	TOS= 14							
DATOS:	84.000	50.000	61.000	77.000	57.0 00	72.000	68.000	53.000	

DATOS= 53.000 47.000 43.000 64.000

ESTADISTICOS DE LA SERIE

PROMEDIO= 60.929 DESV. EST. = 13.012 ASIMETRIA = . 358

PARAMETROS DE LA DISTRIBUCION GUMBEL

 $F(x) = \exp(-\exp(-y))$

 $y = (x \cdot u)/alf$ alf = 10.1451 u = 55.0728

PRUEBA DE AJUSTE PARA DATOS NO AGRUPADOS

77.000

47.000

 $\mathcal{A}_{i,+}$

SEGUN EL TEST DE SMIRNOV KOLMOGOROV.

n	X	Probabi Empirica [m/(N+1)]	lidades Teorica Fx(X)	DIF	
==	======	=======			
B () 1 2 3 4 5 5 6 7 7 8 9 9 10 11 12 12 12 12 12 12 12 12 12 12 12 12	43.0 47.0 50.0 53.0 57.0 61.0 68.0 72.0	.066667 .133333 .200000 .266667 .33333 .400000 .466667 .533333 .600000 .666667 .733333 .800000	.037361 .109037 .109037 .192288 .293263 .293263 .437364 .572622 .660470 .756051 .828177 .891216	.029305 .024296 .090963 .074379 .040070 .106737 .029303 .039289 .060470 .089384 .094844 .091215	la.ve
13 14	77.0 84.0	. 8 66667 .933333	.891216 .943870	.024549	

DELTA MAXIMO OBSERVADO106737 DELTA CRITICO DE SMIRNOV KOLMOGOROV PARA (N;ns) = (14,0.05)354

***** CONCLUSION DEL TEST ***** Se acepta el ajuste

PERIODO DE RETORNO	X GUMBEL
2.0	58.8
5.0	70.3
10.0	77.9
20.0	85.2
25.0	87.5
50.0	94.7
100.0	101.7
200.0	108.8
500.0	118.1

C.C.Reconocimiento

RESUMEN DE CASOS

	15.0	30.0	1.0	3.0	6.0	9.0	12.0	24.0
2.0	17.8	32.2	41.8	53.6	58.8	61.6	62.0	66.2
5.0	21.7	40.5	51.8	65.3	70.3	72.8	73.5	78.9
10.0	24.3	46.0	58.4	73.0	77.9	80.2	81.1	87.3
20.0	26.8	51.2	64.8	80.4	85.2	87.3	88.5	95.3
25.0	27.6	52.9	66.8	82.7	87.5	89.6	90.8	97.8
50.0	30.0	58.0	73.0	89.9	94.7	96.5	97.9	105.7
100.0	32.4	63.1	79.2	97.1	101.7	103.4	105.0	113.5
200.0	34.8	68.2	85.4	104.2	108.8	110.3	112.1	121.3
500.0	38.0	74.9	93.5	113.7	118.1	119.4	121.4	131.5

AJUSTE DE LA ECUACION Y=X/(a + bx) A LA CURVA PDF

(valores estimados para .50 horas de duración)

tr	a	Ъ	R	Pmax
2.0 5.0 10.0 20.0 25.0 50.0 100.0 200.0	.004107 003731 003496 003288 003226 003046 002884 002737 002563	.025236 .020815 .018657 .016972 .016499 .015197 .014094 .013144	.009170 .011606 .012946 .014066 .014392 .015317 .016134 .016861	58.75 74.90 85.73 96.20 99.53 109.84 120.11 130.38

131.44 .016861 130.38 143.98 143.98 143.98 143.98 143.98 143.98 143.98 143.98 143.98 143.98 143.98 143.98 143.98 143.98 143.98 143.98 143.98 143.98 143.98 143.98 143.98 143.98 143.98 143.98 143.98 143.98 143.98 143.98 143.98 143.98 143.98 143.98 143.98 143.98 143.98 143.98 143.98 143.98 143.98 143.98 143.98 143.98 143.98 143.98 143.98 143.98 143.98 143.98 143.98 143.98 143.98 143.98 143.98 143.98 143.98 143.98 143.98 143.98 143.98 143.98 143.98 143.98 143.98 143.98 143.98 143.98 143.98 143.98 143.98 143.98 143.98 143.98 143.98 143.98 143.98 143.98 143.98 143.98 143.98 143.98 143.98 143.98 143.98 143.98 143.98 143.98 143.98 143.98 143.98 143.98 143.98 143.98 143.98 143.98 143.98 143.98 143.98 143.98 143.98 143.98 143.98 143.98 143.98 143.98 143.98 143.98 143.98 143.98 143.98 143.98 143.98 143.98 143.98 143.98 143.98 143.98 143.98 143.98 143.98 143.98 143.98 143.98 143.98 143.98 143.98 143.98 143.98 143.98 143.98 143.98 143.98 143.98 143.98 143.98 143.98 143.98 143.98 143.98 143.98 143.98 143.98 143.98 143.98 143.98 143.98 143.98 143.98 143.98 143.98 143.98 143.98 143.98 143.98 143.98 143.98 143.98 143.98 143.98 143.98 143.98 143.98 143.98 143.98 143.98 143.98 143.98 143.98 143.98 143.98 143.98 143.98 143.98 143.98 143.98 143.98 143.98 143.98 143.98 143.98 143.98 143.98 143.98 143.98 143.98 143.98 143.98 143.98 143.98 143.98 143.98 143.98 143.98 143.98 143.98 143.98 143.98 143.98 143.98 143.98 143.98 143.98 143.98 143.98 143.98 143.98 143.98 143.98 143.98 143.98 143.98 143.98 143.98 143.98 143.98 143.98 143.98 143.98 143.98 143.98 143.98 143.98 143.98 143.98 143.98 143.98 143.98 143.98 143.98 143.98 143.98 143.98 143.98 143.98 143.98 143.98 143.98 143.98 143.98 143.98 143.98 143.98 143.98 143.98 143.98 143.98 143.98 143.98 143.98 143.98 143.98 143.98 143.98 143.98 143.98 143.98 143.98 143.98 143.98 143.98 143.98 143.98 143.98 143.98 143.98 143.98 143.98 143.98 143.98 143.98 143.98 143.98 143.98 143.98 143.98 143.98 143.98 143.98 143.98 143.98 143.98 143.98 143.98 143.98 143.98 143.98 143.98 143.98 143.98 143.98 1

C.C.Reconocimiento

Cuadro D-14. Programa PDLL, para un Período de 09 años de la Estación Bailadores.

ano = 87 \$ Seco : \$ H/S : \$ S/S : \$ Humedo : \$ H/H : \$ S/H :	30 0 30 0 0	27 0 27 0 0	30 0 30 0	29 0 29 0 0	30 0 30 0	29 0 29 0	30 0 30 0 0	30 0 30 0	20 6 14 9 4 5	11 7 4 19 12 7	19 5 14 10 5 5	27 1 26 3 1 2		
ano = 88 Seco :	30 0 30 0 0	19 6 13 9 4 5	22 4 18 8 3 5	29 0 29 0 0	22 3 19 8 4	9 4 5 20 16 4	13 6 7 17 12 5	14 6 8 16 10 6	13 7 6 16 9	14 4 10 16 11 5	12 4 8 17 12 5	22 4 18 8 5 3		
ano = 89 # Seco : # H/S : # S/S : # Humedo : # H/H : # S/H :	30 0 30 0 0	21 5 16 6 1 5	13 5 8 17 12 5	27 2 25 2 0 2	22 5 17 8 3 5	18 6 12 11 5 6	12 6 6 18 12 6	20 8 12 10 2 8	20 6 14 9 4 5	21 6 15 9 3 6	16 3 13 13 9 4	24 2 22 6 3 3		
ano = 90 # Seco : # H/S : # S/S : # Humedo : # H/H : # S/H :	25 4 21 5 1	21 - 3 18 6 4 2	15 7 8 15 9 6	21 4 17 8 5	11 6 5 19 12 7	18 6 12 11 5 6	20 9 11 10 1	16 8 8 14 6 8	20 4 16 9 4 5	30 0 30 0 0	20 6 14 9 2	17 5 12 13 8 5	.ula.ve	
ano = 91 # Seco : # H/S : # S/S : # Humedo : # H/H : # S/H :	28 2 26 2 0 2	22 5 17 5 0 5	21 5 16 9 4 5	21 2 19 8 6 2	24 5 19 6 2 4	19 7 12 10 4 6	14 8 6 16 8	15 5 10 15 9	16 6 10 13 6	21 8 13 9 2 7	13 7 6 16 9	20 7 13 10 3		
ano = 92 \$ Seco : \$ H/S : \$ S/S : \$ Humedo : \$ H/H : \$ S/H :	27 3 24 3 0	26 2 24 2 0 2	29 1 28 1 0	22 3 19 7 4 3	24 5 19 6 1	22 6 16 7 1 6	15 6 9 15 10 5	19 4 15 11 6 5	16 6 10 13 6 7	26 3 23 4 1 3	16 6 10 13 8 5	23 6 17 7 0		
ano = 93 # Seco : # H/S : # S/S : # Humedo : # H/H : # S/H :	25 2 23 5 3 2	24 2 22 3 1 2	23 5 18 7 3 4	13 6 7 16 10 6	16 9 7 14 5	17 6 11 12 7 5	16 6 10 14 8 6	18 8 10 12 4	20 5 15 9 5 4	29 1 28 1 0	14 5 9 15 11	28 0 28 2 1 1		
ano = 94 # Seco : # H/S : # S/S : # Humedo : # H/H : # S/H :	27 3 24 3 0 3	15 2 13 12 10 2	20 6 14 10 5	15 6 9 14 7	18 6 12 12 5 7	23 6 17 6 0 6	16 5 11 14 9 5	22 6 16 8 2	25 1 24 4 2	13 4 9 17 13 4	23 4 19 6 2	30 0 30 0		

C.C.Reconocimiento

a	no = 91	5												
1	Seco	;	30	24	25	21	27	27	21	20	27	16	29	30
	H/S	:	0	1	4	3	1	2	6	6	2	7	0	0
	S/S	:	30	23	21	18	26	25	15	14	25	9	29	30
1	Humedo	;	0	3	5	8	3	2	9	10	2	14	0	0
	H/H	;	C	2	1	5	2	0	3	3	0	6	0	0
Ì	S/H	:	0	1	4	· 3	1	2	6	7	2	8	0	0

Probabilidad Mensual De Que En Un Dia Llueva y No Llueva

	ENE	FED	MAR	A BR	MAY	JUN	JUL	AG O	SEP	OCT	NOV	DIC
P(H/S) :	.0556	.1307	.1869	.1313	.2062	.2363	.3312	.2931	.2429	.2210	.2469	.1131
P(H/H) :	.2222	.4783	.5139	.5873	.4474	.4810	.5575	.4375	.4762	.5393	.5859	.4286
P(S/S) :	.9444	.8693	.8131	.8687	.7938	.7637	.6688	.7069	.7571	.7790	.7531	.8869
P(S/H) :	.7778	.5217	.4861	.4127	.5526	.5190	.4425	.5625	.5238	.4607	.4141	.5714
MEDIA	3.6500	4.7417	5.5773	7.1109	7.2662	4.0988	4.2765	5.2525	5.4250	7.3250	6.1794	5.1196
DESV	4.9434	6.5700	7.5744	7.6160	8.4592	4.6886	4.1426	6.0210	5.1335	7.5206	6.8687	5.3800
ASINET	3.3110	2.2970	2.1760	1.5831	1.8269	2.6593	2.0307	2.3330	1.6331	1.6961	1.8091	2.2327

Bdigital.ula.ve

C.C.Reconocimiento

$\mathbf{ANEXO}\ \mathbf{E}: \mathbf{\textit{Datos}}\ \textit{de}\ \textit{Cultivo}\ \textit{y}\ \textit{Biocidas},\ \textit{utilizados}\ \textit{en}\ \textit{la}\ \textit{Microcuenca}.$

Cuadro 13-1. Efecto del suelo desnudo, matriz de raíces finas de los árboles y reconsolidación del suelo, en suelos no labrados.

% de suelo desnudo		Porcentaje del suelo desnudo con una matriz densa de raíces finas en los primoros 3 cm. de suelo									
	100	90	80	70	60	50	40	30	20	10	0
0	0.0000										
1	0.0004	0.0004	0.0005	0.0006	0.0007	0.0008	0.0010	0.0012	0.0014	0.0016	0.0018
2	0.0008	0.0003	0.0010	0.0012	0.0014	0.0017	0.0020	0.0023	0.0027	0.0031	0.0036
3	0 003	0 003	0 003	0 004	0 005	0 006	0 007	0 008	0 009	0 0111	0 012
10	0 005	0 005	0 006	0 03	0 009	0 011	0 013	0 015	0.017	0.020	0 023
20	0.011	0.012	0.014	0.017	0.020	0.024	0.023	0.033	0.038	0.044	0.050
30	0.017	0.018	0.020	0.025	0.029	0.036	0.042	0.050	0.050	0.068	0.077
40	0.023	0.024	0.027	0.034	0.042	0.049	0.058	0.068	0.070	0 092	0 104
50	0.030	0.032	0.038	0.045	0.054	0.064	0.074	0.088	0.103	0.118	0.135
60	0.037	0.038	0.043	0 055	0.067	0.079	0.092	0.109	0.127	0.147	0.167
70	0.047	0.049	0.054	0.068	0.083	0.098	0.117	0.138	0.168	0.187	0.212
80	0.055	0.058	0.066	0.081	0.098	0.116	0.141	0.164	0.192	0.221	0.252
85	0.066	0.089	0.078	0.095	0.115	0.138	0.165	0.195	0.226	0.264	0.3
90	0.075	0.080	0.089	0.111	0.133	0.157	0.187	0.222	0.268	0.301	0.342
95	0.086	0.090	0.102	0.125	0.155	0.182	0.217	0.255	0.298	0.345	0.392
100	0 099	0 104	0 117	0.144	0 180	0.207	0.248	0.293	0.342	0 396	0.450

Fuente: Dissmeyer y Foster, 1982.

Cuadro E-1a. Subfactor cobertura del dosel.

Altura del dosel		Po	rcentaj	e del s	uelo de	snudo	con co	bertura	del do	sel	
metros-(pies)	0	10	20	30	40	50	60	70	80	90	100
0.5 - (1.5)	1.00	0.91	0.83	0.74	0.66	0.58	0.49	0.41	0.32	0.24	0.16
1.0 - (3.2)	1.00	0.93	0.86	0.79	0.72	0.65	0.58	0.51	0.44	0.37	0.30
2.0 - (6.5)	1.00	0.95	0.90	0.85	0.80	0.75	0.70	0.65	0.60	0.55	0.50
4.0 - (13.0)	1.00	0.97	0.95	0.92	0.90	0.37	0.84	0.82	0.79	0.76	0.74
6.0 - (19.5)	1.00	0.98	0.97	0.96	0.94	0.93	0.92	0.90	0.89	0.87	0.85
8.0 - (26.0)	1.00	0.99	0.98	0.97	0.96	0.95	0.95	0.94	0.93	0.93	0.92
16.0 - (52.0)	1 00	1.00	0.99	0.99	0.98	0.93	0 93	0.97	0 97	0 96	0 96
20.0 - (65.0),	1 00	1 00	1.00	1.00	1.00	1.00	1 00	1.00	1.00	1 00	1 00

Fuente: Dissmeyer y Foster, 1982.

Cuadro F-2. Determinación del Factor "C" (cobertura y manejo).

Clasifica	ción Usada por el Ministerio del Ambiente (Citada por Bi	zzarro, 1985).
Símbolo	Cobertura Vegetal y Uso de la Tierra	Valor de "C"
1 a	Bosque denso	0.003 - 0.01
1 b	Bosque claro con subestrato herbáceo denso	0.003 - 0.01
1 c	Bosque claro con subestrato herbáceo degradado	0.01 - 0.1
2a	Matorral denso	0.003 - 0.03
2 b	Matorral claro con subestrato herbáceo denso	0.003 - 0.03
2c	Matorral claro con subestrato herbáceo degradado (abierto)	0.030 - 0.10
2ď '	Páramo	0.003 - 0.01
3a	Pastizal natural completo	0.003 - 0.04
3 b	Pastizal natural pastoreado	0.040 - 0.20
3c	Pastizal cultivado (manejado)	0.003 - 0.04
4	Terrenos desprovistos de vegetación	0.90 - 1.0
5a	Cultivos anuales de ciclo corto (1 - 6 meses)	0.30 - 0.8
5b	Cultivos anuales de ciclo largo (> 6 meses)	0.40 - 0.9
6a	Cultivos permanentes asociados densos	0.01 - 0.3
6b	Cultivos permanentes no densos	0.100 - 0.45
7	Huertos de subsistencia	0.3 - 0.9

Fuente: Velázquez (1988). Citado por Ramirez (1993).

Cuadro E-3. Parámetros de Cultivos para el SWRRB-WQ.

	BE	111	BLAI	CVM	WSII	LEG
Avas	25	0.51	5	0.2	0.01	2
Maiz	40	0 50	5	0.2	0 05	1
Sorgo	3 5	0.50	5	0.2	0 01	1
Trigo de Invierno	35	0.42	8	0.03	0 01	1
Trigo de Primavera	35	0 42	9	0.03	0.01	2
Trigo de (durham)	25	0.30	8	0.05	0.01	1
Cebada	3 5	0.42	8	0.01	0.01	1
Avena	3 5	0.42	8	0.03	0.01	1
Girasol	60	0.25	5	0.2	0.01	1
Algodón (stripper)	17.5	0.50	5	0.2	0.01	1
Algodón Selecto	20	0.50	5	0.2	0.01	1
Mani ·	20	0.42	5	0.2	0.01	2
Arroz	20	0.50	6.5	0.5	0	1
Papa	15	1.12	5	0.05	0.01	1
Guisantes	20	0.55	9	0.05	0.01	2
Lentejas	25	0.54	2.5	0.2	0.01	2
Heno de Sorgo	3 5	0.50	5	0.1	0.01	1
Alfalfa	20	0.25	5	0.01	0.01	2
Pastizales	30	0.25	5	0.005	0.01	1
Pasto de Primavera	30	0.90	5	0.003	0.01	1
Pasto de Invierno	35	0.42	8	0.03	0.01	1
Arboles de Pino	16.5	0.76	5	0.001	0	1

Fuente: Arnold et al (1991).

BE = Factor de conversión de la biomasa (kg/ha).

HI = Indice potencial de cosecha.

BLAI = Indice de área foliar.

CVM = Factor de cobertura y manejo, "C".

WSIF - Factor de producción del estrés hídrico.

LEG = Código para legumbres.

Cuadro E-4. Valores del factor "P" para diferentes prácticas de conservación.

Pendiente	Cultivos en curva	Cultivos en	Terrazas				
%	de nivel	fajas	En curvas de nivel	En faja			
5	0,50	0,38	0,10	0.25			
8	0,50	0,38	0,10	0,25			
15	0,70	0,52	0,12	0,35			
18	0,80	0,60	0,16	0,40			
25	0,90	0,68	0,18	0,45			
40	1,00	0,90	0,24	0,60			

Fuente: USDA, 1970, Citado por Hermelin, 1987.

Bdigital.ula.ve

Cuadro E-5. Pruebas para determinar el significado tiene el concepto de rotaciones de cultivos anuales en el modelo SWRRB-WQ.

Pruebas	Período del Año	Biomas	e (Kg/he)
		Papa	Zanahoria
Un solo cultivo anual.	Feb.15 - Jul 15	821	
Un cultivo comprendido entre años diferentes.	Sep.15 - Fob.15	687	
Un cultivo anual en un período mayor	Ene 15 - Dic 15	9 469	
Dos cultivos anuales en el mismo año.	Feb.15 - Ago.15 Sep.15 - Ene.15	1.372	670
Considerando las Estaciones del Clima :			
Un cultivo anual entre Primavera y Verano	Feb 30 - Jul 30	887	
Un cultívo anual entre Verano y Otoño.	Ago.15 - Dic.15	678	
Un cultivo anual en Invierno solamente.	Dic.15 - Feb.15	0	
Dos cultivos anuales en el mismo año, antes del Invierno.	Feb.30 - Jun.30 Jul 30 - Nov.30	534	 755

Las pruebas se realizaron en la quebrada la Grande en área de cultivo. El cuadro E-5, demuestra la importancia que el modelo le da a las estaciones del año de los Estados Unidos, ya que en Invierno, por ser la época de nevadas no se cultiva, y la vegetación perenne entra en un período de latencia.

Esto resulta una limitante para la aplicación del modelo en regiones tropicales, donde se cultiva durante todo el año y presenta solamente dos estaciones que son de Sequia y Lluvia.

Aplicación de Agroquímicos.

A manera de resumen y generalizando la aplicación de productos químicos en la microcuenca tenemos que:

 La mayoría de los insecticidas y fungicidas, se combinan juntos en proporción
 2:1, y son aplicados en forma de cocteles con una frecuencia de 12 días tanto en la papa como en la zanahoría.

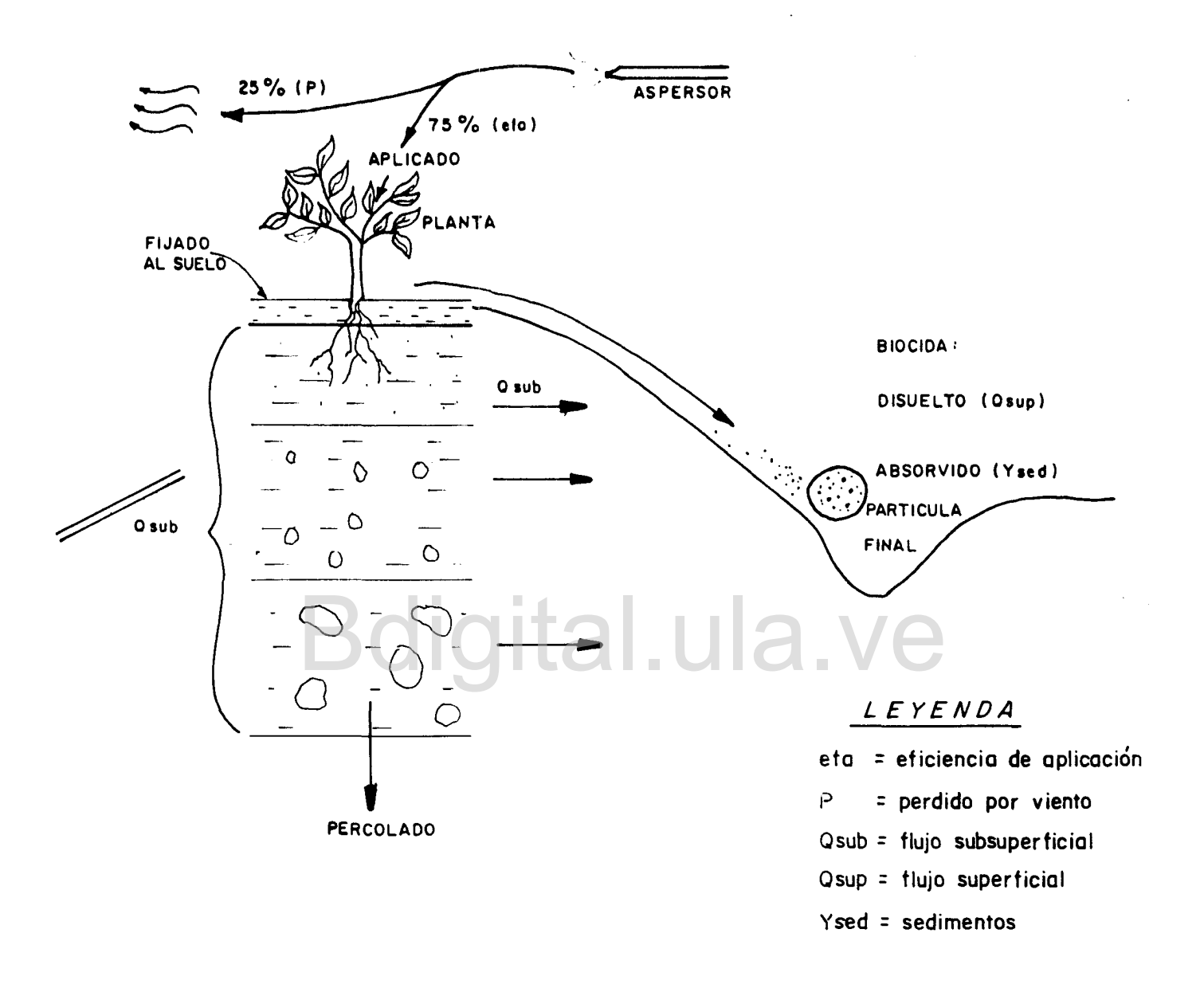
Un producto no se utiliza más de dos veces seguidas, con el objeto de evitar que la enfermedad adquiera resistencia al mismo.

- 2.) Durante el ciclo de la papa y zanahoria (cultivos anuales), se realizan 10 aplicaciones de Biocidas por cultivo. En ambos cultivos la duración del ciclo es aproximadamente de 5 meses.
- 3.) La aplicación de estos Biocidas se suspenden un mes antes de la cosecha.
- 4.) Los datos del Cuadro E-6, resultaron de encuestas realizadas a los agricultores de las diferentes áreas de La Playita Bailadores, durante el mes de Agosto de 1.996 y muestra la dosis y frecuencia utilizada por Biocida. Esto no indica, que todos ellos sean usados en el mismo ciclo del cultivo o al momento de realizar los cocteles.

Cuadro E-6. Datos sobre el uso de agroquímicos.

Biocidas	Dosis c / 200 Its	T/ha	Dosis / Ha	Frecuencia	Total Producto en el Ciclo
Furadan	500 cc.	4	2,0 Its.	10 Días	20 lts.
Parathion	300 cc.	4	2,0 Its.	10 Dias	20 Its.
Lannate	500 cc.	4	2,0 Its.	10 Días	20 lts.
Diazinon	250 gr.	4	1,00 kg.	10 Dias	10 lts.
Dithane M-45	1 kg.	4	4,0 kg.	10 Días	40 kg.
Manzate	1 kg.	4	4,0 kg	10 Dias	40 kg
Paraquat	300 cc.	4	1,2 Its.	2 Días	2.4 Its.
Curacin	1 kg	4	4,0 kg	10 Días	40 kg
Abono completo			450 kg	1 Día	450 kg
Nitrato			500 kg.	1 Dia	500 kg
Abono, 18-06-12			300 kg	1 Día	300 kg.

Figura 4.- INTERPRETACION DEL DESTINO DE LAS BIOCIDAS RESULTANTES DEL MODELO.



Balance de Biocidas :

Cantidad Aplicada - Cantidad Perdida = Cantidad Real Utilizada por Plantas.

Cantidad Perdida = B. Disuelto + B. Absorvido + B. Percolado + B. Qsub + B. Fijado al suelo.

C.C.Reconocimiento

En las 10 aplicaciones de Biocidas realizadas por ciclo de cultivo, las proporciones utilizadas son las siguientes :

Insecticidas 40 kg, herbicida 13 kg y fungicida 40 kg.

Esta proporciones serán reducidas al determinar la concentración real del del ingrediente activo. Además permite la agrupación de los diferentes Biocidas.

Cuadro 1:-7. Agrupación de los biocidas según su ingrediente activo.

Ingrediente Activo	Nombres Comerciales	Concentración
Methyl Parathión	Paratión, lannate L	50%
Carbofuran	Furadán	20%
Spectracide	Basudin, Diazinón	90%
Mancozeb	Dithane M-45, Manzate 200, Curacin	80%
Paraquat	Gramoxone	19%

Al agrupar todos los Biocidas resultaron 5 los ingredientes activos, del cual los tres primeros son insecticidas, el cuarto es un fugicida (Mancozeb) y el quinto es un herbicida (Paraquat).

Finalmente las cantidades resultantes a aplicar son :

Tipo de Biocida	Ingrediente Activo	Concentración	Cantidad	Total
	Methyl Parathión	50%	20 Kg	10 Kg.
Insecticidas	Carbofuran	20%	10kg	2 Kg.
	Spectracide	90%	10 Kg	9 Kg
Fungicida	Mancozeb	80%	40 Kg	32 Kg
Herbicida	Paraquat	19%	2,4Kg	0,5Kg

Como se puede observar en este cuadro, por medio de la concentración del ingrediente activo se consiguió reducir la cantidad del producto aplicado.

La finalidad de estos ajustes es adecuar las variables del modelo a las condiciones reales que se presentan en el campo; debido a que el SWRRBWQ tiene los inconvenientes de primero, no permitir el uso de más de 5 aplicaciones por ciclo del cultivo, no permite el uso de más de 5 kg/ha del producto por aplicación y no permite más de un producto por aplicación.

Al realizar los ajustes anteriores, se pudo reducir a un producto por aplicación totalizando las cinco permitidas por modelo. El problema está en disminuir la cantidad aplicada por producto, ya que el modelo no acepta más de 5 kg/ha.

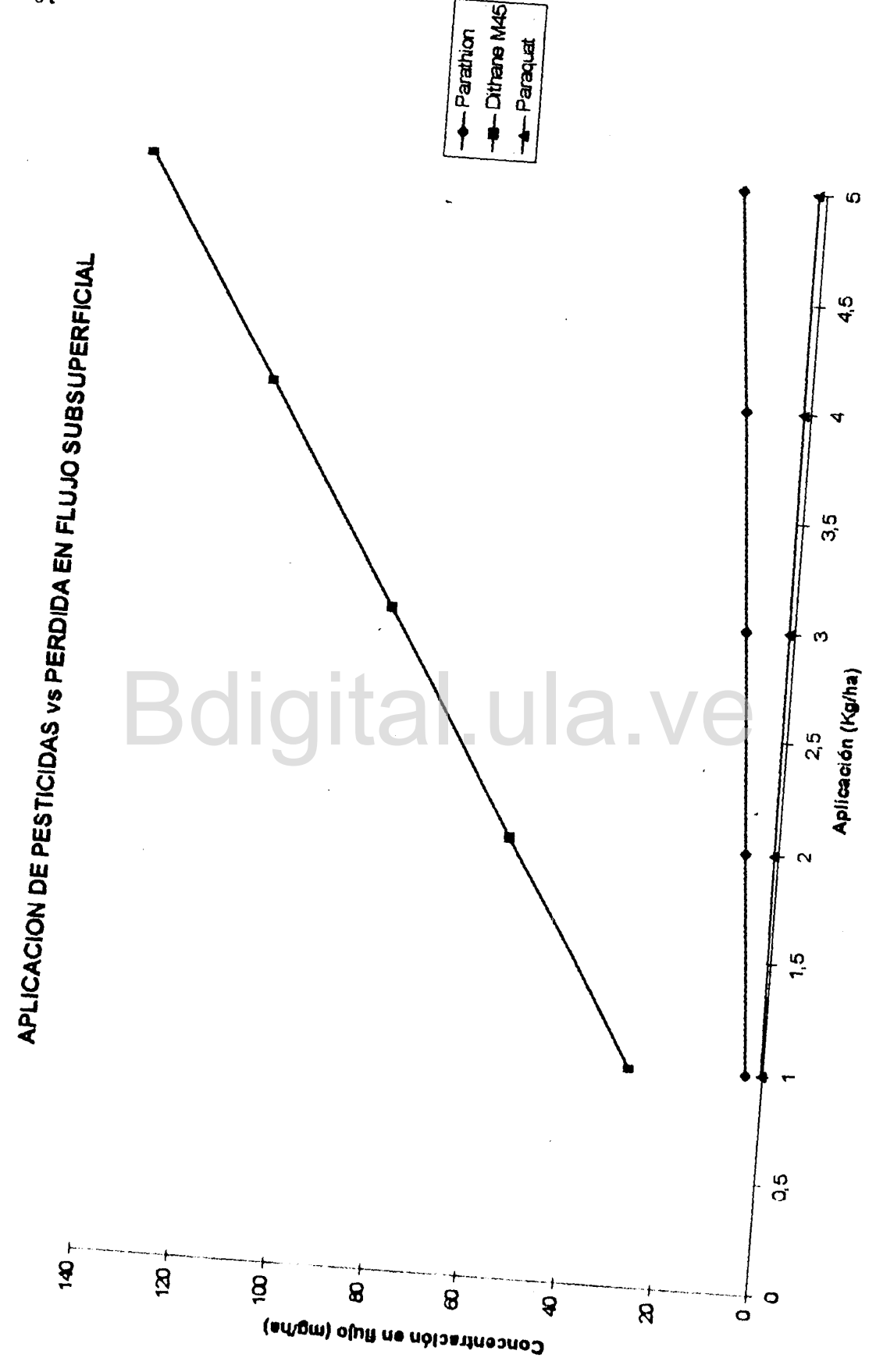
Para resolver está situación, se realizaron varias corridas utilizando diferentes concentraciones del producto: 1, 2, 3, 4, y 5 kg/ha de aplicación; los resultados se muestran en el cuadro E-9, a continuación:

Bdigital.ula.ve

Cuadro E-9. Comportamiento de algunos Biocidas a diferentes concentraciones.

Descripción	Furadan (mg/ha)	Parathion (mg/ha)	Dithane M-45 (mg/ha)	Paraquat (mg/ha)
Utiliz 1Kg/ha				- C
Aplicado	52500	52500	52500	52500
Perdido	44189	52288	41151	29913
Disuelto	410	1.5	63	1.9
Absorbido	506	206	11257	22584
lixiviado	131	001	0 15	0
Flujo Subsup	7263	3.5	28	.39
Utiliz.2Kg/ha		the temperature of the second		
Aplicado	105000	105000	105000	105000
Perdido	88388	104577	82302	59829
Disuelto	821	2.9	125	3.8
Absorbido	1013	412	22515	45166
lixiviado	259	.001	0.03	0
Flujo Subsup	14519	6 82	55 72	0 77
Utiliz.3Kg/ha			<u> </u>	
Aplicado	157500	157500	157500	157500
Perdido	132509	156866	123455	89745
Disuelto	1231	4.4	188	5 8
Absorbido	1519	618	33772	67747
lixiviado	387	.001	0.04	0
Flujo Subsup.	21774	10	84	1.2
Utiliz 4Kg/ha				
Aplicado	210000	210000	210000	210000
Perdido	176788	209155	164607	119660
Disuelto	1642	5.9	251	7.7
Absorbido	2025	824	45028	90329
lixiviado	515	.001	.04	0
Flujo Subsup.	29030	13.5	111	1.5
Utiliz.5Kg/ha			<u> </u>	
Aplicado	262500	262500	262500	262500
Perdido	220956	261441	205753	149566
Disuelto	2051	7.3	313	9.7
Absorbido	2533	1030	56284	112918
lixiviado	658	.001	.04	0
Flujo Subsup.	36325	17.4	140	1.9

En las figuras 2, 3 y 4 se pudo observar que a medida que se incrementa la concentración aplicada del biocida, aumenta en forma lineal la cantidad perdida, sea en forma disuelta, absorbida o por flujo subsuperficial.



Fig

C.C.Reconocimiento

APLICACION DE PESTICIDA VS CONCENTRACIÓN EN SEDIMENTOS

Figura 3.

Aplicación del producto (Kg/ha)

Figura 4.

C.C.Reconocimiento

Así, a través dela extrapolación se puede determinar las pérdidas de Biocidas cuando en la práctica se utilicen cantidades mayores a los 5 Kg/ha.

En el Cuadro E-13, se puede observar las plagas y enfermedades más importantes que atacan los cultivos hortícolas; su control, dosis y frecuencia de aplicación de Biocidas.

listos valores serán usados en los escenarios a simular en condiciones de aplicaciones ideal.

Cuadro E-13. Principales Plagas y Enfermedades que atacan los Cultivos Hortícolas y las formas de control.

Plaga y Enfermedad	Control	Dosis Kg/ha	Frecuencia (días)	Suspender aplicación (días)
Tizones	Dithane	1.7 - 2.0	7 - 15	20
Pulgón	Carbofuran	0.7 - 1.0	7 - 10	30
Langostino	Parathión	0.5 - 1.5	7-20	30
Acaros	Diazinon	0.75	7 - 25	30
Minador de la hoja	Carbofuran	0.75	7 -25	35
Trips y cortadores	Parathion	0.5 - 1.0	5 - 15	20 -35
Nemátodos	Carbofuran	1 0	Aplicar antes del último pase de rastra	

Cuadro E-14. Características de los Biocidas Separados por Nombre Comercial

				Vida Media			
Nombre	Nombre	KOC	Fracción	Hojas	Suclo	Eficiencia de	Solubilidad
Comercial	Común		de Lavado	(en	Dias)	la Aplicación	(ppm)
Antrex	Atrazhe	160.0	0.50	20	60.0	0.75	33.0
Aldrin	Aldrín	20000.0	0.05	2.0	28 0	0.75	0.1
Balan	Benefin	10700 0	1.00	24 0	240	0.75	50.0
Banvel	Dicamba	8.0	0.65	9.0	8.0	0.75	4500.0
Basagran	Bentazon	35.0	0.60	20	10.0	0.75	500000 0
Beniate	Benomyl	200.0	0.25	6.0	10.0	0.75	0.1
Benzex	BRC	55000.0	0.05	3.0	600 0	0.75	0.1
Bidrin	Dicrotophos	20.0	0.70	20.0	7.0	0.75	10000.0
Biadex	Cyanazine	1680	0.60	20	14.0	0.75	165.0
Bolstar	Sulprofos	550.0	0 55	0.5	14.0	0.75	45.0
Bravo	Chlorothalonil	4000.0	0.50	10.0	180	0.75	0.6
Carbolos	Malathion	1800.0	0.90	3.0	25.0	0.75	145.0
Chiordane	Chiordane	1000000	0.05	25	100.0	0.75	01
Coforan	Fluometuron	100.0	1.00	12.0	12.0	0.75	90.0
Counter	Terbufos	1000.0	0.60	2.5	5.0	0.75	15.0
Cygon	Dimethoate	9.0	0.95	3.0	7.0	0.75	25000.0
2,4-D	2,4-D (anime)	740	0.95	9.0	10.0	0.75	900 0
Dasanit .	Fensulfothion	10000.0	1.00	24.0	24.0	0.75	0.1
Dasamit ,			0.05	4.0			0.1
	DDT	240000.0 5000.0	0.05	7.0	120 0	0.75	
DEF	DEF		0.25		10.0	0.75	1.0
Dieldrin	Dieldrin	50000 0		50	1400 0	0.75	0.1
Dimilin	Diflubenzuron	6790.0	0.05	27.0 23.0	9.0	0.75	0.2
Dinoseb	Dinitro	490.0	1.00	10.0	23.0	0.75	50.0 0.5
Dithane	Mancozeb	10000.0	0.25 0.95	37 ()	3 5.0	0.75	1000 0
Dowpon	Dalapon	4.0			30.0	0.75	
Dual	Metalachior	250.0	0.30	3.0	18.0	0.75	500.0
Dyanap	Naptalam	30.0	1.00	12.0	12.0	0.75	200.0
Dyfonale	Fonofos	3000.0	0.60	2.5	43.0	0.75	13.0
Dyfox	Trichlorion	2.0	0 95	30	30	0 75	15400 0
EPN	EPN	13000.0	0.60	5.0	5.0	0.75	0.5
Ethanox	Ethlon	15400.0	0.65	7.0	230.0	0.75	10.0
Fenitox	Fenilrothlon	2000.0	0.90	3.0	8.0	0.75	3 0.0
Furadan	Carbofuran	40.0	0.55	11	17 0	0.75	350 0
Guthion	Azinphosmethyl	700.0	0.60	8 .0	15.0	0.75	29.0
Imidan	Phosmet	500.0	0.90	3.0	20.0	0.75	50.0
isolox	Undane	2300.0	0.05	2.5	100.0	0.75	7.3
Lannate	Methomyl	160 0	0 55	05	80	0.75	58000 0
Lasso	Alachlor	190.0	0.40	3.0	18.0	0.75	242.0
Lorsban	Chlorpyrifos	5300.0	0.65	3.3	12.0	0.75	2.0
Manzate	Maneb	240.0	0.65	3.0	12.0	0.75	200.0
Mariate	Methoxychlor	80000.0	0.05	60	170.0	0.75	0.1
Matacil	Aminocarb	100.0	0.90	4.0	6.0	0.75	915.0
Merpan	Captan	198.0	0.65	9.0	10.0	0.75	4.0
Methyl Parathion	Methyl Parathion	14000.0	0.65	3.0	5.0	0.75	6 0.0
Milogard	Propazine	2100	0.45	20	87.0	0 75	85
MSMA	MSMA	300000.0	1.00	10.0	10.0	0.75	57000.0
Nemacur	Fenamiphos	170.0	1.00	21.0	1.0	0.75	400.0

continua.../...

...,/...

				Vida	Media		
Nombre Comercial	Nombre Común	KOC	Fracción de Lavado	<u>Hoias</u> (en	Suclo Días)	Eficiencia de la Aplicación	Solubilidad (ppm)
Nemacur	Fenamiphos	240,0	1 00	2.0	20	0.75	400.0
T. Sulfoxide	F Sulfoxide	40 0	1 00	420	42.0	0.75	400.0
T. Sulfone	F. Sulfone	45.0	1.00	180	180	0.75	400.0
Orthene	Acephate	30 0.0	0 70	25	20	0.75	65000 0.0
Paraquat	Paraqual	10000000.0	0.60	30	99.0	0.75	500000.0
Phoedrin	Mevinphos	240.0	0.95	0.6	3 .0	0.75	20 0.0
Pounce	Permithrin	1000000.0	0 30	3 5.0	46.0	0.75	0.5
Princep	Simazine	230.0	0.40	2.0	69.0	0.75	3.5
Prowl	Pendimethalin	5000.0	1.00	8.0	8.0	0.75	0.5
Pydrin	Fenvalerate	35000.0	0.25	42 0	70.0	0.75	0.02
Ramrod	Propachlor	500.0	0.40	3.0	12.0	0.75	58 0.0
Ridomil	Metalaxyl	3 5.0	0.70	10.0	25.0	0.75	7100.0
Roundup	Glyphosate	50 0.0	0.60	2.5	30.0	0.75	12000.0
Sencor	Metribuzin	95.0	0.65	2.0	24.0	0.75	120.0
Sevin	Carbaryl	229.0	0.55	7.0	7.0	0.75	40.0
Spectracide	Daizinon	227.0	0.90	2.0	3 0.0	0.75	0.4
Supracide	Methidathlon	215.0	0.90	3.0	23.0	0.75	240.0
Sutan	Butylate	150.0	0.30	1.0	12.0	0.75	45.0
2,4,5-T	2,4,5-T	8 5.0	0 45	90	12.0	0.75	5.0
Tanone	Phenthoale	250.0	0.65	2.0	40.0	0.75	20 0.0
Temilk	Aldicarb	40.0	1.00	40.0	40.0	0.75	6000.0
Temilk	Aldicarb	40.0	1.00	7.0	7.0	′ 0.75	6000.0
T. Sulfoxide	A. Sulfoxide	30.0	1.00	40.0	40.0	0.75	6000.0
T. Sulfone	A. Sulfone	3 5.0	1.00	20.0	20.0	0.75	6000 0
Terrachlor	PCNB	8000.0	1.00	21.0	21.0	0.75	5 0.0
Thimet	Phorate	940.0	0.90	2.0	23.0	0.75	50.0
Thiodan	Endosulfan	200000.0	0.05	3.0	43.0	0.75	0.1
Tolban	Profluralin	2240.0	0.35	1.0	140.0	0.75	0.1
Yordan	Pictoram	20.0	0.60	8.0	30.0	0.75	100000.0
Toxaphene	Toxaphene	400000.0	0.05	2.0	500.0	0.75	0.4
Treflan	Triffuralin	1200.0	0.40	20.0	60 0	0.75	1.0
Trithlon	Carbophenothion	12500.0	0.65	6.0	15.0	0.75	2.5
Weed-B-Gon	Silvex	2600.0	0.40	5.0	20.0	0.75	2.5
Vernam	Vernalate	200.0	1.00	12.0	12 0	0.75	90.0
Vydate	Oxamyl	5.0	0.95	4.0	20.0	0.75	280000.0

Fuente: Arnold et al (1991).

KOC - Coeficiente de partición.

Clasificación de los Biocidas según su persistencia

Cuadro E-16. Clasificación de los Biocidas en función al tiempo que transcurre entre su aplicación y la degradación ambiental del ingrediente activo.

Clasificación de Persistencia	Tiempo de persistencia
l igeramente persistentes	Menos de cuatro semanas
Poco persistentes	De cuatro a veintiséis semanas
Medianamente persistentes	De veintiséis semanas a cincuenta y dos semanas
Altamente persistentes	Mas de un año y menos de veinte
Permanentes	Mas de veinte años

Fuente: Catálogo oficial de Biocidas CICOPLAFEST, 1994. Citado por López, 1996.

Cuadro E-17. Clasificación de los Biocidas según su toxicidad.

) didutal illa

Categoria	DL50 en mg/kg. dc Masa Corporal								CL50 Agi inhalació Exposició	n mg/L
		Agud	a Oral			Agua D	ermica	İ		
		Estado	Fisico			Estado	Físico			
	Sóli	do	Liqu	iido	Sóli	do	Liqu	iido		
	más de,	hasla	más d e,	hasta	más de,	hasta	más de,	hasla	más de,	hasta
l Extremadamente Tóxicos	-	5.0	-	20.0	-	10.0	-	40.0	-	0.2
II Altamente Tóxicos	5.0	50.0	20.0	200.0	10.0	100.0	40	400.0	0.2	2.0
III Moderadamente Tóxicos	50 0	500 0	200 0	2000.0	100 0	1000.0	40 0	4000 0	2.0	20.0
IV Ligeramente Tóxicos	500.0	-	2000.0	-	100 0.0	-	4000.0	•	20.0	-

Fuente: (CICOPLAFEST). Catalogo Oficial de Plaguicidas 1994, México. Citado por López, 1996.

Clasificación según su toxicidad aguda

l os plaguicidas de acuerdo a su peligrosidad pueden clasificarse en función de su toxicidad con base en la DL50 expresada en mg/kg., y la CL50 aguda en mg/m³ (clasificación basada en experiencias con ratas de laboratorio).

Los factores que influyen sobre la persistencia de los Biocidas están en función de las condiciones específicas del lugar de aplicación. Entre otros tenemos: el clima, el tipo de suelo, contenido de materia orgánica y microorganismos; por ello, la persistencia de un Biocidas varía de un lugar a otro. Es importante destacar la necesidad de llevar a cabo investigaciones acerca de la persistencia de los Biocidas donde serán aplicados, con el objeto de evaluar adecuadamente los riesgos que representan para el ambiente en general.

Factores que influyen en la persistencia de los Biocidas :

Fotodescomposición:

Principal factor que influye en la degradación ambiental de los Biocidas. La mayoría de ellos, se descomponen por efecto de las radiaciones solares.

Descomposición química:

Se lleva a cabo mediante una serie de reacciones, tales como oxidación, reducción e hidrólisis, las cuales tienen lugar en el suelo, el aire o el agua.

Absorción por los coloides del suelo:

Mediante este proceso, los Biocidas se adhieren a la superficie de los coloides del suelo. Todos los Biocidas que llegan al suelo se absorben en él, en mayor o menor grado; por ejemplo los suelos arcillosos son los que absorben más fuertemente los Biocidas.

Acción microbiana:

Una cantidad importante de los plesticidas son compuestos inorgánicos, que resultan afectados por la actividad microbiana, la cual es el principal medio para su degradación cuando estos productos se incorporan al suelo. Por ejemplo un alto contenido de nutrientes favorece el desarrollo de microorganismos y, en estas condiciones, los Biocidas orgánicos se descomponen con mayor rapidez.

El uso de Biocidas es un factor causal de la contaminación del aire, suclo y agua; así mismo, estos productos pueden afectar, en forma directa o indirecta, a todos los seres vivos.

Bdigital.ula.ve

Cuadro 1/-20 Ingredientes activos de los Biocidas utilizados en la microcuenca Zarzales - la Grande.

Ingredientes	Tipo de Biocida	Catogoría Toxicológica del	Pensistencia	Fractos adversos	Propiedades y
Activos		producto técnico y uso		a la salud	toxicidad
23 Carbofuran	insecticida - nematicida carbamico de contacto, ingestion y sistemico	II. Agricola : calabaza, fresa, maiz, melón, papa, pepino, platano, sandia	Poco persistente	Altamente peligroso	Toxico a los peces y aves
38 Diazinón	Insecticida - acaricida, organofosforado de contacto	en jardinería y urbano.	Poco persistente.	Altamente peligroso, irritante dérmico, ocular y de mucosas.	Tóxico a aves y abejas.
64 Mancozeb	Fungicida ditocarbamico de contacto	IV, Agricola: ajo, apio, avena, calabazita, cebada, cebolla, centeno, espárrago, jitomate, maiz, melón, papa, papayo, pepino, plátano, sandia, tabaco, trigo, vid, zanahoria.	Ligeramente persistente	Ligeramente peligroso.	Tóxico a los peces.
65. Maneb	Fungicida ditiocarbamico de contacto	IV, Agrícola: apio, calabaza, cebolla, col, espinaca, jitomate, lechuga, melón, papa, pepino, sandia, vid, zanahona	Ligeramente persistente	Moderadamento peligroso Imtante de piel y mucosas.	Tóxico a peces.
81 Paraquat	Herbicida y desecante del grupo de los bipindilos, de contacto y postemergente	II, Agricola : aguacate, alfalfa, algodón, avena, brocolí, cafeto, calabazita, cebada, cebolla, chicharos, chile, cítricos, col, coliflor, durazno, espárrago, frijol, guayabo, jitomate, lechuga, lima, limon, maíz, manzano, melón, papa, papaya, pepino, pera, piña, plátano, sandia, sorgo, trigo, zanahoria.		Moderadamente peligroso, pero si se ingiere produce fibrosis pulmonar. Imitante ocular.	Compuesto estable excepto bajo condici- ciones alcalinas. Re- sulta fuertemente re- tenido e inactivado por las particulas de suelo. Tóxico a peces y a pájaros
83. Paratión metilico		I, Agrícola : acelga, aguacate, ajo, alcachofa, apio, arroz, avena, berenjena, brocili, cacahuate, calabaza, camote, caña de azúcar, cebolla, chile, ciruelo, cítricos, col, coliflor, espinaca, fresa, frijol, lechuga, melón, nabo, naranjo, olivo, papa, pastizales, pepino, peral, piña, rábano, sandia sorgo, tabaco, trigo, zanahoria.	Ligeramente persistente.	Extremadamente peligroso por inhalación, ingestión y de rápida absorción por la piel.	Facilmente soluble en Dicloromethano, 2-propanol y Tolueno. La probabilidad de contaminacion de las aguas subterráneas es pequeña.

Fuente: Catalogo oficial de Biocidas 1994.

Foster, R.(1994). Farm Chemicals Handbook Ohio. E.U. Indice Agropecuario 1995, Luis H. Anzola, Venezuela.

En el siguiente cuadro se puede observar las dosis recomendadas de fertilizantes para los cultivos de papa y zanahoria en suelos andinos venezolanos.

Cuadro 1:-21. Fertilizantes recomendados para la papa y zanahoria en la región andina.

Dosis de Elemento (Kg/Ha.)		Dosis del ferliliza	nte (Kg/Ha)	Ventajas	
Nitrógeno	79 -151	Urea	175 - 335	Más económico	
		Nitrato Amónio	385 - 735	Con nitrato, nítrico reduce la acidez	
Fósforo	23,87	Superfosfato triple	110 - 420	Más económico	
		Superfosfato simple	250 - 950	Contiene azufre	

Bdigital.ula.ve

Cuadro 1:-22. Comparación de las normas primarias de los Estados Unidos, Canadá, Comunidad Europea (CEE) y lineamientos de la Organización Mundial de la Salud (OMS).

Niveles de calidad exigibles para el agua potable.

Sustancia	U.S.A Maximo nivel contaminante ma/l	Canadá Máximo	C.E.E. Concentración máxima admisible i mg/t	O.M.S. valor del
Inorgánicos	contaminante mg/l	limite aceptable *mg/l	máxima admisible * mg/l	lineamiento mg/l
Arsénicos	0.05	0.05	0 05	0.05
Bario	10	10	10	10
Cadmio	0.01		0.005	
		0.005		0.005
Cromo	0.05	0.05	0.05	0.05
Fluoruro	4.0	1.5	NS"	1.5
Plomo	0.05	0.05	0.05	0 05
Mercurio	0 002	0 001	0 001	0 001
Nitrato	10.0	10.0	10.0	10.0
Selenio	0.01	0.01	0.01	0.01
Plata	0.05	0.05	0.01	NS
Microbiales:			_	
Coliformes /100ml	< 1	10	0	0
Turbiedad - ntu	1 - 5	5.0	0 - 4	< -1
Orgánicos:				
2: 4 D -	0.1	0.1	NS NS	0.001
Endrin	0.0002	0.0002	NS	NS_
Lindano	0.0004	0.0004	NS	NS
Metoxicloro	0.1	0.1	NS NS	0.001
Plaguicidas (total)	NS	0.1	-0.005	NS
Toxafeno	0 005	0 005	NS	NS
2, 4, 5 TP silvex	0.01	0.01	NS	NS
Trihalometanos	0.10	0.35	0.001	0.03 sólo CHCL ₃
Radionucleados :				
Particulas beta y				
actividad de fotones	4 rcm	NS	NS	1.0 Bq / I§
Sustancia	USA máximo nivel	Canadá máximo límite	CEE concentración	OMS valor del
	contaminante mg/l	aceptable* mg/l	máxima admisible* mg/l	lineamiento mg/l
Actividad de				
particulas alfa	15 pCl / l	NS	NS	1.0 Bq / I§
Radio -226 y 228	5 pCi / I	1 Bq / Is	NS	NS
Químicos orgán.				
Volátiles:				
Benceno	0.005	NS	. NS	0.01
Tetracloruro de		-		
carbono	0.005	NS	NS	0.003
1.1 Dicloroetileno	0.007	NS	NS	0.003
1.2 Dicloroetano	0.005	NS	NS	0.01
para Diclorobenceno	0.075	NS	NS	NS
1.1.1Tricloroetano	0.2	NS	NS	NS
Tricloroetileno	0.005	NS	NS	0.03
Cloruro de vinilo	0.002	NS	NS	NS

Fuente: Sayre (1988).

^{*} Sancionable + No sancionable ++ (NS) no hay estándares § Bequereles por lts.

Normas para la clasificación de las aguas, así como los niveles de calidad exigibles de acuerdo con los usos a que se destinen, establecido para Venezuela.

Cuadro 11-23. Aguas destinadas al uso doméstico (agua potable) y uso agropecuario.

Elementos o compuestos	Agua Potable limites (mg / l)	Uso Agrícola limites (mg / ha)
Aceites minerales	0.3	-
Aluminio	0.2	1.0
Arsénico total	0 05	0 05
Bario total	1.0	1.0
Cadmio total	0.01	0.005
Cianuro total	0.1	0.2
Cloruros	600	-
Cobre total	1.0	0.20
Cromo total	0.05	0.05
Detergentes	1 0	-
Dispersantes	1.0	-
Dureza expresada como CA CO3	500	1/0
Extracto de carbono al cloroformo	0.15	V G .
Fenoles	0.002	-
Hierro total	1.0	1.0
Manganeso total	0.1	0.5
Mercurio total	0.01	0.01
Nitritos + nitratos (N)	10.0	-
Plata total	0.05	0.05
Plomo total	0.05	0.05
Selenio	0.01	0.01
Sodio	200	-
Solidos disueltos totales	1500	3000
Sulfatos	400	-
Vanadio	-	10.0
Zinc	5.0	5.0
Biocidas		
Organofosforados y carbamatos	0.1	0.1
Organoclorados	0.2	0.2

Fuente: Gaceta oficial N° 5,021. - Decreto presidencial N° 883.

ANEXO F : ARCHIVO DE ENTRADA DEL MODELO SWRRB-WQ.

Microcuenca Zarzales La Grande, Bailadores, Edo, Merida.

10/23/96

17:40:46

SWRRBWQ 08/02/91 IBM PC VERSION 1.0

```
Bailadores
    NO YRS = 8
    BASIN AREA = 24.790 KM**2
    AVE A RAINFALL/AVE A FOR GAGE
      SUBBASIN
            1.30
             1.30
             1.30
             1.30
             1.30
             1.30
             1.30
            1.30
            1.30
        10
            1.30
                      1.000
    BASEFLOW FACTOR =
    BASIN LAG TIME = 30.00 D
    GENERATOR CYCLES =
    WATER STATS ≠ 0
    SEDIMENT STATS = 0
    GENERATOR SEEDS
                                  digital.ula.ve
          683 45 175 47
245 31 481 12
41 92 363 7
615 93 921 46
          495 2 223 56
          537 97 135 13
           449 55 355 81
          740 73 233 41
          840 50 560 96
    CENTROID COORDINATES OF SUB AREAS(KM)
            .00
                   .00
                           .00
                                                         .00
                                                                 .00
                                                                        .00
                                          .00
                                                  .00
     .00
    CENTROID COORDINATES OF SUB AREAS(KM)
                                                                 .00
                                                                        .00
                                                  .00
                                                         .00
     .00
          .00
                  .00
                         .00
                                          .00
    TP-40 RAINFALL AMOUNTS (10 YR FREQ) FOR DUR
         0.5 H = 46.00 MM
         6H= 78.00 NM
    NO YRS RECORD MAX.5H RAIN= 14.0
    LATITUDE= 8.15 DEG
    GROUNDWATER DATA
INITIAL GROUNDWATER HEIGHT =
INITIAL GROUNDWATER FLOW =
                            .00000 MM
                .00000
ALPHA FACTOR =
SPECIFIC YIELD =
                 .00000
GROUNDWATER DELAY =
                   .00000 DAYS
```

Microcuenca Zarzales La Grande Bailadores Edo Mérida.

Bailadores

CLINATE DATA

RAINFALL DATA USED IN THIS RUN ARE: **MEASURED SINGLE RAINGAGE**

TEMPERATURE DATA USED IN THIS RUN ARE;
SIMULATED SINGLE TEMP FOR ENTIRE BASIN

		-MO RAIN W/D	PROB W/W	-MO STATS MEAN	FOR DAI	LY RAIN- SKW CF			
		.056 .131 .187 .131 .206 .236 .331 .293 .243 .221 .247	. 222 . 478 . 514 . 587 . 447 . 481 . 558 . 438 . 476 . 539	3.650 4.742 5.577 7.111 7.266 4.099 4.277 5.253 5.425 7.325 6.179 5.120	4.943 6.570 7.574 7.616 8.459 4.689 4.143 6.021 5.134 7.521 6.869 5.380	3.310 2.297 2.176 1.588 1.827 2.659 2.031 2.333 1.633 1.696 1.809 2.233			
	R5MX	TMX	THE	CRA .	CVT 1	RAIN DA	AYP	ALPH	ia.ve
JAN FEB MAR APR JUN JUL AUG SEP OCT NOV DEC YR	9.20 7.90 21.90 19.80 39.20 14.00 26.20 19.60 31.30 21.30 11.20 12.60 19.52	17.21 18.63 18.83 18.98 18.89 18.01 18.35 18.35 17.82 17.70 18.35	11.06 11.86 12.39 13.33 13.48 12.76 12.69 12.05 12.55 13.23 11.38 12.52	391.00 360.00 343.00 325.00 342.00 345.00 345.00 385.00 377.00 353.00 361.00 357.75	.06 .07 .06 .04 .04 .03 .05 .03	27.59	2.08 5.82 8.61 7.22 8.41 9.38 3.27 0.62 9.50 0.05 1.21 5.12	.49 .42 .42 .51 .46 .69 .55 .58 .55 .40	

10/23/96 17:40:46

Microcuenca Zarzales La Grande Bailadores Edo Mérida.

Bailadores

CROP DATA

SUBBASIN 1

CROT 1	CROP 2	CROP 3
NUMBER OF CROPS = 2		
PLANTING DATE = 2/28	PLANTING DATE = 8/5	PLANTING DATE = 0/0
CURVE NO PLANTING = .0	CURVE NO PLANTING = .0	CURVE NO PLANTING = .0
HARVEST DATE = 7/30	HARVEST DATE = 12/10	HARVEST DATE = 0/0
CURVE NO HARVEST = .0	CURVE NO HARVEST = .0	CURVE NO HARVEST = .0
TILLAGE OPER = 2	TILLAGE OPER = 2	TILLAGE OPER = 0
POT HEAT UNITS= 882. C	POT HEAT UNITS= 716. C	POT HEAT UNITS= 0. C
BIOMASS CONV. = 15.00	BIONASS CONV. = 15.00	BIOMASS CONV. = .00
WATER STRESS FAC = .01	WATER STRESS FAC = .01	WATER STRESS FAC = .00
HARVEST INDEX = .95	HARVEST INDEX = .95	HARVEST INDEX = .00
LEG (1=NO, 2=YES) 1	LEG (1=NO, 2=YES) 1	LEG (1=NO, 2=YES) 0
AVE C FACTOR = .40	AVE C FACTOR = .40	AVE C FACTOR = .00

FERTILIZER

CROP APP.	1 Date	N (KG/HA)	P (KG/HA)	CROP 2 DATE	(KG/HA)	P (KG/HA)	CROP 3 DATE	(KG/HA)	P (KG/HA)	la ve
1 2 3 4 5	3/15 4/25 0/ 0 0/ 0 0/ 0	154.00 154.00 .00 .00	63.00 63.00 .00 .00	9/10 10/20 0/ 0 0/ 0 0/ 0	154.00 154.00 .00 .00	63.00 63.00 .00 .00	0/ 0 0/ 0 0/ 0 0/ 0 0/ 0	.00 .00 .00 .00	.00 .00 .00 .00	

PESTICIDE

(KG/HA)	APPLIED (KG/HA)	PEST No.		APPLIED (KG/HA)	PEST No.		APPLIED	PEST No.
3/ 1	.50	1	8/6	.50	1	0/0	.00	0
3/15	2.00	3	8/20	5.00	Š	0/ 0	.00	Ó
4/16	5.00	2	9/15	2.00	3	0/ 0	.00	Ó
5/17	5.00	4	10/8	5.00	2	0/ 0	.00	0
6/15	5.00	5	11/ 5	5.00	5	0/0	.00	0

	APPLIED (NK)		APPLIED (NOM)		APPLIED (MM)
0/ 0 0/ 0	. 0 0 .00	0/ 0 0/ 0	.00 .00	0/ 0 0/ 0	.00.
0/ C	.00	0/ 0	.00	0/ 0	. 0 0
0/0	.00	0/0	.00	0/0	.00
0/0	.00	0/0	. 0 0	0/0	.00

Bailadores

CROP DATA

SUBBASIN 2

CROP 1	CROP 2	CROP 3
NUMBER OF CROPS = 2		
PLANTING DATE = 3/15	PLANTING DATE = 7/30	PLANTING DATE = 0/0
CURVE NO PLANTING = .0	CURVE NO PLANTING = .0	CURVE NO PLANTING = .0
HARVEST DATE = 7/18	HARVEST DATE = 11/30	HARVEST DATE = 0/0
CURVE NO HARVEST = .0	CURVE NO HARVEST = .0	CURVE NO HARVEST = .0
TILLAGE OPER = 2	TILLAGE OPER = 2	TILLAGE OPER = 0
POT HEAT UNITS= 734. C		POT HEAT UNITS= 0. C
BIOMASS CONV. = 15.00	BIOMASS CONV. = 15.00	BIONASS CONV. = .00
WATER STRESS FAC = .01	WATER STRESS FAC = .01	WATER STRESS FAC = .00
HARVEST INDEX = .95	HARVEST INDEX = .95	HARVEST INDEX = .00
LEG (1=NO, 2=YES) 1	LEG (1=NO, 2=YES) 1	LEG (1=NO, 2=YES) 0
AVE C FACTOR = .40		AVE C FACTOR = .00

FERTILIZER

CROP APP.		ľE	N	P	CROP 2 DATE	N	P	CROP 3 DATE	N	P_
1 2	4/5/	13	(KG/HA) 154.00 154.00	(KG/HA) 63.00 63.00	8/ 7 9/10	(KG/HA) 154.00 154.00	(KG/HA) 63.00 63.00	0/ 0 0/ 0	(KG/HA) .00 .00	(KG/HA) .00 .00
3	0/ 0/	0	.00	.00	0/ 0 0/ 0 0/ 0	.00 .00	.00.	0/ 0 0/ 0 0/ 0	.00 .00 .00	.00

PESTICIDE

(KG/HA)	APPLIED (KG/HA)	PEST No.		APPLIED (KG/HA)	PEST No.		APPLIED	PEST No.
3/16	.50	1	7/31	.50	1	0/0	.00	0
4/5	2.00	3	8/30	2.00	3	0/ 0	.00	0
5/7	5.00	2	9/5	5.00	2	0/0	.00	0
5/15	5.00	4	9/15	5.00	4	0/0	.00	0
6/5	5.00	5	10/20	5.00	5	0/0	.00	0

	APPLIED (NM)		APPLIED (MM)	APPLIED (MN)		
0/0	.00	0/0	.00	0/0	.00	
0/0	.00	0/ 0	.00	0/0	.00	
0/0	.00	0/0	.00	0/0	.00	
0/0	.00	0/0	.00	0/0	.00	
0/0	.00	0/0	.00	0/0	.00	

SWRRBWQ 08/02/91 IBM PC VERSION 1.0

Microcuenca Zarzales La Grande Bailadores Edo Mérida.

Bailadores

1	100	'n	n	١	'n

SUBRASIN 3 CROP 1	CROP 2	CROI: 3
NUMBER OF CROPS = 1 PLANTING DATE = 0/0 CURVE NO PLANTING = .0	PLANTING DATE = 0/0 CURVE NO PLANTING = .0	PLANTING DATE = 0/0 CURVE NO PLANTING = .0
HARVEST DATE = 0/0 CURVE NO HARVEST = .0 TILLAGE OPER = 4	HARVEST DATE = 0/0 CURVE NO HARVEST = .0 TILLAGE OPER = 0	HARVEST DATE = 0/0 CURVE NO HARVEST = .0 TILLAGE OPER = 0
POT HEAT UNITS=5432. C BIOMASS CONV. = 16.50	POT HEAT UNITS= 0. C BIOMASS CONV. = .00	POT HEAT UNITS= 0. C BIOMASS CONV. = .00
WATER STRESS FAC = .00 HARVEST INDEX = .76 LEG (1=NO,2=YES) 1	WATER STRESS FAC = .00 HARVEST INDEX = .00 LEG (1=NO,2=YES) 0	WATER STRESS FAC = .00 HARVEST INDEX = .00 LEG (1=NO, 2=YES) 0
AVE C FACTOR = .00	AVE C FACTOR = .00	AVE C FACTOR = .00

FERTILIZER

CROP APP.	l Date	N (KG/HA)	P (KG/HA)	CROP 2 DATE	(KG/HA)	P (KG/HA)	CROP 3 DATE	(KG/HA)	P (KG/HA)	ıla.ve
1 2 3 4 5	0/ 0 0/ 0 0/ 0 0/ 0	.00 .00 .00	.00 .00 .00 .00	0/ 0 0/ 0 0/ 0 0/ 0 0/ 0	.00 .00 .00 .00	.00 .00 .00 .00	0/ 0 0/ 0 0/ 0 0/ 0 0/ 0	.00 .00 .00 .00	.00 .00 .00 .00	

PESTICIDE

(KG/HA)	APPLIED (KG/HA)	PEST No.		APPLIED (KG/HA)	Pest No.			APPLIED	PEST No.
0/0	.00	0	0/0	.00	0	0/ ()	.00	0
0/ 0	.00	Ò	0/ 0	.00	Ó	0/ (}	.00	0
0/0	.00	Ŏ	O/O	.00	0	0/ ()	.00	0
õ/ õ	.00	Ŏ	Ö/ Ö	.00	Ö	0/ ()	.00	0
o/ o	.00	Ö	C/ O	.00	0	0/ ()	.00	Ó

	(NK) Whited		APPLIED (MH)	APPLIED (MM)		
0/ 0 0/ 0 0/ 0 0/ 0 0/ 0	.00 .00 .00 .00	0/ 0 0/ 0 0/ 0 0/ 0 0/ 0	.00 .00 .00 .00	0/ 0 0/ 0 0/ 0 0/ 0 0/ 0	.00 .00- .00 .00	

Nicrocuenca Zarzales La Grande.Bailadores.Edo.Mérida.

Bailadores

CROP DATA

SUBBASIN	4
----------	---

CROP 1	CROP 2	CROT: 3
NUMBER OF CROPS = 1	DIBUTTUO DETE _ 0/0	DIAMPING DATE ~ 0/0
PLANTING DATE = 0/0 CURVE NO PLANTING = .0	PLANTING DATE = 0/0 CURVE NO PLANTING = .0	PLANTING DATE = 0/0 CURVE NO PLANTING = .0
HARVEST DATE = 0/0 CURVE NO HARVEST = .0	HARVEST DATE = 0/0 CURVE NO HARVEST = .0	HARVEST DATE = 0/0 CURVE NO HARVEST = .0
TILLAGE OPER = 4 POT HEAT UNITS=5432. C		TILLAGE OPER = 0 POT HEAT UNITS= 0. C
BIOMASS CONV. = 35.00 WATER STRESS FAC = .01	BIOMASS CONV. = .00	
HARVEST INDEX = .42	HARVEST INDEX = .00	HARVEST INDEX = .00
AVE C FACTOR = .04		LEG (1=NO, 2=YES) 0 AVE C FACTOR = .00

FERTILIZER

CROP APP.	l Date	N (KG/HA)	P (KG/HA)	CROP 2 DATE	(KG/HA)	F (KG/HA)	CROP 3 DATE	(KC/HY)	P (KG/HA)	la.	VE
1	0/ 0	.00	.00	0/0	.00	.00	0/0	.00	.00		
2	0/0	.00	.00	0/0	.00	.00	0/0	.00	.00		
3	0/0	.00	.00	0/0	.00	.00	0/0	.00	.00		
4	0/0	.00	.00	0/0	.00	.00	0/0	.00	.00		
5	0/0	.00	.00	0/0	.00	.00	0/0	.00	.00		

PESTICIDE

(KG/HA)	APPLIED (KG/HA)	PEST No.		APPLIED (KG/HA)	PEST No.		APPLIED	PEST No.
0/0	.00	0	0/0	.00	0	0/ 0	.00	0
O/ O	.00	Ô	0/0	.00	0	0/0	.00	0
O/O	.00	Ō	0/ 0	.00	Ö	0/0	.00	0
0/0	.00	0	0/0	.00	0	0/0	.00	0
O/ O	.00	Û	0/0	.00	0	0/0	.00	0

APPLIED (MM)			APPLIED (MM)		APPLIED (MM)		
0/ 0 0/ 0 0/ G 0/ 0 0/ 0	.00 .00 .00 .00	0/ 0 0/ 0 0/ 0 0/ 0 0/ 0	-00 -00 -00 -00	0/ 0 0/ 0 0/ 0 0/ 0 0/ 0	.00 .00 .00 .00		

Microcuenca Zarzales La Grande.Bailadores.Edo.Nérida.

Bailadores

CROP DATA

SUBBASIN	
----------	--

CROP 1	CROI 2	CROP 3
NUMBER OF CROPS = 1	DI SAIMTAKA DEMP. A / A	Disampano pamp 0/0
PLANTING DATE = 0/0	PLANTING DATE = 0/0	PLANTING DATE = 0/0
CURVE NO PLANTING = .0	CURVE NO PLANTING = .0	CURVE NO PLANTING = .0
HARVEST DATE = 0/0	HARVEST DATE = 0/0	HARVEST DATE = 0/0
CURVE NO HARVEST = .0	CURVE NO HARVEST = .0	CURVE NO HARVEST = .0
TILLAGE OPER = 4	TILLAGE OPER = 0	TILLAGE OPER = 0
POT HEAT UNITS=5432. C	POT HEAT UNITS= 0. C	POT HEAT UNITS= 0. C
BIOMASS CONV. = 16.50 WATER STRESS FAC = .00	BIONASS CONV. = .00	BIOMASS CONV. = .00 WATER STRESS FAC = .00
HARVEST INDEX = .76	HARVEST INDEX = .00	HARVEST INDEX = .00
LEG (1=NO,2=YES) 1	LEG (1=NO,2=YES) 0	LEG (1=NO, 2=YES) 0
AVE C FACTOR = .00	AVE C FACTOR = .00	AVE C FACTOR = .00

FERTILIZER

CROP APP.	1 Date	N (KG/HA)	P (KG/HA)	CROP 2 DATE	N (KG/HA)	P (KG/HA)	CROP 3 DATE	(KG/HA)	P (KG/HA)	ıla.v	Æ
1	0/0	.00	.00	0/0	.00	.00	0/0	.00	.00		
5	0/0	.00	.00	0/ 0	.00	.00	Ö/ Ö	.00	.00		
3	0/0	.00	.00	Ö/ Ö	.00	.00	0/ 0	.00	.00		
Ă	0/ 0	.00	.00	Õ/ Õ	.00	.00	ő/ ő	.00	.00		
į	0/ 0	.00	.00	0/ 0	.00	.00	0/ 0	.00	.00		

PESTICIDE

(KG/HA)	APPLIED (KG/HA)	PEST No.		APPLIED (KG/HA)	PEST No.		APPLIED	PEST No.
0/0	.00	0	0/ 0	.00	0	0/0	.00	0
0/0	.00	0	0/0	.00	0	0/0	.00	0
0/0	.00	0	0/0	.00	0	0/0	.00	0
0/0	.00	0	0/0	.00	0	0/0	.00	0
0/0	.00	0	0/0	.00	0	0/0	.00	0

APPLIED (MM)			APPLIED (MM)			(MM) Applied
0/ 0 0/ C 0/ 0 0/ 0 0/ 0	00 .00 .00 .00	0/ 0 0/ 0 0/ 0 0/ 0 0/ 0	.00 .00 .00 .00	0/ 0/ 0/ 0/	00000	.00 .00 .00 .00

Microcuenca Zarzales La Grande Bailadores Edo Mérida.

Bailadores

CROP DATA

SU			

CROP 1	CROL Z	CKOL 3
NUMBER OF CROPS = 1		
PLANTING DATE = 0/0	PLANTING DATE = 0/0	PLANTING DATE = 0/0
CURVE NO PLANTING = .0	CURVE NO PLANTING = .0	CURVE NO PLANTING = .0
HARVEST DATE = 0/0	HARVEST DATE = 0/0	HARVEST DATE = 0/0
CURVE NO HARVEST = .0		
TILLAGE OPER = 4	TILLAGE OPER = 0	TILLAGE OPER = 0
POT HEAT UNITS=5432. C	POT HEAT UNITS= 0. C	
BIOMASS CONV. = 30.00	BIONASS CONV. = .00	BIOMASS CONV. = .00
WATER STRESS FAC = .01	WATER STRESS FAC = .00	WATER STRESS FAC = .00
HARVEST INDEX = .90	HARVEST INDEX = .00	HARVEST INDEX = .00
	LEG (1=NO, 2=YES) 0	LEG (1=NO, 2=YES) 0
AVE C FACTOR = .04	AVE C FACTOR = .00	AVE C FACTOR = .00

FERTILIZER

CROP APP	1 Date	N (KG/HA)	(KG/HA)	CROP 2 DATE	N (KG/HA)	P (KG/HA)	CROP 3 DATE	(KG/HA)	P {KG/HA}	la.	ve
1	0/0	.00	.00	0/0	.00	.00	0/0	.00	.00		
Ž	0/0	.00	.00	0/ 0	.00	.00	0/0	.00	.00		
3	0/0	.00	.00	0/0	.00	.00	0/0	.00	.00		
4	0/0	.00	.00	0/0	.00	.00	0/0	.00	.00		
5	0/0	.00	.00	0/0	.00	.00	0/0	.00	.00		

PESTICIDE

(KG/HA)	APPLIED (KG/HA)	PEST No.		APPLIED (KG/HA)	PEST No.		APPLIED	PEST No.
0/ 0 0/ 0	.00 .00	0	0/ 0 0/ 0	.00	0	0/ 0 0/ 0	.00	0
0/ 0 0/ 0 0/ 0	.00 .00 .00	0	0/ 0 0/ 0 0/ 0	.00 .00 .00	0 0 0	0/ 0 0/ 0 0/ 0	.00 .00 .00	0 0 0

	APPLIED (MM)		APPLIED (MM)	APPLIE (MM)		
0/ 0 0/ 0	.00 . 0 0	0/ 0 0/ 0	.00 .00	0/ 0/	0	.00 00.
O/ O	.00	0/0	.00	0/	0	.00
0/0	. 0 0	0/0	.00	0/	0	.00
0/0	.00	0/0	.00	0/	0	.00

Microcuenca Zarzales La Grande.Bailadores.Edo.Mérida.

Bailadores

CROP DATA

	ISII	

CKOL. 1	CROI 2	CROI 3
NUMBER OF CROPS = 1		
PLANTING DATE = 0/0	PLANTING DATE = 0/0	PLANTING DATE = 0/0
CURVE NO PLANTING = .0	CURVE NO PLANTING = .0	CURVE NO PLANTING = .0
HARVEST DATE = 0/0	HARVEST DATE = 0/0	HARVEST DATE = 0/0
CURVE NO HARVEST = .0	CURVE NO HARVEST = .0	CURVE NO HARVEST = .0
TILLAGE OPER = 4	TILLAGE OPER = 0	TILLAGE OPER = 0
POT HEAT UNITS=5432. C	POT HEAT UNITS= 0. C	POT HEAT UNITS= 0. C
BIONASS CONV. = 16.50	BIOMASS CONV. = .00	
WATER STRESS FAC = .00	WATER STRESS FAC = .00	WATER STRESS FAC = .00
HARVEST INDEX = .76	HARVEST INDEX = .00	HARVEST INDEX = .00
LEG (1=NO, 2=YES) 1	LEG (1=NO, 2=YES) 0	LEG (1=NO, 2=YES) 0
AVE C FACTOR = .02	AVE C FACTOR = .00	AVE C FACTOR = .00
		MID O HIGION

FERTILIZER

CROP APP.	1 Date	N (KG/HA)	P (KG/HA)	CROP 2 DATE	N (KG/HA)	P (KG/HA)	CROP 3 DATE	(KG/HA)	P (KG/HA)	la	V
1	0/0	.00	.00	0/0	.00	.00	0/0	.00	.00		
2	0/0	.00	.00	0/0	.00	.00	0/0	.00	.00		
3	0/0	.00	.00	0/0	.00	.00	0/0	.00	.00		
4	0/0	.00	.00	0/ 0	.00	.00	0/0	.00	.00		
5	0/0	.00	.00	0/0	.00	.00	0/0	.00	.00		

PESTICIDE

(KG/HA)	APPLIED (KG/HA)	PEST No.		APPLIED (KG/HA)	PEST NO.		APPLIED	PEST No.
0/0	.00	0	0/0	.00	0	0/0	.00	0
0/0	.00	0	0/0	.00	0	0/0	.00	0
0/0	.00	0	0/0	.00	0	0/0	.00	0
0/0	.00	0	0/0	.00	0	0/0	.00	0
0/0	.00	0	0/ 0	.00	0	0/0	.00	0

	APPLIED (MM)	i	APPLIED (MM)	APPLIE (MM)		
0/ 0 0/ 5 0/ 0 0/ 0	.00 .00 .00 .00	0/ C 0/ O 0/ O 0/ O 0/ O	.00 .00 .00 .00	0/ 0 0/ 0 0/ 0 0/ 0	.00 .00 .00 .00	

SWRRBWQ 08/02/91 IBM PC VERSION 1.0

Microcuenca Zarzales La Grande.Bailadores.Edo.Mérida.

Bailadores

CROP DATA

SUBBASIN 8

CROP 1	CROP 2	CROP 3
NUMBER OF CROPS = 1 PLANTING DATE = 0/0 CURVE NO PLANTING = .0 HARVEST DATE = 0/0 CURVE NO HARVEST = .0 TILLAGE OPER = 4 POT HEAT UNITS=5432. C BIOMASS CONV. = 16.50 WATER STRESS FAC = .00	PLANTING DATE = 0/0 CURVE NO PLANTING = .0 HARVEST DATE = 0/0 CURVE NO HARVEST = .0 TILLAGE OPER = 0	PLANTING DATE = 0/0 CURVE NO PLANTING = .0 HARVEST DATE = 0/0 CURVE NO HARVEST = .0 TILLAGE OPER = 0 POT HEAT UNITS= 0. C BIOMASS CONV. = .00
HARVEST INDEX = .76	HARVEST INDEX = .00	
LEG (1=NO, 2=YES) 1		LEG (1=NO, 2=YES) 0
AVE C FACTOR = .02		AVE C FACTOR = .00

FERTILIZER

CROP APP.	1 Date	N (KG/HA)	P (KG/HA)	CROP 2 DATE	N (KG/HA)	P (KG/HA)	CROP 3 DATE	(KG/HA)	P (RG/HA)	la.	VE
1	0/0	.00	.00	0/0	.00	.00	0/0	.00	.00		
Ž	Ŏ/Ŏ	.00	.00	Ö/ Ö	.00	.00	0/ 0	.00	.00		
3	0/0	.00	.00	0/0	.00	.00	0/0	.00	.00		
4	0/0	.00	.00	0/0	.00	.00	0/0	.00	.00		
5	0/0	.00	.00	0/0	.00	.00	0/0	.00	.00		

PESTICIDE

(KG/HA)	APPLIED (KG/HA)	PEST No.		APPLIED (KG/HA)	Pest No.		APPLIED	PEST No.
0/0	.00	0	0/ 0	.00	0	0/0	.00	0
0/0	.00	0	0/0	.00	0	0/0	.00	0
0/0	.00	0	0/0	.00	0	0/0	.00	0
0/0	.00	0	0/0	.00	0	0/0	.00	0
0/0	.00	0	0/0	.00	0	0/0	.00	0

	APPLIED (NH)	i	APPLIED (MM)				
0/ 0	.00	0/ 0	.00	0/ 0	.00		
0/ 0	.00	0/ 0	.00	0/ 0			
0/ 0	.00	0/ 0	.00	0/ 0	.00		
0/ 0	.00	0/ 0	.00	0/ 0	.00		
0/0	.00	0/0	.00	0/0	.00		

Microcuenca Zarzales La Grande.Bailadores.Edo.Merida.

Bailadores

CROP DATA

SUBBASIN 9

CROP 1	CROT 2	CROP 3
NUMBER OF CROPS = 2		
PLANTING DATE = 3/15	PLANTING DATE = 8/5	PLANTING DATE = 0/0
CURVE NO PLANTING = .0	CURVE NO PLANTING = .0	CURVE NO PLANTING = .0
HARVEST DATE = 7/18	HARVEST DATE = 12/5	HARVEST DATE = 0/0
CURVE NO HARVEST = .0		CURVE NO HARVEST = .0
TILLAGE OPER = 2	TILLAGE OPER = 2	TILLAGE OPER = 0
POT HEAT UNITS= 734. C	POT HEAT UNITS= 692. C	POT HEAT UNITS= 0. C
BIOMASS CONV. = 15.00	BIONASS CONV. = 15.00	BIOMASS CONV. = .00
WATER STRESS FAC = .01	WATER STRESS FAC = .01	WATER STRESS FAC = .00
HARVEST INDEX = .95		
	LEG (1=NO,2=YES) 1	
AVE C FACTOR = .40	AVE C FACTOR =40	AVE C FACTOR = .00

FERTILIZER

CROP	1	N	P	CROP 2	N	P	CROP 3	N	P	la.ve
APP.	Date	(KG/HA)	(KG/HA)	DATE	(KG/HA)	(KG/HA)	DATE	(KG/HA)	(KG/HA)	
1 2 3 4 5	4/16 5/15 0/ 0 0/ 0 0/ 0	154.00 154.00 .00 .00	63.00 63.00 .00 .00	9/10 10/15 0/ 0 0/ 0 0/ 0	154.00 154.00 .00 .00	63.00 63.00 .00 .00	0/ 0 0/ 0 0/ 0 0/ 0 0/ 0	.00 .00 .00 .00	.00 .00 .00 .00	

PESTICIDE

(KG/HA)	APPLIED (KG/HA)	PEST No.		APPLIED (KG/HA)	Pest No.		APPLIED	PEST No.
3/16	.50	1	8/6	.50	1	0/0	.00	0
4/10	2.00	3	9/7	2.00	3	0/ 0	.00	0
5/15	5.00	2	10/10	5.00	2	0/ 0	.00	0
5/30	5.00	` 4	10/19	5.00	4	0/0	.00	0
6/10	5.00	Š	11/ 2	5.00	5	0/ 0	.00	Ó

	APPLIED (MM)		APPLIED (MM)		APPLIED (NH)		
0/ 0 0/ 0 0/ 0 0/ 0	.00 .00 .00 .00	0/ 0 0/ 0 0/ 0 0/ 0 0/ 0	.00 .00 .00 .00	0/ 0/ 0/	0 .00 0 .00 0 .00 0 .00		

Microcuenca Zarzales La Grande Bailadores Edo Mérida.

Bailadores

CROI' DATA

SUBBASIN 10

CROP 1	CROP 2	CROP 3
NUMBER OF CROPS = 2 PLANTING DATE = 2/28 CURVE NO PLANTING = .0 HARVEST DATE = 7/5 CURVE NO HARVEST = .0 TILLAGE OPER = 2 POT HEAT UNITS= 721. C BIOMASS CONV. = 15.00 WATER STRESS FAC = .01	PLANTING DATE = 8/1 CURVE NO PLANTING = .0 HARVEST DATE = 12/10 CURVE NO HARVEST = .0 TILLAGE OPER = 2 POT HEAT UNITS= 741. C BIOMASS CONV. = 15.00 WATER STRESS FAC = .01	PLANTING DATE = 0/0 CURVE NO PLANTING = .0 HARVEST DATE = 0/0 CURVE NO HARVEST = .0 TILLAGE OPER = 0 POT HEAT UNITS = 0. C BIOMASS CONV. = .00 WATER STRESS FAC = .00
HARVEST INDEX = .95	HARVEST INDEX = .95	HARVEST INDEX = .00
LEG (1=NO,2=YES) 1	LEG (1=NO, 2=YES) 1	LEG (1=NO, 2=YES) 0
AVE C FACTOR = $.40$	AVE C FACTOR = .40	AVE C FACTOR $=$.00

FERTILIZER

CROP APP.	l Date	N (KG/HA)	(KG/HA)	CROP 2 DATE	(KG/HA)	(KG/HA)	CROP 3 DATE	N (KG/HA)	P (KG/HA)	la.ve
1	3/30	154.00	63.00	9/25	154.00	63.00	0/0	.00	.00	
2	9/5	154.00	63.00	10/20	154.00	63.00	0/0	.00	.00	
3	0/0	.00	.00	0/0	.00	. 00	0/0	.00	.00	
4	0/0	.00	.00	0/0	.00	.00	0/0	.00	.00	
5	0/0	.00	.00	0/0	.00	.00	0/0	.00	.00	

PESTICIDE

(KG/HA)	APPLIED (KG/HA)	PEST No.		APPLIED (KG/HA)	PEST No.		APPLIED	PEST No.
3/ 1	.50	1	8/2	.50	1	0/0	.00	0
4/10	2.00	3	9/10	2.00	3	0/0	.00	0
5/12	5.00	Ž	10/5	5.00	2	0/ 0	.00	0
5/20	5.00	4	10/15	5.00	4	0/0	.00	0
6/1	5.00	5	11/6	5.00	5	0/0	.00	0

IRRIGATION

1	APPLIED (MM)		APPLIED (MH)	APPLIED (NM)		
0/ 0 0/ 0 0/ 0 0/ 0 0/ 0	.00 .00 .00 .00	0/ 0 0/ 0 0/ 0 0/ 0 0/ 0	.00 .00 .00 .00	0/ 0 0/ 0 0/ 0 0/ 0 0/ 0	.00. 00. 00. 00.	

Microcuenca Zarzales La Grande.Bailadores.Edo.Merida.

Bailadores

	SUBBASIN		IRRIO RIGATE 5.0=NO)	SATION DAT WATER	'A Stress	RUN (1 minus f		at runs off)			
	1 2 3 4 5 6 7 8 9		1 1 0 0 0 0 0 0 0 0 0 0		.45 .40 .00 .00 .00 .00 .00 .40		.80 .80 .00 .00 .00 .00 .00				
SUB-B	ASIN DATA										
	SUB-BA .045		BASIN AREA .101	.100	.182	.178	.156	.138	.025	.042	
	POND C	ATCHMENT 1 .000	AREA FRACTI	ON . 000	.000	.000	.000	.000	.000	.000	
	POND SI	URFACE ARI .00	(AH) AZ 00.	.00	.00	.00	.00	.00	.00	.00	
	MAX POI	ND STORAGI .0	.(MM) 0	.0	.0	.0	.0	.0	.0	.0	
	INTIAL .0	POND STOP	RAGE(MN) .0	.0	.0	.0	.0	.0	.0	.0	
	INITIA O.	L SED CONG 0.	C IN PONDS	PPM) O.	0.	0.	0.	0.	0.	C .	
	NORMAL 0.	SED CONC 0.	IN PONDS(I	PPM) O.	0.	0.	0.	0.	0.	0.	
	SAT CO	NDUCTIVITY .00	FOR POND	BOTTONS (M	M/H) .00	.00	.00	.00	.00	.00	
	RESERV .000	OIR CATCHI .000	KENT AREA I .000	RACTION .000	.000	.000	.000	.000	.000	.000	
			CE AREA AT			Y(HA) .00		.00	.00	.00	
	RESERV .0	OIR STORA	GE AT EMERG .0	GENCY SPIL .0	. (MAY (MM) . ()	.0	.0	.0	.0	.0	
	RESERV . 00		CE AREA AT			AY(HA) .00	.00	.00	.00	.00	
		OIR STORA	GE AT PRING	CIPAL SPIL .0			.0	.0	.0	.0	

IN11 .0	IIAL RESERV .0	OIR STORAG	GE(NN) .0	.0	.0	.0	.0	.0	.0
	RESERVOIR .00000		ATES(M**3/S/ .00000	(KM**2) .00000	. 0 0000	.00000	.00000	.00000	.00000
IN11 0.	rial sed co 0.		ERVOIRS(PPM) 0.	0.	0.	0.	0.	0.	0.
	IAL SED CON 0.		RVOIRS(PPN) 0.	0.	0.	0.	0.	0.	0.
			RVOIR BOTTO .00	MS (MM/H) .00	.00	.00	.00	.00	.00
	OND CN 73.0	52.0	61.0	52.0	74.0	70.0	60.0	73.0	73.0
	L ALBEDO	. 13	.13	.13	.13	.13	.13	.13	.13
	ER CONTENT (.0	.0	.0	.0	.0	.0
	CHANNEL L	ENGTH (KM) 2.09			2.72	21.25	1.02	1.20	2.94
CHAN .1700 .1500	NEL SLOPE() .1400	M/M) .1300	.1600	. 2300	.1500	.2800	.3900	.0900	.0700
	PAGE MAIN CO 2.50	HANNEL WII 2.00	OTH (M) 2.50	2.00	2.50	2.50	2.50	2.00	4.50
			JUVIUM(MM/H) 25.00		25.00	25.00	25.00	25.00	25.00
CHA) .050 .065	NEL N VALU .050	. 050	.050	.050	.050	.050	.050	.050	.050
	RLAND FLOW 1	N VALUE .240	.600	. 240	.600	. 240	.150	.060	.060
TIME .58 1.28		TRATION FO	OR SUB-BASIN 1.23	IS(H) .66	1.04	.63	.45	. 44	.76
RET 500.	FLO SED CO	NC (PPM) 500.	500.	500.	500.	500.	500.	500.	500.
RET . 000	FLO TRAVEL .000	TIME(D) .000	.000	.000	.000	.000	.000	.000	.000
\$108. 108. 80.	PE LENGTH(M 80.	8 7.	84.	86.	8 Ú.	75.	102.	98.	100.

	SLOPE 3100 4000	STEEPNESS .3900		.4300	.3600	. 4200	.3600	.4100	. 2900	. 2600
	EROS1	ON CONTROL 1.00	PRACTICE 1.00		1.00	1.00	1.00	1.00	1.00	1.00
2	SLOPE 0.10	LENGTH AND 25.33	D STEEPNE: 15.66	SS FACTORS 31.44	(LS) 23.00	29.23	21.18	32.34	16.82	14.02
		ROUTING	DATA S	SUB BASIN!	TO BASIN O	UTLET				
	AVE C 4.50	HANNEL WID' 2.50	TH(M) 2.00	2.50	2.00	2.50	2.50	2.50	2.00	4.50
	AVE C	HANNEL DEP!	TH(M) .30	. 35	.40	. 30	.35	.30	.30	.45
	CHANN . 00	EL SLOPE(N. .07	/M) .10	.04	.11	.07	.13	.16	.00	.00
	CHANN . 00	EL LENGTH(1 2.84	KM) 4.94	2.56	5.54	1.89	3.93	2.53	1.24	.00
	CHANN . 05	EL N VALUE .05	.05	.05	.05	.05	.05	.05	.05	.05
. 3	HYDR 0.00	COND OF CH 30.00	ANNEL ALLI 40.00	JVIUM(MM/H 30.00	30.00	30.00	30.00	30.00	30.00	30.00
	USLE .110	SOIL FACTOR	R K FOR CI	ANNEL .070	. 0 70	.120	.120	.070	.080	.070
	USLE .400	SOIL FACTOR	R C FOR CI	ANNEL .040	.004	.040	.020	.020	.400	.400
		PESTICII	DE DATA							
	1 - INIT 0000	IAL PEST OF .0000	N FOLIAGE .0000	.0000	.0000	.0000	.0000	.0000	.0000	.0000
	INITI 0000	AL PEST ON .0000	GROUND .0000	.0000	.0000	.0000	.0000	.0000	.0000	. 0 000
	ENRIC 0000	HMENT RATIO	OS FOR PE: .0000	STICIDES .0000	.0000	.0000	.0000	.0000	.0000	.0000
	2 - INIT 0000	IAL PEST OF .0000	N FOLIAGE .0000	. 00 00	.0000	.0000	.0000	.0000	.0000	.0000
	INIT1 0000	AL PEST ON .0000	GROUND 0000	.0000	.0000	.0000	.0000	.0000	.0000	.0000
•	ENRIC 0000	HMENT RATIO	OS FOR PE	STICIDES .0000	.0000	.0000	. 00 00	. 00 00	.0000	.0000
	3 - INIT 0000	IAL PEST OF	N FOLIAGE .0000	.0000	. 0 000	.0 000	.0000	.0000	.0000	.0000
	INITI 0000	AL PEST ON .0000	GROUND .0000	.0000	.0000	.0 000	.0000	.0000	.0000	.0000

	TOTAL NO	OF PESTIC	IDES SIMUL	ATED = 5)	•				HALF LIFE
		MENT RATIO .0000		1CIDES .0000	.0000	.0000	.0000	.0000	.0000	.0000
		L PEST ON (.0000	.0000	.0000	.0000	.0000	.0000	. 0 000
PEST	. 5 - INITI .0000		FOLIAGE .0000	.0000	.0000	.0000	.0000	.0000	.0000	.0000
		MENT RATIO: .0000		ICIDES .0000	.0000	.0000	.0000	.0000	.0000	.0000
		L PEST ON (.0000	.0000	.0000	.0000	.0000	.0000	.0000
PEST		AL PEST ON .0000		.0000	.0000	.0000	.0000	.0000	.0000	.0000
		MENT RATIO: .0000	S F OR PEST . 0 000	1CIDES .0000	.0000	.0000	.0000	.0000	.0000	.0000

11	CÈ.	LIF	

	PEST	KOC	WASH OFF FRAC.	ON FOLIAGE	IN SOIL	APPL. EFF	WATER SOLU.	
1 2 3 4 5	Paraquat Dithane Furadan Methyl Par Spectracid	1000000.0 10000.0 40.0 14000.0 227.0	.60 .25 .55 .65	3.00 10.00 1.10 3.00 2.00	99.0000 35.0000 17.0000 5.0000 30.0000	.75 .75 .75 .75	350.00 60.00	.ve

ARCHIVO GENERAL DE SALIDA DEL MODELO SWRRB-WQ:

SWRRBWQ 08/02/91 IBM PC VERSION 1.0

10/23/96 17:40:46

Microcuenca Zarzales La Grande.Bailadores.Edo.Merida.

Bailadores

nn	٩.					٠
50	L	1.	ו	и	Т	A

ST No Sue	LAYER DEPTH (MM) BASIN	1	POROSITY (MM/MM) Homiti	15 BAR SW (MM/MM) ropept ox	.3 BAR SW (MM/MM) iA	AVAIL W ST (MM)	INITIAL W ST (MM)	SAT COND (MM/H)	INITIAL NO3 (G/T)	ORG CARBON (%)
1 2 3 TOTALS	10.0 270.0 4 20.0		.63 .62 .59	.15 .15 .16	.32 .29 .32	1.70 36.40 24.00 62.1	.31 6.69 4.41 11.4	13.30 11.60 7.50	1.28 34.14 21.06	3.33 1.86 1.72
SUE 1 2 3 4 5 6 TOTALS	BASIN 10.0 500.0 810.0 930.0 1150.0		Tropol .55 .58 .59 .61 .49	rthent ti .18 .19 .21 .20 .10	p36 .35 .33 .32 .31 .21	1.80 78.40 37.20 14.40 46.20 24.20 202.2	.33 14.41 6.84 2.65 8.49 4.45 37.2	31.00 9.00 9.00 9.00 50.00 50.00	4.05 184.93 114.89 42.02 100.23 90.51	4.13 3.56 2.19 1.80 .41
SUE 1 2 3 TOTALS	BASIN 10.0 320.0 500.0	3	Homitr .56 .53 .52	ropept ox .09 .11 .20	iF .16 .20 .26	.70 27.90 10.80 39.4	.13 5.13 1.99 7.2	30.00 23.00 47.00	1.64 54.25 32.00	6.00 4.22 2.01
SUE 1 2 TOTALS	BBASIN 10.0 420.0	4	H.ox .54 .52	1A + H.ox .13 .15	iF .22 .24	.90 36.90 37.8	.17 6.78 6.9	15.00 8.00	2.66 113.65	3.14 5.25
SUP 1 2 3 4 TOTALS	BASIN 10.0 360.0 500.0 640.0	5	Tropon .55 .52 .52 .51	rthent ti .16 .17 .14 .12	.28 .27 .21 .20	1.20 35.00 9.80 11.20 57.2	.22 6.43 1.80 2.06 10.5	33.00 33.00 33.00 33.00	1.20 44.10 17.78 18.34	4.78 3.67 1.57 .35
SUE 1 2 3 4 TOTALS	10.0 10.0 500.0 750.0 1150.0	6	Tropor .61 .61 .61 .59	.20 .22 .22 .21 .24	.42 .38 .37 .38	2.20 78.40 40.00 56.00 176.6	.40 14.41 7.35 10.29 32.5	16.00 15.10 7.70 5.10	3.12 152.88 78.00 129.60	4.39 4.85 3.99 2.28
SUI 1 2 3 TOTALS	BBASIN 10.0 510.0 700.0	7	Tropoi .58 .57 .56	rthent ti .19 .23 .23	p. .40 .42 .42	2.10 95.00 36.10 133.2	.39 17.46 6.64 24.5	3.50 2.70 2.50	1.68 85.50 33.34	4.39 4.34 2.43

SUI	BBASIN 8	Tropo	rthent tip.	•					
1 2	10.0 225.0	.51 .51	.07 .07	. 23 . 23	1.60 34.40	. 29 6 . 32	50.00 50.00	1.03 22.53	6.00 6.00
TOTALS	420.0	.25	.15	. 20	9.75 45.7	1.79 8.4	.50	.04	.01
SUI	BBASIN 9	Hapi	udol tipico						
1	10.0	.55	.14	. 29	1.50	. 28	33.00	2.40	2.80
2	290.0	.55	.14	. 32	50.40	9.27	33.00	67.20	3.3 0
3	480.0	. 25	.15	. 20	9.50	1.75	. 50	. 04	.01
TOTALS					61.4	11.3			
SUI	BBASIN 10	Hapi	udol tipico						
1	10.0	.51	.15	. 24	.90	.17	33.00	2.60	2.00
2	480.0	.51	.18	. 29	51.70	9.50	33.00	122.20	2.60
3	780.0	. 25	.15	.20	15.00	2.76	.50	.06	.01
TOTALS					67.6	12.4			

INITIAL COMPOSITE ST = 16.6 MM

SOIL SURFACE LAYER

					ORG	ORG	SOLUBLE	
					(G/N3)	(G/N3)	(G/M3)	
SUB-BASIN	CLAY	SILT	SAND	K				
1	.37	.15	. 48	.11	.00	.00	.00	\mathcal{M}
· 2	.37	.23	.40	.10	1.00	.00	.00	V
3	. 20	. 20	.60	.05	.00	.00	.00	
4	. 26	. 14	.60	. 07	.00	.00	.00	
5	. 34	.06	.60	.07	.00	.00	.00	
6	.48	.16	.36	.12	.00	.00	.00	
7	.42	. 26	.32	.12	.00	.00	.00	
8	.14	.22	. 64	.07	.00	.00	. 0 0	
9	.30	.20	.50	.08	.00	.00	.00	
10	. 29	.15	.56	.07	.00	.00	.00	

SUB-BASIN	SEDIMENT SIZE DISTRIBUTION SIZE(NM)											
DAD-DWOTH	SAND	SILT	CLAY	SM AG	L AG							
	. 20	.01	.002	.03	.50							
1	.152	.020	.074	.534	.221							
2	.127	.030	.074	.534	. 236							
3	.344	.026	.040	.400	.190							
Ĭ	.283	.018	.052	.503	.144							
ξ	.213	.008	.068	.525	.186							
6	.071	.021	.096	.564	.248							
ž	.082	.034	.084	.548	.252							
Ŕ	.440	.029	.028	. 280	. 224							
ă	. 206	.026	.060	.514	.194							
10	239	.020	.058	.511	173							

·: [

Microcuenca Zarzales La Grande Bailadores Edo Mérida.

Bailadores

		AIEI	D LAT	E ET			ORGANIC N	ORGANIC P	SURO NO3	SOL			GN FLON (NO)	GW HT (M)
.00 .00 .03 1.69 .03 3.00 2.04 10.79 10.98 14.32 .40 1.49	.00 .30 .94 3.44 5.14 9.80 15.07 18.74 39.94 36.80 31.92 17.72	.00 .30 .94 4.93 5.14 12.56 16.79 28.78 50.22 49.87 32.12 19.03	.00 6.85 3.46 23.23 5.49 31.90 23.03 38.00 42.08 48.99 18.46 12.87	10.70 41.28 22.30 63.27 39.05 79.82 76.13 72.65 85.02 77.93 71.66 42.95	.00 .00 .01 2.02 .03 2.51 .79 7.59 6.07 5.91	5.94 18.17 21.73 62.46 50.74 71.72 73.93 94.54 80.38 82.30 70.38 70.73	.00 .00 .00 .18 .00 .21 .12 .73 .54 .01	.00 .00 .00 .00 .00 .00 .01 .01	.00 .00 .00 .08 .00 .03 .02 .17 .18 .66	.00 .00 .00 .00 .00 .00 .00	.00 .29 3. .26 1.40 1. .1810.00 8. .24 2.44 1. .3214.93 7. .0710.68 4. .3616.03 7. .2516.14 6. .4317.44 7. .37 4.70 2.	.00 .00 .00 .00 .00 .22 .00 .05 .00 .05 .00 .00 .00 .00 .00 .00	.00 .00 .00 .00 .00 .00 .00	.00 .00 .00 .00 .00 .00 .00
44.77	179.80	220.68	254.36	682.76	25.74	70.73	2.47	.02	1.16	.01	2.4996.7852.	.00	.00	.00
.00 7.79 .02 7.82 .29 .16 .74 3.42 9.42 5.79	7.36 2.65 11.66 9.36 7.53 7.49 6.18 6.03 3.80 9.59 16.04 8.81	7.36 2.65 18.92 9.36 15.04 7.69 6.25 6.63 7.05 18.54 21.33 8.81	. 15 3.63 28.41 2.18 22.24 9.81 16.05 12.08 13.61 24.12 23.65 6.40	13.77 65.79 20.29 55.10 56.62 69.25 49.86 55.52	.04 .01 7.54 .05 7.33 .06 .07 .82 4.64 7.04 2.06	58.22 64.38 71.04 61.08 81.99 66.33 65.42 71.81 71.68 70.27 67.40 57.75	.00 .00 .60 .74 .01 .16 .48 .52	.00 .00 .01 .00 .01 .00 .00 .00 .01 .01	.00 .00 .08 .00 2.34 .00 .03 2.09 .11	.00 .00 .00 .00 .00 .00 .00 .00	.00 .28 .4 .2712.05 3.1 .19 1.16 .2 .33 4.69 2.1 .29 2.12 1. .05 5.75 2.2 .32 3.01 1.4 .27 4.80 1.1 .46 5.41 3.2 .35 8.95 3.1	00 00 00 00 00 00 00 00 00 00 00 00 00	.00 .00 .00 .00 .00 .00 .00	.00 .00 .00 .00 .00 .00 .00
35.46	9 6.50	129.63	162.34	555.50	29.71	57.75	2.75	.03	4.81	.01	2.5449.4322.3	.00	.00	.00
.000 3.88 4.37 4.33 33.51 .01 .14 .73 .21 .00 .17	3.45 3.20 5.56 7.83 46.61 19.71 8.48 5.31 5.99 2.72 1.36	3.45 6.73 9.69 11.86 79.27 19.71 8.54 5.92 6.13 2.72 1.44 24.49	3.57 12.31 18.57 20.38 54.76 7.41 8.08 14.50 10.18 .01 6.35 30.61	60.57	1.68 .14 .01 .03 6.69	73.90 61.42 56.28 60.41 75.04	.00 .19 .41 .51 1.92 .00 .01 .19 .02 .00 .64	.00 .00 .00 .00 .00 .00 .00 .00	.00 .04 2.25 1.41 .39 .00 .00 .18 .00 .00	.00 .00 .00 .01 .00 .00 .00	.00 1.51 2. .27 7.26 2. .22 5.72 2. .2819.99 6. .36 1.56 . .07 1.46 . .28 3.89 1. .24 2.23 1. .34 .02 . .34 3.08 .	26 .00 23 .00 88 .00 11 .00 19 .00 66 .00 17 .00 11 .00 14 .00 88 .00	.00 .00 .00 .00 .00 .00 .00 .00	.00
	.00 .03 .03 .00 .03 .00 .03 .00 .03 .00 .03 .00 .03 .00 .00	SURQ SURQ (MM) .00 .00 .30 .03 .94 1.69 3.44 .03 5.14 3.00 9.80 2.04 15.07 10.79 18.74 10.98 39.94 14.32 36.80 .40 31.92 1.49 17.72 44.77 179.80 .00 7.36 .00 2.65 7.79 11.66 .02 9.36 7.82 7.53 .29 7.49 .16 6.18 .74 6.03 3.42 3.80 9.42 9.59 5.79 16.04 .01 8.81 35.46 96.50 .00 3.45 3.88 3.20 4.37 5.56 4.33 7.83 33.51 46.61 .01 8.81 35.46 96.50	SURQ SURQ YIE1 (NM) (NM) (NM) (NM) (NM) (NM) (NM) (NM)	SURO SURO YIELD LAT (NM) (NM) (NM) (NM) (NM) (NM) (NM) (NM)	SURQ SURQ (NM) (NM) (NM) (NM) (NM) (NM) (NM) (NM)	SURO SURO YIELD LATE ET YIELD (NM) (NM) (NM) (NM) (NM) (NM) (NM) (NM)	SURQ (NM) (NM) (NM) (NM) (NM) (NM) (NM) (NM)	SURO (MM) (MM) (MM) (MM) (MM) (T/IMA) (MM) .00	SURO (NM) (NM) (NM) (NM) (NM) (NM) (NM) (NM)	SURC (MM) (MM) (MM) (MM) (MM) (T/HA) (MM) (MM) (MM) (T/HA) (MM) (MM) (MM) (MM) (MM) (MM) (MM) (M	SURO SURO (NM) (NM) (NM) (NM) (NM) (T/IIA) (NM) N P NO3 P (NM) (NM) (NM) (NM) (NM) (NM) NM) P NO3 P NO3 P NO3 P NO3 P NO3 P NO3 P NO3 P NO3 P NO3 P NO3 P NO3 P NO3 P NO3 P NO3 P NO3 P NO3 P NO3 P NO3 P NO3 P NO3 P NO3 P NO3 P NO3 P NO3 P NO3 P NO3 P NO3 P NO3 P NO3 P NO3 P NO3 P NO3 P NO3 P NO3 P NO3 P NO3 P NO3 P NO3 P NO3 P NO3 P NO3 P NO3 P NO3 P NO3 P NO3 P NO3 P NO3 P NO3 P NO3 P NO3 P NO3 P NO3 P NO3 P NO3 P NO3 P NO3 P NO3 P NO3 P NO3 P NO3 P NO3 P NO3 P NO3 P NO3 P NO3 P NO3 P NO3 P NO3 P NO3 P NO3 P NO3 P NO3 P NO3 P NO3 P NO3 P NO3 P NO3 P NO3 P NO3 P NO3 P NO3 P NO3 P NO3 P NO3 P NO3 P NO3 P NO3 P NO3 P NO3 P NO3 P NO3 P NO3 P NO3 P NO3 P NO3 P NO3 P NO3 P NO3 P NO3 P NO3 P NO3 P NO3 P NO3 P NO3 P NO3 P NO3 P NO3 P NO3 P NO3 P NO3 P NO3 P NO3 P NO3 P NO3 P NO3 P NO3 P NO3 P NO3 P NO3 P NO3 P NO3 P NO3 P NO3 P NO3 P NO3 P NO3 P NO3 P NO3 P NO3 P NO3 P NO3 P NO3 P NO3 P NO3 P NO3 P NO3 P NO3 P NO3 P NO3 P NO3 P NO3 P NO3 P NO3 P NO3 P NO3 P NO3 P NO3 P NO3 P NO3 P NO3 P NO3 P NO3 P NO3 P NO3 P NO3 P NO3 P NO3 P NO3 P NO3 P NO3 P NO3 P NO3 P NO3 P NO3 P NO3 P NO3 P NO3 P NO3 P NO3 P NO3 P NO3 P NO3 P NO3 P NO3 P NO3 P NO3 P NO3 P NO3 P NO3 P NO3 P NO3 P NO3 P NO3 P NO3 P NO3 P NO3 P NO3 P NO3 P NO3 P NO3 P NO3 P NO3 P NO3 P NO3 P NO3 P NO3 P NO3 P NO3 P NO3 P NO3 P NO3 P NO3 P NO3 P NO3 P NO3 P NO3 P NO3 P NO3 P NO3 P NO3 P NO3 P NO3 P NO3 P NO3 P NO3 P NO3 P NO3 P NO3 P NO3 P NO3 P NO3 P NO3 P NO3 P NO3 P NO3 P NO3 P NO3 P NO3 P NO3 P NO3 P NO3 P NO3 P NO3 P NO3 P NO3 P NO3 P NO3 P NO3 P NO3 P NO3 P NO3 P NO3 P NO3 P NO3 P NO3 P NO3 P NO3 P NO3 P NO3 P NO3 P NO3 P NO3 P NO3 P NO3 P NO3 P NO3 P NO3 P NO3 P NO3 P NO3 P NO3 P NO3 P NO3 P NO3 P NO3 P NO3 P NO3 P NO3 P NO3 P NO3 P NO3 P NO3 P NO3 P NO3 P NO3 P NO3 P NO3 P NO3 P NO3 P NO3 P NO3 P NO3 P NO3 P NO3 P NO3 P NO3 P NO3 P NO3 P NO3 P NO3 P NO3 P NO3 P NO3 P NO3 P NO3 P NO3 P NO3 P NO3 P NO3 P NO3 P NO3 P NO3 P NO3 P NO3 P NO3 P NO3 P NO3 P NO3 P NO3 P NO3 P NO3 P NO3 P NO3 P NO3 P NO3 P NO3 P NO3 P NO3 P NO3 P NO3 P NO3 P NO3 P NO3 P NO3 P NO3 P NO	SURC SURC SURC VIELD LATE ET VIELD SH N P NO3 P NO3 SURG SURG SURG VIELD LATE ET VIELD SM N P NG3 P NO3 NO3 VOL (NM) (SURP SURP SURP TIELD LATE ET YIELD SAN N P No.3 P NO.3 NO.3 NO.3 NO.3 NO.4 NO.4 NA.4	

Microcuenca Zarzales La Grande Bailadores Edo Merida.

Bailadores

	R (MOK)	SURO (NM)	SUB SUR() (MM)	WATE Ylei (MM)	d lat	CO E ET) (NOM)	SED YIELD (T/HA)	(NW)	ORGANIC N	ORGANIC P	SURQ No3	SOL P	CROP SSQ PERC NO3 NO3 NO3 (KG/HA)	RES. Vol (MM)	GW FLOW (MM)	GW HT (M)
1 2 3 4 5 6 7 8 9 10 11 12	10.40 7.80 82.16 98.93 82.16 34.84 69.42 55.12 87.10 75.79 118.43 50.05	.00 .00 2.73 10.95 3.45 .00 .23 .10 .91 1.92 2.29	7.35 2.57 5.18 11.25 9.13 6.25 4.11 4.13 3.56 5.97 6.65 8.09	7.35 2.57 7.65 21.84 12.22 6.25 4.25 4.19 4.29 7.72 8.56 8.16	2.51 1.92 16.06 23.11 15.70 7.03 12.01 10.22 15.31 13.96 22.87 9.56	23.91 9.83 45.40 43.94 48.98 42.17 50.57 59.44 63.52 57.59 71.55 47.97	.04 .01 4.15 12.28 1.23 .03 .18 .12 1.12 1.02 .79	58.13 57.64 68.53 72.18 80.26 67.69 73.39 57.47 62.93 61.19 72.95 62.03	.00 .00 .45 .95 .15 .00 .05 .02 .14 .12	.00 .00 .00 .01 .00 .00 .00 .00	.00 .03 .81 .10 .00 .20 .97 .03	.00 .00 .00 .00 .00 .00 .00	.00 .62 .33 .00 .18 .20 .28 6.41 2.54 .25 8.15 2.67 .30 2.92 1.98 .32 3.38 .97 .06 4.93 1.39 .30 3.94 1.40 .26 5.53 2.22 .37 3.70 1.86 .29 9.51 3.65 .02 2.20 1.20	.00 .00 .00 .00 .00 .00 .00	.00 .00 .00 .00 .00 .00 .00	.00 .00 .00 .00 .00 .00 .00
91	772.20	22.69	74.24	95.03	150.26	564.86	21.04	62.03	2.02	.02	2.21	.00	2.4651.4720.42	.00	.00	.00
1 2 3 4 5 6 7 8 9 10 11 12	3.64 3.90 1.56 30.94 35.49 35.36 127.27 56.29 60.58 49.53 116.87 32.76	.00 .00 .00 .03 .68 .06 3.31 .25 .00 1.91 4.13	3.82 1.42 .64 1.36 1.64 5.90 6.27 3.53 4.44 5.06 6.85	3.82 1.42 .64 .55 1.93 1.68 9.05 6.45 3.53 6.26 8.84 6.85	1.03 .87 .40 5.24 6.02 6.70 24.72 10.49 10.25 8.25 23.68 6.56	5.86 4.91 16.10 21.19 38.03 74.52 54.84 49.18 37.88 65.84	.01	54.63 55.49 54.32 62.31 68.40 57.31 73.21 61.76 62.20 61.41 74.89 56.66	.00 .00 .00 .00 .10 .02 .35 .05 .00	.00 .00 .00 .00 .00 .00 .00 .00	.00 .00 .04 .30 .04 .02 .03 .05 .18	.00 .00 .00 .00 .00 .00 .00	.00 .15 .14 .00 .10 .13 .29 .17 .09 .19 5.51 .76 .32 2.99 .92 .44 2.01 1.06 .07 9.96 4.22 .31 4.39 1.69 .21 3.52 1.56 .37 4.24 1.81 .33 6.37 4.56 .01 2.23 1.15	00. 00. 00. 00. 00. 00. 00. 00. 00.	.00 .00 .00 .00 .00 .00 .00	.00
92	554.19	10.36	41.48	51.02	104.22	421.53	8.76	56.66	. 95	.01	.64	.00	2.5441.6318.08	. 0 0	.00	.00
5 6 7 8 9	43.16 7.02 52.13 104.91 136.11 81.90 67.21 41.60 53.56 3.64 174.85	1.43 .00 .33 2.41 10.64 5.02 .12 .00 .10 .00	3.45 1.52 1.58 4.42 13.30 13.68 9.04 4.61 3.03 2.02 8.27 14.44	4.78 1.52 1.80 6.55 23.57 18.49 9.10 4.61 3.07 2.02 22.14 14.44	7.17 1.30 9.09 21.96 30.45 19.30 11.75 7.32 9.16 .68 37.79 2.42	10.40 28.03 56.98 80.08 55.80 58.33 43.68 39.91 12.46 69.16	1.39 .01 .45 2.83 8.96 3.49 .05 .02 .06 .01 7.20	56.09 54.59 68.33 80.46 79.26 71.12 68.47 59.06 60.64 54.50 80.74	.19 .00 .07 .39 .71 .36 .00 .01 .00	.00 .00 .00 .00 .01 .00 .00 .00 .00	.02 .00 .12 .93 .21 .06 .00 .01	.00 .00 .00 .00 .00 .00 .00	.00 1.36 1.47 .00 .16 .18 .24 8.35 1.96 .2011.26 3.74 .33 9.76 4.98 .36 5.54 2.95 .06 4.72 1.71 .31 2.37 1.09 .20 2.56 1.37 .38 .32 .13 .3317.33 6.72 .02 .95 .31	.00 .00 .00 .00 .00 .00 .00 .00	.00 .00 .00 .00 .00 .00 .00 .00	.00 .00 .00 .00 .00 .00 .00
93	776.62	34.65	79.38	112.09	158.41	514.88	24.53	60.40	2.26	.02	1.52	.01	2.4464.6826.61	.00	. 0 0	. 0 0

Microcuenca Zarzales La Grande Bailadores Edo Mérida.

Bailadores

	R (MM)	SUR(WATE Ylel (MM)	D LAT	E ET	SED YIELD (T/HA)	(MN)	ORGANIC N	ORGANIC P	SURO NO3	SOL P	CROP NO3 (KG/HA)	NO3	PERC NO3	RES. Vol (NN)	GW FLOW (MM)	GW HT (M)
1 2 3 4 5 6 7 8 9 10 11 12	7.41 98.93 97.76 154.31 93.60 31.46 78.39 39.26 21.71 195.91 61.36	.00 3.81 10.74 8.50 3.23 .01 .50 .01 .01 11.17 3.29	5.26 3.63 9.25 30.18 22.86 9.85 5.98 4.11 2.19 16.10 19.77 11.14	5.26 7.10 19.65 38.05 25.84 9.85 6.38 4.12 2.19 26.20 22.84 11.14	1.40 19.18 22.00 40.13 20.92 4.90 13.62 6.30 3.44 46.54 12.11	8.84 39.90 53.05 70.66 68.32 34.22 57.29 41.71 24.28 74.07 38.09 17.28	.03 2.36 12.21 7.34 2.74 .05 .37 .03 .01 7.93 2.20	57.35 83.71 84.48 79.41 68.06 63.50 68.89 59.97 54.44 78.00 80.11 61.88	.00 .37 .88 .75 .27 .00 .08 .00	.00 .00 .01 .01 .00 .00 .00 .00	.00 .04 1.01 1.40 .20 .01 .00 .00 2.07 .04	.00 .00 .00 .00 .00 .00 .00 .00	.301 .211 .30 .40 .07 .32 .25	14.03 5.29 1.41 4.54 2.44 .57 21.78	3.45 2.76 4.44 2.19 .55 1.73 .80 .35 6.16	.00 .00 .00 .00 .00 .00 .00 .00	.00 .00 .00 .00 .00 .00 .00	.00 .00 .00 .00 .00 .00 .00
94	880.10	41.27	140.32	178.62	190.97	527.73	35.32	61.88	3.31	.03	4.76	.01	2.636	57.96	24.30	.00	.00	.00
1 2 3 4 5 6 7 8 9 10 11 12	.00 36.40 69.68 88.66 35.62 5.98 69.55 156.13 32.76 92.95 120.51 4.68	.00 .94 7.54 9.32 .79 .00 2.10 16.24 .60 .78 9.74	3.98 1.47 3.99 9.60 12.02 5.54 2.98 17.97 13.88 10.36 B.44 13.76	3.98 2.35 11.19 18.63 12.62 5.54 4.97 33.42 14.37 10.93 17.49 13.76	.000 5.60 14.95 21.74 6.90 1.16 12.25 38.31 5.40 18.63 24.50 1.56	7.13 15.42 35.78 36.66 32.24 15.41 34.72 68.51 26.81 73.70 50.40 26.18	.02 .67 8.27 8.35 .17 .03 3.57 15.46 .25 .14 4.27	54.75 70.83 73.86 78.19 69.30 62.37 79.15 80.11 78.54 70.43 88.81 64.26	.00 .15 .58 .64 .03 .00 .38 1.28 .06 .03 .29	.00 .00 .01 .01 .00 .00 .00 .01 .00 .00	.00 .01 .86 .60 .27 .00 .03 2.65 .52 .01	.00 .00 .00 .00 .00 .00 .00 .00	.17 .30 .31 .07 .291 .25 .36	2.02 .33 6.18 2.43 .59	.91 1.91 2.41 1.63 1.63 4.16 4.16 2.27	.00 .00 .00 .00 .00 .00 .00 .00	.00 .00 .00 .00 .00 .00 .00 .00	.00 .00 .00 .00 .00 .00 .00 .00
95	712.92	48.03	103.97	149.24	151.01	422.97	41.26	64.26	3.44	.03	5.05	.01	2.405	55.77	18.73	.00	.00	.00

Microcuenca Zarzales La Grande Bailadores Edo Mérida.

Bailadores

SUB BA		ALUES			SOIL W	ATER FO	r layer	NO
+	1	2	3	4	5	6		
1	.0	13.2	24.0					
2	.0	55.5	37.2	14.4	46.1	24.2		
2	.0	2.6	10.8					
4	.0	14.7						
5	. 0	8.1	9.8	11.2				
4 5 6 7	.0	54.6	40.0	56.0				
7	.0	74.8	36.1					
8	Ò.	5.3	9.7					
9	.0	22.1	9.5					
10	.0	24.0	15.0					

TOTAL SOIL WATER

1	37.2
2	177.5
2	13.4
4	14.7
5	29.1
6	150.6
7	110.9
8	15.0
9	31.6
10	39.0

Bdigital.ula.ve

FINAL COMPOSITE ST = 64.3 MM

MIN INDIVIDUAL WATER ST = .0 MM

FINAL CONTENTS

	P0	NDS	RESER	VOIRS
	WATER	SED	WATER	SED
SUB-BASI		CONC	VOL	CONC
NO	(WK)	(PPM)	(WK)	(PPH)
1	.0	.0	.0	.0
2	.0	.0	.0	.0
3	.0	.0	.0	.0
4	.0	.0	.0	.0
Î.	.0	.0	.0	.0
6	.0	.0	.0	.0
7	.0	.0	.0	.0
8	.0	.0	.0	.0
9	.0	. 0	.0	.0
10	.0	.0	.0	.0

FINAL COMPOSITE POND ST = .00 MK

FINAL COMPOSITE RESERVOIR ST = .00 MM

IRRIGATION - AVE. ANNUAL

SUB BASIN No.	NO.0 Applica			i	Volune Applied(non)		
1 2 3	4				64.837		
2	3				67.660		
3	0				.000		
4	0				.000		
5	0				.000		
4 5 6 7	Ö				.000		
7	0						
	Q				. 00 0		
8	0				.000		
8 9	4				95.091		
10	11				157.264		
	11						
SOIL WATER E	ialance =	•	19:	144	2E-01 MM		
POND BALANCE Q = .00	: 0000E+00	MK	Y	=	.000000E+0	10	T/HA
RESERVOIR BA	LANCE						
		101	••		00000001		m /223
Q = .00	10000E+00	MM	Y	Ξ	.000000E+(V	T/HA

SUB-BASIN STATISTICS

AVE ANNUAL VALUES

SUB-BASIN NO	RAIN (MM)	SUR Q (MM)	SUB SUR Q (MH)	Y (T/HA)	TOTAL CROP 1	BIOMASS(KG/I CROP 2	HA) CROP 3	la.ve	7
1	822.4	75.2	123.3	238.6	882.3	754.3			
2	822.4	90.1	90.6	484.0	622.7	755.4			
	822.4	3.1	23.6	.1	.0				
	822.4	19.5	107.7	.7	.0				
	822.4	2.4	14.9	.1	.0				
	822.4	80.1	95.2	1.9	.0				
	822.4	57.7	181.1	1.2	.0				
	822.4	5.6	140.9	.7	.0				
	822.4	47.4	217.0	86.6	617.3	709.4			
	822.4	62.3	275.2	81.8	523.3	722.4			

AVE MONTHLY BASIN VALUES

MO	R (MM)	SNOW FALL (MM)	SUR Q (MM)	SUB SUR Q (MM)	WATER YIELD (MM)	(WH) El	Y (T/HA)
1	10.68	.00	.18	4.37	4.54	15.71	.14
2	37.97	.00	1.02	2.10	3.04	21.41	.48
3	67.96	.00	4.19	4.85	8.62	38.37	4.51
2 3 4 5 6 7	91.32	.00	4.66	9.58	13.86	44.79	4.23
Ś	90.92	.00	7.52	14.74	21.84	51.79	5.92
6	54.62	.00	1.05	9.24	10.19	44.84	.69
Ž	82.70	.00	1.07	7.22	7.84	57.56	.72
	84.50	.00	3.61	8.40	11.38	55.49	3.05
8	68.74	.00	2.03	9.49	10.83	49.17	1.31
10	89.98	.00	4.94	11.00	15.15	51.47	2.55
ĨĨ	102.42	.00	5.05	12.19	16.60	55.70	1.63
12	41.62	.00	1.53	11.91	13.34	37.38	1.04

```
CN -MEAN = 68.998
                             MAX = 89.765
                                             MIN = 35.049
        PRED PK FLOW
                       5.010 N**3/S
                                        ST DEV =
                                                    6.750 N**3/S
             MEAN =
             NO PKS =
                        151
                      52.149 M**3/S
             MAX =
        PRED NO WATER YLD
             MEAN = 11.63 MM
             ST DEV = 12.19 MM
    AVE ANNUAL BASIN STRESS DAYS
              WATER STRESS DAYS =
              TEMPERATURE STRESS DAYS = 8.61
              NITROGEN STRESS DAYS = 207.04
              PHOSPHORUS STRESS DAYS = 207.40
AVE ANNUAL BASIN VALUES
                        822.4 MM
             PRECIP =
             SNOW FALL =
                            .00 MM
             SNOW MELT =
                             .00 MM
             PRED SURFACE Q = 36.18 MM
SUB-SUR Q = 103.24 MM
GROUNDMATER Q = .00 MM
             PRED H20 YLD = 137.13 MM
             DEEP PERC = 168.67 MM
                                                   ital.ula.ve
             ET = 523.3 MM
                             2.29 MM
             TRANS LOSSES =
             TOTAL SUB-BASIN SED YLD = 32.175 T/HA
             BASIN SED YLD = 26.300 T/HA
             POND BUDGET
                  EVAPORATION =
                                   .000 MK
                             .000 MM
                  SEEPAGE =
                  RAINFALL ON POOL = .000 MM
                  INFLOW
                              .000 MM
                      Q =
                      Ϋ́ =
                              .000 T/HA
                  OUTFLOW
                      Q =
Y =
                              .000 MM
                              .000 T/HA
             RESERVOIR BUDGET
                  EVAPORATION =
                                   .000 MM
                               .000 MM
                  SEEPAGE =
                  RAINFALL ON POOL =
                                        .000 MM
                  INFLOW
                      Q =
Y =
                              .000 MM
                              .000 T/HA
                  OUTFLOW
                      Q =
Y =
                               .000 MM
                              .000 T/HA
```

BASIN STATISTICS

SWRRBWO 08/02/91 1BM PC VERSION 1.0

Microcuenca Zarzales La Grande. Bailadores. Edo. Merida.

Bailadores

YIELD LOSS FROM PONDS

Q = .000 MM Y = .000 T/HA

YIELD LOSS FROM RESERVOIRS

Q = .000 MM Y = .000 T/HA

AVE ANNUAL BASIN VALUES

NUTRIENTS

ORGANIC N = 2.318 (KG/HA) .023 (KG/HA) ORGANIC P = NO3 YIELD (SQ) = 2.784 (KG/HA) NO3 YIELD (SSQ) = 59.620 (KG/HA) .006 (KG/HA) SOL P YIELD = NO3 LEACHED = 30.381 (KG/HA) N UPTAKE = 2.562 (KG/HA) .ula.ve N UPTAKE = P UPTAKE = P UPTAKE = .361 (KC/HA)
ACTIVE TO LABILE P FLOW = 24.956 (KG/HA) 17.515 (KG/HA) ACTIVE TO STABLE P FLOW = N FERTILIZER APPLIED = 80.082 (KG/HA) P FERTILIZER APPLIED = 32.764 (KG/HA) N FIXATION = .000 (KG/HA) DENITRIFICATION = .000 (KG/HA) HUMUS MIN ON ACTIVE ORG N = .000 (KG/HA) ACTIVE TO STABLE ORG N = .000 (KG/HA) HUMUS MIN ON ACTIVE ORG P = .000 (KG/HA) MIN FROM FRESH ORG N = .000 (KG/HA) .000 (KG/HA) MIN FROM FRESH ORG P =

PESTICIDES

DISSOLVED = 4.0346 (mg/HA) 65469.4200 (mg/HA) SORBED = LEACHED (PAST ROOT ZONE) = .0000 (mg/HA) 105000.0000 (mg/HA) APPLIED = 39399.3900 (mg/HA) DECAYED = SUBSURFACE = 1.1564 (mg/HA) FINAL PEST ON PLANT = .0000 (mg/HA) FINAL ON GROUND (UPPER LAYER) = 950.9700 (mg/HA) DISSOLVED = 2424.77900 (mg/HA)

SORBED = 2424.77900 (mg/HA)

SORBED = 395051.7000 (mg/HA)

LEACHED (PAST ROOT ZONE) = .5388 (mg/HA)

APPLIED = 1050000.0000 (mg/HA)

DECAYED = 649848.8000 (mg/HA)

SUBSURFACE = 600.3500 (mg/HA)

FINAL PEST ON PLANT = .3293 (mg/HA)

FINAL ON GROUND (UPPER LAYER) = 15634.3200 (mg/HA)

DISSOLVED = 27687.6200 (mg/HA) 19471.8100 (mg/HA) SORBED = LEACHED (PAST ROOT ZONE) = 20236.2000 (mg/HA) 420000.0000 (mg/HA) APPLIED = DECAYED = 274038.7000 (mg/HA) 81549.4700 (mg/HA) SUBSURFACE = FINAL PEST ON PLANT = .0000 (mg/HA) FINAL ON GROUND (UPPER LAYER) = 20.7694 (mg/HA) DISSOLVED = 258.2900 (mg/HA) SORBED = 87736.6100 (mg/HA) LEACHED (PAST ROOT ZONE) = .2057 (mg/HA) 1050000.0000 (mg/HA) APPLIED = 961822.0000 (mg/HA) DECAYED = SUBSURFACE = 91.6780 (mg/HA) FINAL PEST ON PLANT = .0000 (mg/HA) FINAL ON GROUND (UPPER LAYER) = 33.0436 (mg/HA) 5 DISSOLVED = 51585.2700 (mg/HA) 113770.4000 (mg/HA) SORBED = LEACHED (PAST ROOT ZONE) = 6577.1200 (mg/HA) APPLIED = 1050000.0000 (mg/HA) DECAYED = 807086.8000 (mg/HA) 65769.0700 (mg/HA) SUBSURFACE = FINAL PEST ON PLANT = .0000 (mg/HA) FINAL ON GROUND (UPPER LAYER) = 38879.9000 (mg/HA)

1

BEGINNING TIME: 17:40:46.06
ENDING TIME: 17:43:48.47
TOTAL RUN TIME: 3:02.41

ARCHIVO DE SALIDA DEL MODELO SH'RRB-WQ PARA LOS BIOCIDAS :

SWRRBWQ 08/02/91 IBM PC VERSION 1.0

10/28/96

18:32:48

Microcuenca Zarzales La Grande Bailadores Edo Merida.

Bailadores

mg = 1.E6 KILOGRAMS

			********	PEST1	CIDE NUMBER	********	******			
SUB	1	2	3	4	mg/HA 5	6	7	8	9	10
1 SOL 1 SOR 2 SOL 2 SOR 9 SOL 9 SOR 10 SOL 10 SOR	.00 .00 .00 .00 .00 .00	.00 .00 .00 .00 .00 .00	.00 .00 .00 .00 .00 .00	.00 .00 .00 .00 .00 .00	.00 .00 .00 .00 .00 .00	.00 .00 .00 .00 .00 .00	.00 .00 .00 .00 .00 .00	.00 .00 .00 .00 .00 .00	.00 .00 .00 .00 .00 .00	.00 .00 .00 .00 .00 .00
1 MON SOL 1 MON SOR	. 0 0 .00	.00 .00	.00 .00	.00 .00	.00 .00	.00 .00	.00 .00	.00 .00	.00 .00	.00 .00
1 SOL 1 SOR 2 SOL 2 SOR 9 SOL 9 SOR 10 SOL 10 SOR	00. 00. 00. 00. 00. 00.	.00 .00 .00 .00 .00	.00 .00 .00 .00 .00 .00	.00 .00 .00 .00 .00 .00	.00 .00 .00 .00 .00 .00	.00 .00 .00 .00 .00 .00	.00 .00 .00 .00 .00 .00	.00 .00 .00 .00 .00 .00	.00 .00 .00 .00 .00 .00	.00 .00 .00 .00 .00 .00
2 MON SOL 2 MON SOR	.00 .00	.00 .00	.00 .00	.00 .00	.00	.00	.00.	.00	.00 .00	.00 .00
1 SOL 1 SOR 2 SOL 2 SOR 9 SOL 9 SOR 10 SOL 10 SOR	.65 7609.55 .00 .00 .00 .00 87.38 89906.90	.00 .00 .00 .00 .00 .00	.00 .00 .00 .00 .00 .00	.00 .00 .00 .00 .00 .00	.00 .00 .00 .00 .00 .00	.00 .00 .00 .00 .00 .00	.00 .00 .00 .00 .00 .00	.00 .00 .00 .00 .00 .00	.00 .00 .00 .00 .00 .00	.00 .00 .00 .00 .00 .00
3 MON SOL 3 MON SOR	3.70 4118.52	.00	.00 .00	.00	.00 .00	.00 .00	.00.	.00 .00	.00	.00 .00
2 SOL 2 SOR 2 9 SOL 9 SOR 2 10 SOL	10.73 15 20416.00 3117 7.97 94265.40 104.16 95830.40 500.63 71336.90	.00 29 .00 39 .00 4	2939.83 2730.86 99512.90 93088.40 80249.56 .00 85508.77 .00	.00 .00 .00 .00 .00 .00						
4 MON SOL 4 MON SOR	24.38 34221.38	699.85 140296.10	13513.83 13094.81	.00	.00 .00	.00.	.00	.00 .00	.00 .00	.00 .00

1 S 1 S 2 S 2 S 9 S 9 S 10 S	OR OL OR OL OR	.00 .00 .00 .00 .00 .00	.02 1.66 .00 .00 .00 .00 .00 39745.64 282801.60	.00 .00 .00 .00	19.98 2829.73 .00 .00 .00 .00 .00 4593.23 5880.32	.00 .00 .00 .00 .00 .00	.00 .00 .00 .00 .00 .00	.00 .00 .00 .00 .00 .00	.00 .00 .00 .00 .00 .00	.00 .00 .00 .00 .00 .00	.00 .00 .00 .00 .00 .00
	ON SOL	.00 .00	1669.32 11877.74	.00 .00	193.81 2054.31	.00 .00	.00 .00	.00 .00	.00 .00	.00 .00	.00 .00
1 S 1 S 2 S 2 S 9 S 9 S 10 S	OR OL OR OL OR OL	.00 .00 1! .00	.05 12.99 7171.58 565740.00 389594.30 520695.00 102787.90 427852.00	.00 .00 4 .00 11 .00 63	5915.02 7 135.20 5 4613.74 30 2695.00 6904.00 1 5116.17 3	03406.40 30169.60 07845.30 56013.00 55451.93 38975.40 61476.60 98019.00	.00 .00 .00 .00 .00 .00	.00 .00 .00 .00 .00 .00	.00 .00 .00 .00 .00 .00	.00 .00 .00 .00 .00 .00	.00 .00 .00 .00 .00 .00
	ON SOL ON SOR	.00.	14293.61 149657.10	.00	3046.56 24132.07	37980.50 216897.20	.00 .00	.00 .00	.00	.00 .00	.00
1 S 1 S 2 S 2 S 9 S 10 S	OR OL OR OL OR OL	.00 .00 .00 .00 .00 .00	.00 .00 .00 .00 .00 .00	.00 .00 .00 .00 .00 .00	.00 .00	10835.81 45769.05 .00 .00 .00 97579.62 .00 .00	.00 .00 .00 .00 .00 .00	00. 00. 00. 00. 00. 00. 00.	.00 .00 .00 .00 .00 .00	.00 .00 .00 .00 .00 .00	.00 .00 .00 .00 .00 .00
7 M 7 M	ON SOL	.00 .00	.00	.00	.00 .00	2927.10 2059.61	.00 .00	.00 .00	.00 .00	.00 00.	.00
1 S 1 S 2 S 9 S 9 S 10 S	OR 32 OL OR 34 OL OR 33	5.54 29000.30 4.56 49351.50 278.23 30953.10 104.37 71093.80	.00 .00 .00 .00 .00 .00	.00 .00 605276.40 679.61 .00 .00	.00 3 .00 25 .00 .00 .00 .00	01448.70 03709.00 .00 .00 .00 .00	.00 .00 .00 .00 .00 .00	.00 .00 .00 .00 .00 .00	.00 .00 .00 .00 .00 .00	.00 .00 .00 .00 .00 .00	.00 .00 .00 .00 .00 .00
	ON SOL ON SOR	11.74 50193.38	.00 .00	16674.12 22.43	.00 .00	13565.19 112666.90	.00 .00	.00 .00	.00 .00	.00 .00	.00 .00
1 S 1 S 2 S 2 S 9 S 10 S	OR OL OR OL OR OL	.00 .00	.00 13726.77 418845.00 .00 14	34293.88 36163.33 .00 .00 117 411966.00 1922.73 58491.68 .00	.00 .00 2802.18 3906.00 .00 .00	.00 .00 .00 .00 .00 .00	.00 .00 .00 .00 .00 .00	.00 .00 .00 .00 .00 .00	.00 .00 .00 .00 .00 .00	.00 .00 .00 .00 .00 .00	.00 .00 .00 .00 .00 .00
	ON SOL	.00. 00.		39299.04 1675.42	92.47 37088.91	.00 .00	.00 .00	.00 .00	.00	.00 .00	.00

1 SOL 1 SOR 2 SOL 2 SOR 9 SOL 9 SOR 10 SOL 10 SOR	.00 .00 .00 .00 .00	18056.28 2584323.00 .00 .00 1116960.00 1581459.00 1183472.00 1147516.00	.00 1705 .00 443		.00 .00 72.00 05.30 .00 .00	.00 .00 .00 .00 .00 .00	.00 .00 .00 .00 .00 .00	.00 .00 .00 .00 .00 .00	.00 .00 .00 .00 .00 .00	.00 .00 .00 .00 .00 .00
10 MON 10 MON		.00 78442.3 .00 204026.0			96656.07 23001.17	.00	.00 .00	.00 .00	.00 .00	.00 .00
1 SOL 1 SOR 2 SOL 2 SOR 9 SOL 9 SOR 10 SOR	.00 .00 .00 .00 .00	.00. 00. 00. 00. 00. 00.	.00 .00 .00 .00 .00 .00	.00 .00 .00 .00 .00 .00	.00 .00 .00 .00 .00 .00	.00 .00 .00 .00 .00 .00	.00 .00 .00 .00 .00 .00	.00 .00 .00 .00 .00 .00	.00 .00 .00 .00 .00 .00	.00 .00 .00 .00 .00 .00
11 MON 11 MON		.00 .00. .00 .00.		.00 .00	.00 .00	.00 .00	.00	.00 .00	.00 .00	.00 .00
1 SOL 1 SOR 2 SOL 2 SOR 9 SOL 9 SOL 10 SOL	.00 .00 .00 .00 .00	.00 .00 .00 .00 .00	.00 .00 .00 .00 .00 .00	.00 933 .00 .00 .00	73.93 33.32 .00 .00 .00 .00	.00 .00 .00 .00 .00 .00	.00 .00 .00 .00 .00 .00	.00 .00 .00 .00 .00 .00	.00 .00 .00 .00 .00 .00	.00 .00 .00 .00 .00 .00
12 MON 12 MON). 00.). 0 0 .		.00 .00	15281.43 4200.00	.00 .00	.00 .00	.00	.00 .00	.00
1 SOL 1 SOR 2 SOL 2 SOR 9 SOL 9 SOR 10 SOL 10 SOR	557025.80 12.53 643616.90 382.40 626783.50	33608.60 5702029.00 20898.35 4984585.00 1506554.00 3102153.00 1326005.00 2858169.00	39497.10 58' 804789.30 2 393768.10 1168 1492216.00 905 1922.73 2342 94000.45 453	744.75 33729 937.38 34368 520.00 37530 928.60 1530	64.80 81.00 17.00 19.00 31.50 75.40 76.70	.00 .00 .00 .00 .00 .00	.00 .00 .00 .00 .00 .00	.00 .00 .00 .00 .00 .00	.00 .00 .00 .00 .00 .00	.00 .00 .00 .00 .00 .00
88 SOL 88 SOR		95558.09 618679.50	69500.91 41 14819.78 134	773.17 1664 181.10 3588	10.30 24.90	.00 .00	.00	.00 .00	.00 .00	.00 .00
1 SOL 1 SOR 2 SOL 2 SOR 9 SOL 9 SOL 10 SOL 10 SOR	.00 .00 .00 .00 .00	.00 .00 .00 .00	.00 .00 .00 .00 .00 .00	.00 .00 .00 .00 .00 .00	.00 .00 .00 .00 .00 .00	.00 .00 .00 .00 .00 .00	.00 .00 .00 .00 .00 .00	.00 .00 .00 .00 .00 .00	.00 .00 .00 .00 .00 .00	.00 .00 .00 .00 .00 .00
1 MON 1 MON			00. 00.00	.00	.00 .00	.00	.00 .00	.00 .00	.00	.00 .00

1 SOL 1 SOR 2 SOL 2 SOR 9 SOL 9 SOL 10 SOL 10 SOR	.00 .00 .00 .00 .00	.00 .00 .00 .00 .00 .00	.00 .00 .00 .00 .00 .00	.00 .00 .00 .00 .00 .00	.00 .00 .00 .00 .00 .00	.00 .00 .00 .00 .00	.00 .00 .00 .00 .00	.00 .00 .00 .00 .00 .00	.00 .00 .00 .00 .00 .00	.00 .00 .00 .00 .00
2 MON 2 MON	SOL .0 SOR .0		.00	.00 .00	.00 .00	.00 .00	.00 .00	.00 .00	.00 .00	.00 .00
1 SOL 1 SOR 2 SOL 2 SOR 9 SOL 9 SOR 10 SOL 10 SOR	334808.50 .00 .00 .00 .00 .330.53	.00 .00 .00 .00 .00 .00	.00 .00 .00 .00 .00 .00	.00 .00 .00	457.79 4693.74 .00 .00 4911.99 947.62 .00	.00 .00 .00 .00 .00 .00	.00 .00 .00 .00 .00 .00	.00 .00 .00 .00 .00 .00	.00 .00 .00 .00 .00 .00	.00 .00 .00 .00 .00 .00
3 MON 3 MON	SOL 14.2 SOR 29146.1	7 .00 4 .00	.00	.00.	143.40 234.91	. 0 0 . 0 0	.00 .00	.00 .00	.00 .00	. 0 0 .00
1 SOL 1 SOR 2 SOL 2 SOR 9 SOL 9 SOR 10 SOL 10 SOR	.00 .00 .00 .00 .00	.00 .00 .00 .00 .00 .00	.00 .00 .00 .00 .00 .00	.00 .00 .00 .00 .00 .00	.00 .00 .00 .00 .00 .00	.00 .00 .00 .00 .00 .00	.00 .00 .00 .00 .00 .00	.00 .00 .00 .00 .00 .00	.00 .00 .00 .00 .00 .00	.00 .00 .00 .00 .00 .00
4 MON 4 MON	SOL .0	0 . 0 0 0 . 0 0	.00	.00	.00 .00	.00 .00	.00 .00	.00 .00	.00 .00	. 0 0 .00
1 SOL 1 SOR 2 SOL 2 SOR 9 SOL 9 SOR 10 SOL 10 SOR	.00 37.93 228544.90 81.35 228487.80	7891.27 2218143.00 41187.24 3192124.00 169972.10 2182415.00 552323.20 1597393.00	308.36 225 83276.10 2 1335.35 150 50346.34 160 .00 2908 42966.24 78	542.39 681.70 118.53 081.30 040.50 176.00 717.67	.00 .00 .00 .00 .00 .00	.00 .00 .00 .00 .00 .00	00. 00. 00. 00. 00. 00.	.00 .00 .00 .00 .00 .00	.00 .00 .00 .00 .00 .00	.00 .00 .00 .00 .00 .00
5 MON 5 MON	SOL 3.2 SOR 13254.1	9 29161.16 8 326807.40	5831.19 57.94	7401.47 101804.50	.00 .00	.00 . 0 0	.00 .00	.00 .00	.00 .00	.00 .00
1 SOL 1 SOR 2 SOL 2 SOR 9 SOL 9 SOR 10 SOL 10 SOR	.00 .00 .00 .00 .00	.00 .00 .00 .06 .06 .00	.00 .00 .00 .00 .00 .00	.00 17. .00 166. .00 62. .00 153.	.00 3451.50 6760.00	.00 .00 .00 .00 .00 .00	00. 00. 00. 00. 00. 00.	.00 .00 .00 .00 .00 .00	.00 .00 .00 .00 .00 .00	.00 .00 .00 .00 .00 .00
6 MON		0 .00 0 .00	.00 .00	.00	21470.78 93397.44	.00 .00	.00 .00	.00	.00 .00	.00 .00

1 SOL 1 SOR 2 SOL 2 SOR 9 SOL 9 SOR 10 SOL 10 SOR	.00 .00 .00 .00 .00	.00 .00 .00 .00	.00 .00 .00 .00 .00 .00	.00 .00 .00 .00 .00 .00	.00 .00 .00 .00 .00 .00	.00 .00 .00 .00 .00 .00	.00 .00 .00 .00 .00 .00	.00 .00 .00 .00 .00	.00 .00 .00 .00 .00	.00 .00 .00 .00 .00 .00
7 MON 7 MON		.00 .00	00. 00 00. 00	.00 .00	.00 .00	.00 .00	.00	.00 .00	.00 .00	.00
1 SOL 1 SOR 2 SOL 2 SOR 9 SOL 9 SOR 10 SOL 10 SOR	27020.47 21.87 367437.70 79.17 117066.50	.00 .00 .00 .00	.00 .00 359938.40 465208.90 .00 .00	.00 .00 .00	.5527.54 .6949.90 .00 .00 .00 .00 .00	.00 .00 .00 .00 .00 .00	.00 .00 .00 .00 .00 .00	.00 .00 .00 .00 .00 .00	.00 .00 .00 .00 .00 .00	.00 .00 .00 .00 .00 .00
8 MON 8 MON		.73 .0 .03 .0	11877.97 10 15351.89	.00 .00	1148.74 14712.75	.00 .00	.00	.00 .00	.00 .00	.00
1 SOL 1 SOR 2 SOL 2 SOR 9 SOL 9 SOR 10 SOR	215933.50 00 00 . 128.86 . 151634.30 . 1236.97		14063.77 10557.92 .00 .00 37075.51 .00 35475.84	.00 51 4835.41 333773.60 .00 .00	1665.79 8642.80 .00 .00 .00 2812.46 .00	.00 .00 .00 .00 .00 .00	.00 .00 .00 .00 .00 .00	.00 .00 .00 .00 .00 .00	.00 .00 .00 .00 .00 .00	.00 .00 .00 .00 .00 .00
9 MON 9 MON		.44 491.9 .31 116044.2	3049.74 0 475.11	159.57 11014.53	2443.08 23338.93	.00 .00	.00 .00	.00 .00	.00 .00	.00 .00
1 SOL 1 SOR 2 SOL 2 SOR 9 SOL 9 SOR 10 SOL 10 SOR	.00 .00 .00 .00 .00	3378866.00 .19 105.59 1525684.00 2114230.00	.00 .00 .00 .00 .00 .00	.00 .00 18 .00 195 .00	.00 .00 :5553.10 :2739.00 .00 .00 .00	.00 .00 .00 .00 .00 .00	.00 .00 .00 .00 .00 .00	.00 .00 .00 .00 .00 .00	.00 .00 .00 .00 .00 .00	.00 .00 .00 .00 .00 .00
10 MON 10 MON		.00 59548.3 .00 337778.8		.00 .00	6123.25 64440.40	.00 .00	.00	.00 .00	.00 .00	.00 .00
1 SOL 1 SOR 2 SOL 2 SOR 9 SOL 9 SOR 10 SOR	.00 .00 .00 .00 .00 .00	434.13 .00 .00 88.67	.00] .00	.00 60 .00 17 .00 10 13958.34 64 37720.80 196 13001.92 48	3978.09 5717.60 7416.60 5274.10 8990.10 6875.00 1277.60 0099.00	.00 .00 .00 .00 .00 .00	.00 .00 .00 .00 .00 .00	.00 .00 .00 .00 .00 .00	.00 .00 .00 .00 .00 .00	.00 .00 .00 .00 .00 .00
11 MON 11 MON		.00 4.2 .00 40.4		895.04 5747.70	46072.18 144167.40	.00	.00	.00 .00	.00 .00	.00 .00

1 2 9 9	SOL SOR SOL SOR SOR SOL SOR	.00 .00 .00 .00 .00 .00	.00 .00 .00 .00 .00 .00	.00 .00 .00 .00 .00 .00	.00 .00 .00 .00 .00 .00	.00 .00 .00 .00 .00 .00	.00 .00 .00 .00 .00 .00	.00 .00 .00 .00 .00 .00	.00 .00 .00 .00 .00 .00	.00 .00 .00 .00 .00 .00	.00 .00 .00 .00 .00 .00
12 12	MON Mon			0. 00 0. 00			00 .00 00 .00	.00 .00	.00 .00	. 0 0 . 0 0	.00 .00
1 2 2 9 9	SOL SOR SOL SOL SOR SOL SOR	15.05 577762.50 59.80 595982.60 289.38 497188.60 1567.50 546933.40	38152.82 5597442.00 56095.72 6708720.00 1695744.00 4297258.00 1029621.00 4761111.00	14504.67 10866.28 443214.50 466544.20 87421.86 .00 78442.08	542.39 225681.70 6953.93 483854.90 173998.80 3045896.00 91719.59 388010.80	161629.20 1456004.00 536421.30 3724773.00 1283777.00 3503598.00 484090.10 1530099.00	.00 .00 .00 .00 .00 .00	.00 .00 .00 .00 .00 .00	.00 .00 .00 .00 .00 .00	.00 .00 .00 .00 .00 .00	.00 .00 .00 .00 .00 .00
	SOL SOR	75.72 81067.66	89205.70 780670.80	20758.90 15884.94	8456.08 118566.80	77401.42 340291.80	.00 .00	. 00 . 00	.00 .00	.00 .00	.00 .00
1 2 2 9 9	SOL SOR SOL SOR SOL SOR SOL	.00 .00 .00 .00 .00 .00	.00 .00 .00 .00 .00 .00	.00 .00 .00 .00 .00 .00	.00 .00 .00 .00 .00 .00	.00 .00 .00 .00 .00 .00	.00 .00 .00 .00 .00 .00	.00 .00 .00 .00 .00 .00	.00 .00 .00 .00 .00 .00 .00	.00 .00 .00 .00 .00 .00	.00 .00 .00 .00 .00 .00
	NON NON		00 00 .	00 .00		00 . 00 .	00. 00 00. 00	.00	.00 .00	.00 .00	.00
1 2 2 9 9	SOL SOR SOL SOL SOR SOL SOR		.00 .00 .00 .00 .00 .00	.00 .00 .00 .00 .00 .00	.00 .00 .00 .00 .00 .00	1904.35 16370.09 .00 .00 .00 .00	.00 .00 .00 .00 .00 .00	.00 .00 .00 .00 .00 .00	.00 .00 .00 .00 .00 .00	.00 .00 .00 .00 .00 .00	.00 .00 .00 .00 .00
		SOL SOR .		00 .0 00 .0		00 85. 00 736.	70 .00 65 .00	.00 .00	.00 .00	.00 .00	.00 .00
1 2 2 9 9	SOL SOR SOL SOL SOR SOL SOR	318986.80 108.15 371123.20 3735.17 367462.60 2438.27	.00 .00 .00 .00 .00 .00	203393.90 59308.66 .00 .00 .00 .00	.00 .00 .00 .00 .00 .00	.00 .00 .00 .00 .00 .00	.00 .00 .00 .00 .00 .00	.00 .00 .00 .00 .00 .00	.00 .00 .00 .00 .00 .00 .00	.00 .00 .00 .00 .00 .00	.00 .00 .00 .00 .00 .00
		SOL 200 SOR 49083	.74 .	00 9152.7 00 2668.8	3 .		00. 00.	.00 .00	.00 .00	.00 .00	.00 .00

1 SOL 1 SOR 2 SOL 2 SOR 9 SOL 9 SOR 10 SOL 10 SOR	.00 .00 .00 .00 19 .00 .00	.00 .00 .00 .0964.10 .3273.00 .0671.50 .00 .7626.80	.00 .00 .00 .00 .00 .00	.00 .00 .00 .00 .00 .00	.00 .00 .00 .00 .00 .00	.00 .00 .00 .00 .00 .00	.00 .00 .00 .00 .00 .00	.00 .00 .00 .00 .00 .00	.00 .00 .00 .00 .00 .00
4 MON SOL 4 MON SOR	.00 326.26 .00 149105.10	17748.93 108.01	.00 .00	.00 .00	.00	. 0 0 .00	.00 .00	.00 .00	.00
1 SOL 1 SOR 2 SOL 2 SOR 9 SOL 9 SOR 10 SOL 10 SOR	.00 .00 .00 .00 .00 .00 .00 .00 .00 .00 .00 .00 .00 .00	.00 .00 .00 .00 .00 .00	.00 .00 .00 .00 .00 .00	.00 .00 .00 .00 .00 .00	.00 .00 .00 .00 .00 .00	.00 .00 .00 .00 .00 .00	.00 .00 .00 .00 .00 .00	.00 .00 .00 .00 .00 .00	.00 .00 .00 .00 .00 .00
5 MON SOL 5 MON SOR	.00 .00 .00 .00	.00 .00	.00 .00	.00 .00	.00 .00	.00 .00	.00	.00	.00 .00
1 SOL 1 SOR 2 SOL 2 SOR 9 SOL 9 SOR 10 SOL 10 SOR	.00 .00 .00 .00 .00 .00 .00 .00 .00 .00 .00 .00 .00 .00	.00 .00 .00 .00 .00 .00	.00 .00 .00 .00 .00 .00	.00 .00 .00 .00 .00 .00	.00 .00 .00 .00 .00 .00	.00 .00 .00 .00 .00 .00	.00 .00 .00 .00 .00 .00	.00 .00 .00 .00 .00 .00	.00 .00 .00 .00 .00 .00
6 MON SOL 6 MON SOR	.00 .00 .00 .00	.00 .00	.00 .00	.00 .00	.00 .00	.00 .00	.00 .00	.00 .00	.00 .00
1 SOL 1 SOR 2 SOL 2 SOR 9 SOL 9 SOR 10 SOL 10 SOR	.00 .00 .00 .00 .00 1202.51 .00 396076.70 .00 31724.42 .00 463764.40 .00 19533.01 .00 431225.80	.00 .00 .00 .00 .00 .00	.00 4063 .00 3176 .00 1168 .00 2125	.00 .00 59.86 76.30 07.50 05.20 78.70 97.15	.00 .00 .00 .00 .00 .00	.00 .00 .00 .00 .00 .00	.00 .00 .00 .00 .00 .00	.00 .00 .00 .00 .00 .00	.00 .00 .00 .00 .00 .00
7 MON SOL 7 MON SOR	.00 1653.18 .00 42776.13	.00 .00	.00	18784.47 17808.83	.00 .00	.00 .00	.00 .00	.00	.00 .00
1 SOR 34164 2 SOL 2 SOR 33218 9 SOL 5 9 SOR 35284	3.43 .00 37 84.90 .00 100 85.64 .00 44.10 .00 78.71 =00	.00 .00 !5355.10 !8610.00 .00 .00		89.05 98.50 .00 .00 .00 .00 .00	.00 .00 .00 .00 .00 .00	.00 .00 .00 .00 .00 .00	.00 .00 .00 .00 .00 .00	.00 .00 .00 .00 .00 .00	.00 .00 .00 .00 .00 .00
8 MON SOL 8 MON SOR	6:00 .00 49389.48 .00	10736.72 35924.13	.00 .00	373.01 6844.43	.00 .00	.00	.00	.00 .00	.00 00.

1 SOL 1 SOR 2 SOL 2 SOR 9 SOL 9 SOR 10 SOL 10 SOR	.00 .00 .00 .00 .00	.00 .00 .00 .00 .00 .00 .00 .00 .00 .00 .00 .00 .00 .00	.00 150 .00 189 .00 .00 .00 .00	512.12 276.90 .00 .00 .00 .00	.00 .00 .00 .00 .00 .00	.00 .00 .00 .00 .00 .00	.00 .00 .00 .00 .00 .00	.00 .00 .00 .00 .00 .00	.00 .00 .00 .00 .00 .00
9 MON SOL 9 MON SOR	.00 .00	.00 .00. .00 .00	.00 . 0 0	702.55 8517.46	.00 .00	.00 .00	.00	. 0 0 . 0 0	.00 .00
1 SOL 1 SOR 2 SOL 2 SOR 9 SOL 9 SOR 10 SOL 10 SOR	.00 .00 .00 .00 .00 .00	00.00 00.00 00.00 00.00 00.00 00.00 00.00 00.00	.00 .00 .00 .00 .00 .00	.00 .00 .00 .00 .00 .00	.00 .00 .00 .00 .00 .00	.00 .00 .00 .00 .00 .00	.00 .00 .00 .00 .00	.00 .00 .00 .00 .00 .00	.00 .00 .00 .00 .00 .00
10 MON SOL 10 MON SOR	.00	.00 .00. 00 .00	.00 .00	.00 .00	.00 .00	.00	.00 .00	.00 .00	.00 .00
1 SOL 1 SOR 2 SOL 2 SOR 9 SOL 9 SOR 10 SOL 10 SOR	.00 46 .00 5645 .00 17 .00 6433 .00 .00	4.97 2.39 .00	.00 907 .00 207 .00 1676	248.79 208.62 266.28 547.80 .00 .00	.00 .00 .00 .00 .00 .00	.00 .00 .00 .00 .00 .00	.00 .00 .00 .00 .00 .00 .00	.00 .00 .00 .00 .00 .00	.00 .00 .00 .00 .00 .00
11 MON SOL 11 MON SOR	.00 .00	26.83 7.76 4663.32 3.55	.00 .00	2164.98 9591.77	.00 .00	.00 .00	.00 .00	. 00 . 0 0	.00
1 SOL 1 SOR 2 SOL 2 SOR 9 SOL 9 SOR 10 SOL 10 SOR	.00 72562	8.85 .00 4.40 .00 3.52 .00 3.40 .00 3.17 .00	.00 724 .00 180 .00 346 39.31 486 523.29 318 24.07 723	511.42 956.10 486.50 333.20 770.60 450.30 598.50 349.39	.00 .00 .00 .00 .00 .00	.00 .00 .00 .00 .00 .00	.00 .00 .00 .00 .00 .00	.00 .00 .00 .00 .00 .00	.00 .00 .00 .00 .00 .00
12 MON SOL 12 MON SOR	.00 .00 8	5950.53 2.32 5008.27 .00	1.99 22.76	52053.97 54 790.06	.00 .00	.00	.00 .00	. 0 0 . 0 0	.00
1 SOR 6606 2 SOL 1 2 SOR 7033 9 SOL 38 9 SOR 7203 10 5 OL 25	31.60 409552	6.33 556319.10 3.50 1091883.00 7.90 190671.50 8.00 .00 6.20 127626.80	.00 1172 .00 258 .00 920 39.31 804 523.29 435 24.07 936	665.80 910.00 812.60 978.10 255.50 177.20 646.50	.00 .00 .00 .00 .00 .00	.00 .00 .00 .00 .00 .00	.00 .00 .00 .00 .00 .00	.00 .00 .00 .00 .00 .00	.00 .00 .00 .00 .00 .00
90 SOL 2 90 SOR 984	06.21 79 5 73.22 28155	6.80 37648.45 2.80 38704.57	1.99 74 22.76 98	164.66 289.20	.00 .00	.00 .00	.00 .00	.00 .00	.00

1 SOL 1 SOR 2 SOL 2 SOR 9 SOL 9 SOR 10 SOL 10 SOR	.00 .00 .00 .00 .00	.00 .00 .00 .00 .00 .00	.00 .00 .00 .00 .00	.00 .00 .00 .00 .00 .00	.00 .00 .00 .00 .00 .00	.00 .00 .00 .00 .00 .00	.00 .00 .00 .00 .00	.00 .00 .00 .00 .00 .00	.00 .00 .00 .00 .00 .00	.00 .00 .00 .00 .00 .00
1 MON SOL 1 MON SOR	.00 .00	.00 .00	.00 .00	.00 .00	.00 .00	.00 .00	.00 .00	.00 .00	.00 .00	. 0 0 . 0 0
1 SOL 1 SOR 2 SOL 2 SOR 9 SOL 9 SOR 10 SOL 10 SOR	.00 .00 .00 .00 .00 .00	.00 .00 .00 .00 .00 .00	.00 .00 .00 .00 .00 .00	.00 .00 .00 .00 .00 .00	.00 .00 .00 .00 .00 .00	.00 .00 .00 .00 .00 .00	.00 .00 .00 .00 .00 .00	.00 .00 .00 .00 .00 .00	.00 .00 .00 .00 .00 .00	.00 .00 .00 .00 .00 .00
2 MON SOL 2 MON SOR	.00 .00	.00 .00	.00 .00	.00 .00	. 00 . 0 0	.00 .00	.00 .00	.00 .00	.00 .00	.00 .00
2 SOL 2 SOR 9 SOL 9 SOR 10 SOL	12.41 45849.10 .00 .00 .00 .00 .00 1591.76 44291.50	.00 .00 .00 .00 .00 .00 .00	.00 .00 .00 .00 .00	.00 .00 .00 .00 .00	.00 .00 .00 .00 .00 .00	.00 .00 .00 .00 .00 .00	.00 .00 .00 .00 .00 .00	.00 .00 .00 .00 .00 .00	.00 .00 .00 .00 .00 .00	.00 .00 .00 .00 .00 .00
3 MON SOL 3 MON SOR	67.41 30023.45	.00 .00	.00 .00	.00	.00 .00	.00	.00 .00	.00	.00 .00	. 0 0 . 0 0
9 SOL	.00 .00 7.47 91322.70 54.61 91269.50 .00	.00 152 .00 328571 .00 36571 .00 141400 .00 .00 141386	4.90 2.00 .00	.00 .00 .00 .00 .00 .00	.00 .00 .00 .00 .00 .00	.00 .00 .00 .00 .00 .00	.00 .00 .00 .00 .00 .00	.00 .00 .00 .00 .00 .00	.00 .00 .00 .00 .00 .00	.00 .00 .00 .00 .00 .00
4 MON SOL 4 MON SOR	1.61 16895.39	.00 10 .00 1	5939.70 2137.42	.00	.00	.00 .00	.00	.00 .00	.00	.00 .00
1 SOL 1 SOR 2 SOL 2 SOR 9 SOL 9 SOR 10 SOL 10 SOR	.00 2742 .00 137 .00 2737	293.30 713.00 145.78 148.00 533.90 597.00 404.80 761.00	.00 9166 .00 82 .00 6091 .00	69.77 38.80 .00 .00 38.80 15.00	.00 .00 .00 .00 .00	.00 .00 .00 .00 .00 .00	.00 .00 .00 .00 .00	.00 .00 .00 .00 .00 .00	.00 .00 .00 .00 .00 .00	.00 .00 .00 .00 .00 .00
5 MON SOL 5 MON SOR	.00 .00	20042.36 309675.80	.00 .00 1	7639.65 24307.50	.00	.00 .00	.00	.00	.00	.00 .00

1 SOL 1 SOR 2 SOL 2 SOR 9 SOL 9 SOR 10 SOL 10 SOR	.00 .00 .00 .00 .00	.00 .00 .00 .00 .00 .00	.00 .00 .00 .00 .00	.00 .00 .00 .00 .00 .00	.00 .00 .00 .00 .00 .00	.00 .00 .00 .00 .00 .00	.00 .00 .00 .00 .00	.00 .00 .00 .00 .00 .00	.00 .00 .00 .00 .00 .00	.00 .00 .00 .00 .00
6 MON S	OL .00 OR .00	.00 .00	.00 .00	.00	.00 .00	.00 .00	.00 .00	.00 .00	.00 .00	. 0 0 . 0 0
1 SOL 1 SOR 2 SOL 2 SOR 9 SOL 9 SOR 10 SOL 10 SOR	.00 .00 4.39 371206.20 .00 .00	.00 .00 .00 .00 .00 .00	.00 .00 .00 .00 .00 .00	.00 312 .00 411 .00 3507 .00 2392 .00 1221	97.57 73.66 10.28 76.00 52.50 78.30 80.70 72.07	.00 .00 .00 .00 .00 .00	.00 .00 .00 .00 .00 .00	.00 .00 .00 .00 .00 .00	.00 .00 .00 .00 .00 .00	.00 .00 .00 .00 .00 .00
7 MON S 7 MON S	OL .14 OR 12249.80	.00	.00 .00	.00	13531.43 17863.21	.00 .00	.00 .00	.00 .00	.00 .00	.00 .00
1 SOL 1 SOR 2 SOL 2 SOR 9 SOL 9 SOR 10 SOL 10 SOR	1.18 77259.63 .00 .00 127.96 356392.20 81.40 187970.30	.00 .00 .00 .00 .00 .00	.00 .00 .00 .00 .00 .00		88.46 88.54 .00 .00 .00 .00	.00 .00 .00 .00 .00 .00 .00	.00 .00 .00 .00 .00 .00	.00 .00 .00 .00 .00 .00	.00 .00 .00 .00 .00 .00	.00 .00 .00 .00 .00 .00
8 MON S 8 MON S	OL 6.67 OR 20281.24	.00 .00	.00 .00	.00	93.98 1389.98	.00 .00	. 0 0 . 0 0	.00 .00	.00 .00	.00 .00
1 SOL 1 SOR 2 SOL 2 SOR 9 SOL 9 SOR 10 SOL 10 SOR	.00 2555 .00 .00	.00 5070 6446.71 8874	58.77 204293 .00 .00	.00 1942 3.68 6.00 .00	39.94 35.20 .00 .00 .00 .00	.00 .00 .00 .00 .00 .00	.00 .00 .00 .00 .00 .00	.00 .00 .00 .00 .00 .00	.00 .00 .00 .00 .00 .00	.00 .00 .00 .00 .00
9 MON S 9 MON S	OL 11.19 OR 6580.29	509.74 1 84322.83	1922.62 3115.41 6	290.85 7416.90	766.80 8740.58	.00 .00	.00 .00	. 0 0 . 0 0	.00 .00	. 0 0 . 0 0
1 SOL 1 SOR 2 SOL 2 SOR 9 SOL 9 SOR 10 SOL 10 SOR	.00 .00 .00 .00	1833.00 28 .00 .00 .00 91 .00	06.19 4.25 .00 .00 .6.61 .00 .00	.00 1171 .00 .00 .00	16.28 27.30 .00 .00 .00 .00 .00	.00 .00 .00 .00 .00 .00 .00	.00 .00 .00 .00 .00 .00	.00 .00 .00 .00 .00 .00	.00 .00 .00 .00 .00 .00	.00 .00 .00 .00 .00 .00
10 MON S 10 MON S		27439.32 275671.10	32.19 12.79	.00	531.73 5270.73	.00 .00	.00 .00	.00	.00 .00	.00 .00

1 2 2 9 9	SOL SOR SOL SOL SOR SOL SOR	.00 .00 .00 .00 .00 .00	397.7 .01 .01 413855.5 758207.7 52.6	3 .00 0 .00 0 .00 0 .00 0 .00	.00 .00 .00 .00 2012.20 5513.66 536.05 2828.49	200061.60 1249542.00 313173.30 581969.80 1224297.00 .00 12634333.00 146825.30	.00 .00 .00 .00 .00	.00 .00 .00 .00 .00 .00	.00 .00 .00 .00 .00 .00	.00 .00 .00 .00 .00 .00 .00	.00 .00 .00 .00 .00 .00
	MON Mon	SOL SOR	.00 1034 .00 1898		.00 72 .00 256	.82 103009 .64 81601			.00 .00	.00 .00	. 00 .00
1 2 2 9 9	SOL SOR SOL SOL SOR SOL SOR	.00 .00 .00 .00 .00 .00	. 0 . 0 . 0 . 0 . 0	.00 .00 .00 .00 .00 .00 .00 .00	.00 .00 .00 .00 .00 .00	.00 .00 .00 .00 .00 .00	.00 .00 .00 .00 .00	.00 .00 .00 .00 .00 .00	.00 .00 .00 .00 .00 .00	.00 .00 .00 .00 .00 .00	.00 .00 .00 .00 .00 .00
		SOL SOR	.00 .00	.00 .00		. 0 0 . 0 0	.00 .00. 0.		.00 .00	.00	.00 .00
1 2 2 9 9	SOL SOR SOL SOR SOL SOR SOR	17.04 586185.90 11.86 662528.90 182.56 647661.60 1938.63 637131.10	4874944.0 37592.4 5297386.0 551389.4 3495804.0 1019273.0	0 52514.75 9 417321.40 0 390983.70 0 1414919.00 0 .00 0 1599517.00	1735.98 916699.90 17083.46 2652075.00 2012.20 5513.66 174074.80	237803.90 1623066.00 354283.60 932745.80 1463549.00 122178.30 1403614.00 190297.40	.00 .00	.00 .00 .00 .00 .00 .00	.00 .00 .00 .00 .00 .00	.00 .00 .00 .00 .00 .00	.00 .00 .00 .00 .00 .00
	SOL Sor	87.14 91192.86		8 117894.50 0 15265.63	8003.32 191981.00	117933.00 114865.50	.00 .00	.00 .00	.00 .00	.00 .00	.00 .00
1 2 2 9 9	SOL SOR SOL SOL SOR SOL SOR	00. 00. 00. 00. 00. 00.	.0. .0. .0. .0. .0.	00.00 00.00 00.00 00.00 00.00	.00 .00 .00 .00 .00 .00	.00 .00 .00 .00 .00 .00	.00 .00 .00 .00 .00	.00 .00 .00 .00 .00 .00	.00 .00 .00 .00 .00 .00	.00 .00 .00 .00 .00 .00	.00 .00 .00 .00 .00 .00
		SOL SOR	.00 .00	.00	00 00	.00 .00	.00 .00	00. 00.	.00 .00	.00 .00	.00 .00
1 2 2 9 9	SOL SOR SOL SOL SOR SOL SOR	00. 00. 00. 00. 00. 00.	.0. .0. .0. .0.	00.00 00.00 00.00 00.00	.00 .00 .00 .00 .00 .00	.00 .00 .00 .00 .00 .00	.00 .00 .00 .00 .00 .00	.00 .00 .00 .00 .00	.00 .00 .00 .00 .00 .00	.00 .00 .00 .00 .00 .00	.00 .00 .00 .00 .00 .00
		SÓL SOR	.00 .00	.00	.00 .00	.00 .00	.00· .00.	00.00	.00 .00	.00 .00	.00 .00

1 2 2 9 9	SOL SOR SOL SOR SOL SOR SOL	.0 .0 .0 .0 .0 .0	0 . 0 . 0 .	00 00 00 00 00 00 00 00	.00 .00	.00 .00 .00 .00 .00	.00 .00 .00 .00 .00 .00	.00 .00 .00 .00 .00 .00	.00 .00 .00 .00 .00 .00	.00 .00 .00 .00 .00 .00	.00 .00 .00 .00 .00 .00	.00 .00 .00 .00 .00 .00 .00
	MON		.00	.00	.00 .00	.00 .00	. 0 0 . 0 0	.00 .00	.00 .00	.00 .00	.00 .00	. 0 0 .00
1 2 2 9 9	SOL SOR SOL SOR SOL SOR SOL SOR	. 0 . 0 2 . 4 252925 . 3 43 . 7 252866 . 9 . 0	0		.00 9.01 1.30 2.70 5.76 .00	.00 .00 .00 .00 .00	.00 .00 .00 .00 .00 .00 .00	.00 .00 .00 .00 .00	.00 .00 .00 .00 .00 .00	.00 .00 .00 .00 .00 .00	.00 .00 .00 .00 .00 .00	.00 .00 .00 .00 .00 .00
4	MON Mon	SOL SOR 1466		.00 .00	8264.96 6892.85		.00 .00	.00 .00	.00 .00	.00 .00	.00	.00 00.
1 2 2 9 9	SOL SOR SOL SOR SOL SOR SOL	. 145715.50 .00 .01 .01 .01 .01 .01	0 991960. 20022. 0 1859812. 0 235247. 0 2123669. 0 288705.	30 20 36 00 70 00 80 104	15.07 266 11.04 220621 .00 1160 .00 151195 .00 221817 .00 2846433 13.06 40215 .00 372715	.70 .89 .60 .50	.00 .00 .00 .00	.00	.00	.00 .00 .00 .00 .00 .00	.00 .00 .00 .00 .00 .00	.00 .00 .00 .00 .00 .00
5 5	MON MON	SOL SOR 1282	9.12 187 9.87 2377	43.07 13.40	48.54 7 9.05 101	284.80 732.30			.00	.00 .00	.00 .00	.00 .00
1 2 2 9 9	SOL SOR SOL SOR SOL SOR SOL	121.1 .0 .0 .0 .0 .0	9 536. 0 . 0 . 0 .	17 00 00 00 00	.00 .00 .00 .00	.00 17901 .00 90569 .00 172238 .00 1573791 .00 .00 .00	.27 .00 .00 .00 .00	.00 .00 .00 .00	.00 .00 .00 .00 .00 .00	.00 .00 .00 .00 .00 .00	.00	.00 .00 .00 .00 .00 .00
		SOL SOR	.00 5.45	.11 24.13	.00 .00	.00 6 .00 56	489.42 010.73	.00 .00	.00	.00 .00	.00 .00	.00 .00
1 2 2 9 9	SOL SOR SOL SOR SOL SOR SOL	2420.5 .0 .0 .0 .0	7449. 0 . 0 . 0 .	72 22 00 00 00 00 00 00	.00 .00 .00 .00 .00	.00 73098 .00 536185 .00 .00 .00 415349 .00 2325 .00 518981	.80 .00 .00 .10	.00 .00 .00 .00 .00 .00	.00 .00 .00 .00 .00 .00	.00 .00 .00 .00 .00 .00	.00 .00 .00 .00 .00 .00	.00 .00 .00 .00 .00 .00
7	MON	SOL SOR 10	.00 8.92 3	1.02 35.21	. 0 0 .00	.00 35 .00 24	470.38 186.50	.00 .00	.00 .00	.00 .00	.00 .00	.00 .00

1	501	,	1.49		.00	.00	.00	55000.11	.00	.00	.00	.00	.00
2 2 9 9 .10	SOI SOI SOI SOI SOI SOI	? ?	113577.10 9.08 291295.80 66.09 309438.70 .00		.00 .00 .00 .00 .00	.00 .00 .00 .00 .00	.00 .00 .00 .00 .00	943591.40 .00 .00 .00 .00 .00	.00 .00 .00 .00 .00	.00 .00 .00 .00 .00	.00 .00 .00 .00 .00	.00 .00 .00 .00 .00 .00	.00 .00 .00 .00 .00 .00
		1 S 01 1 S 01		.02 .70	.00	.00 .00).),	00 2475. 10 42461.	01 .00 61 .00	.00 .00	.00 . 0 0	.00 . 0 0	.00 .00
1 2 2 9 9	SOI SOI SOI SOI SOI SOI SOI	}	.00 .00 .00 .00 .00 .00		.00 .00 .00 .00 .00 .00	.00 .00 .00 .00 .00 .00	.00 .00 .00 .00 .00 .00	.00 .00 .00 .00 .00 .00	.00 .00 .00 .00 .00 .00	.00 .00 .00 .00 .00 .00	.00 .00 .00 .00 .00 .00	.00 .00 .00 .00 .00 .00	.00 .00 .00 .00 .00 .00
		SOI SOF		.00 .00	.00 .00	.00.).).			.00 .00	.00 .00	.00 .00	.00 .00
1 2 2 9 9	SOI SOI SOI SOI SOI SOI SOI	} }	5.48 125582.60 .00 .00 .00 .00 488.54 190035.50	14	.00 .00 18294.38 125765.00 .00 .00 773447.20 642308.00	4509.82 2282.06 8215.91 353.75 6892.76 .00 2180.18	.00 339.36	23316.50 110038.20 .00 .00 .00 .00	.00 .00 .00 .00 .00 .00	.00 .00 .00 .00 .00 .00	.00 .00 .00 .00 .00 .00	.00 .00 .00 .00 .00 .00	.00 .00 .00 .00 .00 .00
10 10	MON	S 01 S 01		.77 .71	33088.50 158027.20	737.95 114.37	11.2 1224.1	20 1049. 14 4951.	24 .00 72 .00	.00 .00	.00 .00	.00 .00	. 0 0 .00
1 2 2 9 9	SOI SOI SOI SOI SOI SOI SOI		.00. 00. 00. 00. 00. 00.	14	3111.09 158277.00 .00 .00 69526.33 306356.00 35.06 211.82	.00 .00 .00 .00 .00 .00	.00 .00 .00 .00 1770.81 54062.41 2597.74 22466.88	210493.20 2162585.00 704906.30 858005.80 216585.30 2063317.00 796543.40 1690002.00	.00 .00 .00 .00 .00 .00	.00 .00 .00 .00 .00 .00	.00 .00 .00 .00 .00 .00	.00 .00 .00 .00 .00 .00	.00 .00 .00 .00 .00
11 11	HON	SOI SOF	{	.00 .00	1879.63 103290.30	.00 .00	153.3 2295.1	38 71603. 17 24 8193.	55 .00 50 .00	.00 .00	.00	.00	.00 .00
1 2 2 9 9	SOI SOI SOI SOI SOI SOI SOI SOI		.00 .00 .00 .00 .00 .00		.00 .00 .00 .00 .00 .00	.00 .00 .00 .00 .00	.00 .00 .00 .00 .00 .00	.00 .00 .00 .00 .00	.00 .00 .00 .00 .00 .00	.00 .00 .00 .00 .00	.00 .00 .00 .00 .00 .00	.00 .00 .00 .00 .00 .00	.00 .00 .00 .00 .00 .00
12 12	MON	SOI SOI		.00 . 0 0	.00 .00	.00 . 00).).)0 .	00 .00 00 .00	.00	.00 .00	.00 .00	.00 .00

1 2 2 9 9	SOL SOR SOL SOR SOL SOR SOL SOR	9.51 387416.90 11.51 544221.20 109.87 562305.60 702.93 339384.80	4813.80 2458223.00 38316.73 3285577.00 304774.00 3630024.00 1062188.00 4514178.00	4614.89 2483.10 64174.93 206625.10 263625.50 3435.76 3223.24	266.45 220621.70 1500.26 188290.70 223588.30 2900496.00 42813.52 395182.60	379809.40 3842970.00 877144.30 2431797.00 631934.40 2065642.00 1315525.00 1690002.00	.00 .00 .00 .00 .00 .00	.00 .00 .00 .00 .00 .00	.00 .00 .00 .00 .00 .00	.00 .00 .00 .00 .00 .00	.00 .00 .00 .00 .00 .00
	SOL SOR	33.08 63704.86	53712.32 499390.10	9051.46 7016.26	7449.37 105251.60	117087.60 375804.10	.00 .00	.00 .00	.00	.00 .00	.00 .00
1 2 2 9 9	SOL SOR SOL SOR SOL SOR SOL	.00 .00 .00 .00 .00 .00	.00 .00 .00 .00 .00 .00	.00 .00 .00 .00 .00 .00	.00 .00 .00 .00 .00 .00	.00. .00. .00. .00. .00. .00.	.00 .00 .00 .00 .00 .00	.00 .00 .00 .00 .00 .00	.00 .00 .00 .00 .00 .00	.00 .00 .00 .00 .00 .00	.00 .00 .00 .00 .00 .00
	MON Mon				.00 .00	.00	00. 000. 00. 000.		.00 .00	.00	.00
1 2 2 9 9	SOL SOR SOL SOL SOR SOL SOR	.00 .00 .00 .00 .00 .00 .00	.00 .00 .00 .00 .00 .00	.00. 00. 00. 00. 00. 00.	.00 .00 .00 .00 .00 .00	.00 .00 .00 .00 .00 .00 .00	.00 .00 .00 .00 .00 .00	.00 .00 .00 .00 .00 .00	.00 .00 .00 .00 .00 .00 .00	.00 .00 .00 .00 .00 .00	.00 .00 .00 .00 .00 .00
2	MON MON	SOL .			.00 .00	. 00 . 0 0	.00 .00 .00 .00	0 .00 0 .00	.00 .00	. 0 0 . 0 0	.00 .00
1 2 2 9 9	SOL SOR SOL SOL SOR SOL SOR	3.00 207641.40 14.46 350091.80 290.14 351108.40 387.67 299871.00	.00 .00 .00 .00 .00		.00. 00. 00. 00. 00. 00.	.00 .00 .00 .00 .00 .00	.00 .00 .00 .00 .00 .00	.00 .00 .00 .00 .00 .00	.00 .00 .00 .00 .00 .00	.00 .00 .00 .00 .00 .00	.00 .00 .00 .00 .00
3	MON Mon	SOL 24 . SOR 42269 .	15 19	.00 1958 .00 4782	.88 .81	.00 .00	.00. 00. 00. 00.		. 0 0 . 0 0	.00 .00	.00 .00
1 2 2 9 9	SOL SOR SOL SOR SOL SOR SOL	00. 00. 00. 00.	3971.42 3271061.00 .00 .00 .00 .00 .00	13.64 67581.19 146015.00 68346.80	.00. 00. 00.	00. 00. 00. 00. 00.	.00 .00 .00 .00 .00 .00	.00 .00 .00 .00 .00 .00	.00 .00 .00 .00 .00 .00	.00 .00 .00 .00 .00 .00	.00 .00 .00 .00 .00 .00
	MON		04 178 45 147197	.71 5127 .80 4819	. 22 . 11	.00 .00	.00. 00. .00. 00.		.00 .00	.00 .00	.00 .00

1 SOL 1 SOR 2 SOL 2 SOR 9 SOL 9 SOR 10 SOL 10 SOR	.00 2626 .00 724 .00 1829 .00 965	.00 .00 853.71 008.00 988.20 386.00 387.60 537.00	.00 409 .00 1 .00 275 .00 .00 .00 .00	954.44 449.30 495.44 702.30 .00 .00 987.10 312.60	.00 .00 .00 .00 .00 .00	.00 .00 .00 .00 .00 .00	.00 .00 .00 .00 .00	.00 .00 .00 .00 .00 .00	.00 .00 .00 .00 .00 .00	.00 .00 .00 .00 .00 .00
5 MON SOL 5 MON SOR	.00 .00	59029.16 189703.40	.00 .00	10132.76 48998.53	. 0 0 . 0 0	.00 .00	.00 .00	.00 .00	.00 .00	.00
1 SOL 1 SOR 2 SOL 2 SOR 9 SOL 9 SOR 10 SOL 10 SOR	.00 .00 .00 .00 .00 .00	.00 .00 .00 .00 .00 .00	.00 .00 .00 .00 .00 .00 18 .00 258	.00 1089 658.91 468 428.70 2224 .00 976	.00 .00 .028.00 .724.00 .477.90 .267.00 .463.90	.00 .00 .00 .00 .00 .00	.00 .00 .00 .00 .00 .00	.00 .00 .00 .00 .00 .00	.00 .00 .00 .00 .00 .00	.00 .00 .00 .00 .00 .00
6 MON SOL 6 MON SOR	.00 .00	.00 .00	.00 .00	466.47 6460.72	100085.90 125565.30	. 0 0 . 0 0	.00 .00	.00 .00	.00	.00 .00
1 SOL 1 SOR 2 SOL 2 SOR 9 SOL 9 SOR 10 SOL 10 SOR	.00 .00 .00 .00 .00 .00	.00 .00 .00 .00 .00 .00	.00 .00 .00 .00 .00	.00 .00 .00 .00 .00 .00	.00 .00 .00 .00 .00 .00	.00 .00 .00 .00 .00	.00 .00 .00 .00 .00 .00	.00 .00 .00 .00 .00 .00	.00 .00 .00 .00 .00 .00	.00 .00 .00 .00 .00 .00
7 MON SOL 7 MON SOR	.00 .00	.00 .00	.00 .00	.00 .00	.00 .00	.00 .00	.00	.00 .00	.00	.00 .00
1 SOL 1 SOR 2 SOL 2 SOR 9 SOL 9 SOR 10 SOL 10 SOR	.00 .00 .00 .00 .00 .00	.00 .00 .00 .00 .00 .00	.00 .00 .00 .00 .00 .00	.00 .00 .00 .00 .00 .00	.00 .00 .00 .00 .00 .00	.00 .00 .00 .00 .00 .00	.00 .00 .00 .00 .00 .00	.00 .00 .00 .00 .00 .00	.00 .00 .00 .00 .00 .00	.00 .00 .00 .00 .00 .00
8 MON SOL 8 MON SOR	.00 .00	.00 .00	.00 .00	.00 .00	.00	.00 .00	.00 .00	.00 .00	.00 .00	.00 . 00 .
1 SOR 135	.50 47.66 4.40 5 51.80 2888 .00 .00 .00	.00 357.27 80 8 193.00 1287	.00 .00 818.19 761.50 .00 .00	.00 55 .00 .00	0176.12 6651.73 .00 .00 .00 .00 .00	.00 .00 .00 .00 .00 .00	.00 .00 .00 .00 .00 .00	.00 .00 .00 .00 .00 .00	.00 .00 .00 .00 .00 .00	.00 .00 .00 .00 .00 .00 .00
9 MON SOL 9 MON SOR	.17 8471.96	176.79 95310.37	2667.00 4249.13	.00 .00	412.93 2504.33	.00 .00	.00 .00	.00 .00	.00	.00 .00

1 SOL 1 SOR 2 SOL 2 SOR 9 SOL 9 SOR 10 SOL 10 SOR	.00 .00 .00 .00 .00 .00	.00 .00 .00 .00 .00 .00	.00 .00 .00 .00 .00 .00	.00 .00 .00 .00 .00 .00	.00 .00 .00 .00 .00 .00	.00 .00 .00 .00 .00 .00	.00 .00 .00 .00 .00 .00	.00 .00 .00 .00 .00 .00	.00 .00 .00 .00 .00 .00	.00 .00 .00 .00 .00 .00
10 MON SO 10 MON SO	OL .00 OR .00		.00 .00	.00 .00	.00 .00	.00 .00	.00 .00	.00 .00	. 0 0 . 0 0	. 0 0 . 0 0
1 SOL 1 SOR 2 SOL 2 SOR 9 SOL 9 SOR 10 SOL 10 SOR	.00 .00 927.29 126276.90 868.23	6461.98 035688.00 .00 .00 574538.40 532722.10 486990.50 467929.10	.00 29 .00 8	.00 811 .02 548 .00 234 48.23 897 83.97	710.20 206.00 987.30 123.80 496.40 .00 271.40	.00 .00 .00 .00 .00 .00	.00 .00 .00 .00 .00 .00	.00 .00 .00 .00 .00 .00	.00 .00 .00 .00 .00 .00	.00 .00 .00 .00 .00 .00
11 MON SO 11 MON SO			.00	89.01 131.48	93904.34 44230.35	.00 .00	.00 .00	.00 .00	.00 .00	.00 .00
1 SOL 1 SOR 2 SOL 2 SOR 9 SOL 9 SOR 10 SOL 10 SOR	.00 .00 .00 .00 .00 .00	.00 .00 .00 .00 .00	.00 .00 .00 .00 .00 .00	.00 .00 .00 .00 .00 .00	.00 .00 .00 .00 .00 .00	.00 .00 .00 .00 .00 .00	.00 .00 .00 .00 .00 .00 .00	.00 .00 .00 .00 .00 .00	.00 .00 .00 .00 .00 .00	.00 .00 .00 .00 .00 .00
12 MON SO 12 MON SO	DL .00 DR .00		.00 .00	.00 .00	.00 .00	.00 .00	.00 .00	.00 .00	.00 . 0 0	.00 00.
1 SOL 1 SOR 2 SOL 2 SOR 9 SOL 9 SOR 10 SOL 10 SOR	18.86 588343.60 5 1217.42 1	306749.00 1062 16210.99 1483 514201.00 2747 299527.00 683 362108.00	98.30 4094 99.40 14 76.50 2757 46.80 207 .00 2614 84.90 2388	49.30 866 95.46 1984 02.30 1323 07.14 1365 12.70 2224 87.00 1972	886.30 857.80 215.00 848.00 974.00 267.00 735.00 469.70	.00 .00 .00 .00 .00 .00	.00 .00 .00 .00 .00 .00	.00 .00 .00 .00 .00 .00	.00 .00 .00 .00 .00 .00	.00 .00 .00 .00 .00 .00
93 SOL 93 SOR	84.34 67534.08	94492.52 97 511788.60 138	53.11 106 51.05 555	88.23 194 90.73 172	403.20 300.00	.00 .00	.00 .00	.00 .00	.00 .00	.00 .00
1 SOL 1 SOR 2 SOL 2 SOR 9 SOL 9 SOR 10 SOL 10 SOR	.00 .00 .00 .00 .00 .00	.00 .00 .00 .00 .00 .00	.00 .00 .00 .00 .00 .00	.00 .00 .00 .00 .00 .00	.00 .00 .00 .00 .00 .00	.00 .00 .00 .00 .00 .00	.00 .00 .00 .00 .00 .00	.00 .00 .00 .00 .00 .00	.00 .00 .00 .00 .00 .00	.00 .00 .00 .00 .00 .00
1 MON SC 1 MON SC	OL .00 OR .00		.00 .00	.00	.00 .00	.00 .00	.00	.00 .00	.00 .00	.00

1 SOL 1 SOR 2 SOL 2 SOR 9 SOL 9 SOR 10 SOL 10 SOR	.00 .00 .00 .00 .00	.00 .00 .00 .00 .00 .00	.00 .00 .00 .00 .00 .00	.00 .00 .00 .00 .00 .00	.00 .00 .00 .00 .00	.00 .00 .00 .00 .00 .00	.00 .00 .00 .00 .00	.00 .00 .00 .00 .00 .00	.00 .00 .00 .00 .00 .00	.00 .00 .00 .00 .00 .00
2 MON SOL 2 MON SOR	.00 .00	.00	.00 .00	.00 .00	.00 . 0 0	.00 .00	.00 .00	.00 .00	.00 .00	.00 .00
2 SOL 2 SOR 3 9 SOL 9 SOR 3	11.54 194229.80 80.84 142309.70 2435.32 139947.80 1226.58	.00 49	2392.48 9463.21 .00 .00 .00 .00 .00		.00 .00 .00 .00 .00 .00	.00 .00 .00 .00 .00 .00	.00 .00 .00 .00 .00 .00	.00 .00 .00 .00 .00 .00	.00 .00 .00 .00 .00 .00	.00 .00 .00 .00 .00 .00
3 MON SOL 3 MON SOR	115.33 45341.97	.00	3707.66 2225.84	.00	.00 .00	.00 .00	.00 .00	.00 .00	.00	.00 .00
1 SOL 1 SOR 2 SOL 2 SOR 9 SOL 9 SOR 10 SOL 10 SOR	.00 .00	.00 451 .00 1414	.00 .00 1089.30 1511.70 4022.00 .00 3867.00	.00 .00 .00 .00 .00 .00	.00 .00 .00 .00	.00 .00 .00 .00 .00 .00	.00 .00 .00 .00 .00 .00	.00 .00 .00 .00 .00 .00	.00 .00 .00 .00 .00 .00	.00 .00 .00 .00 .00 .00
4 MON SOL 4 MON SOR	.00	.00	107308.90 14899.89	.00	.00 .00	.00 .00	.00 .00	.00 .00	.00 .00	.00 .00
1 SOL 1 SOR 2 SOL 2 SOR 9 SOL 9 SOR 10 SOL 10 SOR	.00 2336 .00 5 .00 3536 .00 .00	610.74 961.00 655.92 318.00 .00 .00	.00 .00 1 .00 1678 .00 .00	.00 .00 936.99 564.00 .00 .00	.00 .00 .00 .00 .00 .00 .00	.00 .00 .00 .00 .00 .00	.00 .00 .00 .00 .00 .00	.00 .00 .00 .00 .00 .00	.00 .00 .00 .00 .00 .00	.00 .00 .00 .00 .00 .00
5 MON SOL 5 MON SOR	.00 .00	529.13 221861.80	.00 .00	63.92 55392.59	.00 .00	.00 .00	.00	.00 .00	.00 .00	.00 .00
1 SOL 1 SOR 2 SOL 2 SOR 9 SOL 9 SOR 10 SOL 10 SOR	.00 .00 .00 .00 .00 .00	.00 .00 .00 .00 .00 .00	.00 .00 .00 .00 .00 .00	.00 .00 .00 .00 .00 .00	.00 .00 .00 .00 .00 .00	.00 .00 .00 .00 .00 .00	.00 .00 .00 .00 .00 .00	.00 .00 .00 .00 .00 .00	.00 .00 .00 .00 .00 .00	.00 .00 .00 .00 .00 .00
6 MON SOL 6 MON SOR	.00 .00	.00 .00	.00 .00	.00 .00	.00 .00	. 0 0 .00	.00 .00	.00	.00 .00	.00 .00

1 SOL 1 SOR 2 SOL 2 SOR 9 SOL 9 SOR 10 SOL 10 SOR	.00 .00 .00 .00 .00 .00	.00 .00 .00 .00 .00 .00	.00 .00 .00 .00 .00 .00	.00 1508 .00 354 .00 2692	351.56 806.00 108.96 194.40 .00	.00 .00 .00 .00 .00 .00	.00 .00 .00 .00 .00	.00 .00 .00 .00 .00 .00	.00 .00 .00 .00 .00 .00	.00 .00 .00 .00 .00
7 MON SOL 7 MON SOR		.00 .00	.00 .00	.00 .00	1949.32 15672.98	.00 .00	.00 .00	.00 .00	.00 .00	.00 .00
1 SOL 1 SOR 2 SOL 2 SOR 9 SOL 9 SOR 10 SOL 10 SOR	.00 .00 1.36 93708.29 .00 .00	.00 .00 .00 .00 .00 .00	.00 .00 .00 .00 .00 .00	.00 .00 .00 .00 .00 .00	.00 .00 .00 .00 .00 .00	.00 .00 .00 .00 .00 .00	.00 .00 .00 .00 .00 .00	.00 .00 .00 .00 .00 .00	.00 .00 .00 .00 .00 .00 .00	.00 .00 .00 .00 .00 .00
8 MON SOL 8 MON SOR		.00	.00 .00	.00 .00	.00 .00	.00 .00	.00	.00 .00	.00 .00	.00 .00
1 SOL 1 SOR 2 SOL 2 SOR 9 SOL 9 SOR 10 SOL 10 SOR	.00 .00 1.18 33327.57 .00 .00	.00 .00 .00 124 .00 129 .00 .00	.00 .00 4323.10 9581.20 .00 .00	.00 .00 .00 .00 .00 .00	.00 .00 .00 .00 .00 .00	.00 .00 .00 .00 .00	.00 .00 .00 .00 .00 .00 .00	.00 .00 .00 .00 .00 .00	.00 .00 .00 .00 .00 .00	.00 .00 .00 .00 .00 .00
9 MON SOI 9 MON SOR	.04 1099.81	.00 .00	4102.66 4276.18	.00 .00	.00 .00	.00 .00	.00 .00	.00	.00	.00 .00
2 SOL 2 SOR 9 SOL 9 SOR 10 SOL	190789.60 331 8.91 1 100939.90 129 149.63 27 192362.00 341	1408.67 7410.00 6675.20 6353.00 5971.20	7186.30 18 1193.92 85 .00 2421	.00 2613 108.25 6907 127.88 29353 400.34 114 119.00 3 140.69 44	175.53 325.30 717.30 329.00 436.55 884.69 421.36 544.99	.00 .00 .00 .00 .00 .00	.00 .00 .00 .00 .00 .00	.00 .00 .00 .00 .00 .00	.00 .00 .00 .00 .00 .00	.00 .00 .00 .00 .00 .00
10 Mon Sol 10 Mon Sof	8.23 24486.33	14373.02 404604.20	4346.69 910.32	4748.49 105731.00 1	25208.18 108658.00	.00	.00 .00	.00 .00	.00 .00	.00 .00
1 SOL 1 SOR 2 SOL 2 SOR 9 SOL 9 SOR 10 SOL 10 SOR	.00 .00 .00 .00 .00 .00	.00 .00 .00 .00 .00 .00	.00 .00 .00 .00 .00 .00	.00 9440 .00 .00 .00 .00 .00 .00 .00 .00 .00 .0	288.60 011.20 .00 .00 329.90 050.30 801.80 216.00	.00 .00 .00 .00 .00 .00	.00 .00 .00 .00 .00 .00	.00 .00 .00 .00 .00 .00 00	.00 .00 .00 .00 .00 .00	.00 .00 .00 .00 .00 .00
11 MON SOI 11 MON SOI		.00	.00	.00 .00	62809.91 67785.84	.00	.00	.00	.00 .00	.00 .00

1 SOL 1 SOR 2 SOL 2 SOR 9 SOL 9 SOR 10 SOL 10 SOR	.00. 00. 00. 00.	.00 .00 .00 .00 .00 .00	.00 .00 .00 .00 .00 .00	.00 .00 .00 .00 .00 .00	.00 .00 .00 .00 .00 .00	.00 .00 .00 .00 .00 .00	.00 .00 .00 .00 .00	.00 .00 .00 .00 .00 .00	.00 .00 .00 .00 .00 .00	.00 .00 .00 .00 .00 .00
12 MON 12 MON	SOL .		00.00	.00 .00	.00 .00	.00 .00	.00 .00	.00 .00	.00 .00	.00 .00
1 SOL 1 SOR 2 SOL 2 SOR 9 SOL 9 SOR 10 SOR	485019.40 92.29 570285.40 2584.95 532309.80 1313.29	3416353.00	1475216.00 .00 24 1457182.00	.00 13 2045.24 7 96691.00 32 85400.34 3 21119.00 7 52140.69 9	36815.70 56143.00 26126.30 04623.00 57766.50 43435.00 97723.20 60761.00	.00 .00 .00 .00 .00 .00	.00 .00 .00 .00 .00	.00 .00 .00 .00 .00 .00	.00 .00 .00 .00 .00 .00	.00 .00 .00 .00 .00 .00
94 SOL 94 SOR		14902.14 626465.90	119465.90 22312.23 1	4812.41 61123.60	89967.41 92116.80	.00 .00	.00 .00	.00 .00	.00 .00	.00 .00
1 SOL 1 SOR 2 SOL 2 SOR 9 SOL 9 SOR 10 SOL 10 SOR	.00 .00 .00 .00 .00	.00 .00 .00 .00 .00 .00	.00 .00 .00 .00 .00 .00	.00 .00 .00 .00 .00 .00	.00 .00 .00 .00 .00	.00 .00 .00 .00 .00 .00	.00 .00 .00 .00 .00 .00	.00 .00 .00 .00 .00 .00	.00 .00 .00 .00 .00 .00	.00 .00 .00 .00 .00 .00
1 Mon 1 Mon		0. 00 00 00 00 00 00 00 00	00.00	.00 .00	.00 .00	.00 .00	.00 .00	.00 .00	.00 .00	.00 .00
1 SOL 1 SOR 2 SOL 2 SOR 9 SOL 9 SOR 10 SOL 10 SOR	.00 .00 .00 .00 .00	.00 .00 .00 .00 .00 .00	.00 .00 .00 .00 .00 .00	.00 .00 .00 .00 .00 .00	.00 .00 .00 .00 .00 .00	.00 .00 .00 .00 .00 .00	.00 .00 .00 .00 .00	.00 .00 .00 .00 .00 .00	.00 .00 .00 .00 .00 .00	.00 .00 .00 .00 .00 .00
2 MON 2 MON		0. 00 0. 00		.00 .00	.00 . 0 0	.00 .00	.00 .00	.00 .00	.00	.00
1 SOL 1 SOR 2 SOL 2 SOR 9 SOL 9 SOR 10 SOR	302889.60 25.70 352884.00 810.33 352095.00 476.35	.00 .00 .00 .00 .00 .00	92164.72 212219.60 .00 .00 .00 .00 .00	.00 .00 .00 .00 .00 .00 .00	.00 .00 .00 .00 .00 .00	.00 .00 .00 .00 .00 .00	.00 .00 .00 .00 .00 .00	.00 .00 .00 .00 .00 .00	.00 .00 .00 .00 .00 .00	.00 .00 .00 .00 .00 .00
3 MON		47 .0 83 .0		.00	.00	.00 .00	.00 .00	.00 .00	.00 .00	.00 . 0 0

1 SOL 1 SOR 2 SOL 2 SOR 9 SOL 9 SOR 10 SOL 10 SOR	.00 6352.29 .00 3445542.00 .00 .00 .00 .00 .00 .00 .00 .00 .00 .00	.00 .00 230480.50 25210.20 182327.70 382.57 117960.30	.00 .00 .00 .00 .00 .00	.00 .00 .00 .00 .00 .00	.00 .00 .00 .00 .00 .00	.00 .00 .00 .00 .00 .00	.00 .00 .00 .00 .00 .00	.00 .00 .00 .00 .00 .00	.00 .00 .00 .00 .00 .00
4 MON SOL 4 MON SOR	.00 285.8 .00 155049.4	5 17118.38 0 841.50	.00 .00	.00 .00	.00 .00	.00 .00	.00 .00	.00 .00	. 00 . 0 0
1 SOL 1 SOR 2 SOL 2 SOR 9 SOL 9 SOR 10 SOL 10 SOR	.00 .00 .00 .00 .00 4697.67 .00 2805409.00 .00 .00 .00 .00	.00 3741 .00 29	61.30 67.60 995.34 910.00 .00 .00	.00 .00 .00 .00 .00 .00	.00 .00 .00 .00 .00 .00	.00 .00 .00 .00 .00	.00 .00 .00 .00 .00 .00	.00 .00 .00 .00 .00	.00 .00 .00 .00 .00 .00
5 MON SOL 5 MON SOR	.00 155.0 .00 92578.4	2 .00 9 . 0 0	151.10 99499.56	.00	.00 .00	.00 .00	.00	.00 .00	.00 .00
1 SOL 1 SOR 2 SOL 2 SOR 9 SOL 9 SOR 10 SOL 10 SOR	.00 .00 .00 .00 .00 .00 .00 .00 .00 .00	.00 .00 .00 .00 .00	.00 .00 .00 .00 .00 .00	.00 .00 .00 .00 .00 .00	.00 .00 .00 .00 .00 .00	.00 .00 .00 .00 .00 .00	.00 .00 .00 .00 .00 .00	.00 .00 .00 .00 .00 .00	.00 .00 .00 .00 .00 .00
6 MON SOL 6 MON SOR	.00 .00 .00 .00	0 .00 0 .00	.00	.00	.00 .00	.00 .00	.00 .00	.00 .00	.00
1 SOL 1 SOR 2 SOL 2 SOR 9 SOL 9 SOR 10 SOL 10 SOR	.00 .00 .00 .00 .00 .00 .00 .00 .00 24813.53 .00 394832.90 .00 14690.93 .00 368551.80	.00 .00 .00 .00 .00 .00	.00 3391 .00 461 .00 3964 .00 2921 .00 1483	233.16 528.20 572.07 199.80 559.80 843.80 254.20 174.84	.00 .00 .00 .00 .00 .00	.00 .00 .00 .00 .00 .00	.00 .00 .00 .00 .00 .00	.00 .00 .00 .00 .00 .00	.00 .00 .00 .00 .00 .00
7 MON SOL 7 MON SOR	.00 1237.3 .00 25350.0	6 .00 0 .00	.00 .00	19918.04 35661.80	.00 .00	.00 .00	.00 .00	.00 .00	.00 .00
1 SOR 3493 2 SOL 2 SOR 3564 9 SOL 44 9 SOR 3449 10 SOL 19	33.80 .00 124.60 .00 65.56 .00 179.80 .00 134.10 .00 148.60 .00 166.00 .00 139.90 .00	.00 .00 .00 .00 .00 .00	.00 1227 .00 22443 .00 .00 .00 .00 .00 .00 .00	790.20 330.00 .00 .00 .00 .00	.00 .00 .00 .00 .00 .00	.00 .00 .00 .00 .00 .00	.00 .00 .00 .00 .00 .00 .00	.00 .00 .00 .00 .00 .00	.00 .00 .00 .00 .00 .00
8 MON SOL 8 MON SOR	197.11 .0 ¹ 51304.43 .0 ¹	0 . 0 0 0 . 0 0		5525.56 100994.80	.00 .00	.00	.00	.00 .00	.00

1 SOL 1 SOR 2 SOL 2 SOR 9 SOL 9 SOR 10 SOL 10 SOR	.00 .00 773 .00 2803}4 .00	.00 .0	8 .00 0 446.15 0 185852.20 0 .00 0 .00	.00 .00 .00 .00 .00 .00	.00 .00 .00 .00 .00 .00	.00 .00 .00 .00 .00 .00	.00 .00 .00 .00 .00 .00	.00 .00 .00 .00 .00 .00	.00 .00 .00 .00 .00 .00
9 MON SOL 9 MON SOR	.00	255.33 649 92503.81 666	2.14 14. 1.18 6133.	72 .00 12 .00	.00 .00	.00	.00	.00 .00	.00
1 SOL 1 SOR 2 SOL 2 SOR 9 SOL 9 SOR 10 SOL 10 SOR	.00 57181 .00	DB.83 618.3 14.60 885.3 .00 .0 .00 .0 .00 .0 .00 .0 .00 .0	3 .00 0 .00 0 .00 0 .00 0 .00	.00 .00 110788.90 766940.60 .00 .00	.00 .00 .00 .00 .00 .00	.00 .00 .00 .00 .00 .00	.00 .00 .00 .00 .00 .00	.00 .00 .00 .00 .00 .00	.00 .00 .00 .00 .00 .00
10 MON SOL 10 MON SOR	.00 .00	67.90 2 25731.65 3		00 3656.03 00 25309.04	.00 .00	.00	.00 .00	. 0 0 .00	.00 .00
1 SOL 1 SOR 2 SOL 2 SOR 9 SOL 9 SOR 10 SOL 10 SOR	.00 78556 .00 .00 .00 9538 .00 80891	84.37 .0 89.60 .0 .00 .0 .60.3 14.90 .0 86.04 .0 98.90 .0	0 .00 0 .00 0 .00 0 .00 0 .264.12 1701.11 0 60.66	226258.10 1066542.00 130281.00 617394.30 491045.20 550171.20 555015.90 473557.80	.00	.00 .00 .00 .00 .00 .00 .00	.00 .00 .00 .00 .00 .00	.00 .00 .00 .00 .00 .00 .00	.00 .00 .00 .00 .00 .00
11 NON SOL 11 NON SOR	.00 .00	6037.06 86368.77	.00 9. .00 74.	15 50067.68 69 102012.10	. 0 0 . 0 0	.00 .00	.00 .00	.00 .00	.00 .00
1 SOL 1 SOR 2 SOL 2 SOR 9 SOL 9 SOR 10 SOL 10 SOR	.00 .00 .00 .00 .00	0. 00. 0. 00. 0. 00. 0. 00. 0. 00. 0. 00.	00.00 00.00 00.00 00.00 00.00	.00 .00 .00 .00 .00 .00	.00 .00 .00 .00 .00 .00	.00 .00 .00 .00 .00 .00	.00 .00 .00 .00 .00 .00	.00 .00 .00 .00 .00 .00 .00	.00 .00 .00 .00 .00 .00
12 MON SOL 12 MON SOR	.00 .00	.00 .00		00. 00 00. 00	.00 .00	.00 .00	.00 .00	.00	.00 .00
1 SOR 652 2 SOL 2 SOR 709 9 SOL 5 9 SOR 697 10 SOL 2	214.10 480294 91.27 124 363.90 560855 244.43 12019 043.60 120374	35.03 410758.9 55.00 206953.2 99.70 182327.7 48.00 382.5 76.97 117960.3	0 3441.49 0 2690762.00 0 264.12 7 1701.11 0 60.66	405281.50 3650400.00 287642.00 1780835.00 783605.00 698515.00 758270.10 559032.70	.00 .00 .00 .00 .00 .00	.00 .00 .00 .00 .00 .00	.00 .00 .00 .00 .00 .00	.00 .00 .00 .00 .00 .00	.00 .00 .00 .00 .00 .00
	238.58 803 100.27 47758	38.53 27785.7 82.10 17092.4	6 174.98 0 105707.40	79167.32 263977.80	.00 .00	.00 .00	.00 .00	.00 .00	.00 .00